

بِسْمِ اللّٰهِ الرَّحْمٰنِ الرَّحِيْمِ





دانشگاه فردوسی مشهد

انتشارات دانشگاه فردوسی مشهد، شماره ۱۱۹

روشهای خمیری برای سازه‌های فولادی و بتنی

نوشته: استوارت موی

ترجمه

دکتر محمد رضا اصفهانی

Moy. Stuart S. J.

موی، استوارت.

روشهای خمیری برای سازه‌های فولادی و بتنی / نوشته استوارت موی؛ ترجمه محمدرضا اصفهانی. - مشهد: دانشگاه فردوسی (مشهد)، ۱۳۷۰.

چهارده، ۲۴۹ ص. : مصور، جدول، نمودار. - (انتشارات دانشگاه فردوسی مشهد؛ ۱۱۹).

بها: ۱۴۵۰ ریال.

فهرستنويسي براساس اطلاعات فيبا (فهرستنويسي پيش از انتشار).

Plastic Methods for Steel and Concrete Structures

عنوان اصلی:

کتابنامه: ص. [۲۴۸] - [۲۴۹].

ISBN 964-6335-05-5

چاپ دوم: ۱۳۷۶

۱. تحلیل خمیری. ۲. ساختمانهای فلزی. ۳. ساختمانهای بتن مسلح. الف. اصفهانی.

محمدرضا. مترجم. ب. دانشگاه فردوسی (مشهد). ج. عنوان.

۶۲۴/۱۸۲۱

TA ۶۵۲/۸۹

۱۳۷۰

م ۷۰ ۲۵۵۳

کتابخانه ملی ایران

شناسنامه کتاب

نام: روشهای خمیری برای سازه‌های فولادی و بتنی

تألیف: استوارت موی

ترجمه: دکتر محمدرضا اصفهانی

ناشر: انتشارات دانشگاه فردوسی مشهد

تاریخ انتشار: چاپ اول ۱۳۷۰ - چاپ دوم ۱۳۷۶

تعداد: ۲۰۰ نسخه

امور فنی و چاپ: مؤسسه چاپ و انتشارات دانشگاه فردوسی مشهد

قیمت: ۴۰۰ ریال

(ISBN: 964 - 6335 - 05 - 5) شابک: ۵ - ۰۵ - ۶۳۳۵ - ۹۶۴

فهرست مطالب

| صفحه | عنوان |
|------|---|
| ۱ | ۱- مفاهیم کلی |
| ۱ | ۱- مقدمه |
| ۲ | ۲- نولاد ترمه - ماده تقریباً کامل برای تحلیل خمیری |
| ۵ | ۳- رفتار سازه‌ها در اثر تغییر بار چگونه است؟ |
| ۱۸ | ۴- خلاصه |
| ۱۹ | ۲ خمیری |
| ۱۹ | ۱- مقدمه |
| ۱۹ | ۲- وقتی یک تیور تحت خمیر قوار می‌گیرد چه می‌شود؟ |
| ۲۲ | ۳- محاسبه لنگر خمیری |
| ۲۸ | ۴- چرا فرضیات لنگر خمیری و مفصل خمیری آبداء‌آل هستند؟ |
| ۳۲ | ۵- عواملی که می‌توانند لنگر خمیری را تغییر دهند |
| ۳۸ | ۶- جمع بندی |
| ۴۱ | ۳ فروریختگی قابهای ساده |
| ۴۱ | ۱- مقدمه |
| ۴۱ | ۲- رفتار قاب پرثال تحت افزایش بار |
| ۴۲ | ۳- نظریه‌های تحلیل خمیری |
| ۴۸ | ۴- تعداد مفصلهای خمیری در یک مکانیزم |
| ۴۹ | ۵- روش لنگر خمیری (BN) واکنش و آزاد برای تعیین بارهای فروریختگی |
| ۵۶ | ۶- روش کار مجازی برای محاسبه بارهای فروریختگی |
| ۷۶ | ۷- جمع بندی |
| ۷۸ | ۸- مسائل |
| ۸۱ | ۴ تحلیل حدی |
| ۸۱ | ۱- مقدمه |
| ۸۲ | ۲- مکانیزم‌های اصلی (اولیه) |
| ۸۶ | ۳- ترکیب مکانیزمها |
| ۱۰۱ | ۴- جمع بندی |

| | |
|-----|---|
| ۱۰۱ | ۴-۵ مایل |
| ۱۰۵ | ۵ طراحی با استفاده از نظریه خمیری |
| ۱۰۵ | ۵-۱ مقدمه |
| ۱۰۶ | ۵-۲ ضرایب بار |
| ۱۰۲ | ۵-۳ طراحی به روش نظریه خمیری |
| ۱۱۶ | ۵-۴ طرح بهینه |
| ۱۲۲ | ۵-۵ جمع‌بندی |
| ۱۲۸ | ۵-۶ مایل |
| ۱۲۱ | ۶ تغییر مکان و پایداری |
| ۱۲۱ | ۶-۱ مقدمه |
| ۱۲۲ | ۶-۲ محاسبه تغییر مکانها در موقع فروریختگی |
| ۱۲۲ | ۶-۳ اثر تغییر مکان روی بار فروریختگی |
| ۱۵۲ | ۶-۴ جمع‌بندی |
| ۱۵۳ | ۶-۵ مایل |
| ۱۵۷ | ۷ استفاده از روش‌های خمیری در سازه‌های بتُن آرمه |
| ۱۵۷ | ۷-۱ مقدمه |
| ۱۵۸ | ۷-۲ رفتار خشی بتُن آرمه |
| ۱۶۶ | ۷-۳ اگر ظرفیت دوران خمیری کافی نباشد چه می‌شود؟ |
| ۱۶۸ | ۷-۴ توافق پذیرفته شده در آین نامه |
| ۱۷۴ | ۷-۵ جمع‌بندی |
| ۱۷۴ | ۷-۶ مایل |
| ۱۷۷ | ۸ تحلیل خط‌سیلان و روش نواری هیلربورگ برای دالهای بتُن آرمه |
| ۱۷۷ | ۸-۱ مقدمه |
| ۱۷۷ | ۸-۲ نظریه خط‌سیلان |
| ۲۰۸ | ۸-۳ روش نواری هیلربورگ |
| ۲۱۹ | ۸-۴ جمع‌بندی |
| ۲۱۹ | ۸-۵ مایل |
| ۲۲۵ | ضمیمه الف معیارهای تسلیم |
| ۲۲۱ | ضمیمه ب درجه نامعینی |
| ۲۲۲ | ضمیمه ج نمودارهای لگز خشی |
| ۲۲۳ | جواب مایل |
| ۲۲۸ | منابع |

مقدمه نویسنده

تحریر این کتاب را مدیون دانشجویان کارشناسی و کارشناسی ارشد خود می‌دانم که با بی‌صبری و اشتیاق در کلاس درس روش‌های خمیری سازه‌ها شرکت کردند. سوالاتی ایشان چه در کلاس و یا بعد از آن، نشان داده است که برخی از مفاهیم درس همواره مشکلاتی را برای آنها بموجود دیدند. چون تصور نمی‌کنم که این مشکل ناشی از کوتاهی در امور تدریس از جانب من باشد و آن را بهدلیل نیاز به توضیح بیشتر بعضی از نکات در کلاس می‌دانم، لذا به نوشتن این کتاب اهتمام نمودم.

در این کتاب سعی شدم است بطور عمده مطالب مورد نیاز دانشجویان در سطوح کارشناسی و کارشناسی ارشد مطرح شود. با وجود این مطالب آن برای مهندسینی که مایل به استفاده از روش‌های خمیری جهت طراحی هستند نیز قابل استفاده خواهد بود. در این کتاب بیشتر، مفاهیم و نیازهای طراحی روش‌های خمیری تأکید شده است تا اثبات ریاضی آنها (البته مراجع مناسبی جهت اثبات ریاضی مطالب معرفی شده است). به این دلیل بعضی از مطالب به صورت ساده بیان شده‌اند. امیدوارم این روش باعث ناخرسنی متخصصینی که بطور محض با موضوع برخورد می‌کنند نگردد.

کتاب دارای هشت فصل است. در دو فصل اول به طور عمده مفاهیم خمیری و خمش خمیری مورد بحث قرار می‌گیرد. در فصلهای ۳ و ۴ روش‌های مختلف جهت تعیین بارهای فروریختگی قابهای فولادی تشریح می‌شود. در فصل ۵ نشان داده می‌شود که چگونه روش‌های خمیری برای طراحی سازه‌های فولادی به کار می‌رود. فصل ع به دو قسمت تقسیم شده است. در قسمت اول روشی برای محاسبه تغییر مکانهای سازه در نقطه فروریختگی تشریح می‌شود. در قسمت دوم اثر این تغییر مکانهای و همچنین ناپایداری، روی بار فروریختگی سازه بیان می‌گردد. البته این موضوع قدری پیچیده است و جزئیات مربوطه خارج از بحث این کتاب

می‌باشد لیکن حذف تمام موارد مربوط به ناپایداری نیز صحیح نیست . فصلهای ۲ و ۸ به سازه‌های بتن آرمه مربوط می‌شود . فصل ۷ به مشکلات استفاده از روش‌های خمیری در قابهای بتنی می‌پردازد و در فصل ۸ روش‌های پرازش خط سیلان و نواری در مورد دالها تشریح می‌گردد .

به نظر من سه فصل اول جنبه مقدماتی دارد که برای دانشجویان سال دوم دوره کارشناسی مناسب است . فصلهای ۴ و ۵ و قسمتهای ۶ و ۸ جهت دانشجویان سال آخر دوره کارشناسی پیشنهاد می‌گردد . همچنین کلیه مباحث برای دانشجویان دوره کارشناسی ارشد قابل استفاده خواهد بود . سعی شده است که ضمن حفظ چهار چوب مشخصی برای هر فصل ، پیوستگی منطقی فصلهای کتاب نیز حفظ گردد . در شروع هر فصل مقدماتی آورده شده است تا ذهن خواننده با مفاهیم بنیادی مجددآ " آشنا شود . در هر فصل مثالهایی آورده شده که با دقت انتخاب و مرتب شده‌اند .

اولین مثال مفاهیم بنیادی را به ساده‌ترین وجه ممکن معرفی می‌کند . در مثالهای بعد مفاهیم جدید معرفی و زمینه‌هایی که ممکن است ایجاد اشکال نماید مطرح و سپس تعلم مطالب بهروشی جمع‌بندی شده است . در پایان هر فصل بجز فصل اول مسایلی طرح شده تا نکات مختلف بیان شده را به طور مشخصی طرح نماید . توصیه می‌شود خواننده مسایل را تا حد امکان حل نماید چرا که تعریف بهترین وسیله برای شروع یادگیری روش‌های خمیری است .

استوارت موی

Stuart S.J. Moy

مقدمه مترجم

تحلیل و طراحی سازه‌ها بر اساس بارهای نهایی بیش از ۷۵ سال قدمت دارد. روش تحلیل خمیری برای اولین بار توسط دکتر Gabor kazinczy ارائه شد، او که یک مجارستانی بود نتایج روش خود را در سال ۱۹۱۴ میلادی منتشر نمود. اولین آزمایش‌های مربوطه در آلمان بوسیله Maier-Leibnitz انجام گردید و نشان داد که ظرفیت نهایی تیر پکسره بستگی به نشست تکیه‌گاهها ندارد. کوشش‌های Van-den-broek در همین‌کشور و F.J.Baker و همکارانش در بریتانیا به نتایجی انجامید کماکنون به عنوان طرح خمیری سازه‌ها مطرح می‌شود. پیشرفت تحلیل به روش خمیری توسط Neal Symond و انجام گرفت در امریکا در دانشگاه Lehigh، انتستیتوی امریکایی فولاد در مورد رفتار خمیری سازه‌ها مطالعات زیادی کرده است. بدون شک پیشرفت‌های اخیر روش‌های خمیری سازه‌ها حاصل کوشش‌های بسیاری دیگر از محققین این رشته است که در اینجا نامی از ایشان برده نشده، لیکن در قسمت مراجع نام تعدادی از آنها آورده شده است.

در حال حاضر روش‌های خمیری برای تحلیل و طراحی تیرهای پکسره و قابهای کسوته در کشورهای زیادی مورد استفاده قرار می‌گیرد. در اروپا برای سازه‌های فولادی این روش توسعه زیادی یافته و بجای آنکه تنها یکی از روش‌های طراحی بشمار آید، هم اکنون نقش مهمتری ایفا می‌کند. این موضوع بخصوص با دورنمای استفاده از حالات حدی طراحی در آینه‌نامه‌ای جدید، واقعیت پیشتری می‌یابد.

نظر باشینکه در کشور ما روش‌های طراحی خمیری مورد توجه زیادی واقع نشده است لذا ترجمه متنونی در این زمینه ضروری به نظر می‌آید. کتابهایی که در مورد روش‌های خمیری سازه‌ها تألیف شده‌اند، نظر به تماهیل نویسنده‌های بعضی بطور عمدۀ نظری و برخی جنبه عملی داشته‌اند. در این میان نویسنده‌هایی سعی داشته‌اند که به منظور تفہیم بهتر موضوع، هر

دو جنبه را مورد نظر و تأکید قرار دهد.

کتاب حاضر از جمله کتبی است که مطالب نظری و عملی را به طور خلاصه و با بیانی خاص طرح نموده است. در این کتاب استفاده از روش خمیری برای طراحی سازه‌های بتن آرمه نیز مورد بحث قرار گرفته و روشهای خط سیلان و نواری هیلربورگ در مورد تاوهای بتن آرمه تشریح شده است. این روش طراحی که تا کنون کمتر مورد توجه متخصصین ما قرار گرفته، از جمله روشهای محاسباتی دقیق و توانمند است که آموزش آن لازم می‌باشد. اینجانب در طول مدتی که به تدریس درس طرح خمیری سازه‌ها اشتغال داشتم، از بین کتابهایی که در این زمینه تألیف شده است این کتاب را به عنوان شروع کار مناسبتر تشخیص داده و پیشنهاد می‌کنم. امید است مورد توجه دانش‌پژوهان عزیز قرار گیرد. در پایان از همکاری آقای دکتر فریدون ایرانی که مطالب کتاب را مطالعه و در جهت تصحیح آن پیشنهادهای ارزندی‌های ارائه داده‌اند قدردانی می‌کنم. همچنین از آقای مجید جاودانی شاهدین بخارط و پراپش ادبی کتاب و سرکار خاتم عزت شادمهری جهت تایپ کتاب و سایر دست اندکاران مؤسسه چاپ و انتشارات دانشگاه فردوسی که با امکانات ناچیز خود چاپ این کتاب را به نحو شایسته‌ای انجام داده‌اند کمال تشکر را دارم.

محمد رضا اصفهانی

عضو هیأت علمی دانشکد مهندسی

خردادماه ۱۳۷۰

علائم

در مراجع مختلف علمی استفاده از هر یک علامت جهت مفاهیم مختلف و یا استفاده از چند علامت با معنی یکسان متداول بوده است . در این کتاب نیز ضمن تعریف هر یک از علامم ، از قاعده بالا استفاده شده است . همچنین از پانویس برای نشان دادن علامم مختلف جهت رساندن مفهومی خاص ، استفاده می شده است . این روش در کتاب حاضر نیز به کار گرفته شده است .

نیروها

C نیروهای فشاری و کششی برآیند حاصل از خمش

F نیروی محوری عضو در هر یک خرپای مفصلی

N نیروی برشی در هر یک عضو خمشی

P نیروی محوری در هر یک عضو خمشی

SF نیروی برشی (مخلف)

q بارگستردۀ روی دال

UDL بارگستردۀ یکنواخت (مخلف)

λ ضریب بار

λ' تغییر در ضریب بار

λ_c ضریب بار فروریختگی

H واکنشها یا بارهای اعمال شده عمودی و افقی

w بار اعمال شده

Q بار خطی

لنگرها

| | |
|-----------------------|--|
| لنگر خمی (مخف) | BM |
| نمودار لنگر خمی (مخف) | BMD |
| لنگر گیرداری (مخف) | FEM |
| LN | لنگر، مقدار لنگر خمی، لنگر مقاوم در واحد طول |
| M_p | لنگر خمیری |
| M_p' | لنگر کاهش پافته خمیری |
| M_e | لنگر خمیری کاهش پافته |
| xii | لنگر خمی حاصل از تحلیل ارجاعی |
| M_n | لنگر در واحد طول و عمود بر خط سیلان |
| β_{red} | ضریب پخش (علامت آینه نامه CP 110) |

خواص مقاطع و مصالح

| | |
|----------|------------------------------------|
| A | سطح مقطع |
| A_s | سطح مقطع فولاد |
| b | عرض |
| d | ارتفاع کل، ارتفاع موئثر فولاد کششی |
| d_1 | ارتفاع موئثر فولاد فشاری |
| E_{sh} | ضریب پانک ^۱ |
| e | مقاومت مکعبی بتن |
| G | تابع وزن سازه |
| G' | قسمت متغیر تابع وزن |
| g | وزن واحد طول |
| I | لنگر دوم سطح |
| l | طول موئثر |
| μ | ضریب لافری |

علام

سیزده

| | |
|------------|--|
| σ | شعاع زیرا سیون $[(I/A) = \sqrt{I/A}]$ |
| S | اساس مقطع خمیری |
| t_1 | ضخامت بال |
| t_w | ضخامت جان |
| x | ارتفاع تا محور کرنش صفر در یک تیر بتنی (علامت مربوط به CP 110) |
| Z | اساس مقطع |
| γ | کرنش برشی |
| ϵ | کرنش محوری |
| σ | تنش محوری |
| σ_y | تنش تسلیم |
| τ | تنش برشی |
| τ_y | تنش تسلیم برشی |

طولها و تغییر مکانها

| | |
|---------------------------------------|---|
| ϵ | خروج از مرکزیت |
| L, h | ابعاد بیرونی |
| t, a, b | ابعاد |
| R | شعاع |
| s | فاصله، در طول یک خط سیلان |
| x, y, z | محورهای مختصات، فواصل در محورهای مختصات |
| $\alpha, \beta, \gamma, \theta, \phi$ | زاویه‌ها، دورانها |
| Δ, δ | تغییر مکانها |
| X | انحنا |

سایر علام

| | |
|-----------|----------------------------------|
| c, n, k | مقدار پرثابت‌ها، نسبتها |
| η | نسبت لنگرهای مقاوم مشتب و منفی |
| K | ضریب تصحیح هیلربروگ ^۱ |

m تعداد مکانیزم‌های اولیه (اصلی)

n تعداد مفصلهای خمیری

p تعداد مفصلهای خمیری معکن

r درجه نامعینی

YL خط سیلان (مخفف)

μ مقیاس اورتوتروپی در دالها^۱

قرارداد علائم

در این کتاب مناسبترین قرارداد علائم مورد استفاده قرار گرفته است . تنشها ، کرنشها و نیروهای محوری کششی ، مثبت فرض شده و تنها در فصل ششم نیروهای فشاری نیز مثبت در نظر گرفته شده است . لنگرهای خمشی در سمتی از عضو که تحت کشش است رسم شده است . فرض برایین است که لنگر خمشی مثبت باعث ایجاد کشش در قسمت تحتانی تیر و یا قسمت چپ ستون گردد .

۱ - تسبیت ظرفیت لنگرهای مقاوم در دو جهت فولادگذاری مثبت یا منفی دال (مترجم)

مفاهیم کلی

۱ - ۱ مقدمه

مطالبی که در ارتباط با آموزش تحلیل سازه مطرح می‌شود شامل یک سری اصول اولیه، تعادل، نظریه ساده‌خمنی، کار مجازی و بالاخره تحلیل سازه‌های با اتصالات صلب است. اختلاف عمده‌ای که در تحلیل سازه‌ها پیش می‌آید وقتی است که وضعیت آنها از حالت تعادل معین (یعنی قابل تحلیل به‌کمک معادلات تعادل) به حالت نامعین تعادل در می‌آید (به‌طوری که برای تحلیل آنها بایستی از ترکیب معادلات تعادل و سازگاری تغییر شکلها استفاده کرد). محاسبات سازه‌های نامعین همواره مشکلاتی برای دانشجویان این رشته وجود می‌آورد.

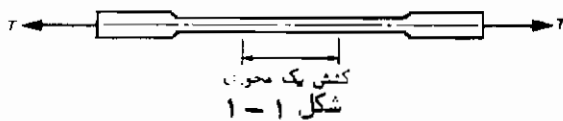
روش سنتی تحلیل براساس این فرض است که تنشهای سازه – که ناشی از اعمال بارها می‌باشد – در محدوده ارتجاعی مصالح بوده لذا تغییر مکانها کوچکند. این روش به طور گسترده‌ای مورد استفاده قرار می‌گیرد. به‌حال، در حدود بیش از سی سال گذشته روش دیگری ابداع شد که امکانات تازه‌ای را فراهم آورده است. در روش جدید اساس مسأله به صورت دیگری مطرح می‌شود. بدین‌هی است که می‌توان به هر سازه آنقدر بار اعمال نمود تا به حالت فروریختگی برسد. در این روش جدید، هدف تعیین همین مقدار بار می‌باشد. برای رسیدن به‌این هدف لازم است که به وضعیت سازه در موقع فروریختگی بی‌برده و رفتار آن را موقعی که تنشهای مصالح از حد ارجاعی فراتر رود بشناسیم. با چنین فلسفه‌ای تحلیل و طراحی بروش خمیری صورت می‌گیرد. یکی از نکات ممتاز و مهم روش‌های خمیری آن است که محاسبات مربوط به آن معمولاً "ساده‌تر از روش‌های سنتی" می‌باشد.

اگر رفتار سازه‌ها را در حین افزایش بار، از بار صفر تا بارگسیختگی مورد بررسی قرار دهیم، ما را در درک مفاهیم مربوط به روش‌های خمیری کمک خواهد کرد. موضوع فوق با دو مثال تشریح می‌گردد، ولی قبل از پرداختن به آنها لازم است خواص مصالح مورد استفاده در سازه را بشناسیم.

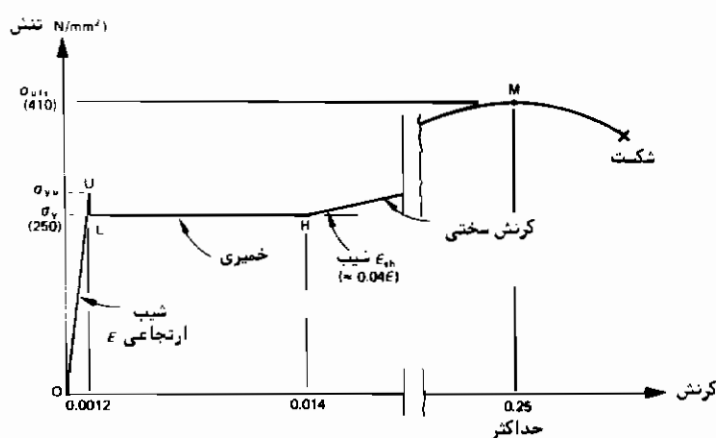
روش‌های خصیری برای سازه‌های فولادی و بتنی

۱-۲- فولاد نرمه- ماده‌ای تقریباً کامل برای تحلیل خصیری

ساده‌ترین آزمایش مکانیکی، آزمایش کشش روی میله بلند و تحت نیروی کنترل شده می‌باشد. (شکل ۱-۱) در میانه میله، دور از دو انتهای گیره، کشش تک محوری خالص وجود دارد.



اگر از دیگر طول نمونه‌ای از فولاد نرمه (مثلاً کرنش) در این محدوده اندازه‌گیری شود و بر حسب تغییرات نیروی اعمال شده (به صورت تنش) رسم گردد، منحنی تنش - کرنش مشابه شکل ۲-۱ حاصل می‌شود. در کرنش‌های کوچک تنش به صورت مستقیم با کرنش متناسب است (منطقه OU). ماده ارتجاعی است، و شیب E ضریب یا نسبت نامیده می‌شود.



شکل ۲-۱

مقدار متوسط E تقریباً 205 kN/mm^2 می‌باشد، نقطه U حد تناسب مستقیم بین تنش و کرنش می‌باشد، وقتی این حد فرا می‌رسد یک افت سریع در تنش تا نقطه L به وجود می‌آید، U نقطه حد بالایی تسلیم نامیده می‌شود که در آنجا تنش σ_y است، مقدار σ_y

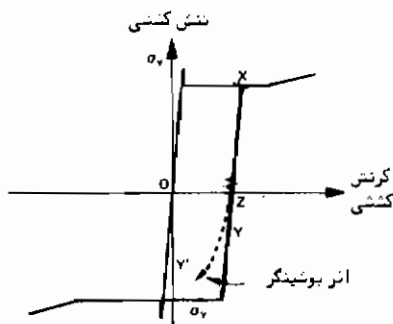
بستگی به شکل مقطع نمونه و نوع دستگاه آزمایش کننده دارد. در بسیاری از نیمرخهای رایج فولاد ساختمانی که به صورت گرم نورد شده‌اند، تنشهای پسماند ناشی از نورد نقش مؤثری در جابجاگیری نقطه L دارند. از این رو نقطه حد بالایی دارای اهمیت عملی نمی‌باشد. تنش مربوط به نقطه L تنش تسلیم نام دارد که در نمونه آزمایشی 250 N/mm^2 برای فولاد نرمه می‌باشد.

کرنش در تنش تسلیم تقریباً 500 MPa است. به ازای کرنش بیش از این مقدار هیچ گونه افزایش تنشی لازم نمی‌شود. رفتار در منطقه LH نمودار، رفتار خمیری نامیده می‌شود. (افزایش کرنش بدون آنکه تنش تغییر کند جریان خمیری نامیده می‌شود)، انتسهای قسمت افقی نمودار، H، در موارد مختلف، متفاوت است اما مقدار کرنش مربوط به نمونه 140 MPa می‌باشد. بنابراین کرنش در قسمت افقی نمودار حداقل ده برابر کرنش در نقطه تسلیم است. بعد از نقطه H، برای آنکه کرنش افزایش یابد باستی تنش را افزایش داد ولی اینک نسبت بین آنها غیر خطی است این پدیده را کرنش سختی^۲ نامیده‌اند. شبیه اولیه E₀ این قسمت تقریباً 4 Drصد مدول یانگ است. در پک کرنش حداقل 2 Drصد ، یعنی 250 MPa درصد افزایش در طول نمونه، تنش به مقدار ماکزیمم خود می‌رسد (نقطه M). این تنش مقاومت نهایی گشته σ_{uts} نامیده می‌شود و مقدار آن در مثال تقریباً 410 N/mm^2 است. افزایش بیشتر کرنش باعث لاغر شدن عضو و سرانجام شکست عضو به شکل مخروطی می‌شود. آزمایشهای دقیق نشان داده‌اند که منحنی تنش - کرنش برای فولاد نرمه در فشاری تا حد نقطه حد اکثر تنش درست مشابه حالت کشش است، بنابراین کل نمودار مطابق شکل ۱-۳ می‌باشد. اگر نمونه مثلاً "تا نقطه X بارگذاری و سپس باربرداری شود، ابتدا تغییر در کرنش ارتتجاعی است (شبیه E) که در شکل با خط XY نشان داده شده است. وقتی تنش به مقدار په در حالت فشاری می‌رسد می‌توان جاری شدن خمیری فشاری را به صورت ایده‌آل مطابق شکل نشان داد. رفتار واقعی به صورت خط چمن' XY می‌باشد که نشان دهنده کاهش آشکار در تنش تسلیم فشاری می‌باشد. انحراف از مسیر ایده‌آل را اشر بوشینگر^۳ نامند.

رفتار ارتتجاعی- خمیری در شکل ۱ - ۴ نشان داده شده است. این رفتار ایده‌آل با در نظر گرفتن موارد زیر برای فولاد ترمومدیرفتی است.

- حذف حد بالایی تسلیم. این موضوع اشکالی ایجاد نخواهد کرد و در بسیاری از اعضای سازه‌ای اثری نخواهد داشت.

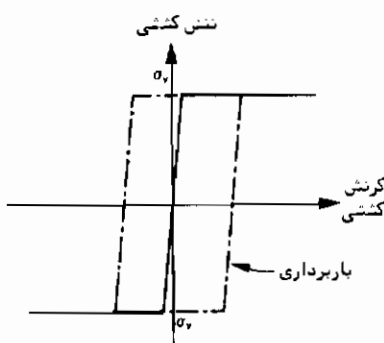
روشهای خمیری برای سازه‌های فولادی و بتنی



شکل ۳-۱

۲ - حذف کرنش سختی . این موضوع باعث ایجاد مقدار کمی خطأ می شود زیرا قسمت هایی از سیاری از سازه ها به هنگام فروریختن ، در منطقه کرنش سختی می باشد . به هر حال بد لیل شبک کم (E_{sh}) خطأ کم است و چون کرنش سختی باعث افزایش در مقاومت می گردد حذف آن مطمئن تر است .

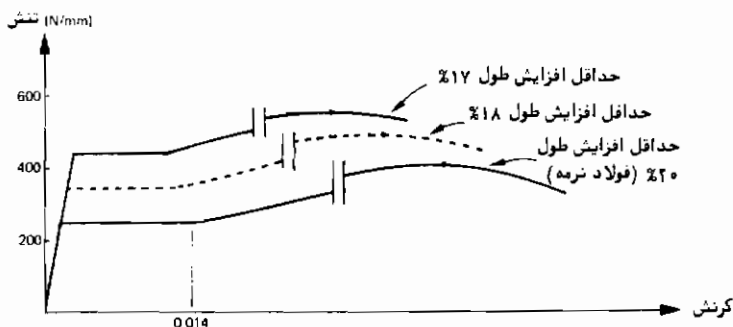
۳ - حذف انر بوشینگر . این موضوع باعث بروز خطأ هایی می شود که معمولاً "کوچک" هستند . شکل ۳-۱ نشان می دهد که هرگاه تنش تا صفر کاهش می یابد (نقطه Z) در منحنی کمی تغییر شکل به وجود می آید . در سازه ها جایی که تغییر علامت کامل تنش امکان پذیر است خطأ قابل ملاحظه می شود .



شکل ۳-۱

فولاد نرمه تنها نوع فولاد ساختمانی نیست - از انواع با مقاومت بالای آن نیز معمولاً استفاده می شود . آن گونه که در شکل ۱-۵ نشان داده شده است در مقاومتهای بالا انعطاف پذیری کاهش می یابد . بایستی در استفاده از تحلیل خمیری این چنین فولادها

دقت و ملاحظه نمود ، این موضوع در فصل ۶ مفصلتر بیان خواهد شد .



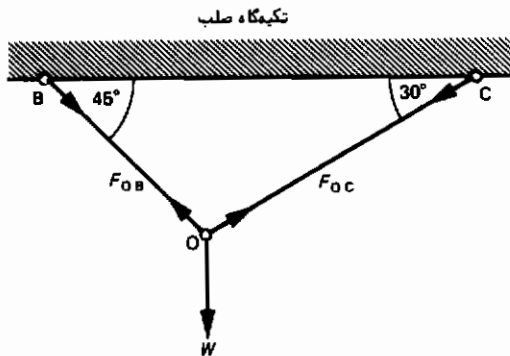
شکل ۱ - ۵

۱ - ۳ رفتار سازه‌ها تحت اثر بار متغیر چگونه است ؟

برای آنکه به‌گونه‌ای ساده و بدون ایجاد اشکال زیاد از نظر ریاضی و موضوعی مفاهیم مهم و مختلف مطرح شود ، بهذکر دو مثال در مورد خرپاهای مفصلی می‌پردازیم . این نوع خرپاهای هرگز به منظورهای کاربردی ساخته نمی‌شوند ، اما می‌توان آنها را خرپاهایی ساخته شده از فولاد نرمه تصور کرد .

۱ - ۳ - ۱ خرپای کششی معین

خرپای شکل ۱ - ۶ بهصورت استاتیکی معین است یعنی بهوسیله معادلات تعادل می‌توان آن را به‌گونه‌ای کامل تحلیل کرد . بار قائم W که در نقطه O اعمال شده است ، دو عضو OB



شکل ۱ - ۶

روشهای خمیری برای سازهای فولادی و بتنی

و OC را تحت کشش قرار می‌دهد نیروهای داخلی نامعلوم F_{OB} و F_{OC} هستند.

برای تعادل در نقطه O

$$F_{OB} \cos 45^\circ = F_{OC} \cos 30^\circ$$

معنی:

$$F_{OB} \frac{1}{\sqrt{2}} = F_{OC} \frac{\sqrt{3}}{2}$$

$$F_{OB} = 1.225 F_{OC} \quad (1-1)$$

معادله تعادل در جهت قائم در نقطه O

$$F_{OB} \sin 45^\circ + F_{OC} \sin 30^\circ = W \quad (2-1)$$

با جابجایی معادله ۱-۱ در معادله ۲-۱ خواهیم داشت.

$$F_{OB} = 0.897 W \quad (3-1)$$

$$F_{OC} = 0.732 W$$

فرض می‌شود که OB دارای سطح مقطع A و OC دارای سطح مقطع 24 می‌باشد، بنابراین

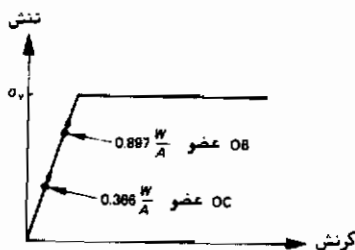
$$OB = 0.897 \frac{W}{A} = \text{تنش در } OB \quad (4-1)$$

$$OC = 0.366 \frac{W}{A} = \text{تنش در } OC$$

این تنش‌ها بواسیله دو نقطه در منحنی تنش - کرنش شکل ۴-۱ مشخص شده‌اند. همان‌گونه که مقدار W افزایش می‌یابد دو نقطه به طرف بالا حرکت می‌کنند تا این که تنش در عضو OB به تنش تسلیم می‌رسد، باری که به‌ازای آن مسأله اخیر اتفاق می‌افتد را می‌توان از معادله زیر بدست آورد.

$$0.897 \frac{W}{A} = \sigma_y \quad (5-1)$$

هر افزایش در مقدار W باعث ایجاد جریان خمیری در عضو OB می‌شود، به‌گونه‌ای که در آن عضو تنش به مقدار σ_y ثابت می‌ماند. در این حالت معادلات ۴-۱ و ۳-۱ دیگر پذیرفته شده‌اند بود زیرا تنش در عضو OB اکنون مستقل از W می‌باشد. از آنجا که معادلات ۴-۱ از معادلات تعادل ۱-۱ و ۲-۱ به دست آمده‌اند، آنها نیز نمی‌توانند صحیح باشند و



شکل ۱ - ۷

سازه در تعادل نخواهد بود . به طور فیزیکی طول OB بدون ممانعت افزایش می پابد و نقطه O جایجا می شود . این عدم تعادل "فرو ریختگی" سازه نامیده می شود . بیشترین بار که به ازای آن تعادل برقرار است بار "فرو ریختگی" (W_c) خوانده می شود . از معادله ۱ - ۵

$$W_c = 1.115 A \sigma_y \quad (۶ - ۱)$$

در این مثال دو نکته مهم روشن شده است .

- ۱ - در سازه به طور استاتیکی معین ، فرو ریختگی آنگاه رخ می دهد که عضوی که دارای بیشترین تنش است جاری گردد .
- ۲ - بار فرو ریختگی به نیروی که باعث جاری شدن عضو (σ_y) می شد وابستگی دارد .
مقدار ثابت ($1/115$ در این حالت) فقط به مشخصات هندسی اعضاء بستگی دارد .

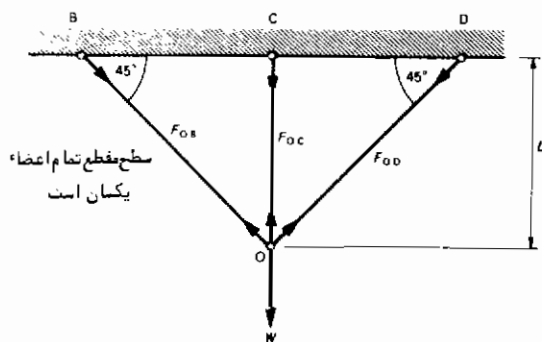
۱ - ۳ - ۲ - خربای کششی نامعین

۱ - ۳ - ۲ - ۱ تحلیل تا حد فرو ریختگی

شکل ۱-۱ خربایی را با سه عضو و یک بار قائم W نشان می دهد .
سه نیروی مجهول وجود دارد . بنابراین سه معادله مستقل برای پیدا کردن نیروهای لازم است
قالی^۴ و نوبیل^۵ [1] روش ساده‌ای برای تعیین درجه نامعینی این نوع از خربای ارائه کرده‌اند ،
این روش نشان می دهد که درجه نامعینی در سازه فوق یک است . برای تعیین نیروهای
نامعین لازم است هردو معادله تعادل و سازگاری در نظر گرفته شود .

برای تعادل در جهت قائم در نقطه O

$$F_{OB} \sin 45^\circ + F_{OC} + F_{OD} \sin 45^\circ = W \quad (۷-۱)$$

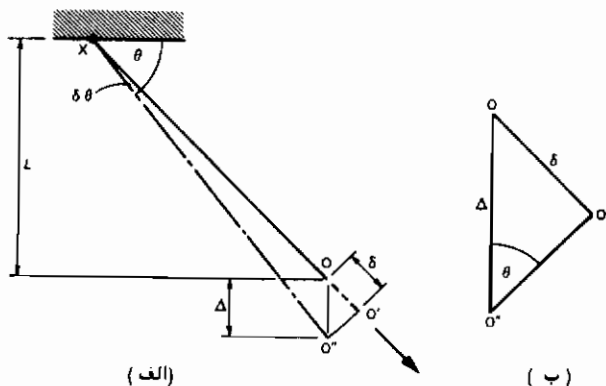


شکل ۱

به دلیل تقارن سازه و بارها، مشخص است که نقطه O بایستی به طرف پایین و عمودی تغییر مکان یابد و عضو OB باندازه عضو OD تغییر شکل دهد (کشیده شود). از آنجا که اعضاء مشابهند (از نظر مقطع) خواهیم داشت.

$$F_{OB} = F_{OD} \quad (۸-۱)$$

معادلات (۷-۱) و (۸-۱) برای تعیین نیروهای اعضاء کفايت نخواهند کرد.



شکل ۱

اگر عضو مورب شکل (۹-۱ الف) را در نظر بگیرید . وقتی نیروی کششی F_{OX} اعمال می‌گردد این عضو به اندازه δ افزایش طول می‌دهد . برای آن که نقطه O به صورت عمودی به نقطه "O' منتقال یابد عضو (عضو کششی $X'O'$) بایستی حول نقطه X دوران نماید . اگر تغییر طول کششی نسبت به طول عضو کوچک باشد (تغییر طول کششی موقعی که عضو جاری می‌شود حدود $1/5$ درصد طول می‌باشد) ، زاویه 8θ به اندازه‌ای که قابل حذف شدن باشد کوچک است (اگر θ برابر 45° باشد در نقطه جاری شدن 8θ به اندازه $'4$ خواهد بود) . در مثلث "O'OO' زاویه 00° مساوی با θ می‌باشد (شکل ۹-۱ ب) و

$$\delta = \Delta \sin \theta \quad (9-1)$$

اگر عضو OX ارجاعی باشد ، نسبت تنشی مساوی ضریب ارجاعی خواهد بود ، بنابراین

$$\frac{F_{OX}}{A} / \frac{\delta}{OX} = E$$

با قرار دادن مقادیر δ و OX داریم :

$$F_{OX} = \frac{AE}{L} \Delta \sin^2 \theta \quad (10-1)$$

اگر نقطه O به اجبار در جهت قائم حرکت کند سازگاری تأمین خواهد شد . از اینرو معادلات (۹-۱) و (۱۰-۱) برای اعضای خربناک قابل استفاده خواهند بود .

$$\begin{aligned} \delta_{OB} &= \delta_{OD} = \Delta \sin 45^\circ = \Delta/\sqrt{2} \\ \delta_{OC} &= \Delta \sin 90^\circ = \Delta \end{aligned} \quad (11-1)$$

و

$$\begin{aligned} F_{OB} &= F_{OD} = \frac{AE}{L} \Delta \left(\frac{1}{\sqrt{2}} \right)^2 = \frac{AE\Delta}{2L} \\ F_{OC} &= \frac{AE\Delta}{L} \end{aligned} \quad (12-1)$$

که Δ تغییر مکان قائم نقطه O خواهد بود . از معادله (۱۲-۱) ملاحظه می‌گردد که

$$2F_{OB} = F_{OC} \quad (13-1)$$

معادله (۱۳-۱) بهمراه معادلات (۷-۱) و (۸-۱) برای محاسبه نیروهای اعضاء لازم هستند.
با جایگایی معادله (۸-۱) در معادله (۷-۱) داریم:

$$\sqrt{2} F_{OB} + F_{OC} = W \quad (14-1)$$

و با جایگایی معادله (۱۳-۱) در معادله اخیر داریم:

$$\left(\frac{\sqrt{2}}{2} + 1\right) F_{OC} = W \quad (15-1)$$

$$F_{OC} = 0.585W$$

$$F_{OB} = F_{OD} = 0.293W \quad (16-1)$$

وقتی بار تا مقدار W_1 افزایش پابد عضو OC جاری می‌شود، خواهیم داشت

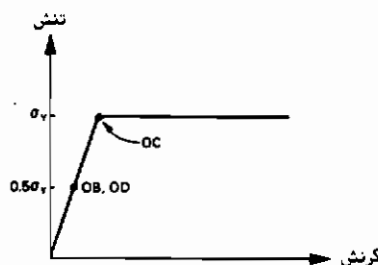
$$\frac{0.585W_1}{A} = \sigma_y$$

$$W_1 = 1.709 A \sigma_y \quad (17-1)$$

تنشها در کلیه اعضاء در شکل (۱۵-۱) نشان داده شده است. تنش در اعضای OB و OD برابر $\sigma_y/5$ می‌باشد. خیز نقطه O در موقعی که جاری شدن شروع می‌شود از معادله (۱۲-۱) بدست می‌آید،

$$F_{OC} = A \sigma_y = \frac{AE\Delta_1}{L}$$

$$\Delta_1 = \frac{L \sigma_y}{E} \quad (18-1)$$



شکل ۱۰-۱

تا کنون این مثال تنها نوع پیچیده‌تری از مثال قسمت ۱-۳-۱ بوده است، اما از این به بعد تفاوت‌های مهمی وجود دارد. اگرچه OC جاری شده و در نتیجه نیروی آن به مقدار $A\sigma_y$ رسیده است ولی نقطه ۰ نمی‌تواند آزادانه تغییر مکان دهد زیرا بوسیله اعضای باقیمانده ارتجاعی مهارشده است. وقتی W افزایش یابد فقط دو نیروی نامعلوم وجود دارد، بنابراین جاری-شدن عضو OC درجه نامعینی را (یک درجه) کاهش داده است. معادله (۱۵-۱) بصورت زیر در می‌آید.

$$\sqrt{2}F_{OB} = W - A\sigma_y \quad (19-1)$$

بنابراین

$$F_{OB} = 0.707(W - A\sigma_y) \quad (20-1)$$

اکنون بدون مراجعه به معادلات سازگاری مسأله به کمک معادلات تعادل حل می‌شود، زیرا خرها معین شده است. OB و OD وقتی جاری می‌شوند که:

$$F_{OB} = A\sigma_y \quad (21-1)$$

با جایگزینی معادله (۲۰-۱) در معادله (۲۱-۱) بار W_2 به دست می‌آید.

$$0.707(W_2 - A\sigma_y) = A\sigma_y$$

$$W_2 = 2.414A\sigma_y \quad (22-1)$$

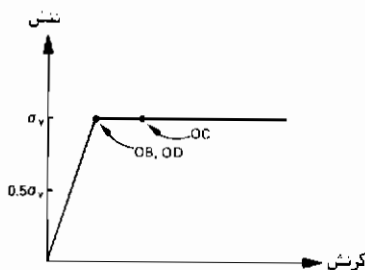
به کمک معادله (۲۱-۱) (برای عضو OB که تا این مقدار هار، ارتجاعی باقیمانده است) خیز منوطه یعنی Δ_2 در نقطه ۰ به دست می‌آید.

$$\Delta_2 = \frac{2L\sigma_y}{E} \quad (23-1)$$

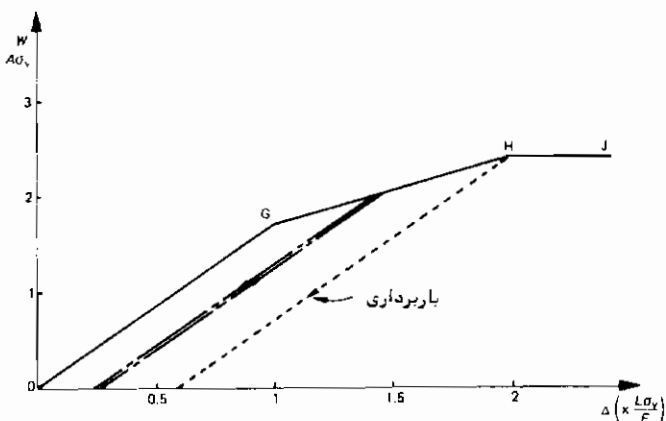
تنشیای اعضا به ازای بار W_2 در شکل (۱۱-۱) ترسیم شده است. از آنجا که تسام اعضاء اکنون جاری شده‌اند، W_2 بار فروریختگی (W_c) خرها می‌باشد.

لحظه‌ای را که بار W_2 اعمال می‌شود "نقطه فروریختگی" نامند در این لحظه سازه تعادل ناپایدار خواهد داشت. کوچکترین حرکتی تعادل آنرا بهم خواهد زد، جریان خمیری در

تمام اعضا بوجود آمده و نقطه O در جهت نامعلومی حرکت خواهد نمود.



شکل ۱۱-۱



شکل ۱۲-۱

- نتایج تحلیل در این حالت در شکل (۱۲-۱) و جداول (۱-۱) و (۲-۱) جمع‌آوری شده است. نکات مهم متعددی وجود دارد که از تحلیل حاصل می‌گردد. این نکات عبارتند از:
- ۱- هرگاه یک عضو جاری می‌شود درجه نامعینی یک درجه گاهش می‌پاید. این موضوع وقتی که عضو OC جاری شد در تحلیل مطرح گردید. وقتی خریا از نظر استاتیکی معین شد جاری شدن یک عضو دیگر باعث شکست خواهد گردید (آنچنان که در مثال ۳-۱-۱ مطرح شد). در این حالت بهدلیل تقارن، دو عضو تواًماً جاری شدند. این کاهش درجه نامعینی سازه عامل کنترل کننده مفیدی می‌پاشد. با تعیین درجه نامعینی سازه، محاسبه حداقل تعداد اعضایی که برای فروریختگی لازم است ساده خواهد بود.
 - ۲- توزیع مجدد نیروهای داخلی. جدول ۱-۱ نسبت مقادیر نیروهای داخلی را با توجه بهارهای W_1 و W_c نشان می‌دهد.

جدول ۱-۱ مقادیر نسبی نیروهای عضو

| بار | W_1 | W_c |
|-------------------|-------|-------|
| F_{OC}/F_{OC} | ۱ | ۱ |
| F_{OB}/F_{OC} | ۰/۵ | ۱ |
| $F_{OB} : F_{OC}$ | ۱:۲ | ۱:۱ |

بدینهی است به محض جاری شدن یک عضو، مقادیر نسبی بطور مؤثر تغییرمی‌کند، اعضا بیک در ابتدا سهم کمتری در باربری داشته‌اند به تدریج سهم بیشتری از بار اعمال شده را تحمل می‌کنند. این موضوع "پخش مجدد نیروهای داخلی" نام دارد که یک خصوصیت مهم رفتار سازه‌ای می‌باشد.

۳- گاهش سختی. شکل (۱۲-۱) نموداری از بار اعمال شده W (ترسیم شده بر حسب $W/A\alpha_y$) بر حسب خیز Δ می‌باشد. نمودار بوسیله سه خط مستقیم تعریف شده که به تدریج افقی می‌شود. این نمودار به صورت مقادیر عددی در جدول (۲-۱) برده شده است. شب نمودار (نسبت تغییر بار به خیز $dW/d\Delta$) معرف سختی سازه است. در ابتدا سختی بیشترین مقدار را دارد، اما هر زمان که یک عضو جاری می‌شود (یک کاهش در درجه نامعینی بوجود می‌آید) یک افت ناگهانی در سختی آیجاد می‌شود. در حالت نهایی (HJ) وقتی که تمام اعضا جاری شدند خط افقی نشان دهنده سختی صفر است. از این‌رو به تعبیر دیگر می‌توان گفت فرو ریختگی زمانی است که سختی سازه صفر می‌شود.

جدول ۲-۱

| شکل ۱۲-۱ تسنی از | $\frac{dW}{d\Delta}$ $\left(\times \frac{AE}{L} \right)$ |
|---------------------|--|
| OG | 1.707 |
| GH | 0.707 |
| HJ | 0 |

۲-۳-۲- وقتی بار بعد از جاری شدن عضو برداشته می‌شود چه اتفاقی می‌افتد؟

قبلان نشان داده شد (بند ۲-۱) که وقتی نمونه تحت کشش پس از جاری شدن، بار-برداری می‌شود، کاهش تنش به صورت ارجاعی انجام می‌شود. برای نشان دادن این که چگونه این موضوع در مورد سازه تامین عمل می‌کند، مثال قبل را موقعی که W_c اعمال شده ولی هنوز دو عضو آخرين تحت جریان خمیری قرار نگرفته‌اند در نظر بگیرید. اگر بکبار اضافی ($-W_c$) اعمال شود بار خالص موئثر صفر خواهد بود. از آنجا که با برداری به صورت ارجاعی در هر عضو انجام می‌گردد، از معادله ۱-۱۶ تغییرات نیروی اعضاء بر حسب ($-W_c$) بدست می‌آید.

$$\begin{aligned} F_{OC} &= -0.585 W_c \quad \text{تغییر در } F_{OC} \\ F_{OB} &= -0.293 W_c \quad \text{تغییر در } F_{OB} \end{aligned} \quad (24-1)$$

مقدار W_c از معادله (۲۴-۱) بدست می‌آید، نیروهای حاصل شده در اعضاء بازیابی با صفر عبارتست از:

$$\begin{aligned} F_{OC} &= A\sigma_y - 0.585 \times 2.414 A\sigma_y = -0.414 A\sigma_y \\ F_{OB} &= A\sigma_y - 0.293 \times 2.414 A\sigma_y = 0.293 A\sigma_y \end{aligned} \quad (24-1)$$

معادله (۲۴-۱) نشان می‌دهد که در بار صفر نیروهای داخلی اعضاء صفر نمی‌شوند. این نیروهای پس ماند خاصیت مهمی دارند که با جابجایی معادله ۱-۱۵ در معادله متعادل مشخص می‌شود.

$$\begin{aligned} \sqrt{2} \times 0.293 A\sigma_y - 0.414 A\sigma_y &= 0 \\ (0.414 - 0.414) A\sigma_y &= 0 \\ 0 &= 0 \end{aligned}$$

به عبارت دیگر نیروهای پس ماند پا به دیگر در حال تعادلند و به آنها مجموعه نیروهای پس ماند خود متعادل گویند.

$$\Delta_r = \frac{2L\sigma_y}{E} - \frac{0.585 \times 2.414 A\sigma_y L}{AE} = \frac{0.588 L\sigma_y}{E} \quad (24-1)$$

فراهم‌بند برداری به سهله خط چین در شکل ۱-۱۲ مشخص شده است توجه شود که در این مثال تمامی نیروهای پس ماند از بارهایی ($\pm A\sigma_y$) که بازیابنها جاری شدن ایجاد

می‌گردد کمتر هستند . مثال ذکرشده بهنحوی انتخاب شده است که نتیجه فوق را تأیین نماید ولی بدیهی است که در بعضی از سازه‌ها توزیع مجدد نیروهای داخلی می‌تواند طوری باشد که در باربرداری باعث جاری شدن در جهت مخالف گردد . بدیهی است محاسبات مربوط به تحلیل فوق بسیار پیچیده بوده و بخصوص که اثر بوشینگ نیز در آن داخل می‌شود . اگر در راه رسیدن بهمار صفر، خرپا مجدداً بارگذاری شود ، رفتاری در جهت معموس خواهد داشت . و این همان چیزی است که پیش‌بینی می‌شد زیرا در تمام اعضاء حالت ارجاعی دوباره ظاهر شده و افزایش بار باعث تغییرات ارجاعی ن نقطه تسلیم می‌گردد . زمانی که بار به مقدار $\frac{1}{2}$ برسد جاری شدن در تمام اعضاء در پک زمان به وجود می‌آید . بنابراین می‌توان نتیجه‌گیری کرد که چنانچه پس از آنکه عضوی از نقطه تسلیم گذشت، باربرداری گردد مسیر تغییرات نیروهای عضو عوض می‌شود ولی این مسئله هیچ اثری دربار فرو ریختگی ندارد . اگر قبیل از رسیدن به نقطه فروریختگی باربرداری صورت گیرد بحث فوق باز هم صحیح می‌باشد ، این موضوع نیز در شکل ۱۲-۱ نشان داده شده است .

۱-۳-۲-۳- اگر طول اعضاء بدرستی اجرا نشود چه اتفاقی می‌افتد؟

هرگاه طول بعضی اعضاء در پک سازه نامعین بدرستی اجرا نشوند کما غالب به آن خطای نصب گویند ، لازم است مفصلها با نیرویی به سمت پک‌بگر برده شوند . این موضع به ک سیستم نیرو در اعضا به وجود می‌آورد . برای این که نشان داده شود چه اتفاقی می‌افتد ، سازه‌ای همانند سازه قبل را در نظر بگیرید ، ولی عضو OC را به اندازه $1.0y/F$ مطابق شکل ۱۲-۱ کوتاهتر فرض کنید ، برای اینکه دو مفصل بهم برسند ، نیروی F را اعمال می‌کنیم ، در اعضا مورب شکل ۱۲-۱ الف نیروی F نقطه O را به اندازه δ بالا می‌کشد . در عضو دیگر OC شکل ۱۲-۱ ب ، نیروی F نقطه O را به اندازه δ پایین می‌برد . در شکل ۱۲-۱ با توجه به تقارن

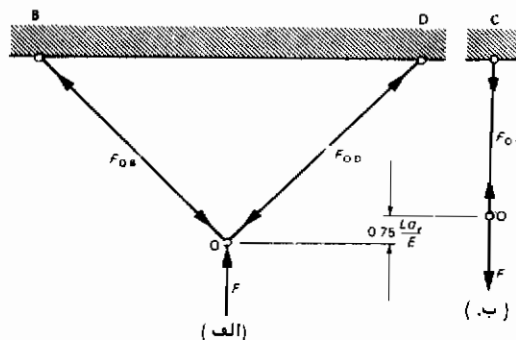
$$F_{OB} = F_{OD}$$

برای تعادل در جهت قائم ، شکل ۱۲-۱ الف (نیروی عضو فشاری منفی است)

$$\sqrt{(2)}F_{OB} = -F$$

برای تعادل در جهت قائم ، شکل ۱۲-۱ ب

$$F_{OC} = F$$



شکل ۱ - ۱۲

با جابجایی در معادله ۱۲-۱ (خیز در جهت پایین مثبت است) داریم:

$$\delta_1 = \frac{2F_{OB}L}{AE} = \frac{-\sqrt{(2)FL}}{AE} \quad (22-1)$$

$$\delta_2 = \frac{F_{OC}L}{AE} = \frac{FL}{AE}$$

برای از بین بردن فاصله و بستن اعضاء

$$|\delta_1| + |\delta_2| = \frac{0.75L\sigma_y}{E} \quad (28-1)$$

با جابجایی معادله ۲۲-۱ در معادله ۲۸-۱ داریم:

$$(\sqrt{2}+1) \frac{FL}{AE} = \frac{0.75L\sigma_y}{E}$$

بنابراین

$$F = 0.311A\sigma_y$$

$$F_{OB} = -0.220A\sigma_y$$

$$F_{OC} = 0.311A\sigma_y \quad (29-1)$$

$$\delta_1 = -\frac{0.439L\sigma_y}{E}$$

در روند اتمال اعضاء نیروهای F یکدیگر را خنثی می‌کنند بهنحوی که برآیند نیروی واردہ به سازه صفر گردد. بنابراین همانطور که در قسمت قبل گفته شد اولین تأثیر خطای نصب ایجاد مجموعه‌ای از نیروهای پس ماند متعادل و تغییر مکانهای دائمی است.

وقتی بار W روی خرپا گذاشته می‌شود، نیروی اعضاء تغییر می‌یابد.

رفتار خرپا ضمن افزایش بار W مطابق آنچه در قسمت ۱-۲-۳-۱ گفته و در جدول

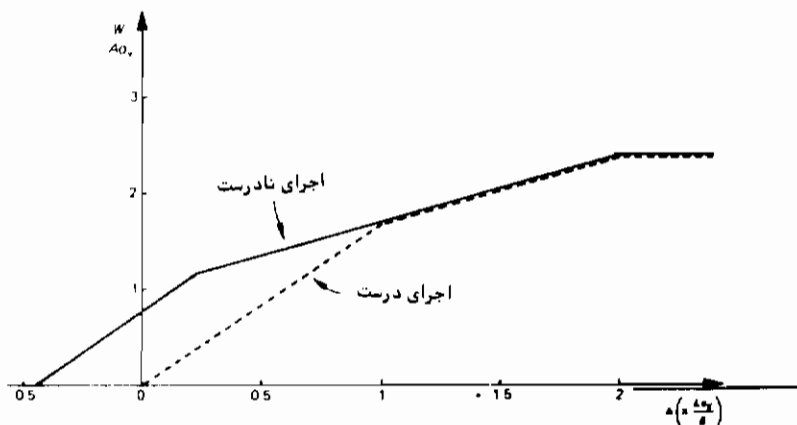
۱-۳ جمع‌بندی شده است دنبال می‌شود.

جدول ۱-۳

| $W/A\sigma_y$ | $F_{OB}/A\sigma_y$ | $F_{OC}/A\sigma_y$ | $\Delta \left(x \frac{L\sigma_y}{E} \right)$ |
|---------------|--------------------|--------------------|---|
| 0 | -0.220 | 0.311 | -0.439 |
| 1.178 | 0.125 | 1 | 0.250 جاری می‌شود |
| 2.414 | 1 | 1 | 2 فروریختگی |

منحنی بار، تغییر مکان این حالت و حالتی که در آن خرپا صحیح اجرا شده باشد در شکل ۱-۴ ترسیم شده است. در بارهای کم منحنی‌ها باهم اختلاف دارند ولی با جاری شدن اعضای مختلف به سمت هم نزدیک و در نقطه فروریختگی برهم منطبق می‌شوند. در این نقطه بار و تغییر مکان در هردو حالت پکسان هستند.

توزیع مجدد نیروهای داخلی باعث می‌شود که خطای نصب اثری در مقدار بار فرو ریختگی نداشته باشد. خطای نصب باعث می‌شود که توزیع مجدد نیروهای باهاشکال مختلف انجام شود و جریانهای خمیری متفاوتی بوجود آید ولی به‌هرحال نتیجه نهایی یکی خواهد بود.



شکل ۱-۴

۴-۲-۳-۱ تعیین بار فروریختگی محاسبات را بسیار آسان می‌سازد ، از آنجا که در نظر گرفتن عامل خطای نصب در تعیین بار فروریختگی اشی ندارد ، محاسبات بروش بار فروریختگی بسیار آسان است . در موقع فروریختگی نیروی هر عضو $A\sigma_y$ است ، بنابراین تعادل قائم در نقطه ۰ بصورت زیر است .

$$2A\sigma_y \sin 45^\circ + A\sigma_y = W_c$$

$$W_c = 2.414 A\sigma_y$$

سادگی محاسبات در این روش را با تحلیل ارجاعی که در قسمت ۱-۲-۳-۱ بیان شده مقایسه کنید . حتی در سازه‌های پیچیده‌تر ، تحلیل به‌همین نسبت ساده می‌شود .

۱-۴ خلاصه

هدف این بخش آشنایی با مفاهیم مهم متعدد و ترغیب خوانندگان به تفکر در مورد رفتار سازه‌ها است . مثال‌های ارائه شده به دقت و به نحوی انتخاب شده که هدف فوق را عملی سازد . در واقع ، تحلیل خمیری برای خرپاها به‌کار نمی‌رود زیرا عملاً "بعضی از اعضای خرپا تحت فشارند و در موقعیت کمانش قرار می‌گیرند . تحلیل خمیری بیشترین کارآیی را در سازه‌هایی دارد که تحت لنگرهای خمشی هستند . به‌هرحال ، مفاهیمی را که در مثال‌های این بخش ارائه شد می‌توان برای تمام سازه‌ها تعمیم داد ، بنابراین قبل از مطالعه بیشتر در مورد سازه‌های با اعضای تحت خمش لازم است این مفاهیم جمع‌بندی شود .

۱- محاسبات بار فروریختگی مشکل نیست ، محاسبات ریاضی آن نسبت به محاسبات مربوط به تعیین بار در تسلیم اولیه بسیار ساده‌تر است .

۲- با جاری شدن هر عضو درجه نامعینی سازه کاهش می‌یابد . جاری شدن هر عضو باعث کاهش یک درجه نامعینی می‌گردد .

در لحظه فروریختگی ، سازه به طور استاتیکی معین است .

۳- هر عضو که جاری می‌شود کاهش در سختی بوجود می‌آید . در لحظه فروریختگی ، سختی به صفر کاهش می‌یابد .

۴- در نقطه فرو ریختگی ، حالت تعادل ناپایدار ایجاد می‌شود . و بمحض ایجاد آن سازه فرو می‌ریزد و تعادل برگشت ناپذیر می‌شود .

۵- وقتی اعضاء جاری می‌شوند ، توزیع مجدد نیروهای داخلی بوجود می‌آید .

۶- خطای نصب اعضا در مقدار بار فروریختگی اشی ندارد .

خمش خمیری

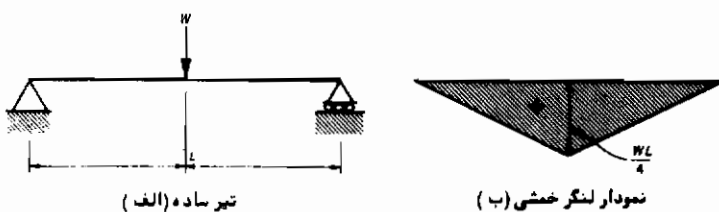
۱ - مقدمه

در بخش قبل رفتار خرپاها مطالعه شد . در حال حاضر معمولترین شکل سازمانی قاب
صلب است . بدینهی است که مفاهیم مطرح شده قبلی برای یک چنین سازه‌هایی نیز قابل
استفاده می‌باشد .

در خرپاها بارهای واردہ از طریق نیروهای محوری اعضا به تکیه‌گاهها منتقل می‌شوند .
به‌این نیروهای محوری "نیروهای داخلی" گویند . در قابها بارهای واردہ اساساً "توسط
نیروهای برشی و لنگرهای خمشی" در اعضا تحمیل می‌شوند (علاوه بر آنها نیروهای محوری نیز
وجود دارد ولی معمولاً" اثر آنها بجز در مورد ستونها از اهمیت کمی برخوردار است) .
قبل از بررسی فروریختگی قابها لازم است مشخص شود که وقتی یک عضو به اندازه
کافی تحت خمش قرار می‌گیرد و اکثر قسمتها پرتنش آن خمیری می‌شود چه اتفاقی می‌افتد .

۲ - وقتی یک تیر تحت خمش قرار می‌گیرد چه می‌شود ؟

ساده‌ترین سازه‌ای که بوسیله خمش باری می‌شود تیر با تکیه‌گاههای ساده می‌باشد که
در شکل ۲-۱ الف نشان داده شده است . این تیر دارای دهانه $\frac{1}{4}$ است و بار قائم $\frac{w}{4}$ را
تحمل می‌کند . بار توسط تیر خمشی به تکیه‌گاهها منتقل می‌شود .



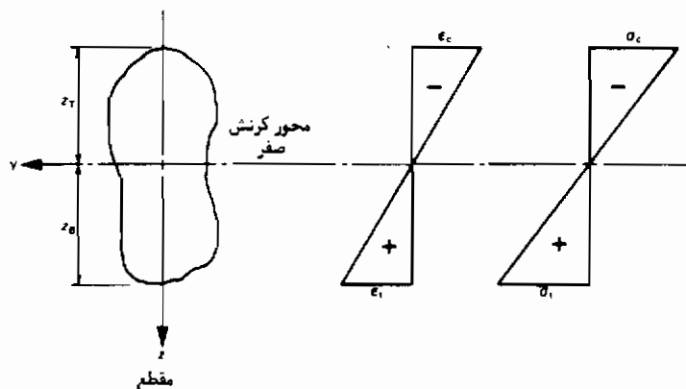
شکل ۲ - ۱

برای برقراری تعادل لازم است واکنش قائم در هر تکیهگاه $W/2$ باشد . نوع تکیهگاه مانع از ایجاد هرگونه لنگر خمشی یا نیروی محوری در تکیهگاه می‌شود . نمودار لنگر خمشی(BM)تیر در شکل ۱-۲ ب نشان داده شده است . تیر تحت بار متراکزدر تمام طول خود خمیده شده و لنگر خمشی حداقل آن $WL/4$ است . اکنون با استناد به این رفتار مقطع تیر را در محل خمش جدا کنید و بررسی کنیم .

براساس نظریه ساده خمشی (که براساس رفتار ارجاعی مصالح استوار است) اطلاعات زیر راجع به مقطع بدست می‌آید . اگر هیچ نقطه‌ای از جسم جاری نشود در تمام ارتفاع مقطع رابطه تنش و کرنش بصورت خطی می‌باشد . آن چنان که در شکل ۲-۲ نشان داده شده است . محوری که در آن تنش و کرنش صفر است "محور کرنش صفر" نامیده می‌شود . از اصطلاح "محور کرنش صفر" بدین دلیل استفاده شده است که با "نارخنی" که معقولاً بمعنی محور مرکزی است اشتباه نشود . تنش و کرنش متناسب با فاصله (z) از این محور می‌باشند و برای خمش ثابت، حداقل مقدار فشاری در بالا و کششی در پایین مقطع می‌باشد . حداقل تنش به وسیله رابطه زیر بدست می‌آید .

$$\sigma_{\max} = \frac{M}{Z}$$

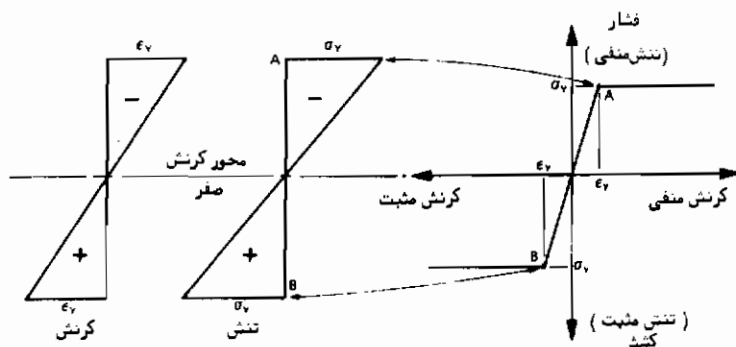
که در آن، لنگر خمشی $= M$ و اساس مقطع حداقل $= Z$ می‌باشد . (توجه شود که برای یک مقطع نامتناهن، مطابق شکل ۲-۲، در خمش حول محور y، دو اساس مقطع وجود دارد) .



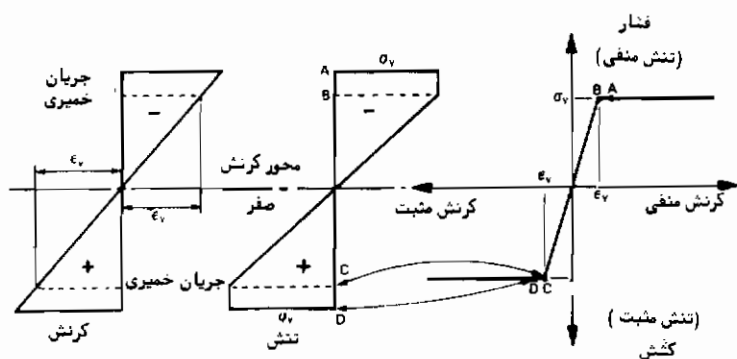
شکل ۲ - ۲

(لنگر دوم سطح مقطع حول محور y) $= Z_B = I/z_B$ و $Z_T = I/z_T$ مقدار تنش در بالا و پایین مقطع متفاوت است .

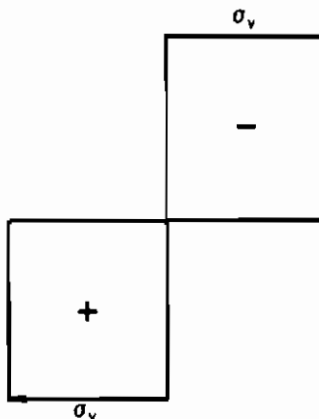
تا موقعی که بیشترین تنش در مقطع به نقطه جاری شدن بررس رفتار ارتجاعی خواهد بود، البته در این حالت فقط مصالح در لبه خارجی مقطع در حال جاری شدن است. به وسیله آزمایش نشان داده شده است که توزیع کرنش در ارتفاع مقطع پس از جاری شدن خطی باقی می‌ماند (و فرضیه ساده خمشی مسطح ماندن صفات پس از جاری شدن خطی مطابق شکل ۳-۲ و ۴-۲ از منحنی تنش-کرنش، محاسبه تنش در هر مقطع ممکن می‌باشد). همان گونه که لنگر خمشی اضافه می‌شود، جاری شدن مقطع به سمت محور کرنش صفرگشتش می‌باید. در مناطقی که جاری شده‌اند دو منطقه با تنش ثابت وجود دارد (تنش به تنش تسلیم محدود می‌شود ولی کرنش به وسیله جریان خمیری افزایش می‌باید) این دو منطقه به وسیله یک رابطه خطی توزیع تنش (ارتجاعی) بهم متصل می‌شوند. در شکل ۵-۲ مشخص شده که تنش ثابت نا محور کرنش صفر ادامه یافته است.



شکل ۲ - ۳

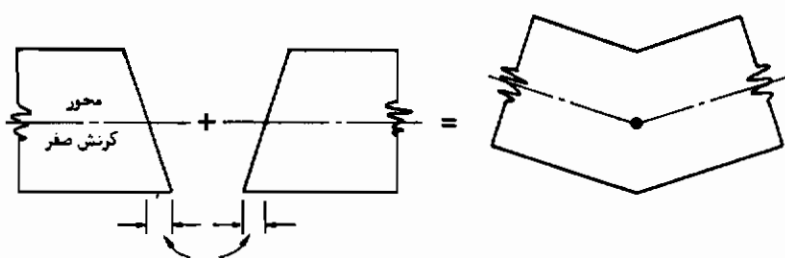


شکل ۲ - ۴



شکل ۲ - ۵

با جاری شدن کلیه تارهای مقطع (فشار در بالا و کشش در پایین محور کرنش صفر) مقطع مشابه یک مفصل عمل می‌کند، زیرا کرنش در کلیه نقاط مقطع بدون هرگونه تغییر در تنش افزایش می‌یابد. عملکرد این مفصل در شکل ۲-۶ مشخص شده است. مقطع در این حالت تبدیل به مفصل خمیری شده است. در مفصل خمیری لنگری BM برابر با لشکر مقاوم خمیری مقطع بعوجود می‌آید که بیشترین لنگری است که مقطع می‌تواند تحمل کند. معمولاً لنگر خمیری را با M_p نشان می‌دهند.



افزایش طول بعداز جاری شدن کامل مقطع
مفصل در مقطع بحرانی = نیبر درست راست + نیبر درست چپ
دوران حول محور کرنش صفر = مقطع بحرانی مقطع بحرانی

شکل ۲ - ۶

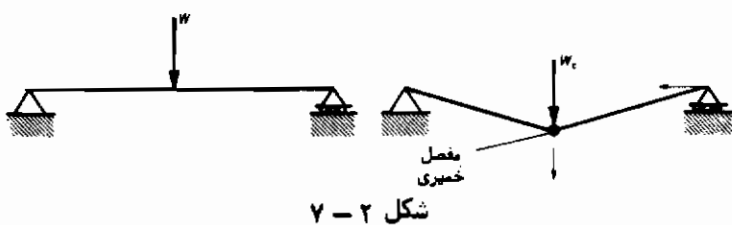
وقتی مفصل خمیری در تیرساده شکل می‌گیرد، فروریختگی بعوجود می‌آید (شکل ۲-۷). این حالت درست قابل مقایسه با خربای معین استاتیکی قسمت ۱-۳-۱ است که وقتی اولین عضو جاری شد فروریختگی بعوجود آمد. در این حالت تیر معین است و وقتی مفصل شکل

گرفت فرو خواهد بیخت . درک این موضوع که تشکیل مفصل خمیری (نه در اولین جاری شدگی) در عضو خمیش مشابه جاری شدن عضو تحت بار محوری می باشد ، اهمیت دارد . وقتی فرو-بیختگی به وجود آمد ، بار و تکیه گاه دست راستی باقیستی حرکت کند . تیراکسون تبدیل به مکانیزم شده است . تعیین بار فرو-بیختگی W_c با مساوی قراردادن حداکثر لنگر ناشی از بار اعمال شده و لنگر خمیری شیر به سادگی تعیین می شود .

$$\frac{W_c L}{4} = M_p$$

بس
(۱ - ۲)

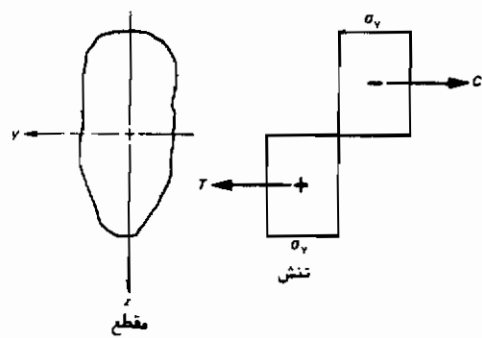
$$W_c = \frac{4M_p}{L}$$



۲ - ۳ محاسبه لنگر خمیری

۲ - ۳ - ۱ کلیات

یک مقطع کلی در شکل ۲-۸ نشان داده شده است . همچنین توزیع تنش در اثر تشکیل مفصل خمیری در مقطعی که حول محور y تحت خمش قوار دارد نشان داده شده است .



از آنجا که مفصل تنها تحت خمش شکل گرفته است، تعادل افقی مقطع ایجاد می‌کند که $C = T$ باشد.

$$C = T \quad (2-2)$$

C نیروی فشاری ناشی از جاری شدن فشاری مقطع در بالای محور کرنش صفر و T نیروی کششی ناشی از جاری شدن کششی مقطع در پایین محور می‌باشد. از این‌رو

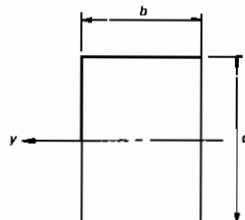
$$(2-3) \quad (\sigma_y \times \text{سطح مقطع قسمت کششی}) = \sigma_y \times \text{سطح مقطع در قسمت فشاری}$$

معادله (2-3) نشان می‌دهد که محور کرنش صفر، وقتی که مفصل خمیری شکل می‌گیرد، سطح مقطع را نصف می‌کند. این محور فقط وقتی بر محور سطح مقطع منطبق است که مقطع حول محور کرنش صفر متقارن باشد.

۲ - ۳ - ۲ مقطع مستطیل

در یک مقطع مستطیلی شکل (شکل ۹-۲) که حول محور y تحت خمش قرار دارد، محور کرنش صفر در فاصله $d/2$ از بالای مقطع قرار می‌گیرد.

$$C = T = \frac{bd}{2} \sigma_y \quad (4-2)$$



شکل ۹-۲

از آنجا که نیروها به وسیله لنگر خمی مساوی با M_p بوجود می‌آید با لنگرگیری حول محور کرنش صفر خواهیم داشت.

$$M_p = C \times \frac{d}{4} + T \times \frac{d}{4}$$

$$= 2 \times \frac{bd}{2} \sigma_y \times \frac{d}{4}$$

بنابراین

$$M_p = \frac{bd^2}{4} \sigma_y \quad (5-2)$$

رابطه فوق به صورت زیر نوشته می‌شود.

$$M_p = S\sigma_y \quad (6-2)$$

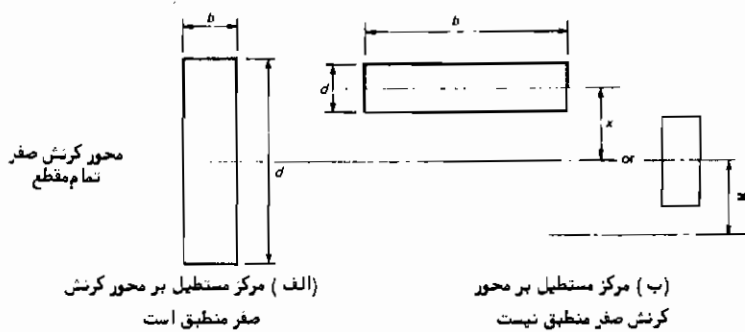
که S اساس خمیری مقطع نامیده می‌شود (اساس مقطع ج) اساس خمیری مقطع پک مشخصه هندسی مقطع است. نسبت اساس خمیری به اساس مقطع "ضریب شکل" مقطع نامیده می‌شود

$$\text{ضریب شکل} = \frac{S}{Z} \quad (7-2)$$

برای مقطع مستطیل $Z = bd^2/6$ است، بنابراین

$$\frac{bd^2}{4} / \frac{bd^2}{6} = \text{ضریب شکل}$$

با توجه به مراحل زیر برای مقطع مستطیل محاسبات برای شکلهای پیچیده‌تر نیز عمومیت دارد.



شکل ۲ - ۱۰

- ۱ - محوری که سطح مقطع را به دونیم می‌کند محاسبه شود.
- ۲ - مقطع به قسمت‌های ساده که مشخصه‌های هندسی آن به راحتی قابل محاسبه باشد تقسیم گردد. برای نیم‌رخهای فولادی این قسمتها مستطیل خواهد بود.
- ۳ - اساس خمیری مجموع اساسهای خمیری هر یک از مستطیلها خواهد بود. تنها مشکل در

قسمت (۳) آن است که مرکز سطح مقطع بر محور کرنش صفر تمام مقطع منطبق نگردد آن -
گونه که در شکل ۱۵-۲ نشان داده است .
وقتی که مرکز سطح بر محور کرنش صفر منطبق شود معادله ۲-۵ قابل استفاده است .

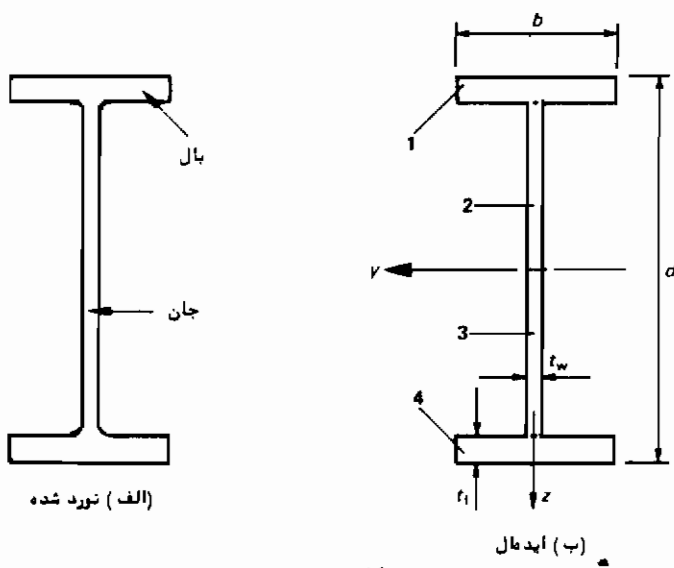
$$\frac{bd^2}{4} = \text{اساس خمیری مقطع مستطیل}$$

و وقتی که منطبق نیست ، عیناً می‌توان نشان داد که

$$b dx = \text{اساس خمیری مستطیل} \quad (۸-۲)$$

۲-۳-۳- نیمرخ ۱ شکل

این نیمرخ احتمالاً "معمولترین نیمرخ ساختمانی می‌باشد . نمونه‌ای از آن در شکل ۱۱-۲
الف نشان داده شده است . با عبور دادن شمش فولاد از تعدادی غلتک این نیمرخ به دست
می‌آید .



شکل ۲-۱۱

در روش‌های جدید برای تهیه نیمرخ از صفحاتی موادی با جان و بالها استفاده می‌شود ، پک
نیمرخ ۱- شکل نسبت به محورهای $y-y$ و $z-z$ متقارن است . در محاسبات از زائد کوچک بین

بالها و جان صرف نظر می‌گردد. این مقطع مطلوب با ابعاد مربوطه به چهار قسم تقسیم شده و در شکل ۱۱-۲ ب نشان داده شده است. جدول ۱-۲ نشان می‌دهد که چگونه با استفاده از روش مشروطه در قسمت زیر اساس خمیری نیمرخ I شکل محاسبه می‌شود.

جدول ۱-۲

| مرحله | الخمش حول محور y | الخمش حول محور z |
|--------------------------|---|---|
| | محور حول محور y | محور z |
| محور کرنش صفر (۱) | محور حول محور y | |
| ۴ مستطیل مطابق شکل ۱۱-۲ | ۴ مستطیل مطابق شکل ۱۱-۲ | |
| تقسیم‌باعشال (۲) ساده | | |
| اساس خمیری هر (۳) سطح | | |
| 1 | $b t_f \left(\frac{d}{2} - \frac{t_f}{2} \right)$ | $\frac{b^2 t_f}{4}$ |
| 2 | $\frac{(d-2t_f)}{2} \times t_w \times \frac{(d-2t_f)}{4}$ | $\frac{(d-2t_f)}{2} \frac{t_w^2}{4}$ |
| 3 | $\frac{(d-2t_f)}{2} \times t_w \times \frac{(d-2t_f)}{4}$ | $\frac{(d-2t_f)}{2} \frac{t_w^2}{4}$ |
| 4 | $b t_f \left(\frac{d}{2} - \frac{t_f}{2} \right)$ | $\frac{b^2 t_f}{4}$ |
| اساس خمیری (۴) | $b t_f (d - t_f) + \frac{t_w (d-2t_f)^2}{4}$ | $\frac{b^2 t_f}{2} + \frac{(d-2t_f)t_w^2}{4}$ |

یک نمونه عمارت است از ۴۵۰ IPE با وزن $۶/۷۷ \text{ kg/m}$ و سایر مشخصات زیر

$$d = ۴۵۰ \text{ mm}, b = ۱۹۰ \text{ mm}, t_w = ۹/۴ \text{ mm}, t_f = ۱۴/۶ \text{ mm}$$

با این ابعاد اساس خمیری برابر $۲۷۳ \text{ cm}^۳$ و $۲۷۳ \text{ cm}^۷$ به ترتیب برای خمش حول محورهای y و z بدست می‌آید.

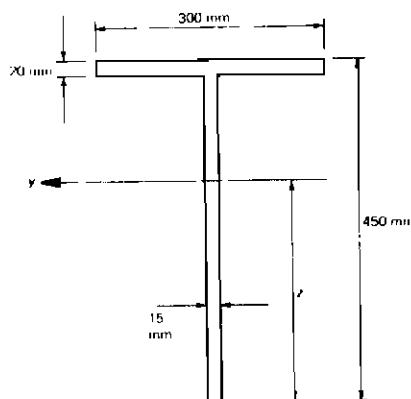
در واقع با استفاده از تقارن مقطع می‌توان محاسبات جدول ۱-۲ را کاهش داد. توجه شود که اساس خمیری برای ۱ و ۲ و ۳ مشابهند. بنابراین تنها لازم است که مقادیر برای قسمتهای ۱ و ۲ محاسبه شود و نتیجه دو برابر گردد.

ضریب شکل نیمرخهای ۱ شکل حدوداً برابر $1/13$ حول محور y و $1/55$ حول محور z می‌باشد. مقادیر واقعی بستگی به ابعاد مقطع خواهد داشت.

۲ - ۳ - ۴ مقاطع نامتقارن

در مقاطع نامتقارن جاری شدن در بالا و پایین مقطع همزمان صورت نمی‌گیرد درنتیجه محور کرنش صفر از محل محور سطح مقطع به محوری که مقطع را به سطح مساوی تقسیم می‌کند تغییر مکان می‌پابد.

برای نشان دادن این موضوع، محاسبات اساس مقطع و اساس خمیری یک مقطع T شکل (شکل ۲-۲) برای خمچ حول محور y در جدول ۲-۲ مده است. محاسبات نشان می‌دهد که محور کرنش صفر همان‌گونه که جریان خمیری در مقطع گسترش می‌پابد به سمت بالا حرکت می‌کند. ضریب شکل $1/817$ خواهد بود، که مقدار متداولی برای این نوع مقاطع می‌باشد.



شکل ۲ - ۲

۲ - ۴ چرا لنگر خمیری و مفصل خمیری فرضهای ایده‌آلی هستند؟

در بخش ۱ در مورد خرپاهای ملاحظه شد که همزمان با گسترش جاری شدن در قسمتهای مختلف، با مراعجه به منحنی تنش-کرنش می‌توان سازه را تحلیل نمود. برای اعضای تحت خمچ این کار با تعیین رابطه بین لنگر خمچ و انحنا بایستی انجام گردد.

فرض کنید که قسمت کوتاهی از تیر، به طول $5x$ ، که در ابتدا مستقیم بوده است، با انحنای دایره‌ای مطابق شکل ۲-۳ خمیده شده است. (این فرض فقط وقتی صحیح است که لنگر خمچی در طول تیر ثابت باشد، ولی چنانچه تغییر لنگر در تیر خیز کوچکی ایجاد نماید)

خطای حاصله کم خواهد بود) . فرض مسطح ماندن صفحات مقاطع پس از خمش همچنان‌با برجا در نظرگرفته شده و با هر توزیع تنشی ، توزیع کرنش در ارتفاع مقطع همیشه مطابق‌شکل ۳-۲ خواهد بود .

جدول ۲ - ۲

| محاسبه اساس مقطع | محاسبه اساس خمیری |
|---|---|
| موقعیت محور سطح | موقعیت محور نصف‌کننده سطح مقطع |
| $A = 300 \times 20 + 430 \times 15$ = 12450 mm ² | $15 \times z = 300 \times 20 + (430 - z) \times 15$ $15z = 6000 + 6450 - 15z$ |
| $\Sigma Az = 6000 \times 440 + 6450 \times 2.5$ = 4026750 mm ³ | $z = \frac{12450}{30} = 415 \text{ mm}$ |
| $\bar{z} = \frac{4026750}{12450} = 323.4 \text{ mm}$ | |
| از پایین = 323.4 mm | محور نصف‌کننده سطح |
| $I = \frac{300 \times 20^3}{12} + 6000 \times 116.6^2$ + $\frac{15 \times 430^3}{12} + 6450 \times 108.4^2$ = 200 000 + 81573 000 + 99 384 000 + 75 791 000 = 256 948 000 mm ⁴ | $S = 6000 \times 25 + \frac{15 \times 15^2}{2}$ + $\frac{15 \times 415^2}{2} = 150 000 + 1700 +$ 1 291 700 = 1443 400 mm ³ $S = 1443 400 \text{ mm}^3$ $= \frac{1443 400}{794 500} = 1.817$ ضرب. شکل |
| $Z = \frac{256 948 000}{323.4} = 794 500 \text{ mm}^3$ | |

نکته : مقدار حذکر شده حداکثر تنش را که در پایین مقطع است به دست می‌دهد

طول انحنایی که محور کرنش صفر را مشخص می‌کند می‌باید برابر δ باشد ، به طوری که

$$\delta x (1 - \epsilon_C) = \text{طول انحنایی بالایی}$$

$$\delta x (1 + \epsilon_T) = \text{طول انحنایی پایینی}$$

با استفاده از اندازه‌های شکل (۱۳-۲)

$$R\theta = \delta x \quad (9-2)$$

$$(R + z_2)\theta = \delta x (1 + \epsilon_T) \quad (10-2)$$

$$(R - z_1)\theta = \delta x (1 - \epsilon_C) \quad (11-2)$$

با جایگذی معادله ۹-۲ در معادلات ۲-۱۰ و ۲-۱۱ داریم:

$$R + z_2 = R(1 + \epsilon_T) \quad (12-2)$$

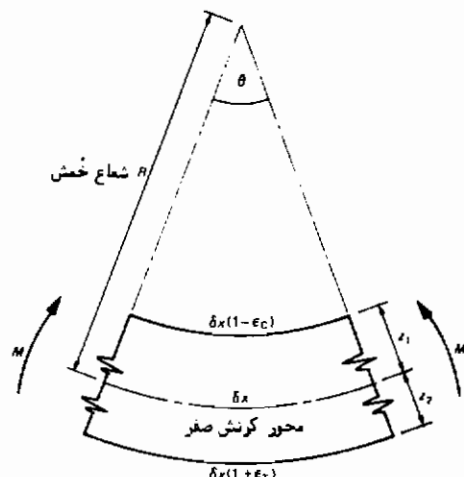
$$R - z_1 = R(1 - \epsilon_C) \quad (13-2)$$

با کم کردن معادله ۱۳-۲ از معادله ۱۲-۲ داریم:

$$z_1 + z_2 = R(\epsilon_T + \epsilon_C)$$

عکس شعاع انحنای، R ، را انحنای، گوییم، x ، بنابراین

$$\chi = \frac{\epsilon_T + \epsilon_C}{z_1 + z_2} = \frac{\text{میزان کرنش}}{\text{ارتفاع مقطع}} \quad (14-2)$$



شکل ۱۳-۲

انحنای میزان ساده‌ای برای تعیین تغییرشکل خمشی است.

رابطه نسبی بین اتحنا و لنگر ایده‌ال ارتجاعی - خمیری در شکل ۱۴-۲ الف نشان داده شده است . در این شکل یک قسمت ارتجاعی وجود دارد که در آن به ازای افزایشی در اتحنا ، لنگر ناشی از اتحنا نیز افزایش می‌یابد . وقتی لنگر برابر لنگر خمیری می‌شود مفصل خمیری به وجود می‌آید و بدون افزایش در لنگر ، اتحنا افزایش می‌یابد یا به عبارتی دوران خمیری مفصل انجام می‌پذیرد . با توجه به نظریه خمشی ، شب قسمت ارتجاعی EI می‌باشد .

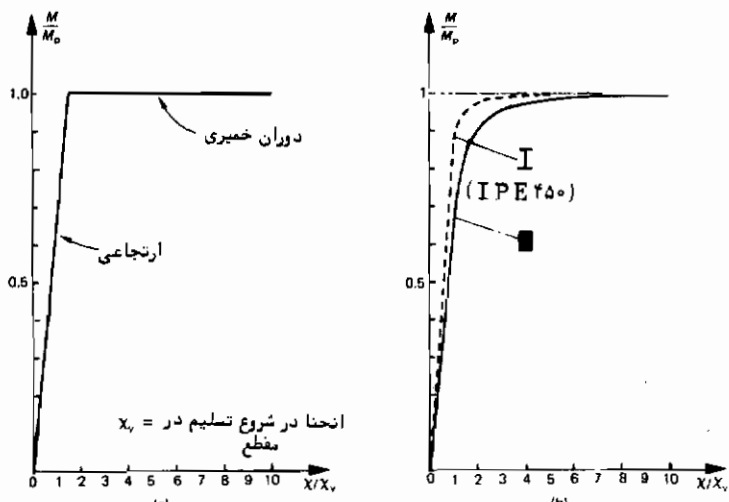
در قسمت ۲-۲ فرض شد که وقتی مفصل خمیری شکل گرفت . تمام مقطع بحرانی جاری می‌شود . این موضوع ایجاد می‌کند که درست در بالا و پایین محور کرنش صفر ، کرنشها برابر کرنش جاری شدن با علامت مختلف باشند . این موضوع وفرض مسطح به‌گونه‌ای نامحدود بزرگ باشند . واضح است که به طور فیزیکی این موضوع غیر ممکن است . گسترش جاری شدن در مقطع با فرض توزیع تنش مطابق شکل ۱۵-۲ بررسی و تحلیل می‌شود در هر مرحله لنگری که باعث گسترش تنش و کرنش در بالا و پایین مقطع می‌کردد قابل محاسبه می‌باشد . این عمل برای رسم منحنی نسبی لنگر - اتحنا مقطع قابل استفاده بوده و در شکل ۱۴-۲ ب برای دو مقطع انجام شده است ، همان گونه که ملاحظه می‌شود منحنی‌های واقعی به معنی ایده‌ال مجانب هستند . علاوه بر این قسمت ارتجاعی کوچک در میانه مقطع وجود دارد . فرض رفتار به صورت ایده‌ال برای مقاطع با ضربیت شکل نزدیک به واحد (تقریباً ۱/۱۳ شکل \approx ۱) خطای خیلی کمی ایجاد می‌کند ، در حالی که مقاطع با ضربیت شکل زیاد از رفتار ایده‌ال دور هستند .

تا کنون فقط مقطع بحرانی با بهترین لنگر خمشی در نظر گرفته شده است و به نظر می‌رسد جریان خمیری به همین مقاطع منحصر می‌گردد . در واقع لنگرهای خمشی در مقاطع مجاور مقاطع بحرانی به اندازه‌ای هستند که قبل از به وجود آمدن مفصل خمیری ، باعث جاری شدن قسمتی از مقطع گردند . در نتیجه در اطراف مقطع بحرانی یک منطقه خمیری به وجود می‌آید که در شکل ۱۶-۲ نشان داده شده است . گسترش این منطقه بستگی به نوع بارگذاری دارد . منطقه خمیری برای یارگستره که در آن تغییرات لنگر خمشی نسبت به بارهای متغیر تدریجی‌تر است ، گسترش بهتری دارد .

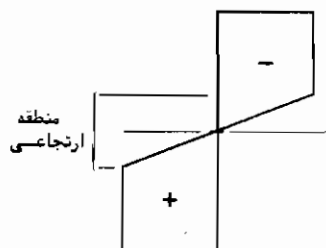
منطقه خمیری فوق الذکر ، خمش تدریجی‌تری را نسبت به حالتی که شکل منطقه خمیری تیزتر است و مربوط به مفصل واقعی می‌باشد ایجاد می‌کند .

از آنجا که در سازه‌های قابی از نیمرخهایی با ضربیت شکل کم استفاده می‌شود ، خطای ایده‌ال فرض کردن آنها زیاد نخواهد بود ، بدینهی است که علاوه بر هیچ نیمرخی به ظرفیت

کامل خمیری خود نمی‌رسد . ولی با استفاده از ظرفیت کامل خمیری در محاسبات و با صرف نظر کردن از افزایش مقاومت ناشی از پدیده کرنش سختی خطای حاصله متعادل و پوشیده می‌شود .



شکل ۲



شکل ۲

۲ - ۵ عواملی که می‌توانند ظرفیت لنگر خمیری مقطع را تغییر دهند .

۲ - ۵ - ۱ نیروی محوری

ستونها علاوه بر لنگرهای خمشی عموماً "بارهای قابل ملاحظه‌ای را تحمل می‌کنند . نیروی محوری، P ، محورکرنش صفر را مطابق شکل ۲-۱۷ جایجا می‌کند برای سادگی محاسبات توزیع تنشها به دو قسمت مجزا تقسیم شده است . تنش در A " تماماً" ناشی از نیروی محوری

فرض شده یعنی

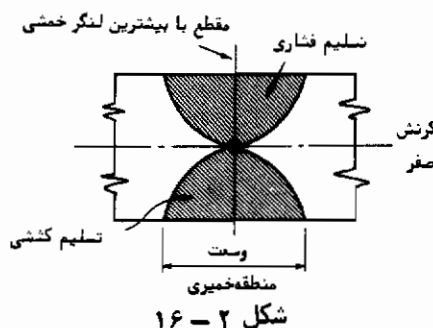
$$P = bz\sigma_y \quad (15-2)$$

و تنش در M ناشی از لنگر خمیری تغییر یافته M_p' می‌باشد

$$\begin{aligned} M_p' &= 2 \frac{(d-z)}{2} \times b \times \sigma_y \left(\frac{d-z}{4} + \frac{z}{2} \right) \\ &= (d-z) \times b \times \sigma_y \left(\frac{d+z}{4} \right) \\ &= \left(\frac{d^2 - z^2}{4} \right) b\sigma_y \\ &= \frac{bd^2}{4} \sigma_y \left[1 - \frac{z^2}{d^2} \right] \end{aligned}$$

از معادله ۲-۵ $b/d^2\sigma_y/4$ لنگر خمیری مقطع مستطیل می‌باشد بنابراین

$$\frac{M_p'}{M_p} = 1 - \left(\frac{z}{d} \right)^2 \quad (16-2)$$



شکل ۲

حداکثرنیروی محوری P_p که با صرف نظر از کمانش توسط مقطع تحمل می‌شود، "بارفشردگی" نامیده می‌شود و به وسیله رابطه زیر بدست می‌آید.

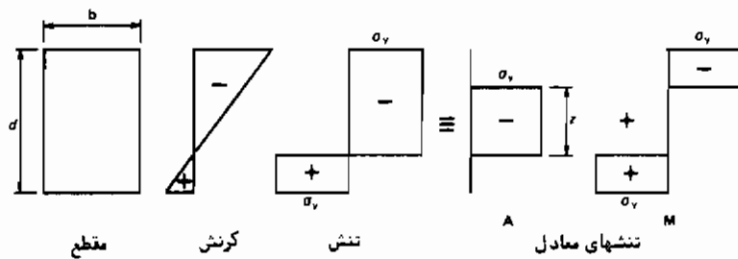
$$P_p = bd\sigma_y$$

بنابراین

$$\frac{P}{P_p} = \frac{z}{d}$$

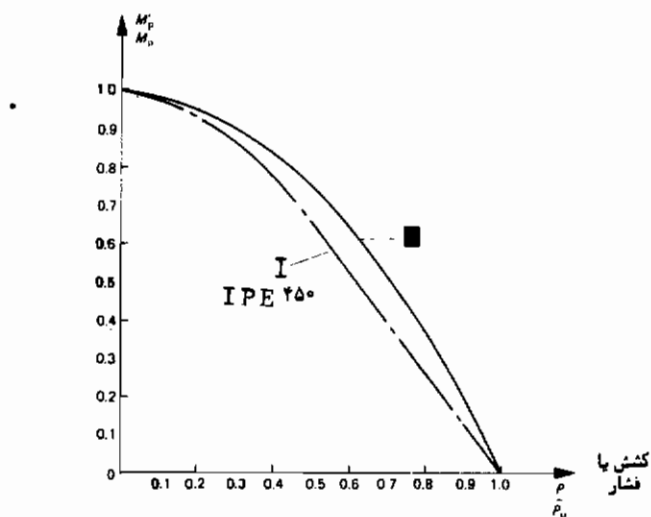
و

$$\frac{M_p'}{M_p} = 1 - \left(\frac{P}{P_p} \right)^2 \quad (17-2)$$



شکل ۱۷-۲

معادله ۱۷-۲ نشان می‌دهد که هر دو نیروی کششی و فشاری توسط عبارت $(P/P_p)^2$ لنگر خمیری را کاهش می‌دهند. معادله ۱۷-۲ در شکل ۱۸-۲ ترسیم شده است.



شکل ۱۸

همین نتیجه را برای یک مقطع ۱ شکل می‌توان به دست آورد منتها با استی دو حالت جداگانه در نظر گرفته شود، یعنی وقتی که محور کرنش صفر در جان و دیگری در بال تیر واقع شود.

معادلات برای معمولترين حالت خمش حول محور y عبارت است از:

(۱) محور گرنش صفر در جان واقع شود.

$$M_p' = M_p - \left(\frac{A^2}{4t_w} \right) n^2 \sigma_y \quad (18-2)$$

که A مجموع سطح مقطع و $n = P/P_p$ می‌باشد. معادله ۱۸-۲ وقتی قابل قبول است که:

$$\frac{P}{P_p} \leq 1 - \frac{2bt_f}{A} \quad (19-2)$$

(۲) وقتی که محور گرنش صفر در بال واقع شود.

$$M_p' = \left[\frac{A^2}{4b} (1-n) \left(\frac{2bd}{A} - 1 + n \right) \right] \sigma_y \quad (20-2)$$

معادلات ۱۸-۲ و ۲۰-۲ نیز در شکل ۱۸-۲ برای یک مقطع نمونه (IPE ۴۵۰) رسم شده است. جزئیات محاسبات در مراجع [۳ و ۴] موجود است.

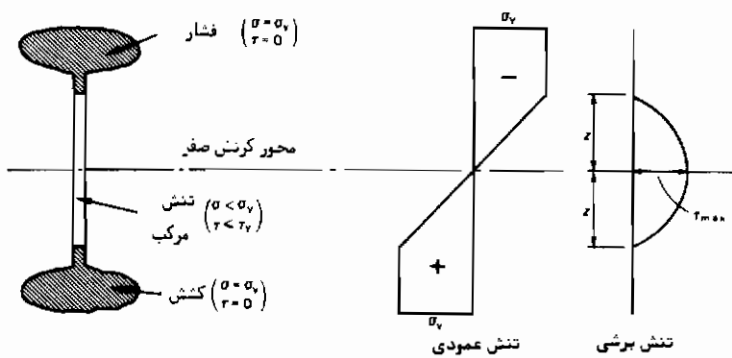
در تمام مقاطع متقارن نیروهای محوری فشاری یا کششی لنگر خمیری را کاهش می‌دهند. در مقاطع غیرمتقارن موضوع پیچیده‌تر است، در موارد خاص امکان افزایش در لنگر خمیری وجود دارد. هورن^۱ در مرجع (۳) این موضوع را نشان داده است.

۲-۵-۲ نیروی برشی

بجز در منطقه‌ها لنگر خمشی ثابت، هر مقطع بایستی یک لنگر خمشی و یک نیروی برشی تحمل کند. *N.* این بدان معناست که معمولاً "ترکیبی از تنشهای عمودی σ (ناشی از لنگر) و تنشهای برشی τ وجود دارد. در این موارد لازم است برای تعیین نقطه شروع جاری شدن از یک معیار تسلیم استفاده شود معیارهای ترسکا^۲ و فون میزز^۳ معمولترين آنها برای مصالح انعطاف‌پذیر می‌باشد که در ضمیمه الف تشریح شده است. وقتی ترکیبی از برش و تنش عمودی وجود دارد هردو معیار مذکور لازم می‌دارد که رابطه

$$\left(\frac{\sigma}{\sigma_y} \right)^2 + \left(\frac{\tau}{\tau_y} \right)^2 = 1 \quad (21-2)$$

جهت تسلیم برقرار باشد. در این رابطه τ_y تنش تسلیم در برش خالص می‌باشد. ملاحظه می‌شود که تنشهای τ_y و τ_z به ترتیبی به حد تسلیم خود نمی‌رسند مگر آنکه دیگری صفر باشد. بنابراین وقتی یک مقطع تحت خصل جاری می‌شود، وضعیتی شبیه شکل ۱۹-۲ به وجود می‌آید. (با توجه به اینکه جان مقطع مستطیلی است می‌توان آنرا یک نیم‌دایره ساختمانی فرض کرد).



شکل ۱۹-۲

مشاهده شده که توزیع تنش عمودی لازم برای تمام لنکر خمیری هرگز صورت نمی‌گیرد. وقتی مفصل خمیری شکل می‌گیرد می‌توان فرض کرد که توزیع تنش برش سه‌می‌است (توزیع تنش در یک مقطع مستطیلی به کمک روش ارجاعی سه‌می خواهد بود). در این حالت برای یک مقطع مستطیل شکل، کاهش لنکر خمیری عبارت است از:

$$M_p' = b \left(\frac{d^2}{4} - \frac{z^2}{3} \right) \sigma_y$$

با توجه به توزیع تنش در شکل ۱۹-۲، داریم

$$N = \frac{4}{3} b z \tau_y \quad (22-2)$$

از آنجا که $N_p = b d \tau_y$ و $M_p = b d^2 / 4 \sigma_y$ (تمام مقطع در اثر تنش برشی جاری می‌شود)

$$\frac{M_p'}{M_p} = 1 - \frac{3}{4} \left(\frac{N}{N_p} \right)^2 \quad (23-2)$$

با توجه به اینکه $z_{\max} = d/2$ است، اگر این عبارت در معادله ۲۲-۲ قرارداده شود، ملاحظه

می شود که معادله ۲۳-۲ فقط وقتی درست است که

$$\frac{N}{N_p} < \frac{2}{3} \quad (24-2)$$

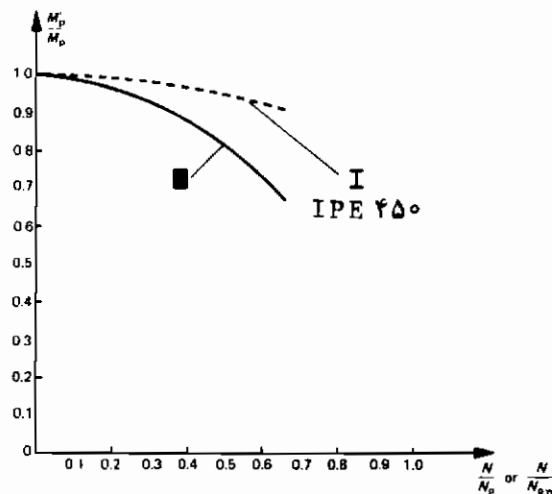
معادله ۲۳-۲ در شکل ۲۵-۲ ترسیم شده است . مقاطع I شکل را به همین روش می توان بررسی نمود ، لئنگر کا هش پافته برابر است با

$$M_p' = M_p - \frac{3}{4} \left(\frac{N}{N_{pw}} \right)^2 M_{pw} \quad (25-2)$$

به شرط آنکه $N/N_{pw} < 2/3$ حد اکثر نیروی برشی $N_{pw} = t_w(d - 2t_f)\tau_y$ باشد که در آن $N/N_{pw} > 2/3$ حد اکثر نیروی برشی در جان است و

$$M_{pw} = \frac{t_w(d - 2t_f)^2}{4} \sigma_y$$

لئنگر خمیری جان می باشد . رابطه فوق نیز در شکل ۲۵-۲ ترسیم شده است .



شکل ۲

۲-۵-۳ اهمیت نیروهای محوری و برشی چقدر است ؟

عمولاً "اهمیتی ندارند . در سازه های کوتاه نیروهای محوری آنقدر کوچک هستند که اثر قابل توجهی بر لئنگرهای خمیری ندارند . البته در سازه های مرتفع اهمیت بیشتری پیدا

می‌کنند، اگرچه به نظر می‌آید مسئله عده ناپایداری بوده (به قسمت ۶ مراجعه شود) و تعبیین کننده می‌باشد. همان‌طور که از شکل ۲۵-۲ مشخص می‌شود، نیروهای برشی نسبت به نیروهای محوری اثر کمتری در کاهش لنگر خمیری دارند و فقط در موقع نادری که استثناء "دارای مقادیر بزرگی هستند لازم است مورد نظر قرار گیرند.

۲ - ۶ جمع‌بندی

این بخش عمدتاً "مریوط به جاری شدن مقطع یک عضو تحت خمش است. وقتی تمام مقطع جاری شد و جریان خمیری بعطور نامحدودی به وجود آمد، می‌توان گفت که مفصل خمیری شکل گرفته است. حد اکثر لنگری که مقطع می‌تواند تحمل کند لنگر خمیری می‌باشد لنگر خمیری یک مشخصه هندسی مقطع می‌باشد. لنگر و مفصل خمیری تعاریف ایده‌آلی از رفتار مقطع واقعی می‌باشد.

نیروهای برشی و محوری می‌توانند در مقدار لنکرمونث خمیری ناشی داشته باشد، اگرچه آنها معمولاً "عوامل قابل توجهی نیستند.

تشکیل مفصل خمیری در یک قاب ساختمانی همانند جاری شدن یک عضو در یک خرپای سازه‌ای است. درست است که در قسمت فشاری مقطع تحت خمش ممکن است کمانش موضعی بعوجود آید ولی اغلب مقاطع استاندارد دارای چنان ابعادی هستند که از این واقعه جلوگیری می‌شود. لنگرهای خمیری و اثر بارهای محوری در لنگرهای خمیری مقاطع استاندارد در جداول هندبوکهای متعدد درج شده است (۲)، اما برای مقاطع ساخته شده، از روش‌های دیگری که خارج از حوصله این بخش است بایستی استفاده نمود.

۲ - ۷ مسایل

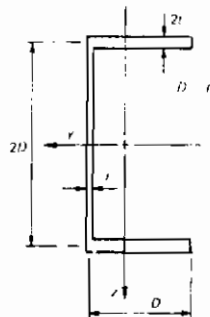
- ۱- لنگر خمیری یک جفت صفحه همسان را محاسبه کنید (پهنا b ، ضخامت t)
- ۲- صفحات به فاصله A زاد D و به موازات یکدیگر قرار دارند ($t \gg D$) . محور خمش موازی صفحات است.

صفحات $(150\text{mm} \times 12\text{mm})$ به بالهای یکتیر I شکل جوش شده است $S = 1202\text{cm}^3$
 $N/\text{mm}^2 = 450\text{ mm}$ (تمام ارتفاع). لنگر خمیری مقطع مرکب را محاسبه کنید، تنش تسلیم را 250 در نظر بگیرید.

- ۳- نشان دهید که اساس خمیری نیمربع U شکل مطابق شکل ۲۱-۲ عبارتند از:

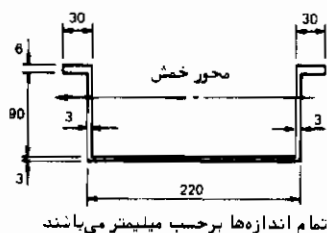
$$S = 5D^2 \quad \text{برای خمش حول محور بزرگ}$$

$$S = 1.75D^2t \quad \text{برای خمش حول محور } z$$



شکل ۲۱-۲

۲ - ۳ لنگر خمیری مقطع نشان داده شده شکل ۲۲-۲ را محاسبه کنید . تنش تسلیم مقطع را 350 N/mm^2 در نظر بگیرید .



شکل ۲۲-۲

۲ - ۴ لنگرهای خمیری مقاطع زیر را محاسبه کنید .

الف - مقطع دایره‌ای به قطر D و خمش حول قطر .

ب - مقطع مربعی جدار نازک به ضلع d و ضخامت $(d \gg t)$ t و خمش حول یک محور موازی اضلاع .

ج - مقطعی مانند (b) و خمش حول قطر .

د - مقطع مثلث متساوی الاضلاع جدار نازک به ضلع a و ضخامت $(a \gg t)$ t و خمش حول محوری موازی با یک ضلع .

۲ - ۵ معادلات ۲۸-۲ و ۲۵-۲ را برای محاسبه لنگر خمیری کاهش یافته تیر ۱ شکل ۱۱-۲ که تحت نیروی محوری قرار دارد به کار ببرید . رابطه مربوطه را همچینین برای خمش حول محور z بدست آورید .

تیر IPÉ ۵۵۰ دارای مشخصات

| | |
|-------------------------|---------------------------------|
| $d = 550 \text{ mm}$ | $t_w = 11/1 \text{ mm}$ |
| $b = 210 \text{ mm}$ | $t_f = 17/2 \text{ mm}$ |
| $A = 134 \text{ cm}^2$ | $\sigma_y = 250 \text{ N/mm}^2$ |
| $S = 2780 \text{ cm}^3$ | برای خمش حول محور y |
| $S = 396 \text{ cm}^3$ | برای خمش حول محور z |

لنگرهای خمیری کاوش یافته‌را وقتی نیروهای محوری 1150 kN و 2300 kN اعمال می‌شوند محاسبه کنید.

۶-۲ عبارت ۲۵-۲ را برای محاسبه لنگر خمیری کاوش یافته ناشی از نیروی برشی برای یک نیمرخ ۱ شکل به کار برد.

نشان دهید که اگر تنش برشی τ در تمام جان ثابت فرض شود ($\tau_{\max} < \tau$) آن گونه که نیروی برشی $N = t_w(d - 2t_f)\tau$ باشد، لنگر خمیری کاوش یافته عبارت است از

$$M_p' = M_p - \left\{ 1 - \sqrt{\left[1 - \left(\frac{N}{N_{pw}} \right)^2 \right]} \right\} M_{pw}$$

به گونه‌ای که پارامترهای مختلف همان مقادیر بخش ۲-۵-۲ را داشته باشند.

فرو ریختگی قابهای ساده

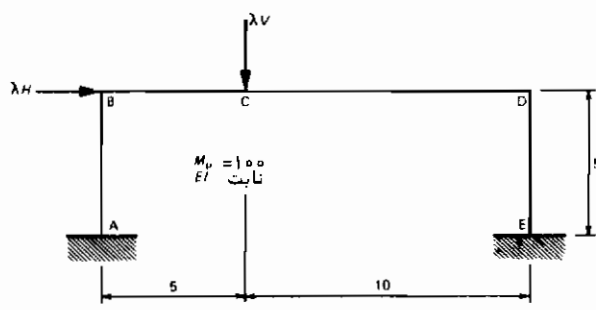
۱ - مقدمه

در بخش قبل گفتیم که تشکیل مفصل خمیری در یک قاب سازه‌ای، مشابه جاری شدن عضو در یک خربما می‌باشد. هدف قسمت اول این بخش این است که نشان دهد اگر بار تا حد شکست افزایش یابد چه اتفاقی می‌افتد. کافی است مثالی مشابه آنچه در فصل ۱ عنوان شد مطرح شود. در این مثال چند نظریه مهم نیز که برای تحلیل خمیری ضروری است بیان می‌گردد.

در قسمت دوم این بخش دو روش قوی برای تعیین بارهای فرو ریختگی تیرها و قابهای پرتابل معرفی می‌شود.

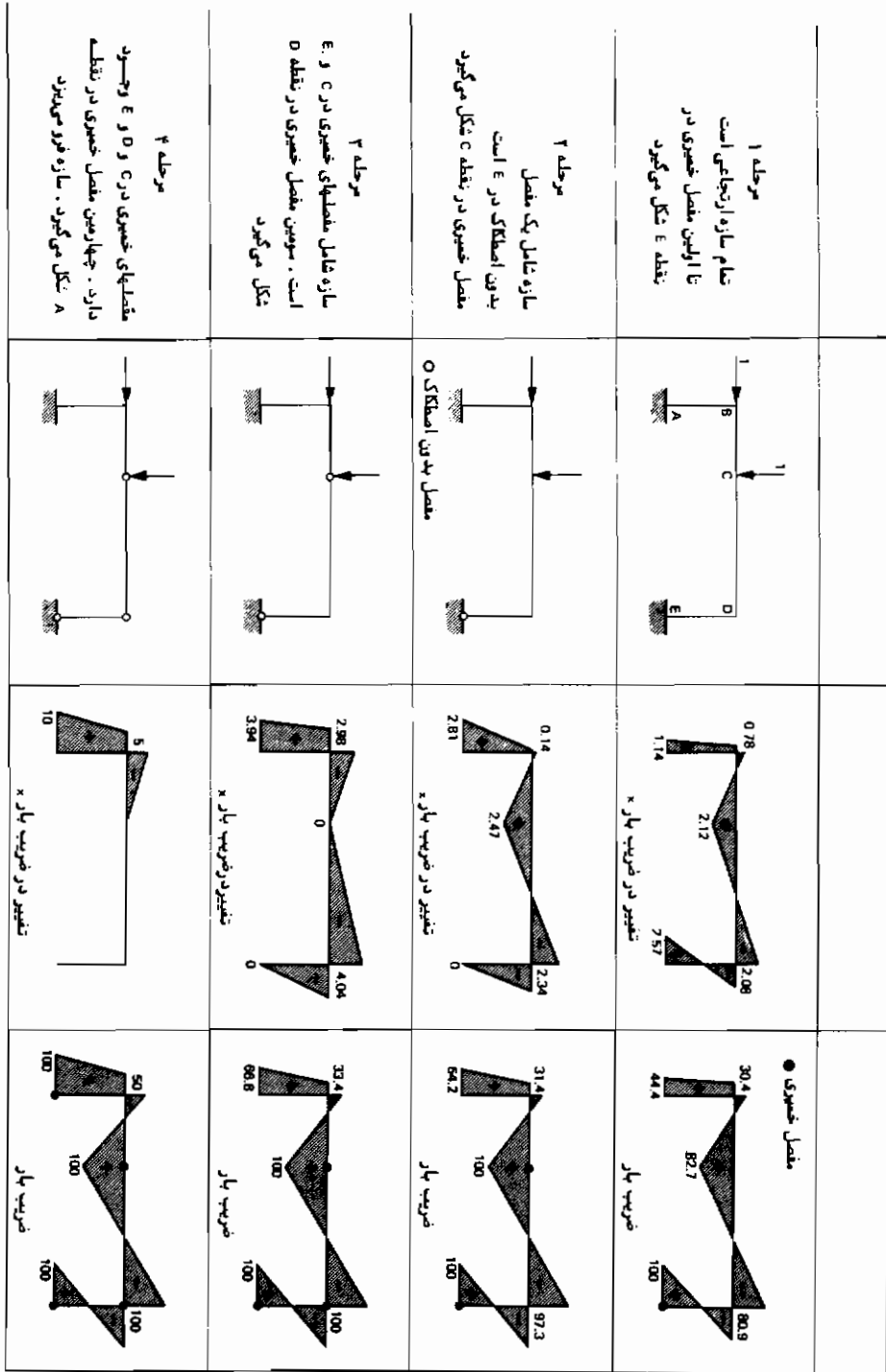
۲ - رفتار قاب پرتابل تحت افزایش بار

یک قاب پرتابل در شکل ۲-۱ نشان داده شده است که بارهای λV و λH را تحمل می‌کند مقادیر نسبی به وسیله V و H و مقادیر مطلق توسط ضریب بار λ تعیین می‌شوند. در ابتدا فرض کنید که $V = H = 1/5$ می‌باشد. رفتار قاب در اثر افزایش بار در شکل ۲-۳ خلاصه شده است.



شکل ۲ - ۳

روش‌های خمیری برای سازه‌های فولادی و بتنی



ابتدا قاب در حوزه ارتجاعی میباشد و آنچنان که در مرحله ۱ نشان داده شده است نمودار لنگر خمشی BMD توسط تحلیل ارتجاعی بدست میآید . (روش شبیه - افت و کامپیوترا کوچکی مورد استفاده قرار گرفته است) . وقتی $\lambda = 39/5$ بزرگترین لنگر خمشی(BM) در انتهای پایین ستون سمت راست (نقطه E) مساوی لنگر خمیری میشود ، مفصل خمیری تشکیل میگردد . البته ، تمام قسمت های سازه غیر از E هنوز ارتجاعی است و با افزایش λ بیشتر از $39/5$ همچنان ارتجاعی خواهد بود . وقتی λ افزایش مییابد ، E شبیه یک مفصل عمل خواهد کرد که به آزادی خواهد چرخید ، اما BM باقیستی مساوی لنگر خمیری باقی بماند . مرحله ۲ سازه جدید تحت بارگذاری را به ازای مقادیر λ بزرگتر از $39/5$ نشان می دهد این قاب همان قاب اصلی است که در نقطه E مفصل بدون اصطکاک ایجاد شده است . این سازه به وسیله روش ارتجاعی مشابه مرحله ۱ تحلیل میشود . این تحلیل نشان می دهد که لنگرهای خمشی تغییر میکند . برای بدست آوردن مجموع لنگرهای لازم است که تغییر حاصله در BMs به $\lambda = 39/5$ اولیه که بازی $\lambda = 39/5$ بدست آمده است اضافه شود . (توجه شود که مفصل بدون اصطکاک در E باعث میگردد که تغییر BM در E صفر باشد بنابراین مجموع لنگر را برابر با لنگر خمیری باقی میماند) حد اکثر لنگر زیر بار قائم یعنی نقطه C است .

$$M_C = 82.7 + 2.47\lambda'$$

که : $(\text{تغییر} \lambda) = \lambda' - \lambda = 7/0$ و $(\text{وقتی} \lambda) = 46/0$ است لنگر خمیری برابر با 100 می شود همان گونه که مرحله ۳ نشان می دهد ، از این به بعد دو مفصل در سازه جدید وجود دارد ، اما سازه هنوز هم به طور ارتجاعی تحلیل میگردد . به هر حال ، سریعاً میتوان نتیجه گیری کرد که مفصل بعدی در نقطه D تشکیل میگردد که در این حالت $\lambda = 46/7$ است . لازم است به دو نکته درباره مجموع لنگر BMs در ستون سمت راست شکل ۲-۳ توجه شود .

الف شرط تعادل - توزیع لنگرهای خمشی با بارهای اعمال شده در حال تعادل است (این اساس تحلیل بروش شبیه - افت است)

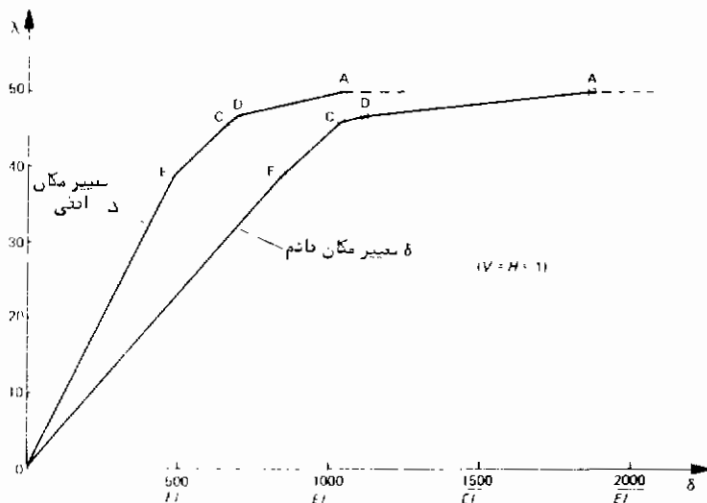
ب شرط تسلیم - BMs (لنگرهای گیرداری) در هیچ جا از لنگر خمیری عضو بیشتر نمی شود . (بررسی مجموع BMs در هر مرحله نشان دهنده موضوع فوق است) . ادامه کار با سه مفصل بدون اصطکاک مطابق مرحله ۴ انجام میشود ، تا اینکه به ازای $\lambda = 55$ چهارمین مفصل خمیری شکل میگیرد . ادامه روند محاسبات در سازه جدید با وجود چهار مفصل بدون اصطکاک غیرممکن است و با تنها معادله های که وجود دارد مسئله قابل حل نخواهد بود . در واقع سازه تبدیل به مکانیزم شده و وقتی چهارمین مفصل شکل میگیرد

روشهای خمیری برای سازه‌های فولادی و بتونی

سازه در موقعیت فروریختگی است . BMD (نمودار لنگر خمیری) در این حالت با توجه به مرحله ۴ ، شرایط تعادل و تسلیم را برآورده ساخته و سازه حل می‌شود .

(۳) شرط مکانیزم — مفصلهای خمیری کافی برای تبدیل سازه به مکانیزم وجود دارد . ضریب بار مربوطه را ضریب بار فروریختگی می‌نامند ، λ .

روش شب — افت برای تحلیل سازه مناسبترین روش بود زیرا به عکس آن مقدار خیز نیز به دست می‌آید . خیز افقی در بالای ستونها و خیز قائم زیر بار قائم در شکل ۳ - ۳ نشان داده شده است ، که در آن ضریب بار λ می‌باشد .

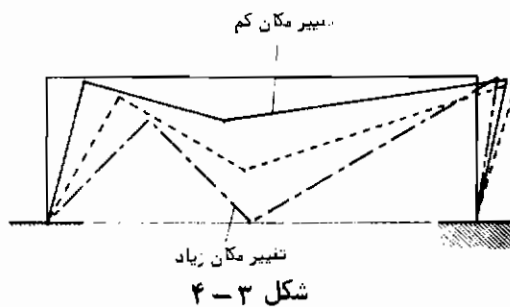


شکل ۳ - ۳

شکل منحنی بسیار شبیه به منحنی خیز — بار خرپای شکل ۱۳-۱ است که نشان دهنده کاهش شب (یا سختی) به ازای تشکیل هر مفصل می‌باشد و این کاهش ادامه می‌یابد تا در موقع فروریختگی شب صفر گردد . شبهاتهای دیگری با خرپا وجود دارد . تعداد مفصلها در فروریختگی یک عدد بیشتر از عدد مربوط به درجه نامعینی قاب می‌باشد . (با توجه به ضعیمه ب وجود چهار مفصل در لحظه فروریختگی نشان می‌دهد که درجه نامعینی ۱۳ است) تشکیل پک مفصل جدید سختی قاب را کاهش داده و نامعینی یک درجه کاهش می‌یابد . مقایسه مقادیر BM در پایان هر مرحله قابل ملاحظه بودن توزیع مجدد لنگر را مشخص می‌سازد .

به ازای خیزهای کوچک همچنان که فروریختگی ادامه می‌یابد ، توزیع لنگر خمیشی به همان مقدار مربوط به لحظه فروریختگی باقی می‌ماند . (روشن است که اگر لنگر در یک مفصل خمیری

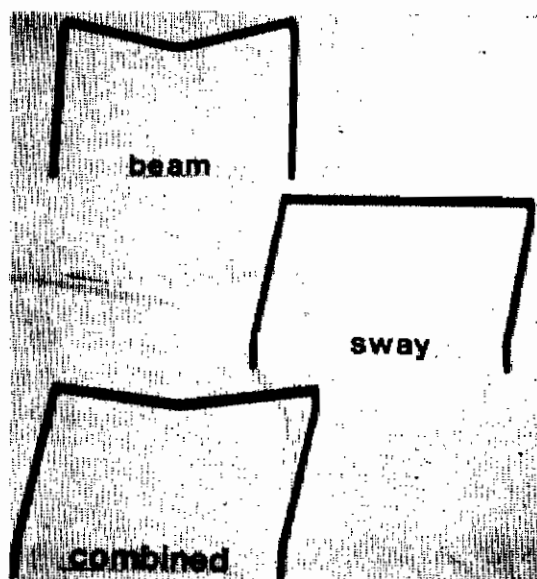
بخواهد کوچکتر شود ، جریان تشکیل مفصل و مکانیزم متوقف می‌شود) چگونگی گسترش فرو ریختگی در شکل ۴-۳ نشان داده است .



شکل ۴-۳

موقعی که دوران مفصلها ناچیز است ، شکل سازه فقط کمی تغییر می‌کند ، اما با دوران بیشتر "کاملاً" متفاوت خواهد بود .

مطلوب فوق به طور تجربی ثابت شده است . شکل ۵-۳ سه شکل از قابهای پرتابل را نشان می‌دهد که با ترکیب بارهای مختلف تحت آزمایش قرار گرفته‌اند .

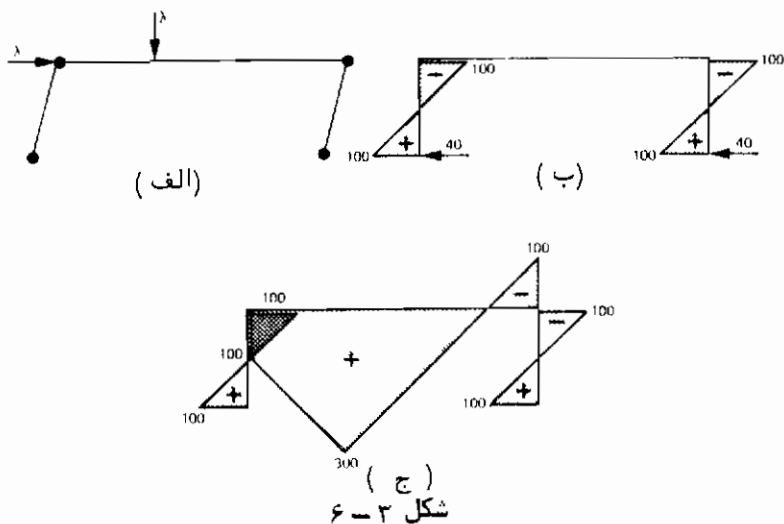


مکانیزم‌های فروریختگی برای قابهای نمونه فولادی

شکل ۵-۳

بارها ، مکانیزم‌های فروریختگی مختلفی را ایجاد کردند لیکن در هر حالت مفصل خمیری بهوضوح دیده می‌شود .

مکانیزم مرحله ۴ از شکل ۲-۳ مکانیزم فروریختگی واقعی سازه می‌باشد . دیگر مکانیزم‌ها را نیز می‌توان حدس زد و مقادیر λ مربوط به آنها را محاسبه نمود . مکانیزم شکل ۳-۶ الف را در نظر بگیرید . تعداد مفصلهای این مکانیزم همان مقدار قبلي است ولی محل یکی از آنها عوض شده است . با استفاده از روش موجود در ضمیمه ج نمودار لنگر خمشی BMD ستون در شکل ۳-۶ ب نشان داده شده است .



عکس العمل افقی در پایین ستونها عبارت است از

$$H = \frac{100 + 100}{5} = 40$$

بنابراین برای تعادل در جهت افقی

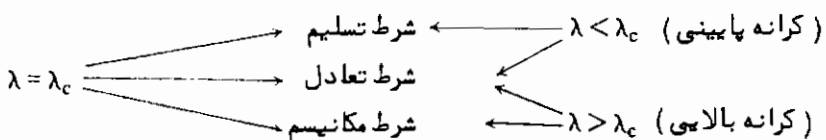
$$\lambda = 40 + 40 = 80 \text{ می‌باشد}$$

این بدان معناست که مکانیزم به‌ازای ضریب بار $= 80$ بوجود می‌آید که از ضریب بار واقعی فروریختگی بزرگتر است . وقتی که BMD برای این مکانیزم مطابق شکل ۳-۶ ج کامل شود ، لنگرهای خمشی بزرگتر از لنگر خمیری وجود خواهد داشت . مشخص است که این مکانیزم فرضی اشتباهاست ولی جالب توجه است که BMD مربوطه هنوز شرایط تعادل و مکانیزم را

برآورده می‌کند. این نتیجه برای هر مکانیزم فرضی، صحیح خواهد بود. مقدار λ محاسبه شده برای مکانیزم فرضی فوق را کرانه بالایی از λ_c "نامند.

۳ - ۳ نظریه‌های تحلیل خمیری

اطلاعات راجع به سه شرط مطرح شده در قسمت قبل در اینجا جمع‌بندی شده است که در آن جهت پیکانها نشان می‌دهد که چه شرایطی بایستی برآورده شود.



می‌توان ثابت کرد که سه شرط فوق همواره صحیح بوده و جزء سه نظریه اساسی و ضروری تحلیل خمیری می‌باشد (۴).

۳ - ۲ - ۱ نظریه کرانه پایینی

اگر در یک سازه تحت بارگذاری با ضریب بار λ ، یک توزیع لنگر خمی که شرایط تعادل و تسلیم را برآورده می‌سازد وجود داشته باشد، λ کمتر یا مساوی با ضریب بار فرو ریختگی λ_c خواهد بود.

۳ - ۲ - ۲ نظریه کرانه بالایی

اگر در یک سازه تحت بارگذاری با ضریب بار λ ، یک توزیع لنگر خمی که شرایط تعادل و مکانیزم را برآورده می‌کند وجود داشته باشد، λ مساوی یا بزرگتر از ضریب بار فروریختگی λ_c خواهد بود.

۳ - ۲ - ۳ نظریه یکنایی

اگر یک سازه تحت بارگذاری، با ضریب بار λ معرفی شود بهطوری که توزیع لنگر خمی حاصله سه شرط فروریختگی را برآورده سازد، λ مساوی λ_c خواهد بود. بدست آوردن یک توزیع لنگر خمی با هر ضریب بار دیگر که بتواند سه شرط را تواند "برآورده سازد غیر ممکن است.

مقصود از تحلیل خمیری تعیین مستقیم بارهای فروریختگی می‌باشد. همان‌گونه که در قسمت ۱-۳-۲-۴ اشاره شد محاسبات نسبت به تحلیل ارجاعی ساده‌تر است. به عنوان مثال

برای حل مسئله، دستگاه معادلات خطی وجود ندارد. بقیه این بخش و تمام مطالب بعدی به روشهای تعیین بارهای فروریختگی مربوط به قابهای ساختمانی اختصاص دارد. این روشهای براساس نظریه‌های مطرح شده در این بند می‌باشد.

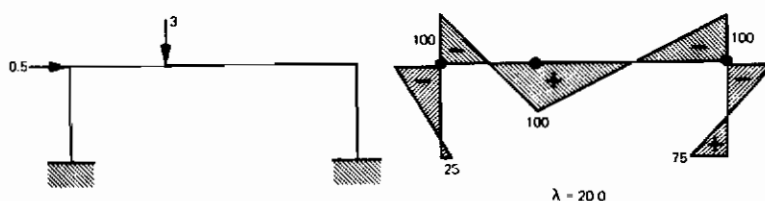
۳-۴ تعداد مفصلهای لازم در یک مکانیزم

همان‌طور که در قسمت ۲-۳ و همچنین در فصل ۱ نشان داده شد، عموماً "تعداد مفصلها، n "، در یک مکانیزم فروریختگی یک عدد بیشتر از درجه نامعینی r می‌باشد

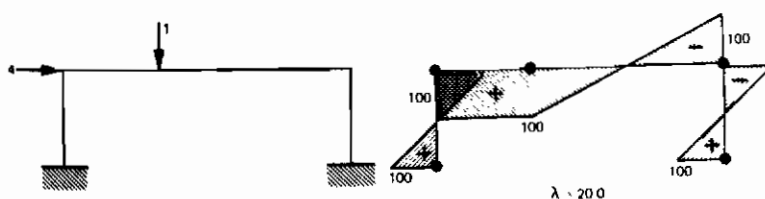
$$n = r + 1 \quad (1-3)$$

این وسیله خوبی است تا بتوان اطمینان یافت که مکانیزم به وجود آمده است متأسفانه، دو استثنای برای این قانون وجود دارد که بایستی مطرح شود.

قابل شکل ۱-۱ تحت بارهای $H/5 = 0$ ، $V = 1$ و $H = 4$ و $V = 3$ مجدداً "تحلیل شد" ماست. نتایج در شکل‌های ۲-۳ و ۲-۴ به ترتیب نشان داده شده‌است. در حالت اول $\lambda_c = 20$ می‌باشد، ولی در فروریختگی تنها سه مفصل وجود دارد که یکی کمتر از مقدار لازم در معادله ۱-۳ است. این نوع فروریختگی را فروریختگی جزوی گویند، زیرا همان چیزی است که در سازه اتفاق می‌افتد. در این مثال تیر به طور زودرس شکسته می‌شود. در حالت دوم آخرينین مفصلهای خمیری توأم "تشکیل می‌شوند بنابراین در موقع فروریختگی پنج مفصل وجود دارد. این حالت "پیش فروریختگی" نامیده می‌شود.



شکل ۲



شکل ۳

۳ - ۵ روش لنگر خمی BM واکنش و آزاد برای تعیین بارهای فروریختگی

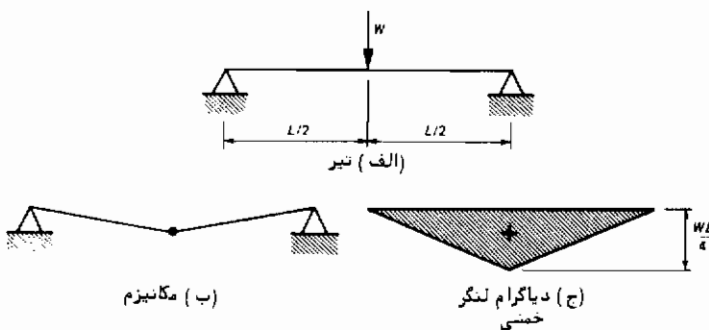
این روش به تحلیل تیرها منحصر می‌شود، زیرا که لنگرهای خمی BMs در موقع فروریختگی با استفاده از قوانین ساده‌ای تعیین می‌گردد. این روش به وسیله چند مثال بیان می‌شود. در هر مثال نکته جدیدی عنوان شده است. بنابراین به خواننده پیشنهاد می‌شود مثالها را به ترتیب ذکر شده مطالعه کند.

۳ - ۵ - ۱ تیر ساده

تیری ساده با یک بار متتمرکز در میانه آن در شکل ۹-۳ الف نشان داده شده است. وقتی که حداکثر لنگرخمی با لنگرخمیری تیر مساوی شد فروریختگی به وجود می‌آید. بنابراین

$$\frac{W_c L}{4} = M_p \quad (2-3)$$

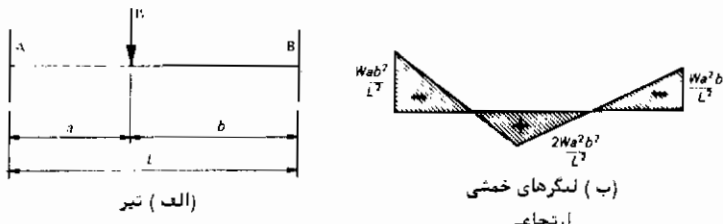
$$W_c = \frac{4M_p}{L}$$



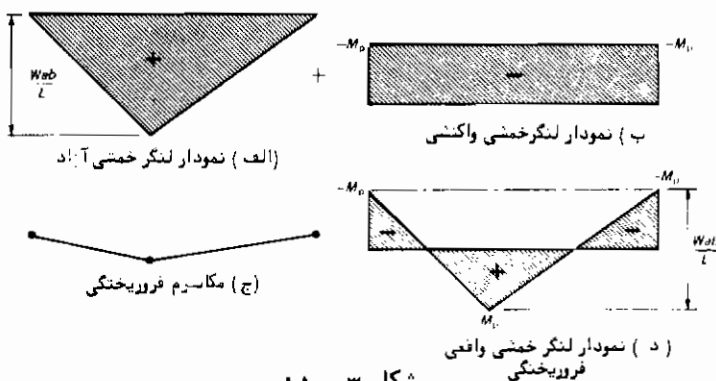
شکل ۹ - ۳

۳ - ۵ - ۲ تیر دوسر گیردار

یک تیر دوسر گیردار که تحت اثر بار متتمرکزی قرار دارد در شکل ۹-۳ ب نشان داده شده است. شکل ۹-۳ ب نمودار لنگرخمی را برای رفتار ارجاعی نشان می‌دهد. بیشترین لنگر Wab^2/L^2 در نقطه A به وجود می‌آید. ابتدا با درنظر گرفتن مفصلی در A و سپس در سایر نقاط مراحل مختلف تحلیل را مشابه با قسمت ۳ - ۲ انجام می‌دهیم با این کار نمودار لنگر خمی (BMD) در موقع فروریختگی و مکانیزم فروریختگی مطابق شکل ۱۱-۳ به دست می‌آید، در نتیجه $W_c = 2M_p L/ab$ می‌شود.



شکل ۳ - ۱۰



شکل ۳ - ۱۱

ملحوظه می‌شود که با استفاده از قواعد ساده می‌توان به راحتی نمودار لنگر خمی BMD و مکانیزم فروریختگی را رسم کرد.

قاعده اول؛ عموماً مفصلها در دو انتهای گیردار تیر تشکیل می‌شوند.

قاعده دوم؛ مفصلها زیر بارهای مرکزی تشکیل می‌شوند.

حتی در موقع فروریختگی نمودار لنگر خمی از نمودارهای لنگر خمی آزاد و واکنشی به دست می‌آید، (ضمیمه ج ملاحظه شود) که برای تیر دو سر گیردار در شکل‌های (۳-۱۱الف و ب) نشان داده شده است. بار فروریختگی با توجه به مشخصات هندسی نمودار لنگر خمی در موقع فروریختگی به دست می‌آید (شکل ۳-۱۱-د).

$$M_p + M_p = \frac{Wab}{L}$$

| | |
|-----------------|-----------------|
| لنگر خمی واکنشی | لنگر خمی واکنشی |
| زیر بار مرکزی | زیر بار مرکزی |

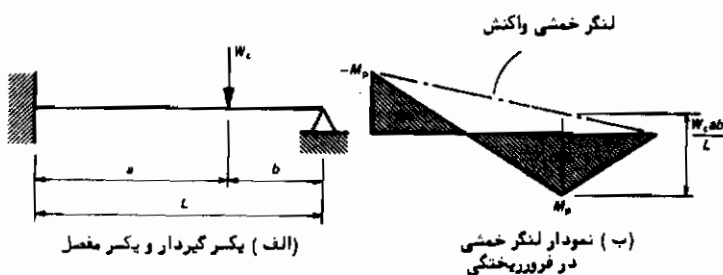
در نتیجه

$$W_c = \frac{2M_p L}{ab} \quad (3-2)$$

همان‌گونه که در مثال بعد آمده است روش فوق برای سایر موارد که نمودار لنگرخمشی آنها قدری پیچیده‌تر است قابل تعمیم می‌باشد.

۳ - ۵ - ۲ تیر یکسر مفصل یکسر گیردار

در شکل ۱۲-۳ الف تیر یکسر مفصل یکسر گیرداری تحت بار متراکز نشان داده شده است با استفاده از قواعد ۱ و ۲ بند ۳-۵-۲ نمودار لنگرخمشی BMD (شکل ۱۲-۳ ب) ترسیم شده است. از آنجا که این نمودار از نمودارهای لنگرخمشی واکنش و آزاد به دست می‌آید، با توجه به مشخصات هندسی



شکل ۱۲-۳

$$M_p + \frac{bM_p}{L} = \frac{W_c ab}{L}$$

لنگرخمشی آزاد لنگرخمشی واکنش لنگرخمشی واقعی
تحت بار تحت بار تحت بار

$$W_c = \frac{M_p(L+b)}{ab} \quad (4-3)$$

تنها تفاوت در این مثال نسبت به مثال قبلی، استفاده از تشابه مثلثها برای پیدا کردن لنگر خمشی واکنش می‌باشد.

۴ - ۵ - ۳ تیر پکسره

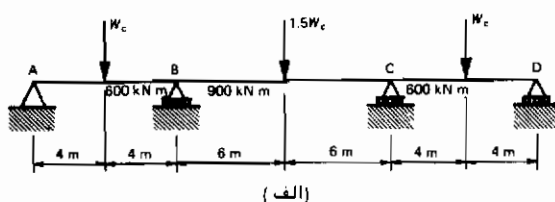
تیر پکسره نیز به روش‌های فوق تحلیل می‌شود. در این مبحث دو نکته جدید با ایستی در نظر گرفته شود.

اول: ممکن است هر یک از دهانه‌ها دارای مقاطع و در نتیجه لنگرهای خمیری متفاوتی باشند. در هر تکیه‌گاه لنگرهای خمیری تکیه‌گاهی تیرهای دو طرف مساویند. بنابراین وقتی مفصل خمیری در یک تکیه‌گاه شکل می‌گیرد مقدار لنگر خمیری در آن تکیه‌گاه به کمک قاعده زیر تعیین می‌شود.

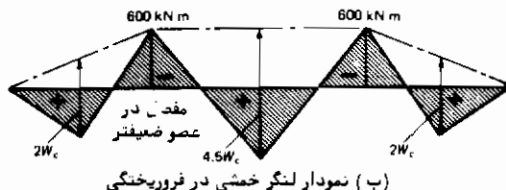
قاعده سوم: در یک تکیه‌گاه مفصل خمیری بازاء لنگر خمیری عضو ضعیفتر شکل می‌گیرد.

دوم: شکست همزمان دهانه‌ها محتمل نیست. هر دهانه با ایستی جداگانه کنترل شود. در طول تیر دهانه، یا دهانه‌های با کمترین بار فروریختگی تعیین کنده می‌باشند. این مثال، نمونه خوبی برای فروریختگی جزئی است. در شکل ۱۳-۳ یک تیر پکسره همراه با نمودار لنگر خمیری آن در موقع فروریختگی رسم شده است. مفصلهای خمیری زیر بارهای متغیر نشان داده نشده زیرا وقتی فروریختگی به وجود می‌آید تمام آنها تشکیل نمی‌شوند. هر دهانه با ایستی برای فروریختگی کنترل شود.

فروریختگی قابهای ساده



(الف)



(ب) نمودار لنگر خمیری در فروریختگی

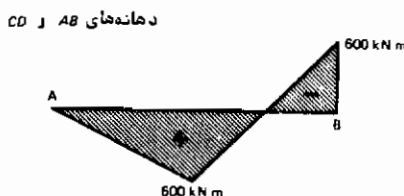
شکل ۱۳ - ۳

اگر ابتدا دهانه‌های AB و CD فروریخته شوند نمودار لنگر خمیری در موقع فروریختگی

مطابق شکل ۱۴-۳ خواهد بود.

این حالت مشابه تیر پکسر گیردار پکسر مفصل قسمت ۳-۵-۳ می‌باشد.

$$W_c = \frac{600(8+4)}{4 \times 4} = 450 \text{ kN}$$

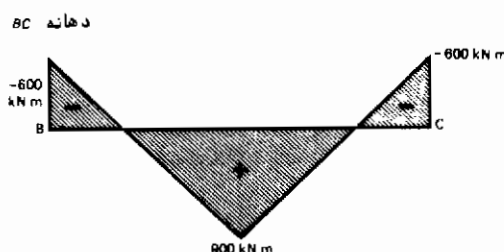


شکل ۱۴-۳

نمودار لنگرخستی فروریختگی برای دهانه BC در شکل ۱۵-۳ نشان داده است که بسیار شبیه به تیر دو سر گیردار می‌باشد. با توجه به مشخصات هندسی BMD.

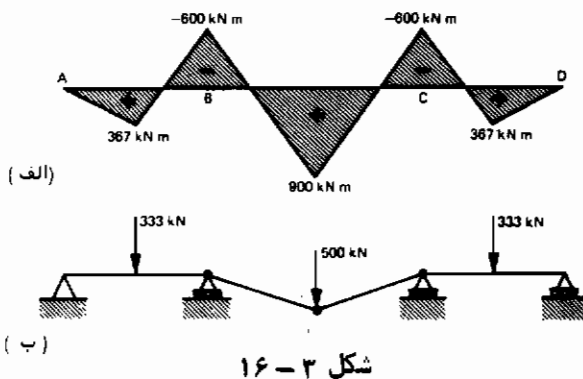
$$4.5W_c = 600 + 900$$

$$W_c = 333 \text{ kN}$$



شکل ۱۵-۳

روشن است که ابتدا یک مکانیزم در دهانه BC به وجود می‌آید و وقتی $W_c = 333 \text{ kN}$ است فروریختگی حاصل می‌شود. نمودار لنگرخستی فروریختگی برای تمام تیر اکون کامل می‌باشد که در شکل ۱۶-۳ الف نشان داده شده است. توجه شود که تحت بارهای متتمرکز لنگرها در AB و CD از لنگر خمیری کوچکترند، زیرا فقط در BC یک مکانیزم به وجود می‌آید (شکل ۱۶-۳ ب)



شکل ۳ - ۱۶

۳ - ۵ - ۵ دهانه‌های با بارهای یکنواخت

در تمام قسمت‌های گذشته این بخش تیرها تحت بارهای متمرکز بوده‌اند. در عمل، بارها به صورت یکنواخت در طول دهانه پخش می‌شوند. بررسی این موضوع مشکلتر است زیرا دیگر موقعیت مفصل خمیری در طول دهانه را نمی‌توان با استفاده از یک قانون ساده تعیین کرد. یک تیر و نمودار لنگر خمشی فروبرخستگی آن در شکل (۱۲-۳ الف و ب) نشان داده شده است. موقعیت مفصل در طول دهانه روش‌نیست. این مفصل وقتی موجود می‌آید که لنگر خمشی مقدار حداقل خود را داشته باشد. برای تعیین این مقدار حداقل لازم است که:

$$\frac{dM}{dx} = 0 \quad (3-3)$$

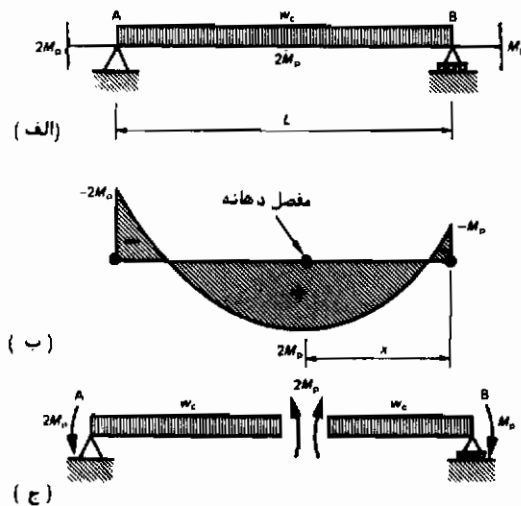
با استفاده از رابطه بین لنگر خمشی و نیروی برشی

$$\frac{dM}{dx} = N \quad (3-4)$$

اگر تیر از محل داخل دهانه قطع شود نمودار آزاد شکل ۱۲-۳ ج تعادل تیر را نشان می‌دهد. مقادیر تمام لنگرها معلوم است و نیروی برشی در محل قطع بایستی صفر باشد (از معادلات ۳-۵ و ۳-۶)، بنابراین تنها مقادیر نامشخص، w و x می‌باشند. با استفاده از تعادل دو قسمت صلب، معادلات کافی برای محاسبه w و x بدست می‌آیند. با لنگرگیری نسبت به B برای مقطع دست راست.

$$-\frac{w_0 x^2}{2} + 2M_p + M_p = 0 \quad (3-5)$$

$$\frac{w_0 x^2}{2} = 3M_p \quad (3-6)$$



شکل ۱۷-۳

بهطور مشابه برای مقطع سمت چپا، با گرفتن لنگر حول A داریم:

$$\frac{w_c(L-x)^2}{2} - 2M_p - 2M_p = 0$$

$$\frac{w_c(L-x)^2}{2} = 4M_p \quad (A-3)$$

با جابجایی معادله (۷-۳) در معادله (۳-۸)

$$\frac{w_c(L-x)^2}{2} = \frac{4}{3} \left(\frac{w_c x^2}{2} \right)$$

با حذف w_c و ساده کردن معادله داریم:

$$3(L-x)^2 = 4x^2$$

$$3(L^2 - 2xL + x^2) = 4x^2$$

$$x^2 + 6xL - 3L^2 = 0$$

با حل معادله درجه دوم فوق .

$$x = (-3 \pm 2\sqrt{3})L$$

ریشه مثبت، موقعیت مفصل دهانه را مشخص می‌سازد

$$x = (-3 + 2\sqrt{3})L = 0.464L$$

با جابجایی مقدار فوق در معادله ۳-۷ داریم

$$w_c = \frac{27.86 M_p}{L^2}$$

این مثال بهمازای هر مقدار لنگر خمیری در دو انتهای عضو قابل تعمیم است. در تیسیر یکسر مفصل پیکسر گیردار، لنگرها کش در یکانتهای صفرخواهد بود. البته مثال فوق نباید کورکورانه مورد عمل قرار گیرد. وقتی که لنگرهای واکنش در هر دو انتهای دهانه مساوی هستند، در اثر تقارن لنگر حد اکثر در وسط دهانه خواهد بود. مطالب فوق برای بارهای متتمرکز نیز قابل استفاده خواهد بود.

۳- ۶ روش کار مجازی برای محاسبه بارهای فروریختگی

در تحلیل قابها بایستی حالات بیشتری را نسبت به آنالیز تیرها در نظر گرفت. قاب معکن است به وسیله نیروهای افقی تحت فشارهای جانبی قرار گیرد. یک تیر بمطور مجزا ممکن است تحت بارهای قائم گسیخته شود و یا اینکه ترکیبی از حالات فوق به وجود آید. روش لنگرخمشی واکنش و آزاد در تعمیم مکانیزم و نمودار لنگرخمشی به هنگام فروریختگی نقش مطلوبی دارد. البته بکاربردن این روش در مورد قابها دشوارتر است. ثابت شده است که روش کار مجازی برای بارهای فروریختگی وسیله محاسباتی نیرومندی است زیرا به سادگی در مورد قابها قابل اجراست. این روش براساس دو قضیه زیر استوار است.

۱- وقتی یک قاب فروریخته می‌شود، تمام تغییر مکانهای سازه در اثر چرخش مفصلها به وجود می‌آید. (آن گونه که در آزمایشها رخ می‌دهد).

۲- اصل کار مجازی در مورد این تغییر مکانها قابل استفاده است.

شکل ۱۸-۳ الف قاب مورد استفاده در قسمت ۳-۴ را در لحظه فروریختگی در حالیکه آخرین مفصل شکل گرفته ولی هنوز دوران صورت نگرفته است نشان می‌دهد. با اعمال یک تغییر مکان افقی بینهایت کوچک در بالای ستون سمت چپ با فرض کوتاه نشدن عضوها در اثر نیروی محوری، سازه مطابق شکل ۱۸-۳ ب تغییر مکان می‌دهد، البته تغییر مکانها و دورانهای بینهایت کوچک بسیار مبالغه‌آمیز رسم شده‌اند.

تغییر مکانها و دورانها به عنوان تغییر مکانهای مجازی تلقی می‌شوند، بنابراین

$$H\Delta + V\delta = \text{کار خارجی (مجازی) انجام شده}$$

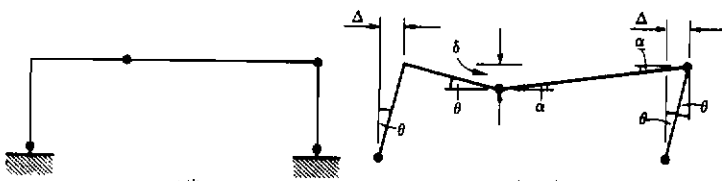
$$\text{کلیه بارها} = \sum W\delta \quad \text{توسط بارهای اعمالی}$$

$$\text{کار داخلی (مجازی) انجام شده} = M_p \theta + 2M_p (\theta + \alpha) + M_p \theta$$

توسط بارهای اعمالی

حیری

$$\Sigma M_p \theta = \text{کلیه مفصلهای خمیری}$$



شکل ۳-۱۸

از آنجا که تغییرشکل سازه تنها به علت دورانهای مجازی در مفصل‌ها است. در موقع فرو ریختگی سازه در حال تعادل است بنابراین با استفاده از اصول کار مجازی.

$$\text{کار داخلی (مجازی)} = \text{کار خارجی (مجازی)}$$

یعنی

$$\Sigma W \times \delta = \Sigma M_p \times \theta \quad (3-3)$$

دوران مجازی مربوطه \times لنگر خمیری در Σ = تغییر مکانهای مجازی مربوطه در جهت نیرو \times نیروها Σ
هر مفصل خمیری

معمولًا با توجه به تابعیت هندسی تغییر مکانهای مجازی بین δ_s و θ_s ، یک رابطه ساده وجود دارد، بنابراین باز Σ بر حسب لنگرهای خمیری M_p قابل محاسبه است.
معادله ۳-۹ به مطادله گار موسوم است. علاوه بر وضعیتها (۱) و (۲) فوق الذکر دو فرضیه دیگر وجود دارد که در معادله کار گنجانده شده است.

در اثنای فروریختگی تمام تغییر شکلها در مفصلهای خمیری به وجود می‌آیند.

برای اینکه مکانیزم باقی بماند لنگر خمیری در هیچ مفصل خمیری نمی‌تواند کاهش یابد.
همچنین به طور فیزیکی نمی‌تواند بیشتر از آن شود. علاوه بر آن وقتی فروریختگی ایجاد می‌شود بارها ثابت باقی می‌مانند از اینرو فرضیات دیگر عبارتند از:

۳- در فروریختگی همچنان که سازه تغییر شکل می‌دهد لنگرهای خمیری ثابت باقی می‌مانند.

۴ - اثرات بارهای محوری صرف نظر می‌شوند.

بنابراین علاوه بر صرف نظر کردن از کوتاه‌شدن محوری، از شکست زودرس در اثر کمانش نیز صرف نظر می‌شود. این نکته با جزئیات بیشتر در فصل ۶ مورد توجه قرار خواهد گرفت در این قسمت فقط استخوانندی روش کار مجازی ارائه شد. موارد عملی آن توسط مثالهای به کار برده شده بهتر شرح داده می‌شود. چهار مثال ارائه می‌گردد و در هر کدام بعد جدیدی از روش فوق معرفی می‌شود.

۳ - ۱ - تیر دو سر گیردار

تکرار این مثال از این جهت ارزشمند است که حل مسئله را بعرض کار مجازی به روشنی شرح می‌دهد.



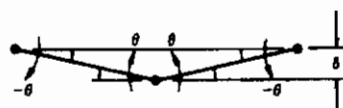
مرحله ۱

مکانیسم فروریختگی
مفصلهای خمیری در دو انتهای زیر بار.



مرحله ۲

دورانهای خمیری مجازی به مفصلها داده می‌شود



به جهت‌های دورانها توجه شود. اگر دوران توسط یک لنگر مثبت ایجاد شود، مثبت می‌باشد.

مرحله ۳

کار مجازی انجام شده توسط بارهای خارجی (کار خارجی) عبارت است از

$$(تفییر مکان مجازی \times بار) = W_c \times \delta$$

مرحله ۴

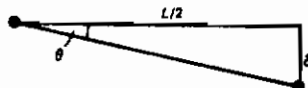
کار مجازی جذب شده در اثر دوران مفصل (کار داخلی)

$$-M_p \times -\theta + M_p 2\theta + -M_p \times -\theta = 4M_p \theta$$

علامت لنگرها و دورانها اهمیتی ندارد ، کار جذب شده مشتبه است . از اینرو قراردادی برای علامت لازم نیست .

مرحله ۵

هندسه مکانیزم



نمودار فوق منوط به نیمه چپ تیراست . از آنجا که تمام تفییر مکانها به وسیله دوران خمیری

$$\tan \theta = \frac{\text{ضلع متقیم}}{\text{ضلع باقی}} = \frac{L}{2}$$

از آنجا که θ زاویه بینهایت کوچک است .

$$\delta = \frac{L}{2} \tan \theta = \frac{L}{2} \theta$$

مرحله ۶

با توجه به تعادل و هندسه مکانیزم

کار جذب شده = کار انجام شده

$$W_c \delta = 4M_p \theta$$

$$W_c \frac{L}{2} \theta = 4M_p \theta \quad \text{i.e.} \quad W_c = \frac{8M_p}{L}$$

مانگونه که انتظار می رود مقدار θ ، دوران مجازی از معادله حذف می شود . با مقایسه این

نتیجه و آنچه در قسمت ۳-۵-۲ به دست آمد، وقتی که $a = b = L/2$ باشد

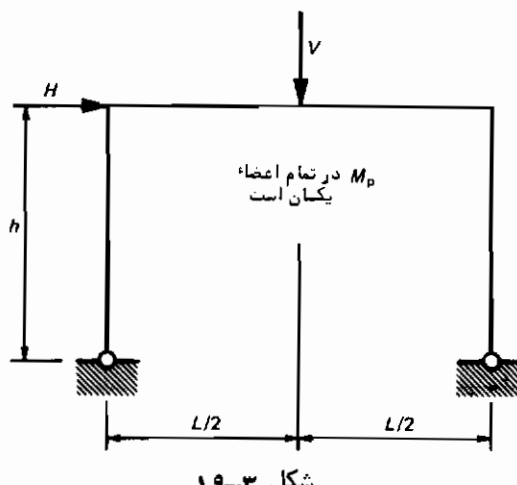
$$W_c = \frac{2M_p L}{ab} = \frac{2M_p L}{(L^2/4)} = \frac{8M_p}{L}$$

بنابراین می‌توان کنترل کرد که در هردو روش برای بار فروریختگی نتایج پکسانی به دست می‌آید.

البته نیازی به انجام محاسبات به صورت مرحله به مرحله وجود ندارد و این کار در این مثال بدین علت انجام شد که پیدا کردن بار فروریختگی با استدلال نشان داده شود.

۳-۶-۲ قاب پرتال با پی‌های مفصلی

همان طور که در شکل ۱۹-۳ ملاحظه شود اکنون نیروهای افقی و قائم به سازه اعمال می‌شود این بدان معناست که در مرحله اول، که تصمیم‌گیری در مورد مکانیزم فروریختگی است، با مشکل روپرتو می‌شویم زیرا مکانیزم‌های ممکنه مختلفی وجود دارد. در واقع برای هر مکانیزم یک محاسبه جداگانه لازم است.



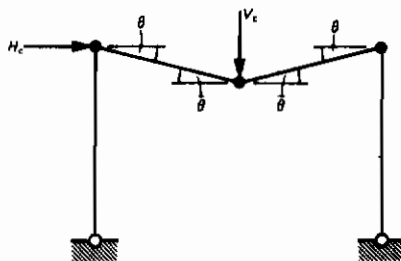
۳-۶-۱ فروریختگی تیر

در این حالت فروریختگی تنها در اثر بار قائم ایجاد می‌شود (اگرچه نیازی نیست که نیروی افقی صفر باشد). مفصلهای خمیری و دورانهای ایجاد شده در شکل ۳-۵-۲ نشان داده شده است. محاسبات مشابه مثال قبلی است.

$$V_c \frac{L}{2} \theta = 4M_p \theta \quad (10-3)$$

$$\frac{V_c L}{M_p} = 8 \quad (11-2)$$

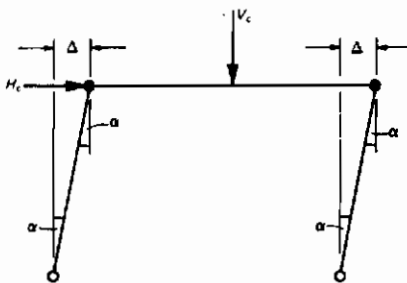
توجه شود که نیروی افقی کار انجام نمی‌دهد زیرا فرض می‌شود انتهای بالایی ستونها ثابت باقی می‌مانند.



شکل ۲۰-۳

۲-۶-۲-۲ فروریختگی جانبی

این فروریختگی‌تنهای در اثر نیروی افقی ایجاد می‌گردد و سازه بطور جانبی رانده می‌شود (شکل ۲۱-۳). وقتی مفصلهای خمیری در بالای هر دو ستون بوجود می‌آید مکانیزم شکل می‌گیرد، مفصلهای در پایی ستونها به آزادی دوران می‌کنند و قادر به جذب هیچ‌گونه کاری نیستند. (این نوع مفصل در قاب به وجود می‌آید و فرض می‌شود بدون اصطکاک است، بنابر این مقاومتی در مقابل دوران نخواهد داشت).



شکل ۲۱-۳

از آنجا که تمام تغییر شکلها به وسیله دوران مفصل بوجود می‌آید، طول تیز تغییر

نمی‌کند و بالای ستونها به اندازه مساوی (بینهایت کوچک) به طور جانبی حرکت می‌کنند . در نتیجه دوران مفصل در هر دو ستون مشابه است .

$$\text{کارخارجی} = H_c \Delta$$

$$= H_c h \alpha$$

$$\text{کار داخلی} = 2M_p \alpha$$

برای تعادل

$$H_c h \alpha = 2M_p \alpha \quad (12-3)$$

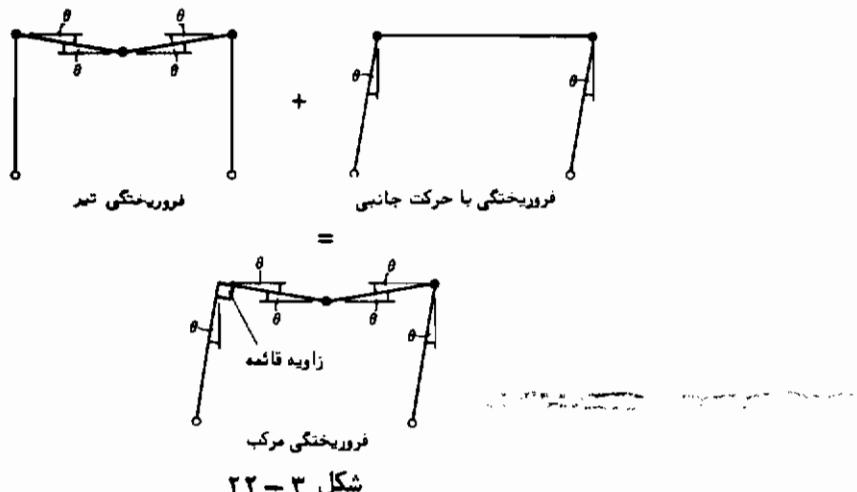
بنابراین در موقع فروریختگی

$$\frac{H_c h}{M_p} = 2 \quad (13-3)$$

در این مکانیزم نیروی قائم کار انجام نمی‌دهد زیرا فرض می‌شود بالای ستونها بدون پایین آمدگی به طرف جانبی حرکت می‌کنند .

۳-۲-۳ فروریختگی مرکب تیر و جانبی

امکان این حالت فروریختگی به نظر بدیم و روش می‌آید ، ولی آیا مفهوم دارد؟ در واقع در حالت خاصی که دوران مجازی پایه در مکانیزم‌های تیر و جانبی مساوی باشد یعنی $\theta = \alpha$ این فروریختگی با معنی است . در شکل ۲۲-۳ موضع فوق نشان داده شده است .



دوران ستون سمت چپ و انتهای تیر سمت چپ طوری است که در محل اتصال اعضاء زاویه اتصال همچنان قائمه باقی می‌ماند. این بدان معناست که در آن نقطه دوران خمیری وجود ندارد.

بنابراین مفصل خمیری (و ظرفیت جذب کار آن) در محل تلاقي تیر و ستون سمت چپ از مکانیزم‌های تیر و جانبی برداشته می‌شود. معادله کار برای مکانیزم فروریختگی مرکب با جمع کردن معادلات کار (معادلات ۱۵-۳ و ۱۲-۳) فروریختگی تیر و جانبی و سپس کم کردن از کار داخلی (کار انجام شده توسط مفصل حذف شده) به دست می‌آید. بنابراین

$$\frac{V_c L \theta}{2} + H_c h \theta = 4M_p \theta + 2M_p \theta - M_p \theta - M_p \theta \quad \text{جانبی تیر}$$

کار داخلی در مفصلی - کار داخلی + کار داخلی = کارخارجی + کارخارجی
که حذف شده است مکانیزم جانبی مکانیزم تیر مکانیزم جانبی مکانیزم تیر

$$\frac{V_c L \theta}{2} + H_c h \theta = 4M_p \theta \quad (14-2)$$

$$\frac{1}{2} \frac{V_c L}{M_p} + \frac{H_c h}{M_p} = 4 \quad (15-2)$$

"روش فوق برای حذف مفصلهای خمیری در مکانیزم‌های مرکب بسیار مهم است و با استناد کاملاً درک شود. این روش بعداً به طور جامعتری برای تحلیل سازه‌های پیچیده‌تر مورد استفاده قرار خواهد گرفت".

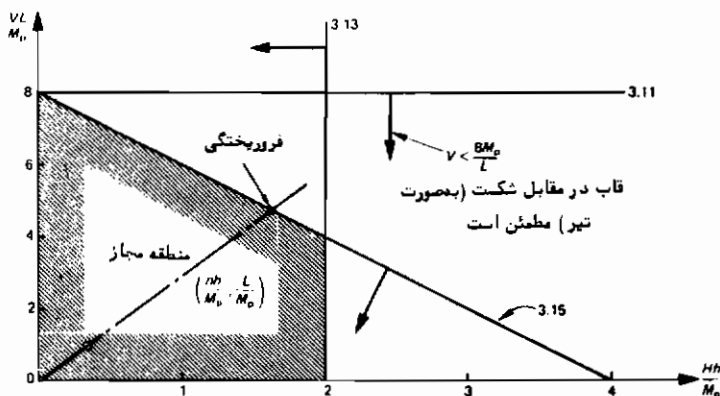
۶-۲-۴- چه مکانیزمی محتملتر است؟

پاسخ به این پرسش مشکل است، زیرا مکانیزم فروریختگی واقعی بستگی به نسبت مقادیر نیروهای H و V دارد. به کمک معادلات ۱۱-۳ و ۱۳-۳ و ۱۵-۳ بارهایی که به ازای آنها مکانیزم ایجاد می‌شود به دست می‌آید. و می‌توان آنها را روی صفحه با محورهای مختصات Hh/M_p و VL/M_p رسم کرد همان‌طور که در شکل ۲۳-۳ به صورت سه خط مستقیم نشان داده شده است.

نمودار فوق یک نمودار تقابلی نامیده می‌شود (ID).

به کمک نمودار تقابلی اطلاعات بیشتری در مورد قاب به دست می‌آید. معادله ۱۱-۳

بهان می‌کند که وقتی $\lambda = VL/M_p$ است مکانیزم تیر به وجود خواهد آمد. اگر V کمتر از L/M_p باشد شکست تیر در قاب به وجود نمی‌آید.



شکل ۳

بحث فوق برای سایر مکانیزم‌ها نیز قابل استفاده است و سطح هاشور زده داخلی نمودار مقابله نشان دهنده محدوده این است.

این سطح هاشور خورده را که محدوده مجاز گویند، (PR) نشان دهنده ترکیبی‌ای از V و H است که به ازای تشکیل هریک از مکانیزم‌ها، سازه در مقابل فروریختگی این است. اگر V و H طوری باشند که نقطه روی حد مرزی PR واقع شود، فروریختگی به وجود می‌آید. در این حالت خط مرزی از خط مورب (معادله ۳-۱۵) مربوط به مکانیزم مرکب و خط قائم (معادله ۳-۱۲) مربوط به مکانیزم جانبی تشکیل می‌شود.

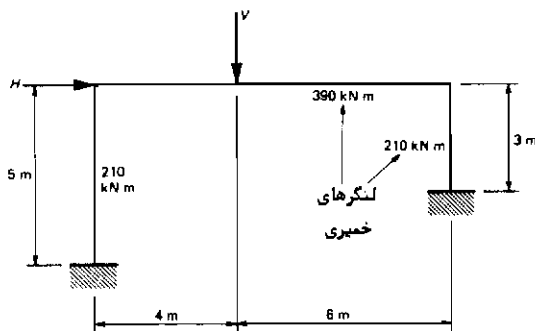
فرض کنید نسبت نیروها برابر با $V/H = 1/n$ باشد، فروریختگی قاب چگونه است؟ فرض کنید که $n = \gamma$ است، بنابراین $n = H$ خواهد بود. نقطه $(nh/M_p, L/M_p)$ را در نمودار مقابله ID در نظر بگیرید.

محل تلاقی خطی که از مبدأ و نقطه $(nh/M_p, L/M_p)$ می‌گذرد و خط مرزی محدوده مجاز PR را قطع می‌کند. مکانیزم فروریختگی (مطابق شکل، مکانیزم مرکب) و مقادیر V و H در فروریختگی را مشخص می‌سازد (مطابق شکل، $V = 4.75M_p/h$, $H = 1.625M_p/L$).

لزومی ندارد که همیشه محورهای مختصات و پایا نمودار مقابله ID بر حسب مقادیر مثال فوق باشند و هایستی مناسب‌ترین مقادیر را در نظر گرفت. در قسمت بعد برای آن مقادیر دیگری داده شده است.

۳-۶-۳ قاب پرتال با تکیه گاههای گیردار

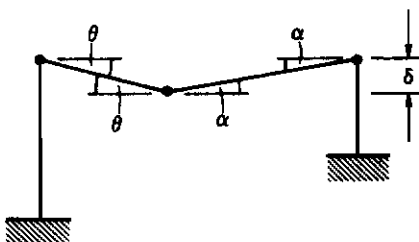
قاب زیر را در نظر بگیرید، برخلاف مثال قبل، در این قاب، تکیه‌گاهها گیردار، لنگرهای خمیری اعضاء متفاوت و شکل قاب پیچیده‌تر می‌باشد. این تفاوتها را در محاسبات بایستی در نظر گرفت.



شکل ۳-۲۴

(الف) مکانیزم تیز
با توجه به ابعاد هندسی این مکانیزم

$$\delta = 4\theta = 6\alpha$$



معنی
 $\alpha = \frac{2}{3}\theta$ است.

در اتصال بین دو عضو، مفصل خمیری در عضوی که لنگر خمیری آن کمتر است به وجود می‌آید. بنابراین معادله کار

$$\begin{aligned} V\delta &= 210\theta + 390(\theta + \alpha) + 210\alpha \\ &= 600(\theta + \alpha) \end{aligned}$$

با جابجاگی مقادیر α و δ داریم:

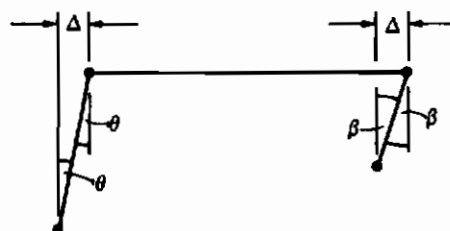
$$V \times 4\theta = 600 \left(1 + \frac{2}{3}\right) \theta$$

معنی

$$V = 250 \text{ kN}$$

(۱۶ - ۳)

(ب) مکانیزم جانبی



برای تشکیل این مکانیزم با پستی مفصلهای خمیری در بالا و پایین هر ستون به وجود آید.
با توجه به ابعاد قاب :

$$\Delta = 5\theta = 3\beta$$

معنی

$$\beta = \frac{5}{3} \theta$$

معادله تعادل عمارت است از:

$$H\Delta = 2 \times 210\theta + 2 \times 210\beta$$

$$H \times 5\theta = 420 \left(1 + \frac{5}{3}\right) \theta$$

$$H = 224 \text{ kN}$$

(۱۷ - ۳)

(ج) مکانیزم مرکب

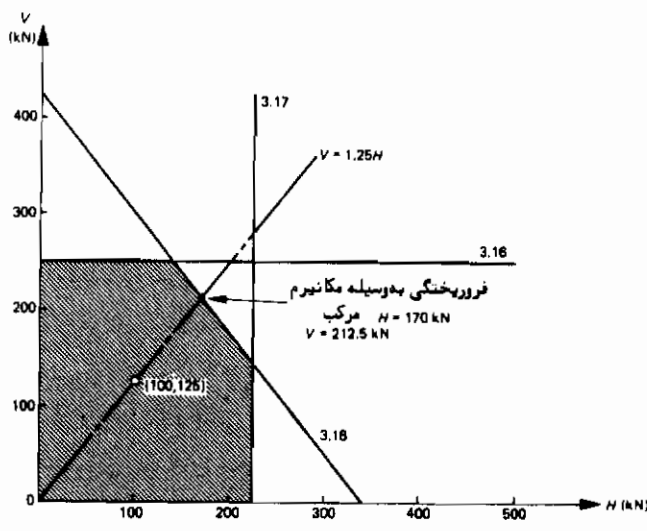


معادله تعادل مبارت است از:

$$V \times 4\theta + H \times 5\theta = 600 \left(1 + \frac{2}{3}\right) \theta + 420 \left(1 + \frac{5}{3}\right) \theta - 2.210 \theta$$

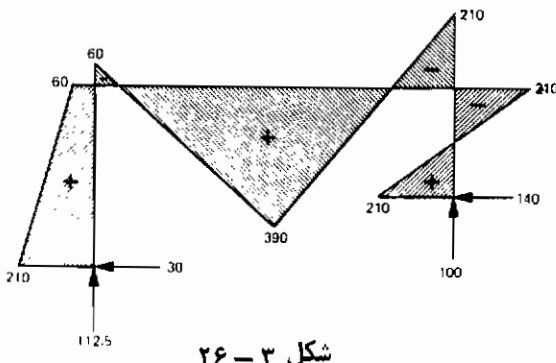
$$4V + 5H = 1700 \quad (18-3)$$

در این مثال اکون می‌توان با استفاده از معادلات ۱۸-۳ الی ۱۸-۶ نمودار تقابلی ID را رسم کرد.



شکل ۲۵-۳

بعایی $V = 1.25H$ شکل فروریختگی کدام است؟ با فرض $H = 100 \text{ kN}$ ، خواهیم داشت $V = 125 \text{ kN}$ ، این نقطه را روی نمودار تقابلی رسم می‌کنیم. نمودار تقابلی ID نشان می‌دهد که وقتی $H = 170 \text{ kN}$ و $V = 212.5 \text{ kN}$ است فروریختگی در اثر مکانیزم مركب ایجاد می‌شود. دیاگرام لنگر خمی BMD برای این ترکیب بارها در موقع فروریختگی اکون قابل ترسیم است (به ضمیمه ج مراجعه شود). عکس‌العملهای تکیه‌گاهها با توجه به BMD در شکل ۲۶-۳ نشان داده شده است. عکس‌العملهای قائم دو ستون مساوی با نیروهای محوری هستند ($112/5 \text{ kN}$ و 100 kN) و نیروی محوری تبر از تفاضل عکس‌العملهای افقی به دست می‌آید (110 kN).

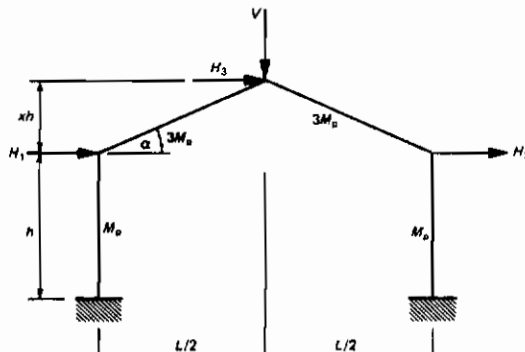


همچنانکه در قسمت ۲-۵-۱ نشان داده شده است، این نیروها، لنگرهای خمیری موثر اعضاء را کاهش می‌دهند. اثر این کاهشها را با استفاده از لنگرهای خمیری کوچکتر و به وسیله تکرار معادلات کار می‌توان بدست آورد. با در نظر گرفتن اثرات فوق، مقادیر V و H نیز کاهش خواهد یافت. البته با انجام یک تکرار، کاهش در نیروهای اعضاء قابل مقایسه و ملاحظه است ولی سریعاً "با ادامه کار تقارب حاصل می‌شود". برای محاسبه تغییر در لنگرهای خمیری موثر، اطلاعاتی در مورد مشخصات هندسی عضو لازم است. در این مثال لنگرهای خمیری مربوط به دو مقطع تیر یونیورسال^۱ بوده است، این مقطع UB ۶۴x16۵ در 532×165 UB ۵۴ می‌باشد که مشخصات هندسی آنها در مرجع ۲ داده شده است. نیروهای محوری لنگرهای خمیری را به ترتیب $T_{a-m} = 388$ kN-m و $T_{a-t} = 208$ kN-m، و بارهای فروریختگی را $T_{a-H} = 168$ kN و $T_{a-V} = 210$ kN می‌دانند. کاهش دربار فروریختگی تها $\frac{1}{8}$ درصد است. در این مثال و برای قابهای معمولی یک طبقه، نیروهای محوری قابل اغماض می‌باشد. اما در قاب چند طبقه که نیروهای محوری درستونهای پایین خیلی زیاد است، کاهش دربار فروریختگی می‌تواند قابل ملاحظه باشد.

۳-۶ - ۴ قاب شیبدار

یک قاب شیبدار متقارن نمونه در شکل ۲۷-۳ نشان داده شده است. چنین قابی برای ساختمانهای کارخانه و انبار بسیار معمول است. از شیبدار برای تخلیه آب باران استفاده می‌شود ولی اهمیت بیشتر آنها در امکان افزایش دهانه‌هاست. تحلیل این نوع از سازه‌ها

پیچیده‌تر از قاب پرتابل مستطیلی می‌باشد. زیرا مکانیزم تیر معمولی نمی‌تواند در شیبها به وجود آید.



شکل ۲۲-۳

شکل ۲۸-۳ (الف) مفصلهای لازم برای مکانیزم تیر را نشان می‌دهد. اگر شیب AB مطابق شکل ۲۸-۳ ب حول نقطه A دوران کند، نقطه B به طور قائم و افقی حرکت می‌کند.

$$\delta_h = AB' \cos(\alpha - \theta) - AB \cos \alpha$$

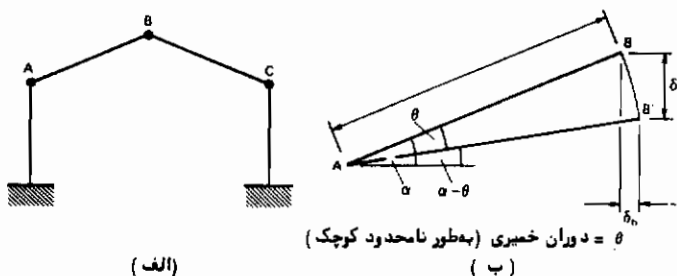
از آنجا که $AB' = AB = l$ می‌باشد

$$\delta_h = l \cos \alpha \cos \theta + l \sin \alpha \sin \theta - l \cos \alpha$$

برای زوایای کوچک ۱ درجه $\sin \theta = \theta$ و $\cos \theta = 1$ بنابراین

$$\begin{aligned} \delta_h &= l \cos \alpha + l (\sin \alpha) \theta - l \cos \alpha \\ &= l (\sin \alpha) \theta \end{aligned} \quad (19-۳)$$

$$= xh\theta \quad (20-۳)$$



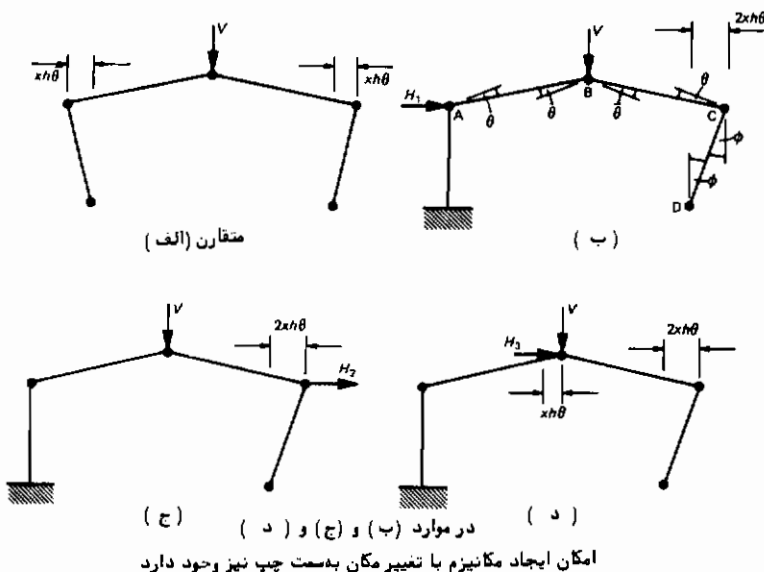
شکل ۲۸-۳

بهطور مشابه

$$\begin{aligned}
 \delta_v &= AB \sin \alpha - AB' \sin (\alpha - \theta) \\
 &= l \sin \alpha - l \sin \alpha \cos \theta + l \cos \alpha \sin \theta \\
 &= l (\cos \alpha) \theta = \frac{L}{2} \theta
 \end{aligned} \tag{۲۱-۳}$$

با استفاده از معادلات ۲۵-۳ و ۲۱-۳ تغییر مکان‌های افقی و قائم نقطه B بر حسب دوران خمیری θ بدست می‌آید.

خیز افقی حاصل‌ضرب تصویر قائم AB در مقدار دوران خمیری و همین‌طور خیز قائم حاصل‌ضرب تصویر افقی AB در مقدار دوران خمیری است. از این‌رو خیز قائم می‌باید مساوی با خیز یک تیر با همان دهانه باشد. این وضعیت در شیب AB نیز وجود دارد. برای آنکه یک مکانیزم تیر به وجود آید نقاط A و C بایستی بماندازه $2xh\theta$ جایجا شوند. چنین حالتی وقتی امکان‌پذیر است که مفصلهای اضافی در ستونها ایجاد شود. حالت‌های مختلف ممکنه در شکل ۲۹-۳ نشان داده شده است، کار داخلی در هر حالت یکسان است.



شکل ۲۹-۳

با استفاده از شکل ب و لنگرهای خمیری شکل ۲۵-۳ به عنوان مثال $C = 2xh\theta = h\phi$ تغییر مکان افقی

معنی

$$\phi = 2x\theta$$

$$= M_p \theta + 3M_p \times 2\theta + M_p(\theta + \phi) + M_p\phi$$

(مفصل در D) (مفصل در C) (مفصل در B) (مفصل در A)

$$= 8M_p\theta + 2M_p\phi$$

با جابجا یی مقدار ϕ

$$4M_p(2+x)\theta = \text{کار داخلی}$$

بدیهی است که (ج) و (د) مشابهند . حالت (الف) را نیز می‌توان کنترل کردن تفاوت اساسی دیگری نیز بین این مکانیزم و مکانیزم تیر وجود دارد . این تفاوت در کار خارجی است ، که برای حالات (الف) تا (د) متفاوت می‌باشد .

$$\text{حالت (الف) ، (ب)} \quad \text{حالت (الف) ، (d)} = \text{کار خارجی} VL\theta/2$$

$$\text{حالت (ج)} \quad \text{حالت (ج)} = VL\theta/2 + H_2 \times 2xh\theta$$

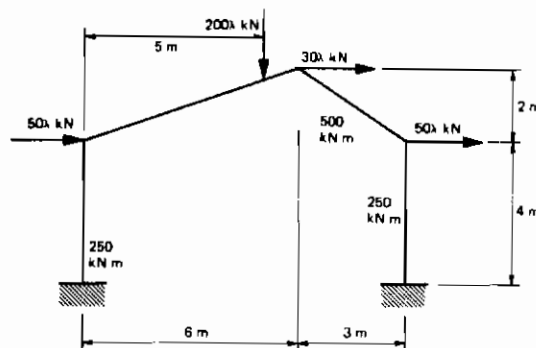
$$\text{حالت (د)} \quad \text{حالت (د)} = VL\theta/2 + H_3 \times xh\theta$$

بسته به موقعیت نیروهای افقی ، در این مکانیزم هردو نیروهای افقی و قائم ممکن است کار انجام دهند .

در واقع نیروهای افقی تعیین کننده نوع مکانیزم می‌باشد . بنابراین مکانیزم (الف) فقط با نبودن نیروهای افقی بوجود می‌آید (وقتی که قاب کاملاً متقارن است) . حالت (ب) به دلیل نگهداری نقطه A توسط H_1 و حالات (ج) و (د) در اثر کشیده شدن C و B به طور جانبه توسط نیروهای H_2 و H_3 بوجود می‌آیند . براساس اصل بقاء انرژی شرح دقیقتری وجود دارد که خواننده می‌تواند آن را مطالعه کند .

در معادله ۱۹-۳ تغییر مکان افقی در عضو شیدار بر حسب دوران خمیری به دست می‌آید . در یک قاب مستطیلی ، زاویه α صفر است (یعنی تیر افقی است) بنابراین هیچ حرکت افقی وجود ندارد . کار داخلی اضافی ناشی از باز شدنی دهانه در بالای ستونهای قاب شیدار باعث می‌شود که مقاومت بیشتری نسبت به یک قاب مستطیل با همان دهانه مشابه بوجود آید که نقطه قوتی برای قابهای شیدار بشرط می‌آید .

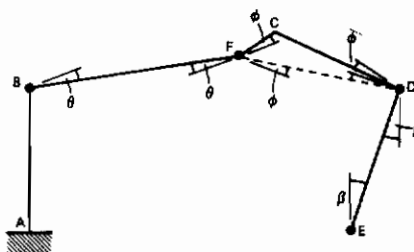
تا اینجا بحث راجع به قابهای شیدار متقارن بوده است . در واقع قابهای نا متقارن نیز به روش فوق قابل بررسی می‌باشد که در مثال زیر نشان داده شده است .



شکل ۳۰-۳

قابو که با استی تحلیل شود در شکل ۳۰-۳ نشان داده شده است. در موقع فروریختگی لازم است مقدار ضریب بار λ تعیین گردد. همچون گذشته سه مکانیزم باید در نظر گرفته شود، مکانیزم قاب شیبدار (بجای مکانیزم تیر)، مکانیزم جانبی و بالاخره مکانیزم مرکب.

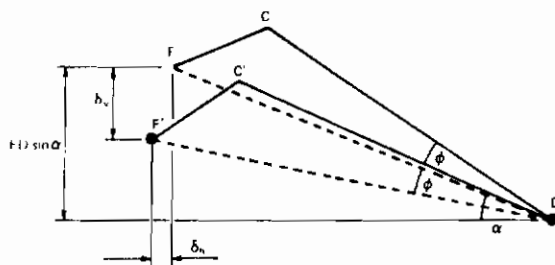
(۱) مکانیزم قاب شیبدار.



طبق روال معمول وضعیت مفصلها در شکل نشان داده شده است. شکستگی عضو FCD کار را مشکل می‌کند. معادلات ۱۹-۳ تا ۲۱-۳ برای عضو مستقیم بدست آمداند. در اینجا، شکل FCD به هیچ وجه تغییر نمی‌کند زیرا تمام تغییر شکلها در مفصلها به وجود می‌آیند. در شکل ۳۱-۳ حرکت FCD نشان داده شده است. تغییر شکل‌های افقی و عمودی ناشی از دوران خمیری ϕ در D عبارت است از:

$$\delta_h = FD \sin \alpha\phi \quad (22-3)$$

$$\delta_v = FD \cos \alpha\phi \quad (22-4)$$



شکل ۳۱-۳

که مشابه معادلات ۱۹-۳ و ۲۱-۳ می‌باشد. با استفاده معادلات ۱۹-۳ الی ۲۳-۳، تغییر مکان بارهای مرکز در قاب به دست می‌آید.

$$\delta_{v_F} = 5\theta = 4\phi$$

$$\delta_{h_F} = \frac{5}{6} \times 2\theta = \frac{5}{3}\theta$$

$$\delta_{h_D} = \frac{5}{3}\theta + \frac{5}{6} \times 2\phi = \frac{5}{3}\theta + \frac{5}{3} \times \frac{5}{4}\theta = \frac{45}{12}\theta$$

$$\delta_{h_C} = \delta_{h_D} - 2\phi = \frac{45}{12}\theta - 2 \times \frac{5}{4}\theta = \frac{5}{4}\theta$$

(لازم به پادآوری است که تغییر مکانهای افقی حاصل ضرب تصویر قائم عضو در دوران خمیری می‌باشد) بنابراین معادله کار عبارت است از:

$$200\lambda\delta_v + 30\lambda\delta_{h_C} + 50\lambda\delta_{h_D} = 250\theta + 500\theta + 500\phi + 250(\phi + \beta) + 250\beta$$

بخاطر داریم که δ_{h_D} مساوی 4β می‌باشد، با جابجا کردن ϕ و β خواهیم داشت:

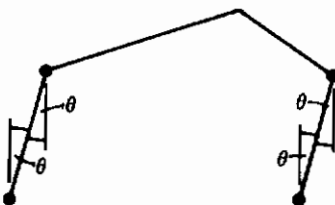
$$200\lambda 5\theta + 30\lambda \frac{5}{4}\theta + 50\lambda \frac{45}{12}\theta = 750\theta + 750\frac{5}{4}\theta + 500\frac{45}{48}\theta$$

$$\left(1000 + \frac{150}{4} + \frac{375}{2}\right)\lambda = 750 + \frac{3750}{4} + \frac{22500}{48}$$

$$\frac{9800}{8}\lambda = \frac{17250}{8}$$

$$\lambda = 1.76$$

(۲) (مکانیزم جانبی)



از آنجا که تغییر شکل در مفصلها تنها در اثر دوران خمیری به وجود می‌آید، نقاط B و C و D در اثر همان مقادیر با پستی به طور جانبی حرکت کنند.

$$(50 + 30 + 50)\lambda 4\theta = 4 \times 250 \times \theta$$

$$520\lambda = 1000$$

$$\lambda = 1.92$$

(۳) مکانیزم مرکب



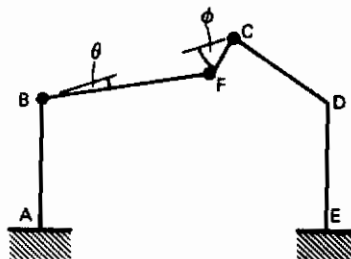
$$\left(\frac{9800}{8} + 520 \right) \lambda \theta = \frac{17250}{8} \theta + 1000\theta - 500\theta$$

$$\frac{13960}{8} \lambda = \frac{21250}{8}$$

$$\lambda = 1.52$$

محاسبات نشان می‌دهد که مکانیزم مرکب بمقایزی کمترین مقدار ضریب بار به وجود می‌آید. این مکانیزم بحرانی‌ترین حالت برای قاب است، و ضریب بار مربوطه ($1/52$ در این حالت) "ضریب بار فروریختگی" نامیده می‌شود.

در تحلیل قابهای شبدار به دقت و ملاحظه خاصی نیاز است. در خاتمه لازم است به نکته زیر توجه شود. در مثال قبل در واقع یک مکانیزم محتمل دیگر نیز وجود دارد و آن مکانیزم تیر در شبیب سمت چپ است.



نقاط B و C در این مکانیزم حرکت نمی‌کنند. BC مانند تیر عمل می‌کند و نقطه F عمود بر حرکت می‌نماید. با توجه به ابعاد مکانیزم.

$$BF \times \theta = FC\phi$$

،

$$BF = 5/\cos\alpha$$

$$FC = 1/\cos\alpha$$

بنابراین

$$50 = \phi$$

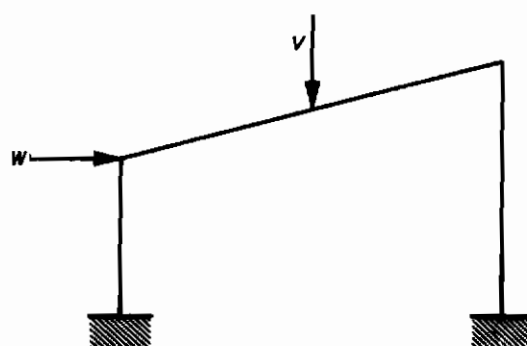
با توجه به معادله کار

$$200\lambda 50 = 250\theta + 500(\theta + \phi) + 500\phi$$

$$1000\lambda = 250 + 500 \times 6 + 500 \times 5$$

$$\lambda = 5.75$$

با توجه به کار داخلي طول مسیر طى شده توسط بار 50 یعنی حرکت قائم F می‌باشد.



شکل ۳۲-۳

در قاب شیبدار این مکانیزم محتمل نیست ولی نشان می‌دهد که در قابی مانند شکل ۳۲-۳ در مورد مکانیزم تیرچگونه باقیستی عمل کرد.

۳-۶-۵ جمع‌بندی روش کار مجازی

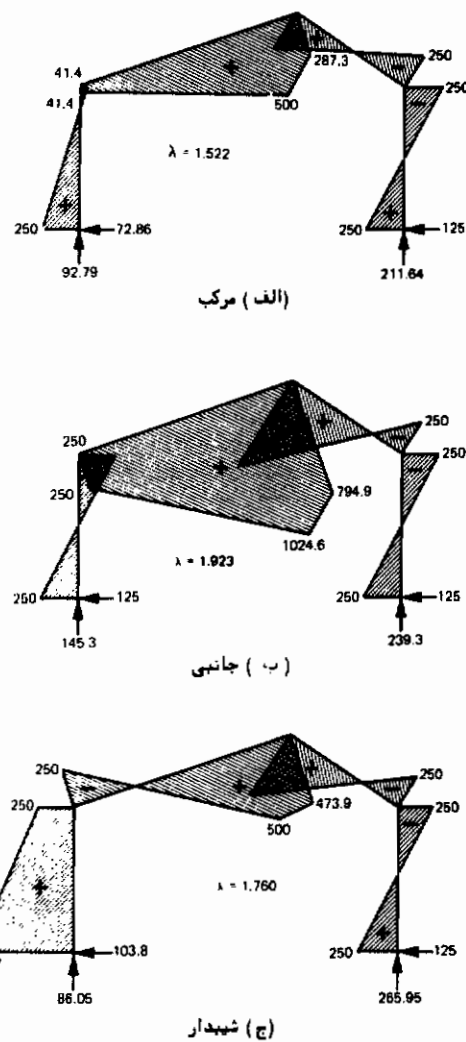
مراحل لازم در روش کار مجازی عبارت است از:

- (۱) تعیین مکانیزم‌های فروریختگی و اعمال دورانهای مجازی در مفصلها.
- (۲) برای هر مکانیزم، با استفاده از ابعاد مکانیزم، تعیین مقادیر نسبی دورانهای خمیری و مسافت‌های طی شده توسط بارها.
- (۳) استفاده از معادله کار برای هر مکانیزم. باقیستی بتوان مقادیر دورانهای مجازی را حذف کرد.
- (۴) مرحله نهایی بستگی به نتیجه حاصله از تحلیل دارد.
 (الف) اگر بارها به صورت پارامتری داده شده باشند (برای مثال V و H) یک نمودار مقابلي برای تعیین چگونگي فروریختگي سازه رسم می‌شود.
 (ب) اگر مقادیر نسبی بارهاي مختلف داده شده باشند و مقادير مطلق توسط ضريب بار (λ) تعیین شوند، λ برای هر مکانیزم محاسبه می‌شود، مکانیزم بحرانی کمترین ضرب بار را دارا می‌باشد.

۳-۷ جمع‌بندی

در اولین قسمت این فصل نتایج حاصله از بخش‌های ۱ و ۲ ذکر و در مورد قابهای کار برده شد و زمینه قبلی لازم در مورد نظریه‌های تحلیل خمیری فراهم گردید. این نظریه‌ها پایه‌ای برای روشهای تعیین بارهای فروریختگی بشمار می‌روند. در قسمت دوم روشهای لنگرهای خمی و اکتش و آزاد و کار مجازی تشریح گردید. با قیمانده بخش مطابقت کردن روشهای با زمینه‌های نظریه‌ای آنها بوده است تا محدودیتهای آنها نیز نشان داده شود.

مثال‌های این بخش شامل چه محاسباتی بوده است؟ در ابتدا تمام مکانیزم‌های فروریختگی ممکن تعیین و سپس بارهایی که بهزای آنها مکانیزم به وجود می‌آید محاسبه شدند. در آخرين مثال قاب شیبدار، از نظریه کرانه بالایی نیز استفاده گردید (بدون آنکه ذکر شود). نمودارهای لنگرخمی برای هر مکانیزم در شکل ۳۲-۳ نشان داده شده است. ملاحظه می‌شود که مکانیزم‌های قاب شیبدار و جانی شرط تسلیم را برآورده نمی‌سازند. در نتیجه برای ضرب بار فروریختگی کرانه بالایی به دست می‌آید. فقط نمودار لنگر خمی برای مکانیزم مرکب تمام سه شرط را برآورده می‌کند.



شکل ۳ - ۳

در هر دو روش فوق لازم است تمام مکانیزم‌های ممکنه آزمایش گردد. این موضوع باعث محدود شدن استفاده از روشها می‌شود. در هر یک از مثالهای بخش تعداد مکانیزم‌های ممکن نسبتاً کم بود بنابراین مشکلی به وجود نیامد. در قابهای پیچیده‌تر تعداد مکانیزم‌های ممکن بسیار زیاد خواهد بود و تقریباً غیر ممکن است که یک یا آنها رسم و محاسبه شود و از آنجا که هیچ تضمینی برای پیدا کردن مکانیزم فرو ریختگی وجود ندارد، تحلیل مشروط فوق غیر قابل استفاده می‌گردد.

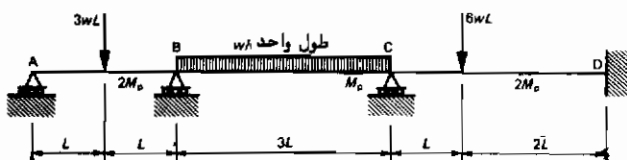
روشهای فوق بهطور معمول محدود به تیرها و قابهای پک دهانه و پک طبقه می‌شوند . روشی بنام " تحلیل حدی " وجود دارد که بر اساس روش کار مجازی بوده و مشکل فوق را مرتفع می‌سازد . این روش در بخش بعد تشریح می‌شود .

نکته دیگر قابل توجه این است که بجز در تیر مربوط به قسمت ۳-۵-۵ مثال‌های درمورد سازه‌های با بار متغیر بوده‌اند . سازه‌های واقعی معمولاً تحت بارهای گستردۀ قراردارند . در قسمت ۳-۵-۵ این حالت نشان داده شد . با توجه به اینکه مفصل داخلی در نقطه حداکثر لنگر خمشی به وجود می‌آید ، تحت بارهای گستردۀ تعیین محل آن به سادگی امکان پذیر نمی‌باشد . همچنین تعیین مکانیزم فروریختگی واقعی مشکل است و بنابراین بایستی از تحلیل حدی استفاده شود .

۳-۱ مسائل

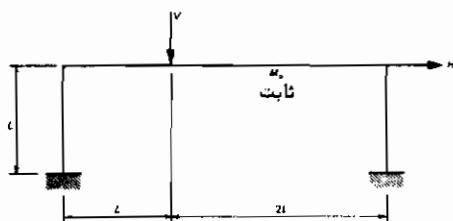
۱-۸-۳ ۱- بار نهایی تیری پیکسر گیردار ، یکسر مفصل به دهانه L را که به صورت گستردۀ یکنواخت با مقدار w در واحد طول اعمال می‌شود محاسبه کنید . فرض کنید که لنگر خمیری تیر ثابت و برابر M_p است .

۲-۸-۳ ۲- بار فروریختگی تیر پیوسته شکل ۳۴-۳ را محاسبه کنید . دهانه بحرانی کدام است .



شکل ۳۴-۳

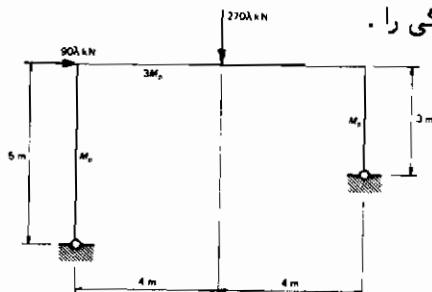
۳-۸-۳ نمودار مقابله‌ای را برای فروریختگی قاب پرتابل شکل ۳۵-۳ رسم کنید . فرض کنید V و H به طور مستقل از یکدیگر تغییر می‌کنند .



شکل ۳۵-۳

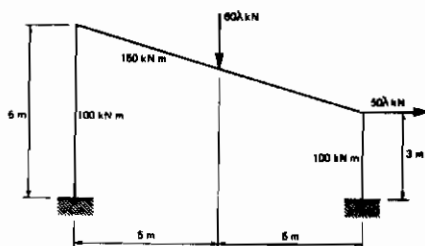
۴-۸-۳ قاب پرتوال با تکیه‌گاههای مفصلی مطابق شکل ۳۶-۳ بارهای قائم و افقی را تحمل می‌کند. اگر M_p برابر با 300 kNm باشد، تعیین کنید.

(الف) مکانیزم فروریختگی بحرانی، (ب) ضریب بار مربوط به فروریختگی و (ج) نمودار لنگرخمشی در فرو ریختگی را.



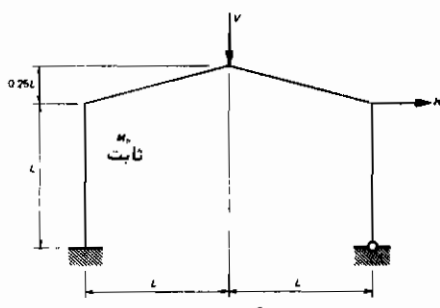
شکل ۳۶-۳

۴-۸-۴ مقدار λ مربوط به فرو ریختگی قاب نشان داده شده در شکل ۳۷-۳ را تعیین کنید. نمودار لنگرخمشی را در موقع فرو ریختگی رسم کنید.



شکل ۳۷-۳

۴-۸-۵ نمودار مقابله‌ای را برای فرو ریختگی قاب شیدار شکل ۳۸-۳ رسم کنید. فرض کنید که V و H مستقل از یکدیگر تغییر می‌کنند. بارها و مکانیزم‌های فرو ریختگی در حالتی که $V = 5H$ است کدامند؟

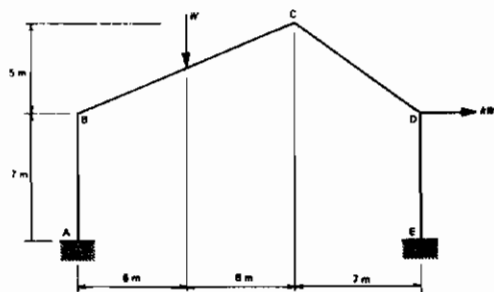


شکل ۳۸-۳

روشهای خمیری برای سازه‌های فولادی و بتنی

۷-۸-۳ قاب شیدار شکل ۳۹-۳ در ابتدا برای تحمل بار منفرد قائم $2W$ واقع در محل تلاقی شیبیهای BC و CD طرح شده است، لنگر خمیری M_p برای ستونها و تیرهای شیدار مساوی می‌باشد.

قاب برای بارهای مشخص شده در شکل "مجدا" طرح شده است. اگر لنگر خمیری ستونها اکنون ۷۵ درصد مقدار اولیه کاهش داده شود مقدار k را طوری پیدا کنید که سازه این باشد.



شکل ۳۹-۳

تحلیل حدی

۱ - مقدمه

تحلیل حدی ربطی به فلسفه طراحی حالت حدی ندارد . شاید باعث تعجب شود که این فصل با یک چنین عبارتی آغاز می‌گردد ، لیکن اشتباه گرفتن آنها با یکدیگر بسیار معمول است . روش حالت حدی روشی است که در مورد طراحی سازه‌های بتن آرمه ابداع شده است این روش در آینین نامه CP 110 (۵) و "اخیراً" در مورد سازه‌های فولادی در پیش نویس B/20 استاندارد طراحی کارهای فولادی آمده است (۶) . تحلیل حدی یک روش قوی برای تعیین مقداریا محدوده‌ای از ضرب بار فروریختگی سازه با استفاده از نظریه خمیری می‌باشد . محدودیت اصلی در این روش نسبی بودن اجباری بارها است بنابراین مقادیر نسبی بارهای منفرد ثابت بوده و مقادیر مطلق بهوسیله ضرب بار λ تعریف می‌شوند برای ترکیب‌های مختلف بارها محاسبات را جداگانه می‌توان انجام داد .

روش تحلیل به شرح زیر است .

۱ - یک مکانیزم فروریختگی حد سزده می‌شود و ضرب بار λ برای مکانیزم تعیین می‌گردد عموماً این مکانیزم ، مکانیزم فروریختگی واقعی نخواهد بود بنابراین با توجه به نظریه کرانه بالایی .
 $\lambda \geq \lambda_{\text{آ}}$ می‌شود .

- ۲ - نمودار لنگر خمشی (BMD) متناسب با مقدار λ و مکانیزم فرضی تعیین می‌گردد . اگر λ کرانه بالایی باشد ، در سازه نقااطی وجود خواهد داشت که لنگرهای خمشی از لنگر خمیری بزرگتر خواهد بود .
- ۳ - بارها و لنگرهای خمشی به یک اندازه کاهاش داده می‌شود تا اینکه تمام لنگرهای خمشی کمتر یا مساوی با لنگر خمیری شوند . این کار با کاهاش λ تا مقدار $\lambda_{\text{آ}}$ انجام می‌گیرد .

در این مرحله مقدار لنگرخمشی در محل مفصلهای اولیه از لنگر خمیری کمتر خواهد شد، از آن‌رو این مفصلها و در نتیجه مکانیزم دیگر وجود نخواهند داشت. این بدان معنی است که در این مرحله نمودار لنگرخمشی شرایط تعادل و تسلیم را برآورده کرده اما شرط مکانیزم برآورده نشده است. در این حالات نظریه کرانه پایینی بیان می‌دارد.

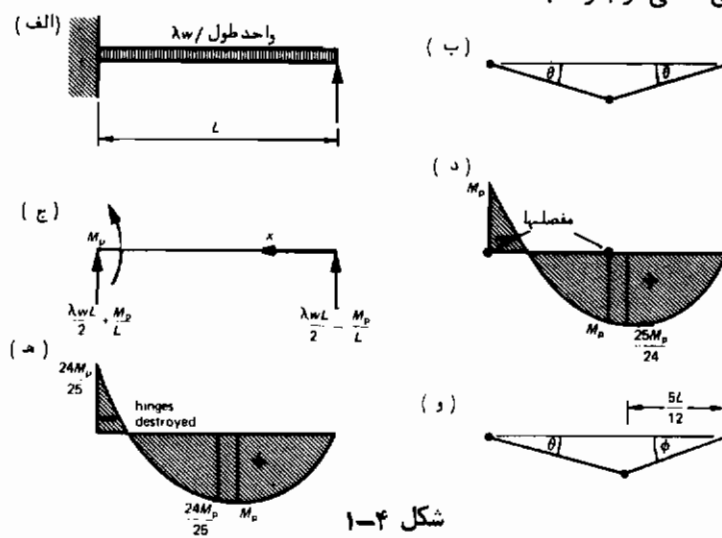
$$\lambda_r \leq \lambda_c$$

که

$$\lambda_r \leq \lambda_c \leq \lambda$$

۴- مقدار λ_c در محدوده زیر قرار می‌گیرد.

در عمل هرچه این محدوده بماندازه کافی کوچک باشد بهتر است، اگر چنین نشد یک مکانیزم فروریختگی جدید انتخاب می‌شود و مراحل (۱) تا (۴) تکرار می‌گردد. مرحله (۳) ممکن است باعث سوء تفاهم گردد. وقتی که لنگرهای خمشی اولیه به یک اندازه همچون بارها کاهش یافتد، بایستی با بارها در حال تعادل باقی بمانند و شرط تسلیم را برآورده سازند. از آن‌رو ضریب بار جدید λ ضوابط نظریه کرانه پایینی را برآورده می‌سازد. غیر ممکن است که لنگرهای خمشی تجدید نظر شده با لنگرهای خمشی که از تحلیل سازه تحت اثر بارهای با ضریب λ به دست می‌آیند مساوی باشند. زیرا لنگرهای خمشی تجدید نظر شده به طرقی حاصل از توزیع مجدد لنگر در اثر تشکیل مفصلهای خمیری می‌باشند که این مفصلها در تحلیل واقعی وجود ندارند. این موضوع درستی روش را نفی نمی‌کند. در نظریه کرانه پایینی تنها لازم است توزیع لنگرهای خمشی طوری باشد که شرایط تسلیم و تعادل برآورده شود و لذا لزومی ندارد که لنگرهای خمشی مرسوطه، لنگرهای واقعی ناشی از بارها باشند.



شکل ۱-۴

این موضوع در شکل ۱-۴ الف توسط پک تیر یکسر گیردار و یکسر مفصل تحت بار یکنواخت نشان داده می‌شود. بدون در نظر داشتن اطلاعات گذشته، فرض در نظر گرفتن مفصل در تکیه‌گاه گیردار و وسط دهانه، فرض مناسبی است مطابق شکل ۱-۴ ب معادله کار عبارت است از:

$$\lambda w \times \frac{L}{2} \times \frac{L}{2} \theta = 3M_p \theta$$

$$\lambda = \frac{12M_p}{wL^2} \quad (1-4)$$

با استفاده از عکس‌العملهای شکل ۱-۴ ج نیروهای برشی در نقطه‌ای مانند x برابر است با:

$$N = -\frac{\lambda wL}{2} + \frac{M_p}{L} + \lambda wx$$

و در نقطه‌ای که نیروی برشی صفر است داریم:

$$\lambda wx = \frac{\lambda wL}{2} - \frac{M_p}{L}$$

با جابجاگی در معادله ۱-۴ داریم:

$$\frac{12M_p x}{L^2} = \frac{6M_p}{L} - \frac{M_p}{L}$$

یعنی

$$x_{\text{crit}} = \frac{5L}{12} \quad (2-4)$$

لنگرخمشی در نقطه x می‌شود.

$$M = \left(\frac{\lambda wL}{2} - \frac{M_p}{L} \right) x - \frac{\lambda wx^2}{2}$$

و با جابجاگی معادلات ۱-۴ و ۲-۴ در معادله فوق لنگرخمشی حداکثر به دست می‌آید.

$$M_{\max} = \left(\frac{6M_p}{L} - \frac{M_p}{L} \right) \frac{5L}{12} - \frac{6M_p}{L^2} \left(\frac{5L}{12} \right)^2$$

$$= \frac{25M_p}{12} - \frac{25M_p}{24}$$

$$= \frac{25M_p}{24}$$

با کاهش مقدار λ تا λ_c مقدار M_{max} تا M_p کاهش می‌یابد که.

$$\begin{aligned}\lambda_r &= \frac{24}{25} \times \frac{12M_p}{wL^2} \\ &= \frac{11.52M_p}{wL^2}\end{aligned}\quad (۳-۴)$$

بنابراین

$$\frac{11.52M_p}{wL^2} \leq \lambda_c \leq \frac{12M_p}{wL^2} \text{ خواهد بود.}$$

این محدوده به اندازه کافی کوچک است ولی می‌توان کار را ادامه داد. با درنظر گرفتن یک مفصل در تکیه‌گاه گیردار و یکی به فاصله $12/15L$ تکیه‌گاه دیگر، یعنی در محل بزرگترین لنگرخوشی در مکانیزم قبل می‌توان مکانیزم را درست تراستخاب کرد. محاسبات نشان می‌دهد که:

$$\lambda = \frac{11.66M_p}{wL^2} \text{ است.}$$

وقتی $L = 0.4142x$ باشد، نیروی برشی صفر است و خواهیم داشت.

$$M_{max} = M_p \quad (\text{با سه رقم اعشاری})$$

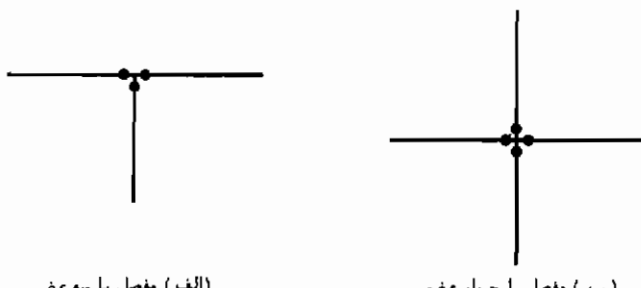
$$\lambda_c = \lambda$$

نتایج را می‌توان وارسی کرد. علاوه بر تشریح مفهوم تحلیل حدی، این مثال نشان داد که خطای مبیوط به گرفتن مفصل در وسط دهانه‌ای که تحت بارگذاری یک‌سوخت است نمی‌تواند احتتمالاً زیاد باشد (در این مثال خطای سه درصد بود) و محاسبات مبیوط به مکانیزم دوم صرفاً به خاطر افزایش جزئی دقت، طولانی و خسته کننده می‌باشد. حدس زدن مکانیزم فروریختگی کاملاً مجاز است ولی در سازه‌ای که برای آن بیش از ۲۰ مکانیزم ممکنه وجود دارد شناسی است.

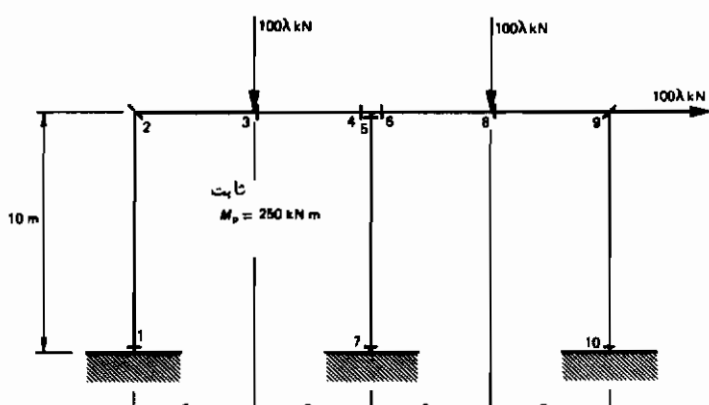
۴ - ۲ مکانیزم‌های اصلی

مثالهای فصل ۳ شامل چهار نوع مکانیزم فروریختگی می‌باشد: مکانیزم‌های تیسر، جانبه‌ی و قاب شیدار و ترکیبی از این مکانیزم‌ها. مکانیزم‌های تیسر - جانبه‌ی و قاب شیدار و همچنین مکانیزم مفصل را "مکانیزم‌های اصلی" گویند. در سازه‌های بزرگتر هر

مکانیزم به وسیله ترکیبی از مکانیزم‌های اصلی بدست می‌آید .
 مکانیزم مفصل در هر اتصالی که مساوی یا بیش از سعده از آن می‌گذرد تشکیل می‌شود .
 مطابق شکل ۲-۴ وقتی در انتهای کلیه اعضای منتهی به اتصال ، مفصل خمیری ایجاد می‌گردد ،
 مکانیزم مفصل به وجود آمده و سه اتصال خودبخود نسبت بعضاً دوران می‌کند . مکانیزم
 مفصل بدون اعمال هرگونه بار خارجی در مفصل تشکیل می‌شود ، بنابراین هیچ معادله کاری
 نمی‌توان نوشت و هیچ ضریب باری محاسبه نمی‌شود . فعلاً "جسم و درک این موضوع شاید
 کمی مشکل باشد ، ولی در آنده موارد استفاده آن روشنتر خواهد شد .



شکل ۲-۴



شکل ۳-۴

مکانیزم‌های اصلی شروع خوبی برای تحلیل یک قاب می‌باشد و برای پیدا کردن تعداد
 مکانیزم اصلی قاب روش ساده‌ای وجود دارد . یک قاب دو دهانه در شکل ۳-۴ نشان داده
 شده و در آن نقاطی که در آنها مفصل خمیری ایجاد می‌شود مشخص شده است . تعداد نقاط

را p در نظر می‌گیریم ($p = 10$ در شکل ۳-۴). اگر در هریک از این نقاط لنگرخمشی معلوم باشد می‌توان نمودار لنگرخمشی را رسم کرد بنابراین تعداد m مجھول وجود دارد. بهمازای هریک از m مکانیزم اصلی یک معادله مستقل وجود دارد که در آن لنگرهای مفصلها بر حسب بارهای واردہ بهدست می‌آیند. از آنجا که p مجھول و m معادله وجود دارد.

$$p - m = r$$

که ۲ درجه نامعینی قاب می‌باشد. p به راحتی و با شمارش بهدست می‌آید، r مطابق مطالب ضمیمه ب بهدست می‌آید و تعداد مکانیزمها مستقل به کمک معادله زیر حاصل می‌شود

$$m = p - r \quad (4-4)$$

برای قاب شکل ۳-۴ نامعینی برابر $= r$ می‌باشد، بنابراین $= 4$ m خواهد بود، چهار مکانیزم به راحتی قابل تشخیص است، دو مکانیزم تیر، یک مکانیزم مفصل و یک مکانیزم جانبی.

۴-۳ ترکیب مکانیزمها

مکانیزم‌های اصلی حالت‌هایی احتمالی برای مکانیزم فروریختگی می‌باشند و از هر کدام می‌توان یک ضربی بار فروریختگی فرضی بهدست آورد. سایر مکانیزم‌ها به وسیله ترکیبی از چند مکانیزم اصلی بهدست می‌آیند. از هر مکانیزم جدید نیز یک ضربی بار فروریختگی فرضی بهدست می‌آید، با توجه به نظریه کرانه بالایی کمترین مقدار حاصل‌بهم ضربی بار فروریختگی واقعی نزدیکتر است. برای کنترل هر مکانیزم رسم نمودار لنگرخمشی ضروری به نظر نمی‌رسد ولی کنترل مکانیزم مربوط به کمترین ضربی بار لازم است. کنترل مذکور بدین منظور انجام می‌شود تا مکانیزم فروریختگی واقعی و ضربی بار تعیین و یا محدوده‌ای برای ضربی بار فروریختگی مشخص گردد.

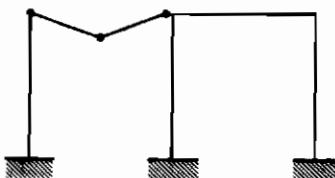
ترکیب مکانیزمها مطابق روشی که در بخش قبلی بیان شد، صورت می‌گیرد. معادلات کار با یکدیگر جمع شده و سپس کار داخلی مربوط به مفصلهای خمیری حذف شده از معادلات کار کاسته می‌گردد. مثال بعدی جریان کار را نشان می‌دهد.

۴-۳-۱ مثال قاب دودهانه

شکل ۴-۳ قاب دودهانه‌ای را نشان می‌دهد. با توجه به مطالب بیان شده این قاب ۴ مکانیزم اصلی دارد. مرحله اول تعیین ضربی بار برای هریک از این مکانیزم‌هاست.

مکانیزم‌های تیر

(۱) تیر سمت چپ

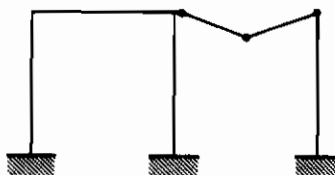


$$100\lambda \times \frac{10}{2} \times \theta = 4 \times 250\theta$$

$$500\lambda\theta = 1000\theta$$

$$\lambda = 2.0$$

(۲) تیر سمت راست

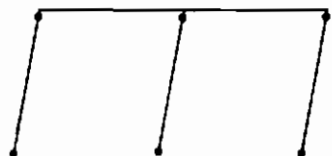


$$100\lambda \frac{10}{2} \times \theta = 4 \times 250\theta$$

$$500\lambda\theta = 1000\theta$$

$$\lambda = 2.0$$

(۳) مکانیزم جانبی*



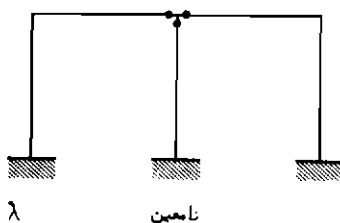
$$100\lambda \times 10 \times \theta = 6 \times 250\theta$$

$$1000\lambda\theta = 1500\theta$$

$$\lambda = 1.5$$

* در بعضی مراجع مکانیزم جانبی را مکانیزم قاب گویند. (مترجم)

(۴) مکانیزم مفصل



هدف، پیدا کردن کمترین مقدار مکله λ است. از مکانیزم جاتبی تأکون. کمترین مقدار λ بدهست می‌آید، بنابراین شروع خوبی برای ساختن مکانیزم‌های مرکب است. برای دادن مسیری به محاسبات شماره‌گذاری برای هر مکانیزم مفید می‌باشد.

(۱)+(۳)=(۵). ترکیب مکانیزم تیر سمت چپ و مکانیزم جانبی باعث حذف



مفصل از بالای ستون سمت چپ می‌شود. معادله کار عبارت است از:

$$1000\lambda\theta + 500\lambda\theta = 1500\theta + 1000\theta - 2 \times 250\theta$$

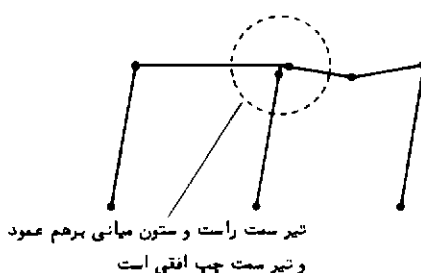
$$1500\lambda\theta = 2000\theta$$

$$\lambda = 1.33$$

این ضریب بار که کمتر از مقدار مربوط به مکانیزم جانبی است. مقدار مناسبتی برای λ می‌باشد.

(۶) ترکیبی از مکانیزم‌های تیر سمت راست و جانبی.

در این حالت به دلیل وضعیتهای نسبی سمعتو در اتصال میانی امکان حذف هیچ مفصلی وجود ندارد.

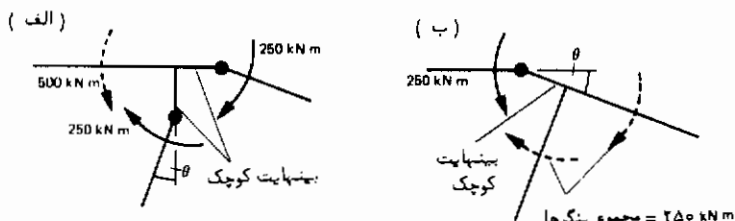


$$1000\lambda\theta + 500\lambda\theta = 1500\theta + 1000\theta$$

$$1500\lambda\theta = 2500\theta$$

$$\lambda = 1.67$$

این مکانیزم نامناسبتر است . اکنون اتصال را با جزئیات بیشتری در نظر می‌گیریم ، شکل ۴-۴ الف اتصال را به صورت بزرگتری نشان می‌دهد . خود اتصال تغییرشکل نیافته و مفصلهای خمیری درست در نزدیکی محل اتصال در تیر سمت راست و ستون قرار دارند . شکل بهطور واضح نشان می‌دهد که چرا دو مفصل لازم است . مفصلهای خمیری در اثر لنگرهای ناشی از بارهای روی قاب به وجود می‌آیند ، این لنگرها با پستی مطابق شکل وارد شوند تا دورانهای لازم به وجود آید . در اینجا مجموع لنگری برابر 550 kN m درجهت عقربه‌های ساعت وارد شده است .



شکل ۴ - ۴

برای تعادل لنگر در اتصال ، با پستی لنگری برابر با 550 kN در خلاف جهت عقربه‌های ساعت در تیر سمت چپ موجود باشد . چنین چیزی از نظر فیزیکی غیر ممکن است زیرا لنگر خمیری تیر فقط 250 kNm است ، بنابراین تمام اتصال خواهد چرخید . در واقع آنچه اتفاق می‌افتد دوران اتصال در بار کمتری خواهد بود که در شکل ۴-۴ ب نشان داده است . تیر سمت راست و ستون مستقیم می‌مانند و یک مفصل در تیر سمت چپ ایجاد می‌گردد . در اثر این تغییر وضعیت ابعاد هندسی قاب بدون تغییر باقی می‌ماند زیرا فرض شده است که مفصلهای در فاصله بینهایت کوچکی از اتصال تشکیل می‌گردند . مفهوم دوران اتصال مکانیزم اکنون روشن شده و با توجه به آن چگونگی تغییر در اتصال میانی که مکانیزم (۶) را به یک مکانیزم واقعیتر تبدیل می‌کند بهوضوح مطرح شده است .

(۶)+(۷)=(۴) دوران اتصال ، مفصلهای تیر سمت راست و ستون میانی را حذف می‌کند ولی مفصل جدیدی در تیر سمت چپ به وجود می‌آورد . تمام این تغییرات با پستی در معادله کار منعکس گردد .



$$1500\lambda\theta = 2500\theta - 250\theta + 250\theta$$

تیر سمت ستون تیر سمت
بدون تغییر در
کار خارجی راست چپ

$$1500\lambda\theta = 2250\theta$$

$$\lambda = 1.5$$

(۱) + (۲) = (۳) این مکانیزم تنها مکانیزم با قیمانده ممکن است.

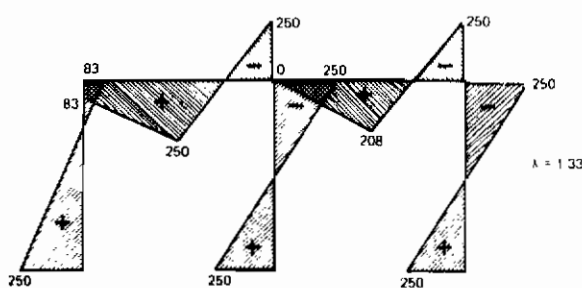


$$1500\lambda\theta + 500\lambda\theta = 2250\theta + 1000\theta - 2 \times 250\theta$$

$$2000\lambda\theta = 2750\theta$$

$$\lambda = 1.38$$

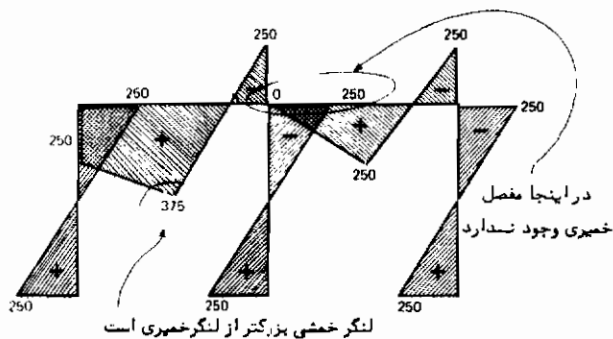
در این مثال تمام ترکیبات ممکن در نظر گرفته شده است. از مکانیزم (۵) کمترین ضریب بار به دست می‌آید. برای کنترل محاسبات، نمودار لنگرخوشی برای مکانیزم بحرانی باستی رسم شود. با استفاده از روش ضمیمه ج نمودار شکل ۴-۵ به دست می‌آید.



شکل ۴ - ۵

نمودار لنگرخمشی نشان می‌دهد که $\lambda_c = 1/23$ و مکانیزم (۵) مکانیزم فروریختگی واقعی می‌باشد، زیرا نمودار لنگرخمشی شرط تسلیم (لنگر بیشتر از لنگر خمیری وجود ندارد)، شرط مکانیزم (مفصلهای کافی برای ایجاد مکانیزم) و شرط تعادل را برآورده می‌سازد.

از آنجاکه تمام ترکیب‌های ممکن آزمایش شد، مقدار واقعی λ_c (با کمی خطای محاسباتی) در این مثال معین می‌گردد. برای اینکه نشان داده شود که کدام حالت محتعلت راست، فرض کنید که مکانیزم (۲) ($\lambda = 1/5$) بحرانی است و آن را با رسم نمودار لنگرخمشی کنترل کنید. (شکل ۴-۶).



شکل ۴ - ۶

نمودار لنگرخمشی شرط تسلیم را برآورده نمی‌کند، بنابراین $1.5 = \lambda$ می‌باید کرانه بالایی باشد. تمام لنگرها را طوری بهتساب کم می‌کنیم تا لنگر حداقل مساوی لنگرخمیری گردد. یعنی

$$\lambda_r = \frac{1.5 \times 250}{375} = 1.0$$

که محدودهای برای λ_c به دست می‌آید.

$$1.0 \leq \lambda_c \leq 1.5$$

مانگین این حدود یعنی $1/25$ تا $1/1$ فقط درصد خطای کمتری منجر خواهد شد.

در این مثال فقط چهار مکانیزم ممکن وجود داشت و محاسبه تمام آنها عملی بود. در مثالهای پیچیده‌تر این امر امکان‌پذیر نیست. بنابراین استفاده از یک روشی که محاسبات را کاهش دهد ارزشمند خواهد بود.

۴-۳-۲ روشهای ترکیب مکانیزمها

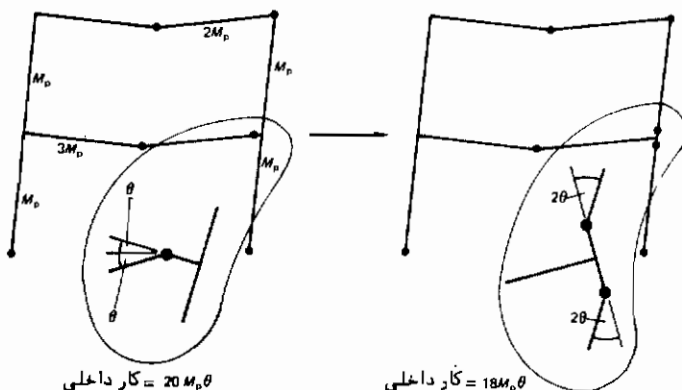
روشن است که در یک سازه‌پیچیده برای پیدا کردن یک مکانیزم مرکب ممکن روش مشخصی وجود ندارد. آنچه لازم است تعیین روشن است که به کمک آن به طور منطقی و سریع مقدار نزدیکی به ضرب بار فروریختگی به دست آید.

معادله ۴-۳ یک عبارت کلی برای معادله کار است. این عبارت بر حسب ضرب بار به صورت زیر مجدداً نوشته می‌شود.

$$\lambda \sum W \delta = \sum M_p \theta \quad (4-4)$$

$$\lambda = \frac{\sum M_p \theta}{\sum W \delta} \quad (4-4)$$

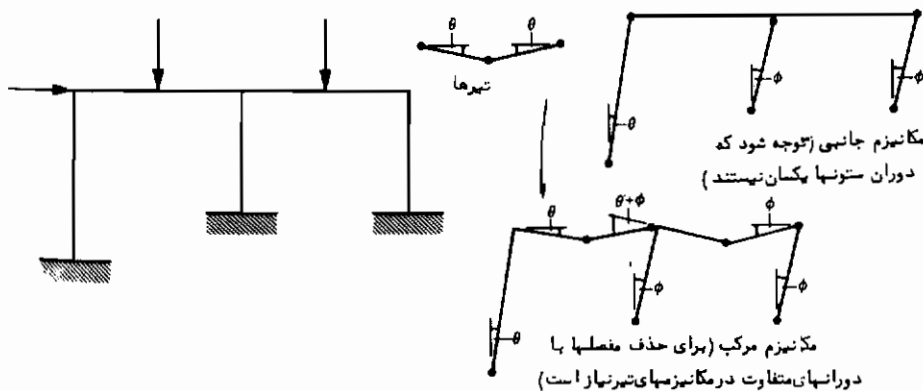
وقتی معادلات کار ترکیب می‌شوند عبارت کار خارجی همواره درست مجموع کار خارجی مربوط به مکانیزم‌های جدا از هم می‌باشد. کار داخلی با افزودن کارهای داخلی مکانیزم‌های جدا از هم و سپس اصلاح آنها با در نظر گرفتن مفصلهای حذف شده به دست می‌آید. آنچه در ترکیب مکانیزمها مورد نظر است به دست آوردن کوچکترین مقدار ممکن λ می‌باشد و تنها در اثر اصلاح کار داخلی است که مقدار λ تغییر می‌کند. در ترکیب مکانیزمها آنچه باستی مورد نظر باشد حتی امکان حذف مفصلهای خمیری می‌باشد.



شکل ۴

استفاده از مکانیزم مفصل برای کاهش دادن کار داخلی بدون آنکه کار خارجی تغییر

کند بسیار مفید است . این موضوع در مکانیزم (۲) مثال قبل نشان داده شد و با مثالی دیگر تأثیر می شود . یک قاب دو طبقه با مکانیزم های تیز و جانبی در شکل ۴ - ۲ نشان داده شده است . در اتصال کار داخلی برابر است با $M_p \theta = 6M_p \theta = 3M_p \times 2\theta = 6M_p \theta$ (اگر ماتصال دورانی اعمال کنیم (توجه شود که دوران در مفصل باید 2θ باشد) کار داخلی تا مقدار $2(M_p \theta) = 4M_p \theta$ کاهش می پابد یعنی در مجموع کار داخلی 10 درصد کاهش یافته است . مبحث اخیر به هنگام ترکیب مکانیزمها به مشکلی اساسی اشاره دارد که بایستی دقیق نمود . بیان بیاورید که وقتی در مکانیزم های مرکب اعضاء سازه به وضعیت هندسی اولیه بر می گردند مفصل های مربوطه حذف شده ، و اتصال به حالت گونیا اولیه در می آید . این کار در صورتی امکان پذیر است که دوران های در مکانیزم های جدا از هم به طور صحیح انطباق پابند ، همچنان که در شکل ۴ - ۸ نشان داده شده است .



شکل ۴ - ۸

۴ - ۳ - قاب دو طبقه با بارگذاری گسترده

مثالی دیگر از تحلیل حدی لازم است تا مفاهیم مختلفی که در این بخش بیان شده به طور تواناً مطرح گردد . در قاب شکل ۴ - ۹ بارهای گسترده به دو تیز وارد می شوند . با توجه به شکل ملاحظه می شود که :

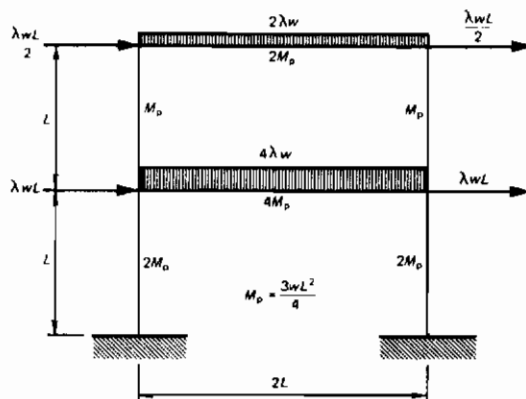
$$p = 12$$

$$r = 6$$

$$m = 6$$

بنابراین

شش مکانیزم اصلی عبارتند از : دو مکانیزم تیز ، دو مکانیزم جانبی (برای هر طبقه یکی) و دو مکانیزم مفصل . مرحله اول تحلیل ، نوشتن معادله کار برای هر یک از مکانیزم های اصلی است .

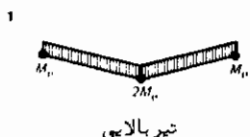


شکل ۴

علیرغم بارهای گستردۀ روی تیرها، فرض می‌شود که در مکانیزم‌های تیر مفصلها در میانه دهانه بوجود نباشد. این فرض صحیح نیست ولی همان‌گونه که در قسمت ۴-۱ انشان داده شد، خطای مذکور در مرحله بعدی کنترل می‌شود.

نمودار مکانیزم

معادله کار و ضریب بار



$$2\lambda w L \times \frac{L\theta}{2} \times 2 = 6M_p\theta$$

$$2\lambda w L^2 \theta = 6M_p\theta$$

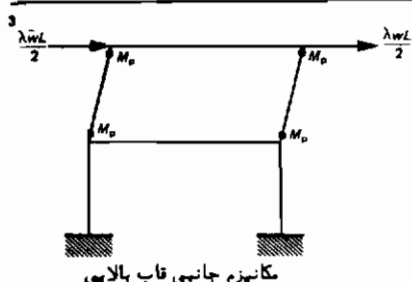
$$\lambda = \frac{3M_p}{wL^2} = 2.25$$



$$4\lambda w L \times \frac{L\theta}{2} \times 2 = 16M_p\theta$$

$$4\lambda w L^2 \theta = 16M_p\theta$$

$$\lambda = \frac{4M_p}{wL^2} = 3.0$$



$$\frac{\lambda w L}{2} \times L\theta \times 2 = 4M_p\theta$$

$$\lambda w L^2 \theta = 4M_p\theta$$

$$\lambda = \frac{4M_p}{wL^2} = 3.0$$

نمودار مکانیزم

معادله کار و ضریب بار

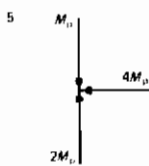
توجه: تمام نیروهای اتفاقی در این مکانیزم حرکت می‌کنند و بایستی در معادله کار وارد شوند.

$$\lambda w L \times L\theta \times 2 + \frac{\lambda w L}{2} \times L\theta \times 2 = 8M_p\theta$$

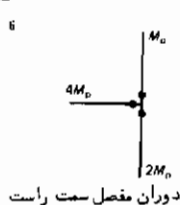
$$3\lambda w L^2 \theta = 8M_p\theta$$

$$\lambda = \frac{8M_p}{3wL^2} = 2.0$$

مکانیزم جانبی طبقه پایینی



معادله کار وجود ندارد
λ محاسبه نمی‌شود.



معادله کار وجود ندارد
λ محاسبه نمی‌شود.

مکانیزم جانبی طبقه پایین کمترین ضریب بار را دارد بنابراین نقطه شروع خوبی برای ترکیبها می‌باشد.

7-4-2-15-6

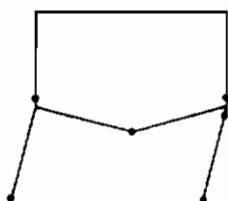
دورانهای مفصل فوراً انجام می‌شود تا کار داخلی کاهش یابد.

$$3\lambda w L^2 \theta + 4\lambda w L^2 \theta =$$

$$8M_p\theta + 16M_p\theta - 6M_p\theta + M_p\theta - 4M_p\theta + 3M_p\theta$$

$$7\lambda w L^2 \theta = 18M_p\theta$$

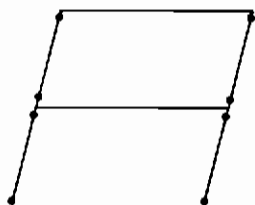
$$\lambda = \frac{18}{7} \frac{M_p}{wL^2} = 1.929$$



نمودار مکانیزم

معادله کار و ضریب بار

B - 4 + 3



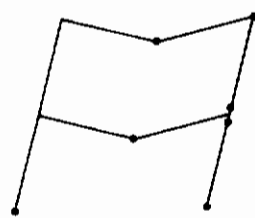
برای روش ساختن موضوع فقط یک مرحله ترکیب واسطه‌ای انجام می‌شود. در این ترکیب هیچ مفصلی حذف نمی‌شود.

$$3\lambda wL^2\theta + \lambda wL^2\theta = 8M_p\theta + 4M_p\theta$$

$$4\lambda wL^2\theta = 12M_p\theta$$

$$\lambda = \frac{3M_p}{wL^2} = 2.25$$

9 - 8 + 1 + 2 + 6



$$4\lambda wL^2\theta + 2\lambda wL^2\theta + 4\lambda wL^2\theta = 12M_p\theta + 6M_p\theta$$

$$+ 16M_p\theta - 2M_p\theta \text{ (top LH joint)} - 7M_p\theta$$

$$\text{(lower LH joint)} - 4M_p\theta + 3M_p\theta$$

$$10\lambda wL^2\theta = 24M_p\theta$$

$$\lambda = \frac{24}{10} \frac{M_p}{wL^2} = 1.8$$

این مقدار کمترین ضریب بار است. با رسم

نمودار لنگر خمشی این مکانیزم کنترل می‌شود.

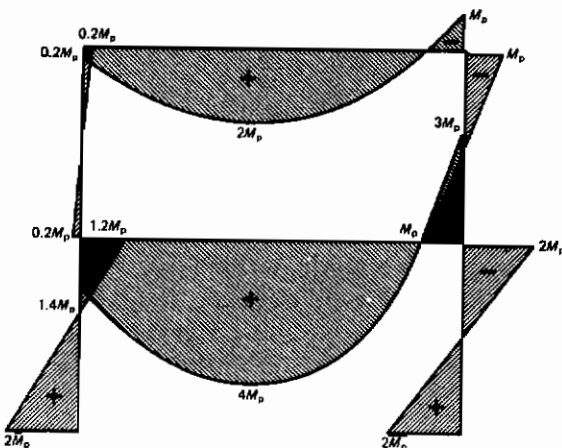
نمودار لنگر خمشی برای مکانیزم (۹) با استفاده از روش ضمیمه ج رسم می‌شود. (در ضمیمه از این مثال استفاده شده است) برای این نوع قاب لازم است که در هر تیرلنگرهای خمشی واکنش و آزاد محاسبه و تعادل افقی برای هر طبقه جداگانه در نظر گرفته شود. نمودار لنگرخمشی نهایی در شکل ۱۵-۴ نشان داده شده است و روش است که تمام شرایط را برآورده می‌سازد. نتیجه حاصله صحت مکانیزم را نشان می‌دهد، اما به دلیل بارگذاری گسترده، مقادیر لنگرها در هر تیر باستی کنترل شود.

(الف) تیر بالایی

تیر بالایی مطابق شکل ۱۱-۴ از بقیه قاب جدا می‌شود. با استفاده از نمودار لنگر خمشی لنگرها انتهایی معین می‌شوند، عکس العملهای نامعلوم در A و B نیروهای محوری در ستونهای بالایی هستند. با گرفتن لنگر حول محور B داریم.

$$V_A \times 2L + 0.2M_p + M_p - 3.6w \times 2L \times L = 0$$

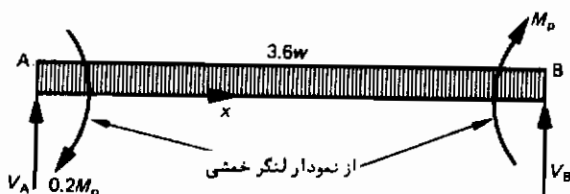
$$V_A = \frac{7.2wL^2 - 1.2M_p}{2L} = \frac{7.2wL^2 - 1.2 \times 0.75wL^2}{2L} = 3.15wL$$



شکل ۱۰ - ۴

لنگر خمی (خمش بمعطر ف پایین مشتب ا است) در هر نقطه روی تیر برابر است با

$$M = 0.2M_p + 3.15wLx - \frac{3.6wx^2}{2}$$



شکل ۱۱ - ۴

برای حداقل لنگر $dM/dx = 3.15wL - 3.6wx = 0$ یعنی در محل بیشترین لنگر $x = 3.15L/3.6 = 0.875L$ خواهد بود. و مقدار بیشترین لنگر برابر است با

$$M_{\max} = 0.2M_p + 3.15wL(0.875L) - \frac{3.6w(0.875L)^2}{2}$$

$$= 0.2M_p + 1.378wL^2$$

$$= 2.04M_p$$

(ب) تیرپابینی

تیرپابینی در شکل ۱۲-۴ نشان داده شده است. محاسبات بسیار مشابه تیربالایی است.

$$V_c \times 2L + 1.4M_p + 3M_p - 7.2w \times 2L \times L = 0$$

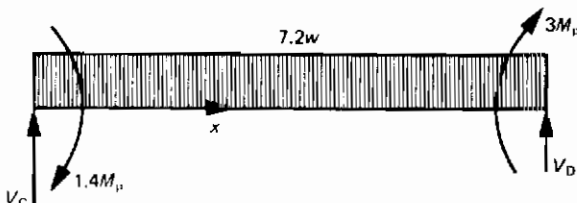
$$V_c = 5.55wL$$

$$M = 1.4M_p + 5.55wLx - \frac{7.2wx^2}{2}$$

$$\frac{dM}{dx} = 5.55wL - 7.2wx$$

در نقطه لنگر حد اکثر $x = 0.771L$ است.

$$M_{\max} = 4.25M_p$$



شکل ۱۲-۴

در هر دو تیر لنگرها بی وجود دارد که از لنگر خمیری مقطع بزرگتر می‌باشد. این بدان معنی است که در نمودار لنگر خمیری شرط تسلیم برآورده نشده و ضریب بار محاسبه شده کرانه بالایی ضریب λ_c خواهد بود. با کاهش متناسب تمام لنگرها تا حدی که لنگر حد اکثر مساوی لنگر خمیری گردد پک کرانه پابینی به دست می‌آید. بنابراین

$$\lambda_r = \frac{2 \times 1.8}{2.04} = 1.76$$

با

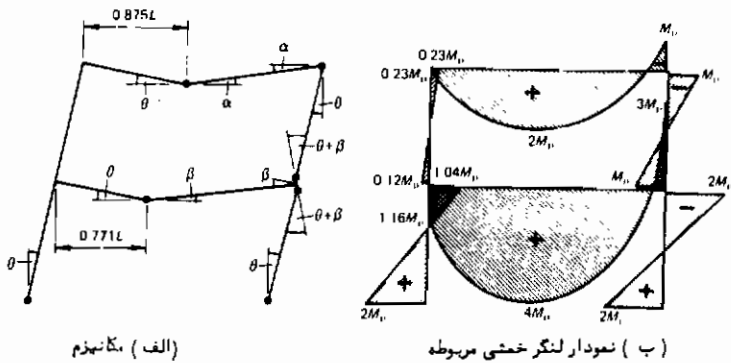
$$\lambda_r = \frac{4 \times 1.8}{4.25} = 1.69$$

محدوده ضریب بار فروریختگی عبارت است از:

$$1.69 < \lambda_c < 1.8$$

میانگین این محدوده $1/25$ می‌باشد. دو حد فوق از جنبه عملی بماندازه کافی بهم نزدیکند.

به هر حال، برای نشان دادن تأثیر بارگذاری گستردۀ در سازه پیچیده‌تر ادامه حل مسئله سودمند خواهد بود. واضح است که در این حالت مکانیزم (۹) صحیح نیست اگرچه تا قبلاً از وارسی توزیع لنگرخشمی در هر تیر، بمنظور رضایب بخش می‌آید. از این موضوع فهمیده می‌شود که مکانیزم فروریختگی واقعی بسیار مشابه فوق است ولی مطابق شکل ۱۳-۴ به جای اینکه مفصلها در وسط دهانه تشکیل شوند به مقاطع حداکثر لنگر نزدیک می‌گردند.



شکل ۱۳-۴

برای این مکانیزم معادله کار را به وسیله ترکیب مکانیزم‌ها پس از محاسبه یک یک مکانیزم‌های تیرها و یا مطابق آنچه که در زیر آمده است با استفاده از دورانهای روی شکل می‌توان بدست آورد. با استفاده از ابعاد هندسی مکانیزم.

$$1.125\alpha = 0.875\theta$$

$$\alpha = 0.778\theta$$

$$1.299\beta = 0.771\theta$$

$$\beta = 0.627\theta$$

محاسبه کارهای داخلی را از پایین قاب شروع کرده و به طرف بالا می‌رویم.

$$\begin{aligned}
 \text{کار داخلی} &= 2M_p\theta + 2M_p\theta + 4M_p(\theta + \beta) + 2M_p(\theta + \beta) + M_p(\theta + \beta) + \\
 &\quad 2M_p(\theta + \alpha) + M_p(\theta + \alpha) \\
 &= 14M_p\theta + 7M_p\beta + 3M_p\alpha \\
 &= 20.73M_p\theta
 \end{aligned}$$

$$\begin{aligned}
 & 4\lambda w L^2 \theta + \frac{2\lambda w (0.875L)^2 \theta}{2} + \frac{2\lambda w (1.125L)^2 \alpha}{2} + \frac{4\lambda w (0.771L)^2 \theta}{2} \\
 & + \frac{4\lambda w (1.229L)^2 \beta}{2} \\
 & = 5.9545\lambda w L^2 \theta + 1.2656\lambda w L^2 \alpha + 3.0209\lambda w L^2 \beta \\
 & = 8.834\lambda w L^2 \theta
 \end{aligned}$$

با مساوی قراردادن کار داخلی و خارجی داریم :

$$8.834\lambda w L^2 \theta = 20.73M_p \theta$$

$$\lambda = \frac{20.73M_p}{8.834wL^2} = 1.76$$

نمودار لنگرخمشی برای مکانیزم فوق در شکل ۱۳-۴ ب نشان داده شده است توزیع لنگرخمشی در تیرها نشان می‌دهد که :

۱ - برای تیر بالایی در نقطه لنگر حد اکثر $x = 0.869L$

$$(به طور دقیق) M_{max} = 2M_p (2.00002M_p)$$

۲ - برای تیر پایینی در نقطه لنگر حد اکثر $x = 0.779L$

$$(به طور دقیق) M_{max} = 4M_p (4.0002M_p)$$

خواننده در صورت تعامل می‌تواند نتایج را وارسی کند . مفصلها دقیقاً در محلهای صحیح خود قرار ندارند ولی نتایج نشان می‌دهد که مکانیزم ، صحیح به شمار می‌آید . ضریب بار فرو ریختگی ۱/۷۶ است . ملاحظه می‌شود خطای ضریب بار در حالتی که مفصلها در وسط دهانه فرض شده بودند با این مقدار تنها $2/3$ درصد است . خطابه حدی کوچک است که به سختی می‌توان محاسبات بیشتر برای تعیین مکانیزم دقیق‌تر را نایید کرد . در محاسبات مربوط به ترکیب مکانیزمهای صرفه‌جویی دیگری نیز در عملیات بعمل آمد . دورانهای مفصلی همزمان با مکانیزم تیر صورت گرفت و باعث گردید کار داخلی کاهش یابد . توانایی برای چنین عملیاتی با تجزیه به دست می‌آید .

۴-۴ جمع‌بندی

در این فصل روش تحلیل حدی برای مکانیزم‌های مرکب در مورد سازه‌های قابی شکل، تحت بارهای متناسب بررسی گردید. نتیجه حاصل از این روش تعیین مقداری پا محدوده‌ای برای ضریب بار فروریختگی قاب می‌باشد.

مراحل اصلی در تحلیل عبارتند از:

(۱) تعیین مکانیزم‌های اصلی و معادلات کار مربوطه.

(۲) شروع با مکانیزم اصلی با کمترین ضریب بار، ترکیب مکانیزم‌ها ضمن حذف بعضی مفصلهای خمیری و برگرداندن شکل هندسی اولیه در آن قسمت از سازه (متلا)، برگرداندن اعضا، به صورت مستقیم و اتصالها به صورت قائم) و پیدا کردن ضریب بار هر مکانیزم مرکب.
۳- کمترین ضریب بار حاصله نزدیکترین ضریب به ضریب بار فروریختگی می‌باشد.

(با توجه به نظریه کرانه بالایی). با رسم نمودار لنگر خمی مربوطه مکانیزم کنترل شود.

۴- اگر نمودار لنگر خمی شرایط تعادل، مکانیزم و تسلیم را برآورده ساخت، مکانیزم مذکور، مکانیزم فروریختگی واقعی قاب است. و ضریب بار مربوطه مساوی ضریب بار فرو ریختگی می‌باشد.

۵- اگر در محلی از سازه لنگر خمی بزرگتر از لنگر خمیری مربوطه باشد، مکانیزم، مکانیزم واقعی نخواهد بود و ضریب بار $\lambda_c < \lambda_b < \lambda_a$ است. مقدار λ_c و تمام لنگرهای خمی را به یک نسبت کاهش می‌دهیم تا اینکه تمام لنگرهای خمی مساوی با کمتر از لنگر خمیری مربوطه شود. با توجه به نظریه کرانه پایینی ضریب بار کاهش یافته $\lambda_c < \lambda_b < \lambda_a$ می‌باشد.

بنابراین

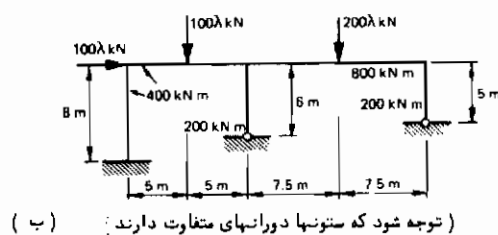
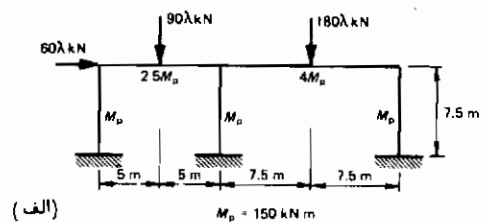
$$\lambda_c < \lambda_b < \lambda_a$$

فرض اینکه مفصل خمیری در اعضا تحت بارگذاری در وسط دهانه تشکیل می‌شود به طور "نمودار نسبتاً" دقیق است، اگرچه نتیجه حاصله ضریب باری بیشتر از λ_a است.

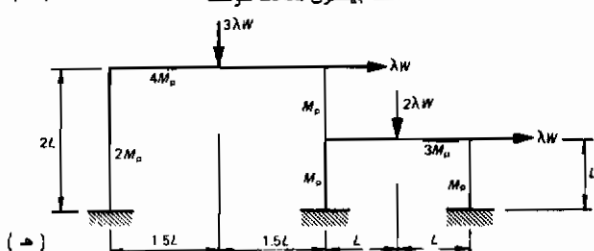
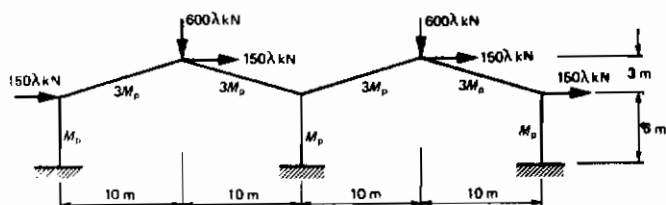
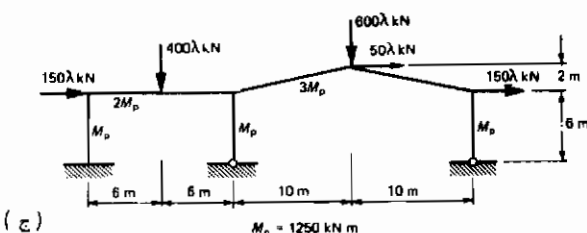
بهترین راه برای آشنایی با این روش تمرین است. مثالهای موجود این بخش نکات متعددی به همراه داشت که با استفاده از توضیحات خواننده تمرین گردد.

۴-۵ مسایل

۱-۵-۱ ضرایب بار فروریختگی قابهای اشکال ۴-۱۴ الف تا ۱۴-۴ هر اپیدا کنید. در هر حالت مکانیزم بحرانی را با رسم نمودار لنگر خمی مربوطه کنترل کنید.

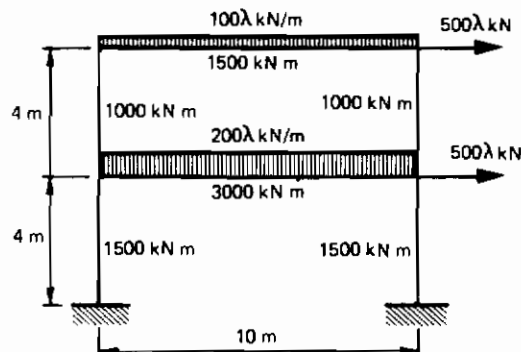


شکل ۴ - ۱۴ الف - ب



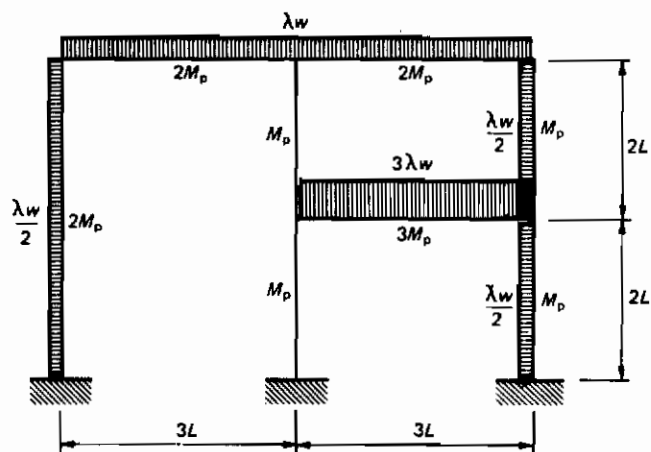
شکل ۴ - ۱۴ ج و د و ه

۴-۵-۴ ضرایب بار فرو ریختگی قاب شکل‌های ۱۵-۴-۱۵ ب را با فرض اینکه مفصل‌های خمیری در وسط دهانه تشکیل شود محاسبه کنید. به دلیل وجود بارهای گستردۀ یکسو اخت این ضرایب، کرانه بالایی می‌باشد، با استفاده از تحلیل حدی محدوده‌ای برای ضریب بار فرو ریختگی پیدا کنید.



(الف)

شکل ۱۵-۴ الف



(ب)

تمام بارها بر حسب واحد طول می‌باشند

شکل ۱۵-۴ ب

طراحی با استفاده از نظریه خمیری

۱ - مقدمه

در دو بخش قبل راجع به تحلیل بحث شد ، یعنی با استفاده از ابعاد هندسی سازه (طول تیرها و ارتفاع ستونها) و اندازه مقاطع ، ظرفیت سازه مشخص گردید . به عبارت دیگر در تحلیل ، سازه برای مقاومت به فروریختگی کنترل شد . غالباً در حالی که بارگذاری و ابعاد هندسی داده شده است مسئله مورد نظر پیدا کردن اندازه مقاطع اعضا است به طوری که سازه نسبت به فروریختگی دارای ضریب اطمینان لازم باشد . تعیین اندازه مقاطع اعضا موضوع مورد بحث طراحی است . طراحی به عبارتی عکس تحلیل است و به کمک نظریه خمیری می‌تواند انجام شود . قبل از بررسی طراحی خمیری پاسخ به این پرسش که " چرا طراحی خمیری قابل بررسی و توجه است؟ " مفید خواهد بود . چهار دلیل اصلی برای بررسی فوق وجود دارد .

۱ - در برخی ناتنها تعامل برای پذیرش روش طراحی حالت حدی وجود دارد . این روش تا کنون در آینه نامه (۵) CP 110 برای سازه‌های بتُنی به کار برده شده و در آینه نامه B/20 Draft Specification for Steelwork (۶) (به عنوان ضوابط طراحی فولادی) جایگزین آینه نامه ۴۴۹ BS (۷) نیز ملاحظه شده است . در روش طراحی حالت حدی غالباً " حالت حدی نهایی (مقاومت به فروریختگی) بحرانی می‌باشد . بدینهی است که نظریه خمیری برای حالت حدی نهایی مورد قبول می‌باشد . آینه نامه جاری امریکایی سازه‌های فولادی (۳۸) در سال ۱۹۶۹ پذیرفته شد . این آینه نامه برآسان . فلسفه طراحی تنش مجاز بوده ولی در عین حال طراحی به روش خمیری را نیز مجاز می‌داند .

۲ - همان‌گونه که تا کنون نشان داده شده است ، محاسبات مربوط به نظریه خمیری ساده‌تر از محاسبات مربوط به نظریه ارجاعی می‌باشد . محاسبات ساده‌تر به نتایج مطمئن تر و سریعتر منجر می‌شود . خطای نصب اعضا در مقدار بار فروریختگی نیز موثر نیست .

(بهقسمتهای ۳-۲-۳ مراجعه شود)

۳ - کاربرد روشهای خمیری قدرت انعطاف‌پذیری قابل توجهی به طراح می‌دهد و در محاسبات عامل تعیین‌کننده اصلی نظر طراح است و نه مشخصات مقطع . این موضوع بعدها در این بخش و به طور وسیعتر در فصل ۸ در محاسبات دالهای بتون آرمه نشان داده خواهد شد .
البته دو نکه وجود دارد که بایستی در نظر داشت :

۱ - طرحهایی وجود دارد که در آنها حالت حدی نهایی بحرانی نیست برای مثال ، در بعضی سازه‌ها محدودیتهای خیز تحت بارهای عملی (وقتی که سازه احتمالاً) ارجاعی است) بحرانی‌تر از مقاومت به فوریختگی است .

۲ - روشهای خمیری امکان کمانش را مجاز نمی‌داند . مسائل کمانش همیشه وجود دارد و در هر طرح رضایت بخش بایستی آنها را مرتفع ساخت . اثر کمانش در فصل بعدی در نظر گرفته خواهد شد .

۵ - ضرایب بار

منظور از طراحی براساس نظریه خمیری طرح سازه‌ای با ضریب بار مشخص در مقابل فوریختگی است . تعیین ضریب بار مورد استفاده به خودی خود موضوع پیچیده‌ای است که در حال حاضر بمواسطه چاپ استاندارد انگلیسی جدید برای طرح سازه‌های فولادی مورد بحث و مجادله است .

این موضوع خارج از بحث این کتاب است زیرا به نظریه خمیری مربوط نیست ولی به هر حال ، ذکر مقدار پر ضرایب بار موجود و پیشنهاد شده بی‌فایده نخواهد بود .

استاندارد انگلیسی جاری ، ۱۹۶۹ : ۴۴۹ BS ، بدون اظهار نظر صریح در مورد ضریب بار لازم ، روشهای طراحی خمیری را مجاز می‌داند . BS ۴۴۹ به طور عده براساس نظریه ارجاعی است و می‌توان نشان داد که ضریب بار برای یک تیر یکدنه که از ضوابط ارجاعی به دست می‌آید با توجه به شرایط تکیه‌گاهی و نوع بارگذاری تغییر می‌کند . حداقل مقدار برای یک تیر ساده ۱/۷۵ شکل است . استدلال شده است (۸) که این مقدار برای هر سازه قابل پذیرش است . BS ۴۴۹ می‌گوید که بسیار غیر متحمل است که بار حد اکثر باد و حد اکثر بار زنده اعمال شده تواماً بوجود آیند ، بنابراین ضریب بار را برای چنین ترکیب بارگذاری می‌توان کاهش داد . درنتیجه ضرایب بار برای طراحی به روش BS ۴۴۹ که عموماً مورد قبول قرار گرفته عبارتند از :

1.75 - بار مرده و بار زنده

1.4 - بار مرده وزنده و باد

قسمتی از روش حالت حدی که در پیش نویس استاندارد جدید پیشنهادی B/20 پذیرفته شده است، ضرایب بار را براساس احتمال وجود ترکیبات بارهای مختلف قرار داده است. در نتیجه ضرایب بار فرو ریختگی مختلف برای بارگذاریهای متعدد مطابق جدول ۵-۱ پیشنهاد شده است. در هر حالت ضریب بار دیگری وجود دارد تا امکان تغییرات در مقاومت فولاد در نظر گرفته شود. این عمل با استفاده از یک تنش تسلیم مؤثر مساوی با $5y/1.075$ صورت گرفته است که مقادیر جدول ۵-۱ را $5/4$ درصد افزایش می‌دهد. با این وجود، ضرایب بار پیشنهادی کمتر از مقادیر آینین نامه ۴۴۹ BS است زیرا اطمینان از روش طراحی خمیری افزایش یافته است.

آینین نامه امریکایی سازه‌های فولادی (۳۸) روشی مشابه فوق را پذیرفته است ولی دارای جزئیات بیشتری نسبت به روش ۴۴۹ نداشت. این آینین نامه روش‌های طراحی خمیری را مجاز دانسته و ضریب بار فرو ریختگی را برای بار مرده و زنده $2/1$ و برای ترکیب این بارها با بارهای باد یا زلزله برابر $3/1$ لازم دانسته است.

در مثالهای متعدد این بخش ضرایب بار به طور اختیاری انتخاب شده تا به بیان اصول روش‌های خمیری پرداخته شود. در یک یا دو حالت این مقادیر با مقادیر با مقادیر ۴۴۹ BS مشابه‌تری داشته‌اند.

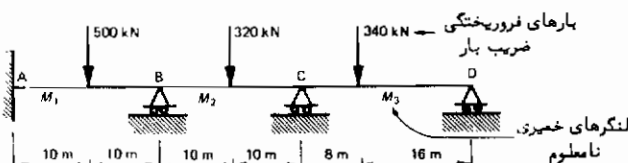
جدول ۵ - ۱

| نوع بار یا ترکیب بارها | ضریب ۲۶ |
|------------------------------------|---------|
| بار مرده جداگانه | ۴/۱ |
| « حداقل | ۰/۱ |
| حداقل برای بارگذاری متناسب | ۲/۱ |
| بار زنده (بدون بار باد) | ۶/۱ |
| بار باد (فقط با وجود بار مرده) | ۴/۱ |
| بارهای باد و زنده (در ترکیب بارها) | ۲/۱ |

۵ - ۳ طراحی به روش نظریه خمیری

تبریز نشان داده شده در شکل ۵-۱ را می‌خواهیم به روش خمیری طراحی کنیم. مثال قدری ایده‌آل است زیرا فقط یک ترکیب بارگذاری در نظر گرفته شده (ضمانت) بارها شامل وزن

تیر نیز می‌باشد) ولی این مثال نشان دهنده یک راه حل کلی برای طرح خمیری می‌باشد.



شکل ۵ - ۱

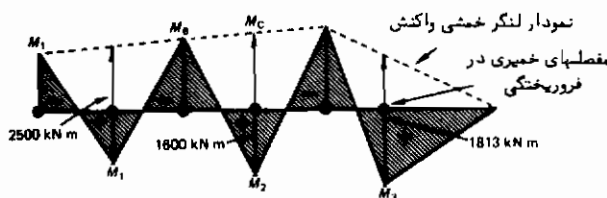
در ابتدا فرض می‌شود که هر دهانه دارای تیری با مقطعی متفاوت است. مرحله اول بررسی تمام مکانیزم‌های فروریختگی ممکن می‌باشد که در این مثال عبارتند از مکانیزم‌های تیر در هر دهانه است. اقتصادی‌ترین طرح وقتی است که تمام دهانه‌ها تواماً "فروریخته" شوند. این‌کار با انتخاب اعضاً مناسبی امکان‌پذیر است. در این حالت نمودار لنگرخمشی در موقع فرو-ریختگی مطابق شکل ۵-۲ خواهد بود. نمودارهای لنگرخمشی واکنش و آزاد برای پیدا کردن لنگرخمشی واقعی در هر نقطه قابل استفاده‌اند.

$$\frac{500 \times 20}{4} = 2500 \text{ kNm} \quad \text{حداکثر لنگرخمشی آزاد: دهانه AB}$$

$$\frac{320 \times 20}{4} = 1600 \text{ kNm} \quad \text{حداکثر لنگرخمشی آزاد: دهانه BC}$$

$$\frac{340 \times 8 \times 16}{24} = 1813 \text{ kNm} \quad \text{حداکثر لنگرخمشی آزاد: دهانه CD}$$

در ارتباط باللنگرهای خمشی آزاد مشکلی نخواهیم داشت ولی در مرور لنگرهای خمشی واکنش دقیق بیشتری لازم است، لنگرهای خمشی واکنش در تکیه‌گاههای B و C را که در آنجا مفصل خمیری ایجاد شده در نظر بگیرید. مقادیر لنگرهای خمشی در نقاط B و C به ترتیب با M_B و M_C نشان داده شده است. لنگرها مساوی کمترین لنگرخمیری اعضای مجاور B و C می‌باشند. اما مقادیر نسبی لنگرهای خمیری در این مرحله معلوم نیست.



شکل ۵ - ۲

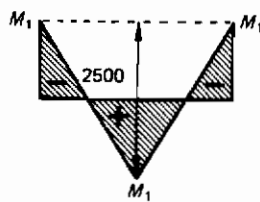
$$M_B = M_2 + M_1 \quad \text{کمترین مقدار}$$

$$M_C = M_3 + M_2 \quad \text{کمترین مقدار}$$

می‌توان بن بست فوق را با در نظر گرفتن مفروضاتی در مورد هریک از دهانه‌ها ارزیبین برد.
دهانه AB : $M_1 < M_2$ فرض می‌شود . شکل ۳ - ۵ نمودار لنگر خمی مرسوپه را نشان می‌دهد . با توجه به اندازه‌های نمودار

$$2M_1 = 2500 \text{ kN m} \quad (1-5)$$

$$M_1 = 1250 \text{ kN m}$$

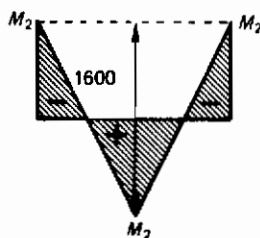


شکل ۳ - ۵

دهانه BC : با فرض $M_2 < M_1, M_2 < M_3$. با توجه به اندازه‌های نمودار لنگر خمی در شکل ۴ - ۵ .

$$2M_2 = 1600 \text{ kN m} \quad (2-5)$$

$$M_2 = 800 \text{ kN m}$$

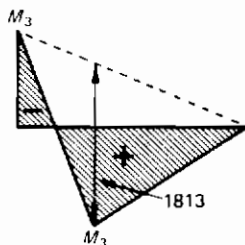


شکل ۴ - ۵

دهانه CD : $M_3 < M_2$ فرض می‌شود . با توجه به تشاابه مثلاً در نمودار لنگر خمی که در شکل ۵ - ۵ نشان داده شده است :

$$\frac{2}{3}M_3 + M_3 = 1813 \quad (3-5)$$

$$M_3 = 1088 \text{ kN m}$$



شکل ۵-۵

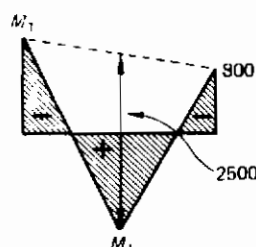
محاسبات برای روش لنگر خمی و اکنش و آزاد قابل استفاده است. فرضیات برای سادگی محاسبات به کار برده شدند، چرا که در نتیجه حدس اولیه در هر دهانه، فقط یک مجهول باقی می‌ماند. البته، سه فرض فوق با یکدیگر سازگار نیستند. مثلاً در دهانه AB داریم $M_1 < M_2$ در صورتی که در دهانه BC $M_1 > M_2$ است. نتایج محاسبات اکنون برای کنترل فرضیات به کار برده شده قابل وارسی است.

$$M_2 (= 800 \text{ kN m}) < M_1 (= 1250 \text{ kN m})$$

$$< M_3 (= 1088 \text{ kN m})$$

بنابراین فرض منوط دهانه BC صحیح بوده اما برای دهانه‌های AB و CD صحیح نبوده است. نتیجه حاصله $M_2 = 800 \text{ kN m}$ است ولی محاسبات برای دهانه‌های AB و CD بایستی با توجه به $M_B = M_C = 800 \text{ kN m}$ تکرار شود.

دهانه AB



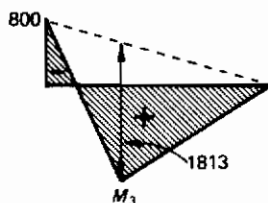
$$\frac{M_1 + 800}{2} + M_1 = 2500$$

$$\frac{3}{2} M_1 = 2100$$

$$M_1 = 1400 \text{ kN m}$$

(۴-۵)

دهانه CD



$$\frac{2}{3} \times 800 + M_3 = 1813$$

$$M_3 = 1280 \text{ kN m} \quad (5-5)$$

توجه شود که محاسبات جدید مقادیر بزرگتری را برای M_1 و M_3 به دست می‌دهد. زیرا یک لنگر واکنش بماندازه کافی کوچکتری در B و C مورد استفاده قرار گرفته است. این وضعیت همیشگی بوده و بسیار اطمینان بخش است زیرا بدان معنی است که چنانچه حدس اولیه درست باشد امکان ندارد نتیجه معکوس حاصل شود. بنابراین فقط یک بار تکرار محاسبات لازم است. به کمک نظریه خمیری لنگرهای خمیری لازم در هر دهانه به دست آمده است. با به کارگیری از فولاد نرم (تنش تسلیم 250 N/mm^2) و نتایج حاصله واستفاده از کتابچه مشخصات مقاطع فولادی مقاطع مربوطه به دست می‌آید.

| | M_p (لازم) (kN m) | S (لازم) (cm ³) | قطع انتخابی | S (موجود) (cm ³) | ارتفاع (mm) |
|----|---------------------------|-------------------------------------|----------------|--------------------------------------|----------------|
| AB | ۱۴۰۰ | ۵۶۰۰ | IPB ۵۵۰ | ۵۶۰۰ | ۵۵۰ |
| BC | ۸۰۰ | ۳۲۰۰ | IPB ۴۰۰ | ۳۲۴۰ | ۴۰۰ |
| CD | ۱۲۸۰ | ۵۱۲۰ | IPB ۵۵۰ | ۵۶۰۰ | ۵۵۰ |

در این مرحله طراح می‌توارد مطابق میل خود با استفاده از نتایج مقدماتی حاصله به طرح‌های مختلفی دست پیدا کند. این طرح‌های ممکن عبارتند از:

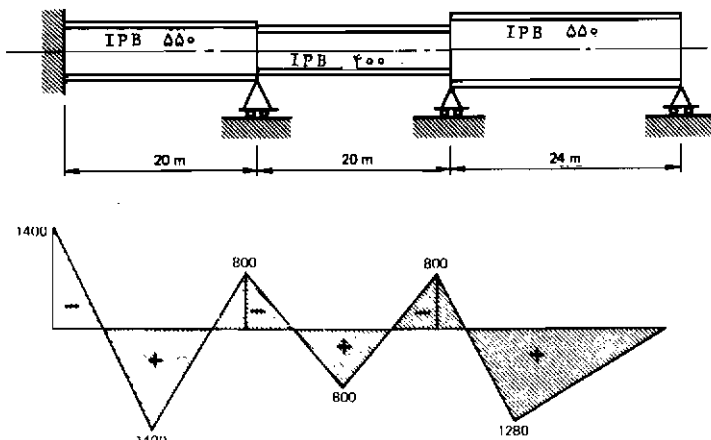
طرح اول:

با استفاده از مقاطع مختلف در دهانه‌ها و پذیرش مقاطعی مطابق جدول فوق، نتیجه طرح و نمودار لنگر مربوطه در موقع فرو ریختگی در شکل ۵-۶ نشان داده شده است. طرح از نظر فنی رضایت بخش است ولی از نظر اجرایی بدون اشکال نخواهد بود.

در نقاط B و C لازم است اعضایی که دارای ابعاد متفاوت هستند بهمکنیگر متصل شوند ، در این صورت مفصل خمیری در عضو ضعیفتر تشکیل می‌شود . این اتصالات علاوه بر دیگر اتصالات لازم می‌باشند چرا که بعیداً است تیری به طول ۲۰ متر به صورت یکپارچه موجود باشد .

طرح دوم :

برای حذف اتصالات در B و C یک عضو با مقطع ثابت با پیوستی به صورت یکسره استفاده شود . این بدان معنی است که $M_1 = M_2 = M_3$. در این حالت نیازی به محاسبات مجدد نیست زیرا نتایج اولیه یعنی معادلات ۱-۵-۳ موجود است . بنابراین بزرگترین مقدار لنگر خمیری ($M_1 = 1250 \text{ kN m}$) با پیوستی مورد استفاده قرار گیرد . به هر حال AB، قبل از دیگر دهانه‌ها فروخواهد ریخت زیرا لنگر خمیری موجود آنها از مقدار لازم محاسبه شده بزرگتر در نظر گرفته شده است . در این طرح در اعضای BC و CD مصالح به صورت غیراقتصادی مصرف شده است .

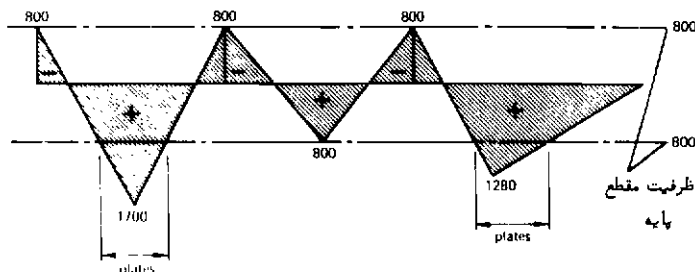


شکل ۵ - ۶

طرح سوم :

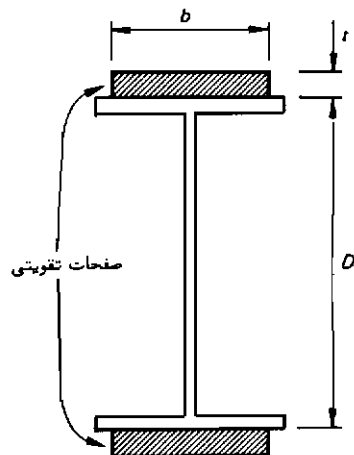
استفاده از ضعیفترین عضو ممکن ($M_p = 800 \text{ kN m}$) در تمام دهانه‌ها . با درنظر گرفتن لنگرهای خمشی اصلاح شده نمودار لنگر خمشی فرو ریختگی را مطابق شکل ۵-۷ می‌توان رسم نمود . پجز دو قسمت نسبتاً کوتاه در میانه دهانه‌های AB و CD مقطع اصلی موجود دارای لنگر خمیری کافی می‌باشد . در قسمتها کوتاه ، لنگر خمیری را با اضافه کردن دو ورق به بالهای مقطع اصلی می‌توان افزایش داد (به مساله ۲-۱ مراجعه شود) . طول ورقها از نمودار

لنگر خمشی به دست آمده است.



شکل ۷-۵

جزعیات ورق، دهانه AB



شکل ۸-۵

$M_p = 1700 \text{ kN m}$ = حد اکثر لنگر خمش

$$\text{قطع اصلی} = \frac{800 \text{ kN m}}{b t}$$

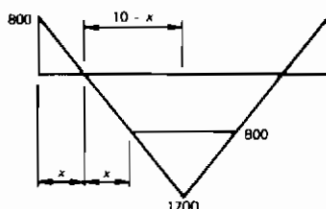
$$M_p = \frac{900 \text{ kN m}}{\text{ورقها}}$$

$$M_p = b t D \sigma_y$$

معنی

$$b t = \frac{900 \times 10^6}{400 \times 250} = 9000 \text{ mm}^2$$

۹ و ۱۰ به مقدار مناسب انتخاب می‌شوند. با تشابه مثلثها در شکل ۹-۵ خواهیم داشت.



شکل ۹-۵

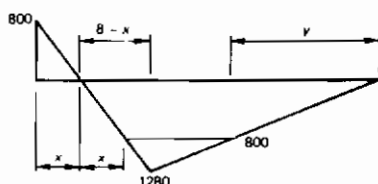
$$\frac{x}{10-x} = \frac{800}{1700}$$

$$1700x = 8000 - 800x$$

$$x = \frac{8000}{2500} = 3.2 \text{ m}$$

$$\begin{aligned} \text{طول ورقها} &= 2(10 - 2x) \\ &= 2(10 - 6.4) \\ &= 7.2 \text{ m} \end{aligned}$$

جزئیات ورق، دهانه CD



شکل ۱۰-۵

حداکثر لنگر خمشی = 1280 kN m

قطعه اصلی = 800 kN m

ورقه $M_p = 480 \text{ kN m}$

$$bt = \frac{480 \times 10^6}{400 \times 250} = 4800 \text{ mm}^2$$

با توجه به تشابه مثلثها در شکل ۹-۵ داریم:

$$\frac{x}{8-x} = \frac{800}{1280}$$

$$1280x = 6400 - 800x$$

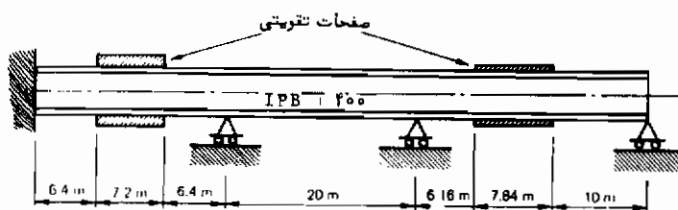
$$x = \frac{6400}{2080} = 3.08 \text{ m}$$

$$\frac{y}{16} = \frac{800}{1280}$$

$$y = \frac{800 \times 16}{1280} = 10.0 \text{ m}$$

$$\begin{aligned} \text{طول ورقها} &= (8 - 2x) + (16 - y) \\ &= 24 - 2 \times 3.08 - 10 \\ &= 7.84 \text{ m} \end{aligned}$$

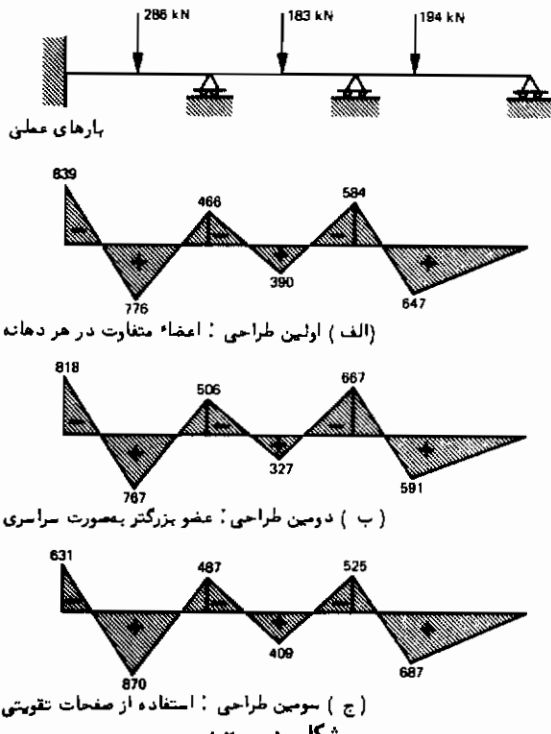
شکل ۵-۱۱ جزئیات طرح را نشان می‌دهد.



شکل ۵-۱۱

در مثال فوق با کمی محاسبات اضافی می‌توانستیم به سه طرح مختلف دست یابیم . در طراحی بهروش ارجاعی معمولاً "لایم" است فرضیاتی در مورد اندازه‌های مقطع (معمولًاً لنگر دوم سطح) برای شروع محاسبات در نظر گرفته شود ، و ترتیب در پایان کار می‌توان صحت فرضیات را کنترل کرد . در حالیکه در روش‌های خمیری فرضیات اولیه بسیار سریع کنترل و تصویب می‌شود . در روش‌های خمیری روند محاسبات طراحی ورقها تحت کنترل طراح است . ورقها اثر قابل توجهی در مشخصات ارجاعی اعضاء دارند که محاسبه آنها خسته کننده است . شکل ۵-۱۲

نمودارهای لنگر خمی ارجاعی را برای سه طرح فوق تخت بار عملی نشان می‌دهد . سه طرح رضایت‌بخش هستند چرا که هیچ یک از لنگرها خمی آنقدر زیاد نیست تا مقاطع جاری شوند . اکنون بحث در مورد گزینش یکی از سه طرح است که هیچ کدام از نظر فنی غلط نیستند بن انتخاب به عوامل دیگر بستگی دارد . طرح اول را بهدلیل اجرای مشکل می‌توان رد کرد . در انتخاب بین دو طرح دیگر مسایل اقتصادی تعیین کننده خواهد بود . آیا هزینه اتصال ورقها بهتر (احتمالاً با جوش) از هزینه اضافی لازم در طرح عضو ساده و بدون ورق ، بهشتراست یا کمتر ؟



شکل ۵ - ۱۲

روش ذکر شده در این مثال براساس روش نمودار لنگر خمی و اکنش و آزاد بود که البته برای تمام تیرها مناسب می‌باشد. بایستی تأکید شود که در روش فوق فقط اندازه‌های اعضاء ورقها به دست می‌آید. جزئیات دیگری نیز مثل سخت کننده‌های جان در تکیه‌گاهها و زیر بارها وجود دارد که لازم است در نظر گرفته شوند. ولی پرداختن به آنها خارج از بحث این کتاب است.

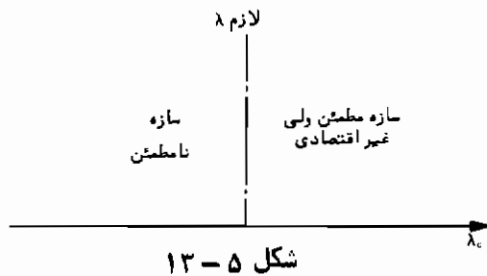
۵ - ۴ طرح بهینه

۵ - ۴ - ۱ عوامل موثر در طراحی

مثال قبل نشان داده که چگونه با استفاده از روش‌های خمیری یک تیر پکسره طرح می‌شود. قبل از پرداختن به سازه‌های قابی منطقی است که مشخص شود سعی طراح در به دست آوردن چیست.

روشن است که هدف طراح محاسبه سازه‌ای با یک ضریب بار فروریختگی مفروض می‌باشد

همان‌گونه که شکل ۱۳-۵ نشان می‌دهد اگر ضریب بار فروریختگی سازه نهایی بزرگتر از مقدار لازم باشد ، سازه دست بالا و درنتیجه غیراقتصادی طرح شده ، اگر ضریب بار فروریختگی کوچکتر از مقدار لازم باشد سازه دست پایین طرح شده درنتیجه نامطمئن است. طراح ضمن تأمین حداقل مقاومت لازم باید طرح مناسب و درست ارائه نماید .



معمولًا برای انجام چنین امری راههای مختلف وجود دارد و بنابراین انتخاب بهترین راه به طراح واکذار می‌شود . به عبارت دیگر طراح باید طرح بهینه‌ای به دست آورد . برای انجام چنین امری عوامل دیگری بجز مقاومت بایستی مورد بررسی قرار گیرند . مهمترین عوامل عبارتند از :

- ۱ - حداقل مجموع وزن مصالح
- ۲ - در دسترس بودن مقاطع فولاد ساختمانی
- ۳ - مناسب بودن اجرا - بایستی توجه کرد که استفاده از ماشین ، بیند و جوشکاری همچنان کدام با صرفه نیستند .
- ۴ - محدودیت خیز .
- ۵ - حداقل مجموع هزینه .

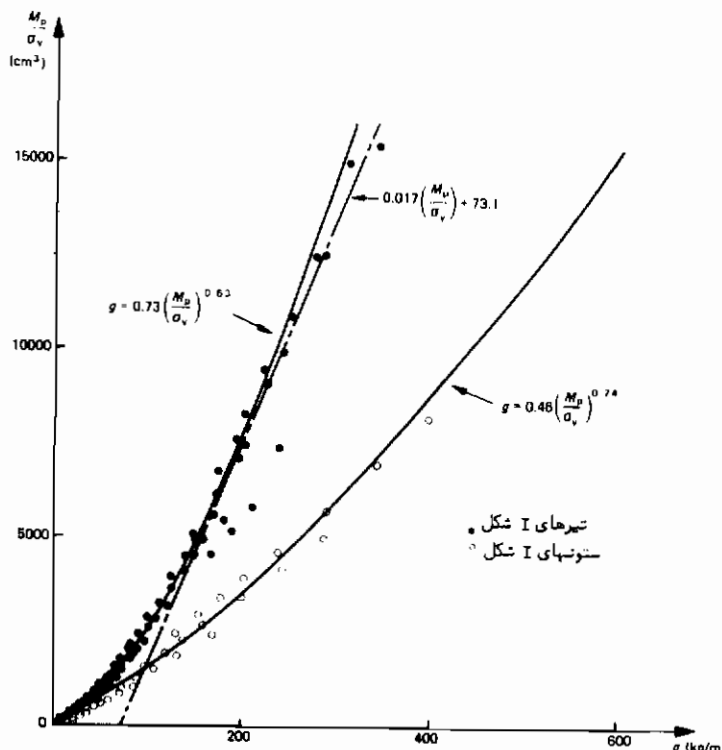
در طرح بهینه تمام عوامل فوق طوری متعادل شده‌اند که سازه نهایی دارای حداقل مجموع هزینه باشد . اگر با محدودیتهای مشخصی طراحی بهینه از جنبه محاسبات ریاضی ممکن می‌باشد (بهخصوص بهمایری کامپیوتر) . جزئیات کامل خارج از بحث این کتاب است ، اما می‌توان روش را به سادگی شرح داد . در قسمت عده‌های قیماندگان بخش "طرح حداقل وزنی" یعنی طرحی که بند (۱) را برآورده می‌سازد ، بررسی می‌شود . ولی در هایان نشان داده خواهد شد که چگونه می‌توان سایر عوامل را در نظر گرفت . در طراحی حداقل وزنی با محاسبات دستی لازم است از نمودارهای تقابلی که محورهای مختصات آن بر حسب لنگرهای خمیری مجهول می‌باشد ، استفاده شود . این موضوع استفاده از روش را به سازه‌های تنها با

دومقطع مختلف محدود می‌سازد. همان طور که ملاحظه خواهد شد با استفاده از کامپیووتر محدودیتی در تعداد مجھولات اعضاء وجود نخواهد داشت.

۱۴-۵-۲ توابع وزن

مطابق شکل ۱۴-۵ وزن واحد طول بر حسب اساس خمیری (M_p/σ_y) برای تمام مقاطع تیر و ستون پونیپورسال محاسبه و روی صفحه مختصات برده شده است. جزئیات مقاطع از کتابچه سازه فولادی استخراج شده است (۲). همچنین روی شکل منحنی‌هایی کمبهترین نحو بر نقاط فوق مرور کرده به طور جداگانه برای تیرها و ستونها رسم شده است. در واقع اگر برای تمام مقاطع ممکن این کار انجام شود، برای هریک منحنی جداگانه‌ای خواهیم داشت. منحنی به صورت ثابع زیر است.

$$g = c \left(\frac{M_p}{\sigma_y} \right)^n \quad (14-5)$$



شکل ۱۴-۵

۱- استاندارد انگلیسی مقاطع فولادی

که kg/m و طول واحد / وزن $g = kN m$ و لنگر پلاستیک M_p و c و n مقادیر ثابت هستند.

برای مقاطع با مصالح هم جنس، n ثابت است، بنابراین داریم

$$g = k M_p^n \quad (7-5)$$

که $n = c/(σ_y)$ می‌باشد. محاسبات دستی برای یک چنین رابطه‌ای مشکل به نظر می‌رسد. در بیشتر طرحها انتخاب اعضاًی با اختلاف زیاد در اندازه مقاطع معمول نیست و احتمال می‌رود که اکثراً "مقدار لنگر خمیری در محدوده M_p تا $2M_p$ قرار گیرد. در این محدوده معادله ۷-۵ را می‌توان با معادله خطی زیر جایگزین نمود.

$$g = k_1 M_p + k_2 \quad (8-5)$$

که بسیار قابل استفاده تر است. در جدول ۷-۲ مقادیر k_1 و k_2 برای محدوده‌های مختلف S مربوط به مقاطع تیر محاسبه شده است.

جدول ۷-۵

| حدود- S - (cm^3) | M_p حدود (kN m) | ساپر فولادها | | k_2 |
|------------------------------|-------------------|--------------|-------------|-------|
| | | k_1 | k_1 | |
| 0 - 2000 | 0 - 500 | 0.154 | 38.6/ $σ_y$ | 15.2 |
| 1000 - 3000 | 250 - 750 | 0.112 | 28.1/ $σ_y$ | 30.7 |
| 2000 - 6000 | 500 - 1500 | 0.086 | 21.6/ $σ_y$ | 48.0 |
| 5000 - 10 000 | 1250 - 2500 | 0.068 | 17.0/ $σ_y$ | 73.1 |

در شکل ۷-۵ خط مربوط به محدوده S بین $5000 cm^3$ و $10000 cm^3$ نشان داده شده است. حداکثر اختلاف فقط $1/4$ درصد و موقعی است که S برابر $5000 cm^3$ باشد. شکل ۷-۵ نشان می‌دهد که در واقع این خط به خوبی نسبت بین g و $M_p/σ_y (= S)$ را در محدوده بین $3000 cm^3$ و $12500 cm^3$ بیان می‌کند.

رابطه بین وزن واحد طول و لنگر خمیری (معادله عمومی ۸-۵) برای محاسبه وزن کل سازه، G ، بر حسب لنگر خمیری هر عضو قابل استفاده است. این رابطه را "تابع وزن سازه" گویند.

$$G = \Sigma L(k_1 M_p + k_2) \quad (9-5)$$

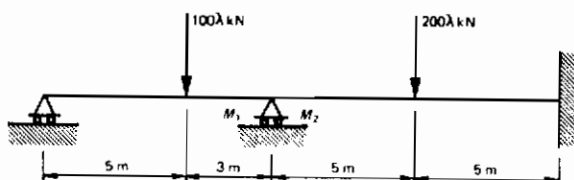
L = طول عضو

$$G = \Sigma k_1 M_p L + \Sigma k_2 L \quad (10-5)$$

در معادله ۱۰-۵، قسمت اول طرف سمت راست $\Sigma k_1 M_p L$ قابل تغییر است زیرا مقدار آن بستگی به M_p دارد، قسمت دوم ثابت است. منظور از طرح حداقل وزن حتی الامکان کوچک ساختن قسمت متغیر می‌باشد.

۴ - ۳ طرح حداقل وزن تیر سراسری

یک تیر سراسری دودهانه ساده‌ترین مثالی است که برای تشریح طرح حداقل وزن مورد استفاده قرار می‌گیرد. شکل ۱۵-۵ تیر را نشان می‌دهد مرحله اول در نظر گرفتن مکانیزم‌های فروریختگی ممکن است. از آنجا که مقادیر نسبی لنگرها مشخص نیست در این مکانیزم‌ها بایستی دو حالت ممکن $M_1 > M_2$ و $M_1 < M_2$ مورد نظر قرار گیرند.



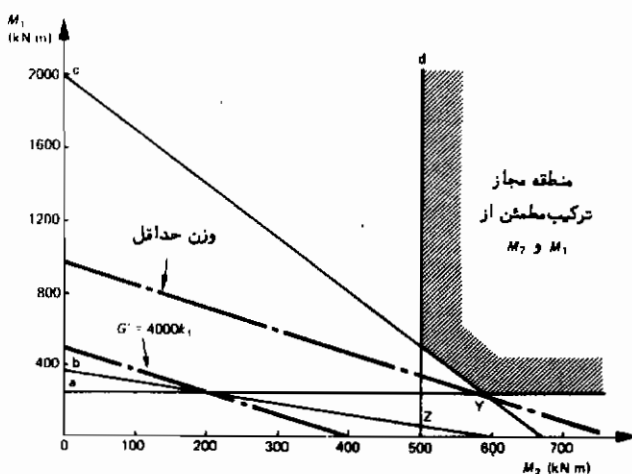
شکل ۱۵-۵

| مکانیزم | کار خارجی | کار داخلی $M_1 < M_2$ | کار داخلی $M_1 > M_2$ |
|---|---|---|---|
| M_1, α, M_2, β $\beta\phi = 50^\circ$ $\phi = \frac{5}{3}\theta$ | $100\lambda \times 5\theta = 500\lambda\theta$ | a $M_1\theta + 2M_1\phi$ $= M_1 \left(1 + \frac{10}{3}\right)\theta$ $= \frac{13}{3}M_1\theta$ | b $M_1\theta + M_1\phi + M_2\phi$ $= M_1 \left(1 + \frac{5}{3}\right)\theta + M_2 \times \frac{5}{3}\theta$ $= \left(\frac{8}{3}M_1 + \frac{5}{3}M_2\right)\theta$ |
| M_1, α, M_2, α | $200\lambda \times 5\alpha = 1000\lambda\alpha$ | c $M_1\alpha + 3M_2\alpha$ $= (M_1 + 3M_2)\alpha$ | d $4M_2\alpha$ |

جدول فوق به طور جداگانه در هر دهانه برای مکانیزم‌های تیزه کار داخلی و خارجی را نشان می‌دهد. چهار مکانیزم ممکن وجود دارد، ولی فقط یکی از آنها بحرانی است. از آنجا که در تمام مکانیزم‌های ممکن تیزه‌ایستی اینم باید معادله کار برای هر مکانیزم بایستی به شکل زیرنوشته شود.

$$\begin{array}{ll} \frac{13}{3}M_1\theta \geq 500\lambda\theta & a \\ \left(\frac{8}{3}M_1 + \frac{5}{3}M_2\right)\theta \geq 500\lambda\theta & b \\ (M_1 + 3M_2)\alpha \geq 1000\lambda\alpha & c \\ 4M_2\alpha \geq 1000\lambda\alpha & d \end{array} \quad (11-5)$$

نتیجه می‌شود که مقاومت داخلی (توسط کار داخلی) مساوی یا بزرگتر از اثر بارهای اعمال شده است، و ضوابط اینمی را برآورده می‌سازد. در مکانیزم بحرانی (نامشخص) مساوی در معادله کار باید طوری برقرار شود که ضریب بار اعمال شده بر سازه درست برابر با مقدار لازم باشد. مقدار دورانهای مجازی در هر حالت قابل حذف است. معادلات ۱۱-۵ را می‌توان روی یک نمودار تقابلی با محورهای M_1 و M_2 رسم کرد. این نمودار در شکل ۱۶-۵ نشان داده شده است که در آن ضریب بار لازم $\theta/2$ فرض شده است.



شکل ۱۶-۵

در مقایسه با فصل ۳، یک منطقه مجاز (PR) که معادلات ۱۱-۵ را برآورده می‌سازد بایستی مطابق شکل ۱۶-۵ نشان داده شود. این نمودار نشان می‌دهد که b، مکانیزم سمت چپ

دهانه با $M_1 > M_2$ هرگز بحرانی نیست زیرا خارج از منطقه مجاز است تلاقی a و c یعنی نقطه γ ترکیب M_1 و M_2 را در صورتی که $M_1 < M_2$ و هردو دهانه تواماً "فرو ریخته خواهد شد" مشخص می‌نماید. در این حالت بین دورانهای خمیری هر دهانه رابطه‌ای وجود ندارد. به همین دلیل از دو علامت مختلف در جدول اصلی استفاده شده است. محل تلاقی b و d می‌باید، فرو ریختگی دهانه‌ها را در حالت $M_1 > M_2$ تواماً نشان دهد. در این حالت چنین امری ممکن نیست زیرا محل تلاقی، نقطه Z، نشان می‌دهد که $M_1 < M_2$ با استفاده از معادله ۱۵-۵ ناتیج وزن برای هر تیر عبارت است از.

$$G = k_1(8M_1 + 10M_2) + 18k_2 \quad (12-5)$$

برای اهداف طراحی ابتدا فقط در نظر گرفتن قسمت متغیر معادله ۱۲-۵ لازم است.

$$G' = k_1(8M_1 + 10M_2) \quad (13-5)$$

و در آن مقدار $k_2 = 18$ اضافه می‌گردد.

معادله ۱۳-۵ معادله خطوط موازی مستقیم در نمودار تقابلی می‌باشد.

با فرض مقداری برای G' یک خط رسم می‌شود و سه نقطه روی خط بدست می‌آید. با فرض

$$G' = 4000k_1$$

$$M_1 = 0 \quad M_2 = 400 \text{ kN m}$$

$$M_2 = 0 \quad M_1 = 500 \text{ kN m}$$

باشد خطی بدست می‌آید. این خط که در شکل ۱۶-۵ نشان داده شده، خارج از منطقه مجاز PR قرار می‌گیرد. اگر G' به اندازه مناسب افزایش باید خط مذکور با مرز منطقه مجاز ماس می‌گردد. این کمترین مقدار G' است که از مقادیر M_1 و M_2 بدست می‌آید و با منطقه مجاز ماس می‌شود. این خط را "خط حداقل وزن" نامند. مقادیر M_1 و M_2 در تلاقی خط حداقل وزن و مرز منطقه مجاز PR یعنی نقطه γ مقادیر مربوط به مقاطع اعضاً می‌باشند. طرح حداقل وزن برای تیر عبارت است از:

$$M_1 = 230.8 \text{ kN m}$$

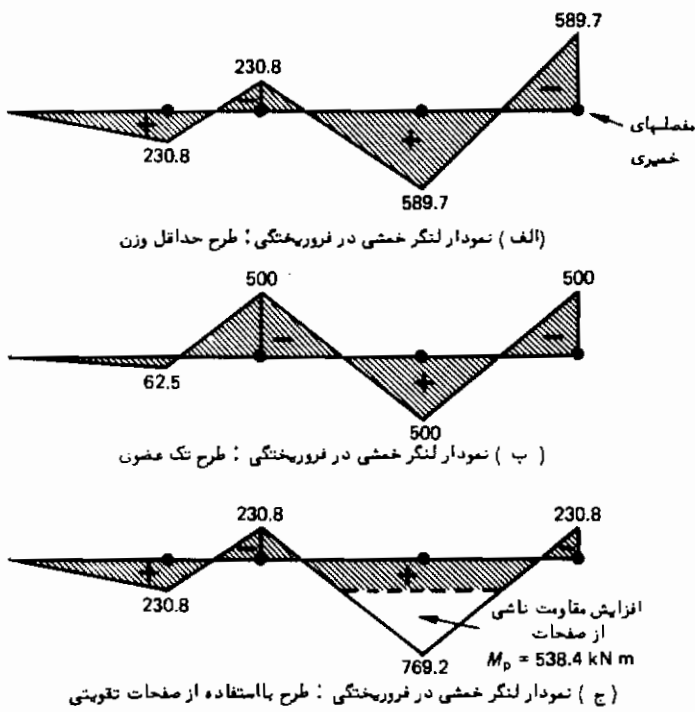
$$M_2 = 589.7 \text{ kN m}$$

$$G'_{\min} = k_1(8 \times 230.8 + 10 \times 589.7) = 7743k_1$$

بنابراین حداقل وزن واقعی عبارت است از:

$$G_{\min} = 7743k_1 + 18k_2$$

و معلوم می‌کند که طرح حداقل وزن، فروریختگی هردو دهانه را بهمنبال خواهد داشت. این موضوع بهوسیله نمودار لنگر خمشی فروریختگی که در شکل ۱۷-۵ الف نشان داده شده قابل تشخیص است. برای دستیابی به طرح حداقل وزن لازم است که در دهانه‌ها از مقاطع مختلف استفاده شود، که شاید عملی نباشد. با استفاده از نمودار تقابلی می‌توان تعداد زیادی اعضاء با مقاطع ساده و یا با صفحات تقویتی طراحی نمود. کمترین مقدار معکن برای M_2 برابر 500 kN m است که از خط α تعیین می‌شود. اگر از این مقاطع در سرتاسر تیر استفاده شود، نمودار لنگر خمشی فروریختگی مطابق شکل ۱۷-۵ ب خواهد بود. این نمودار نشان می‌دهد که مقاطع برای هر دو دهانه مناسب است و بنابراین مقاطع ساده‌ای طراحی می‌شود. کوچکترین مقدار M_1 برابر 230.8 kN m است که از خط β به دست می‌آید. نمودار لنگر خمشی فروریختگی (شکل ۱۷-۵ج) نشان می‌دهد که ورقهای بال لنگر خمیری $m = 538.4 \text{ kN m}$ برای دهانه سمت راست لازم می‌باشد.

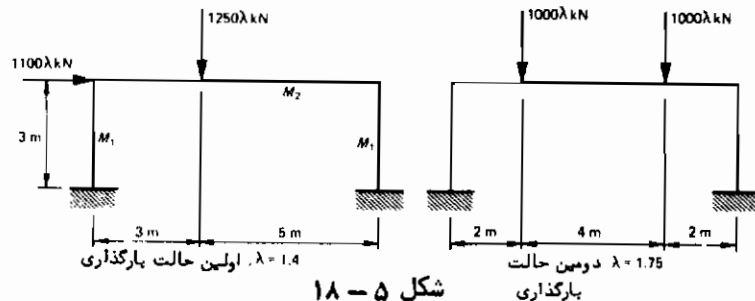


شکل ۱۷ - ۵

۴ - ۴ - ۵ طرح حداقل وزن برای قاب پرتال

طرح حداقل وزن برای قابها مناسبتراست زیرا اتصال عمودبرهم (یا درقاپهای شیدار

تقریباً "عمود برهم" قطعات با مقاطع متفاوت نسبتاً" معمول و مناسب است. جریان کار مشابه تیر سراسری است. طراحی قاب پرتال شکل ۱۸-۵ نشان می‌دهد که چگونه وقتی چند حالت بارگذاری وجود دارد روش مذکور قابل استفاده است.



| مکانیزم | کار خارجی | کار داخلی $M_1 < M_2$ | کار داخلی $M_1 > M_2$ |
|----------------------------|--|---|---|
| حالت اول بارگذاری | $1250 \times 1.4 \times 3\theta$ = 5250θ | a $M_1\theta + M_2(\theta + \phi) + M_1\phi$ = $(M_1 + M_2)(\theta + \frac{3}{5}\theta)$ = $\frac{8}{5}(M_1 + M_2)\theta$ | b $2M_2(\theta + \phi)$ = $\frac{16}{5}M_2\theta$ |
| $5\phi = 3\theta$ | | | |
| $\phi = \frac{3}{5}\theta$ | | | |
| | $1100 \times 1.4 \times 3\alpha$ = 4620α | c $4M_1\alpha$ | d $2(M_1 + M_2)\alpha$ |
| $\theta = \alpha$ | $(5250 + 4620)\theta$ = 9870θ | e $\frac{8}{5}(M_1 + M_2)\theta$ + $4M_1\theta - 2M_1\theta$ = $\left(\frac{18}{5}M_1 + \frac{8}{5}M_2\right)\theta$ | f $\frac{16}{5}M_2\theta + 2(M_1 + M_2)\theta$ - $2M_2\theta$ = $\left(2M_1 + \frac{16}{5}M_2\right)\theta$ |
| حالت دوم بارگذاری | $2 \times 1000 \times 1.75 \times 2\beta$ = 7000β | g $2(M_1 + M_2)\beta$ | h $4M_2\beta$ |
| متغیر | | | |

بدون بار افقی و بنابراین بدون تغییر مکان جانبی

$$\begin{aligned}
 & 1000 \times 1.75 \times (2\beta + 2\gamma) & j & M_1(3\beta + \gamma) + M_2(\beta + \gamma) & k & M_1 \times 2\beta + M_2(2\beta + 2\gamma) \\
 & = 3500 \left(1 + \frac{1}{3} \right) \beta & = \left(\frac{10}{3} M_1 + \frac{4}{3} M_2 \right) \beta & = \left(2M_1 + \frac{8}{3} M_2 \right) \beta \\
 & \gamma = 2\beta & & & & \\
 & \gamma = \frac{1}{3} \beta & & & &
 \end{aligned}$$

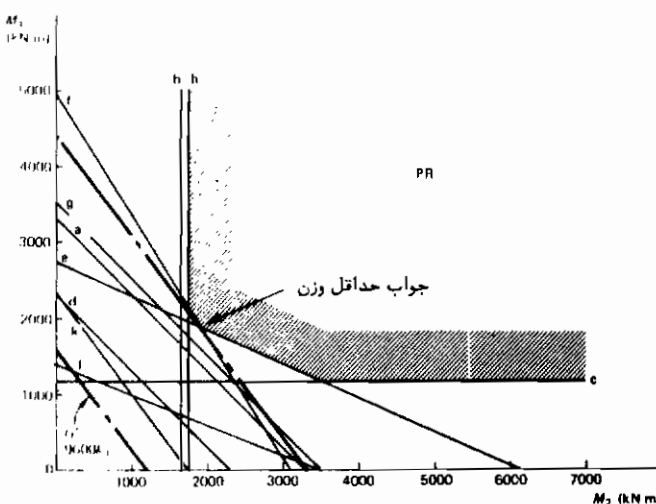
توجه شود که مکانیزم مرکب بدون هر نیروی جانبی می‌تواند به وجود آید. مفصل دوم در تبریز باستی برداشته شود زیرا تقارن بهم خورده است. نامعادلات حاصله از جدول به شرح زیر می‌باشد:

$$\frac{8}{5}M_1 + \frac{8}{5}M_2 \geq 5250 \quad a \quad \left. \begin{array}{l} \frac{16}{5}M_2 \geq 5250 \quad b \\ 4M_1 \geq 4620 \quad c \\ 2M_1 + 2M_2 \geq 4620 \quad d \end{array} \right\} \text{حالت اول بارگذاری} \quad (14-5)$$

$$\frac{18}{5}M_1 + \frac{8}{5}M_2 \geq 9870 \quad e \quad \left. \begin{array}{l} 2M_1 + \frac{16}{5}M_2 \geq 9870 \quad f \\ 2M_1 + 2M_2 \geq 7000 \quad g \\ 4M_2 \geq 7000 \quad h \end{array} \right\} \text{حالت دوم بارگذاری} \quad (15-5)$$

$$\frac{10}{3}M_1 + \frac{4}{3}M_2 \geq 4667 \quad j \quad \left. \begin{array}{l} 2M_1 + \frac{8}{3}M_2 \geq 4667 \quad k \end{array} \right\}$$

نمودار مقابله از معادلات ۱۴-۵ و ۱۵-۵ در شکل ۱۹-۵ نشان داده شده است. منطقه مجاز PR در مجموعه نامعادلات منوط به هردو حالت بارگذاری صدق می‌کند.



شکل ۱۹-۵

تابع وزن برای قاب عبارت است از

$$G = k_1(6M_1 + 8M_2) + 14k_2 \quad (16-5)$$

با فرض مقاطع پکسان برای تیر و ستونها . قسمت متغیر تابع وزن به صورت زیر است

$$G' = k_1(6M_1 + 8M_2) \quad (17-5)$$

که می‌توان برای تعیین حداقل وزن روی نمودار تقابلی رسم کرد .

$$M_1 = 1898 \text{ kN m}$$

$$M_2 = 1898 \text{ kN m}$$

$$G'_{\min} = k_1(6 \times 1898 + 8 \times 1898) = 26572k_1$$

$$G_{\min} = 26572k_1 + 13k_2$$

توجه شود که تعیین حداقل وزن بدون اطلاع از مقادیر ثابت k_1 و k_2 تابع وزن ممکن نیست.

اگر وزن واقعی مصالح لازم گردد مقادیر k_1 و k_2 برای محدوده لنگرهای خمیری که $M_2 \leq M_1$ در داخل آنها قرار می‌گیرد قابل محاسبه است .

این مقادیر در جدول ۲-۵ برای مقاطع تیر یونیورسال داده شده است
در نتیجه، نکته قابل توجه این که در دو مثال فوق جواب منحصر بفردی به دست آمد

زیرا خط حداقل وزن تنها با یک نقطه از مرز منطقه مجاز PR تماس داشت. بدینهی است در بعضی حالات خط حداقل وزن بر مرز منطقه مجاز منطبق شده و دیگر جواب منحصر بفرد نخواهد بود. هر جفت از لنگرهای خمیری که در فصل مشترک فوق قرار گیرند قابل قبولند و وزن مصالح به دست آمده پیکسان است.

۵ - ۴ - طرح حداقل وزن به کمک کامپیوتر

منظور از طرح حداقل وزن، بهینه کردن تابع وزن سازه است که با توجه به نامعادلات حاصله از مکانیزم‌های ممکن به دست می‌آید. تابع وزن و نامعادلات مربوطه در لنگرهای خمیری مجهول، همگی خطی هستند و بنابراین حل مسئله مربوطه به صورت خطی انجام می‌گیرد. روش‌های زیادی برای حل مسئله وجود دارد و شاید مفیدترین آنها روش "سیمیلکس^۱" است روش سیمیلکس برای استفاده در کامپیوتر مناسب است و می‌توان تعداد زیادی از لنگرهای خمیری نامعلوم را در آن به کار برد. برنامه‌های کامپیوتراست این اسناد را در داده دارد که به صورت کامل جوابگوی مسئله است (۱۱ و ۱۲)، ثابت شده است که در موقع استفاده از کامپیوتر عوامل دیگر طراحی را نیز می‌توان دخالت داد. نقطه شروع استفاده از رابطه واقعی بین M و w معادله ۵-۷ در مورد تابع وزن است. در این حالت تابع حاصله غیرخطی است بنابراین حل مسئله با استفاده از "برنامه غیرخطی" بایستی انجام شود. (۱۰) در اینجا لازم است مقاطع غیر استاندارد (نورد نشده) نیز در نظر گرفته شوند و معادله ۵-۷ با چنین مقاطعی به دست آورده شود. پس تابع وزن غیرخطی و غیر پیوسته می‌شود (۱۳).

مشکل اصلی در مورد قابهای پیچیده تعیین مکانیزم‌های ممکن است. و فقط اگر تمامی شروط ممکن تعیین شده باشد طرح صحیح است، اشکال دیگر آنست که شروط خیلی زیادی شود بنابراین حل مسئله وقت زیادی از کامپیوتر را مصرف می‌کند. برای کاهش این شروط روش‌های متعددی مورد استفاده قرار گرفته است.

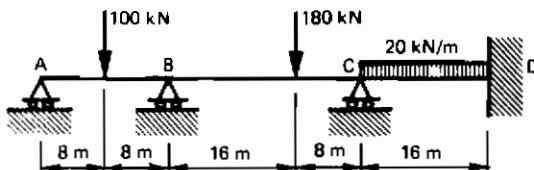
۵ - ۵ - جمع‌بندی

در این فصل طرح سازه‌ها به روش خمیری بیان شد. در تیرهای پیکره با یک آزمون و خطا طراحی صورت می‌گیرد که در آن مقاومت به فروریختگی و سهولت اجرا در نظر گرفته می‌شود. در قابهای هدف از طراحی به دست آوردن طرح بهینه است یا به عبارت ساده‌تر طرحی که استفاده از حداقل وزن مصالح را شامل گردد تا ضریب بار لازم برای فروریختگی را

نماین نماید. برای طرح سازه‌های پیچیده‌تر با تعداد زیادی از اعضاء با مقاطع متفاوت از کامپیوتر استفاده می‌شود. همچنین در مواردی خاص مانند نبودن مقاطع استاندارد بهره‌گیری از کامپیوتر سودمند است.

۵-۶ مسایل

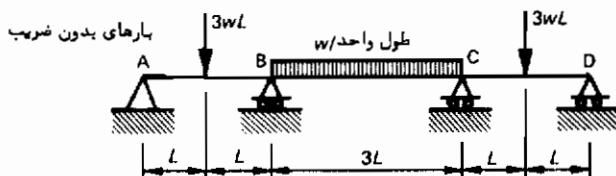
۱-۶-۵ برای تیر پکسره شکل ۲۰-۵ لنگرهای خمیری را برای حالات زیر تعیین کنید. (الف) طرحی براساس دهانه بحرانی و (ب) طرح با ورق. بارهای نشان داده شده مباره‌ای فروریختگی هستند.



شکل ۲۰-۵

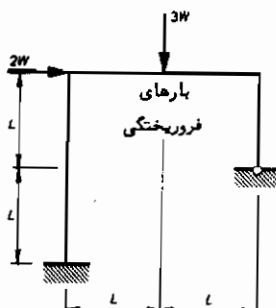
۲-۶-۵ تیر پکسره شکل ۲۱-۵ با ضریب بارفروینختگی برابر ۴ طرح شده است طرح‌های ممکن را با توجه به درنظر گرفتن موارد زیر انجام دهید (الف) سادگی اجرا (ب) وزن مصرفی "کامپیک" از طرح‌ها بهتر است؟

وزن واحد طول مقطع تیر kM_p است که M_p لنگر خمیری مقطع است. وزن واحد طول ورقها kM است که M لنگر خمیری ورقها است. در استفاده از ورقها، تنها بایستی به فاصله $L/10$ طرف محلی که دیگر برای مقاومت خمشی لازم نیست ادامه داده شوند.



شکل ۲۱-۵

۳-۶-۵ فرض کنید در ستونها از مقاطع مشابهی استفاده شده است، قاب پرتال شکل ۲۲-۵ را برای حداقل وزن طراحی کنید. فرض کنید که وزن واحد طول $g = k_1 M_p + k_2$ می‌باشد

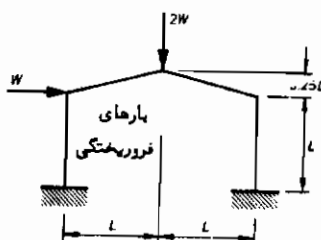


شکل ۲۲-۵

۵-۶-۴ قاب شیدار شکل ۲۳-۵ را برای حداقل وزن طراحی کنید . فرض کنید .

$$g_C = 0.75M_p + 90 \quad \text{برای ستونها}$$

$$g_R = 0.4M_p + 75 \quad \text{برای شیبهای}$$



شکل ۲۳-۵

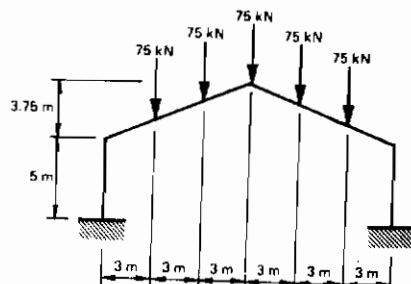
۵-۶-۵ در شکل ۲۴-۵ فرض کنید ستونها از مقطع پکسانی بوده و تیلهای شیدار از مقطع دیگر می باشند . حداقل وزن فولاد لازم را اگر وزن واحد طول برابر

$$g = 0.4M_p + 75 \text{ kg/m}$$

باشد تعیین کنید . M_p بر حسب kN m است .
دو حالت بارگذاری به قاب اعمال می گردد .

(الف) یک نیروی بادافقی 55 kN در بالای هر ستون ، و یک بار قائم برابر با 200 kN در وسط دهانه ، ضرب بار لازم $1/5$ است .

(ب) فقط چند بار قائم (مطابق شکل) با ضرب بار $2/5$.



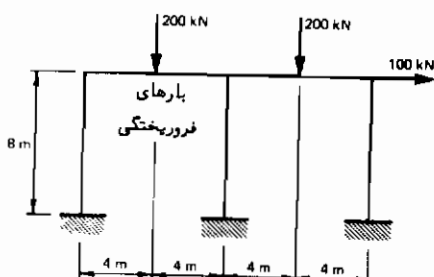
شکل - ۲۴ - ۵

۲۵-۶-ع برای قاب دو دهانه شکل ۲۵-۵ حداقل وزن طراحی را به دست آورید. یک مقطع برای ستونها و یک مقطع برای تیرها در نظر بگیرید. همچنین

$$g_C = 0.75M_p + 90 \text{ kg/m} \quad \text{برای ستونها}$$

$$g_B = 0.4M_p + 75 \text{ kg/m} \quad \text{برای تیرها}$$

که M_p بر حسب kNm می‌باشد.



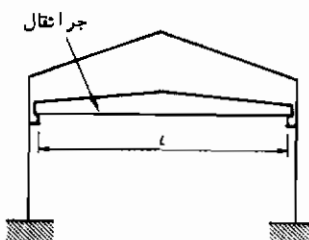
شکل - ۲۵ - ۶

تغییر مکان و پایداری

۱ - مقدمه

در فصلهای ۴، ۳ و ۵ جزئیات روش‌های تعیین بارهای فروریختگی سازه‌های فولادی بررسی شد. برای مثال، در روش کار مجازی، بار فروریختگی با در نظر گرفتن تغییر شکل‌های کوچک (مجازی) برای مکانیزم فروریختگی تعیین شد. در این حال، فرض شد که شکل سازه قبل از تغییر شکل مکانیزم، مشابه موقعی که به سازه باری وارد نمی‌شود، باشد. به عبارت دیگر از کلیه تغییر شکل‌های سازه قبل از فروریختگی صرف نظر گردید. اما قبل از فروریختگی می‌باید تغییر شکل وجود داشته باشد. آین به چه معناست؟

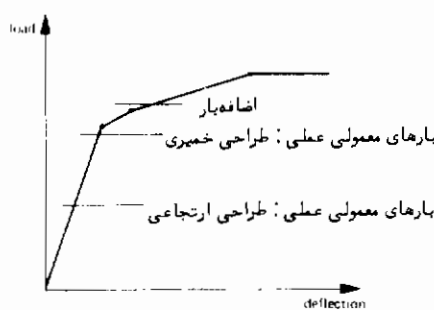
تقویت سازه برای مقاومت در مقابل بارهای وارد به‌ازای یک ضربی بار کافی در فرو ریختگی تنها کفاایت نمی‌کند و لازم است مطمئن بود که تغییر مکان بیش از حد نمی‌شود. قاب شیدار شکل ۶-۱ را در نظر بگیرید. روی قاب رسیده‌ای برای حرکت جر انتقال وجود دارد. چرخهای جر انتقال که روی ریل حرکت می‌کنند امکان حرکت جانبی محدودی دارد. در نتیجه طول از اجزاء بحرانی طراحی است، اگر در اثر تغییر مکان قاب تغییر آن زیاد باشد چرخها گیر کده و دیگر جر انتقال حرکت نخواهد کرد.



شکل ۶ - ۱

تغییر مکان با هستی وارسی شود، تحت بارهای متعارف سازه با هستی هنوز ارجاعی

باشد. بنابر این می‌توان تغییر مکانها را بوسیله تحلیل ارتجاعی تعیین نمود. این موضوع در سازه‌ای که به روش‌های خمیری طراحی شده است نسبتاً "غیرمنطقی" است: علیرغم اینها یکی از دلایل اصلی استفاده از روشهای خمیری اجتناب از محاسبات خسته کننده‌ای است که در روشهای ارتجاعی وجود دارد. دلیل دیگری نیز وجود دارد. شکل ۶-۲ منحنی تغییر مکان - بار را برای قاب شکل ۶-۱ نشان می‌دهد. در طراحی خمیری سازه طوری طراحی می‌شود که در مقاطع بحرانی خاصی لنگرهای خمیری نزدیک به لنگر خمیری گردد، اگرچه سازه تحت بارهای متعارف ارتجاعی می‌باشد. تنها افزایش بار کوچکی روی جر انتقال لازم است تا مفصلهای خمیری شکل گرفته و تغییر مکان زیادی بدeneد. به جر انتقالهایی از نوع شکل ۶-۱ عموماً بار بیش از اندازه وارد می‌گردد، بخصوص که سرعت‌کار انگیزهای برای حمل بار به طور یکجا می‌باشد. لذا منطقی است که در موقع فروریختگی تغییر مکانهای واقعی محدود شوند، بخصوص اگر بمراحتی قابل محاسبه باشند.



شکل ۶-۲

حال دیگری نیز ممکن است بوجود آید. قبل از فروریختگی ممکن است تغییر مکانها به مقدار قابل ملاحظه‌ای بار فروریختگی سازه را کاهش دهند. خوب می‌دانیم که تغییر مکانها سختی ستونها را کاهش می‌دهند (معروف به اثر ۵-۴) (۱۴) این حالت در قابها نیز اتفاق می‌افتد. در سازه‌های با انعطاف‌پذیری بیشتر این موضوع بسیار جدی است به طوری که تغییر مکانها می‌توانند باعث مکانیزم فروریختگی غیرمنتظره‌ای ناشی از ناپایداری قاب گردند. در ابتدا فقط سازه‌های ساخته شده از فولاد نرم بوسیله روشهای خمیری طراحی می‌شدند، ولی در حال حاضر سازه‌های فولادی با فولاد سخت نیز به همین روش طراحی می‌گردند. انعطاف‌پذیری کاهش پافته این فولادها (به شکل ۵-۱ مراجعه شود) معمولاً برای ایجاد مکانیزم فروریختگی کافی می‌باشد، ولی تنش تسلیم زیاد بدان معناست که مقاطع کوچکتری را نسبت به آنچه که برای فولاد نرم لازماً است می‌توان مورد استفاده قرارداد و این

این نتیجه منجر به سازه انعطاف‌پذیرتر با تغییر مکانهای زیادتر می‌گردد . واضح است که احتمالاً "مسایل ناشی از تغییر مکانها جدی‌تر خواهد بود. این موضوع را هنگام استفاده از فولادهای با مقاومت بالا بایستی مد نظر داشت . در قسمت اول این فصل روش مستقیمی برای محاسبه تغییر مکانها در موقع فروریختگی تشریح می‌شود و در قسمت دوم اثر خیز روی بار فرو ریختگی بررسی می‌گردد .

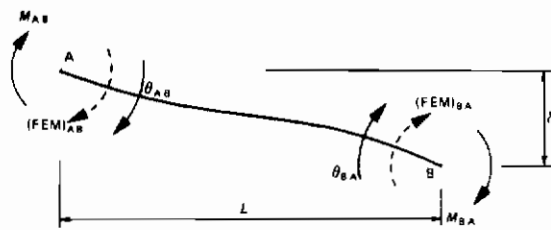
۶ - ۲ محاسبه تغییر مکانها در موقع فروریختگی

۶ - ۲ - ۱ مبانی نظری

فرض لازمی که در تعیین بارهای فروریختگی مورد استفاده قرار گرفت این بود که دوران خمیری در مفصلهای خمیری بوجود آید . این بدان معناست که بین مفصلهای خمیری اعضاء ارتجاعی هستند . بنابراین ضمن فروریختگی ، قاب طوری به اعضاء ارتجاعی مجزا تبدیل می‌شود که در انتهای تمام اعضاء رفتار خمیری بوجود آید . (البته ، اعضا ای وجود دارد که لنگرهای انتهای آنها کمتر از لنگر خمیری می‌باشند) .

تغییر مکانهای سازه را به وسیله جابجایی انتهای هر یک از اعضاء می‌توان نشان داد . از آنجا که اعضاء ارتجاعی هستند ، لنگرهای انتهایی و جابجایی‌های انتهایی ارتجاعی به وسیله معادلات شیب - افت قابل محاسبه هستند (۱) . با استفاده از علام شکل ۳-۶ داریم :

$$\begin{aligned} M_{AB} &= \frac{EI}{L} \left(4\theta_{AB} + 2\theta_{BA} - 6 \frac{\delta}{L} \right) + (FEM)_{AB} \\ M_{BA} &= \frac{EI}{L} \left(2\theta_{AB} + 4\theta_{BA} - 6 \frac{\delta}{L} \right) + (FEM)_{BA} \end{aligned} \quad (1-6)$$



شکل ۳-۶

شکل فوق جهت مشتبه تغییر شکلها و لنگرهای را نشان می‌دهد . در مثال بعد قرار داد

مشبт در جهت عقربه‌های ساعت رعایت شده است. معادله ۶-۱ را به صورت زیر می‌توان نوشت.

$$\theta_{AB} = \frac{\delta}{L} + \frac{L}{6EI} (2M_{AB} - M_{BA}) - \frac{L}{6EI} [2(FEM)_{AB} - (FEM)_{BA}] \quad (6-6)$$

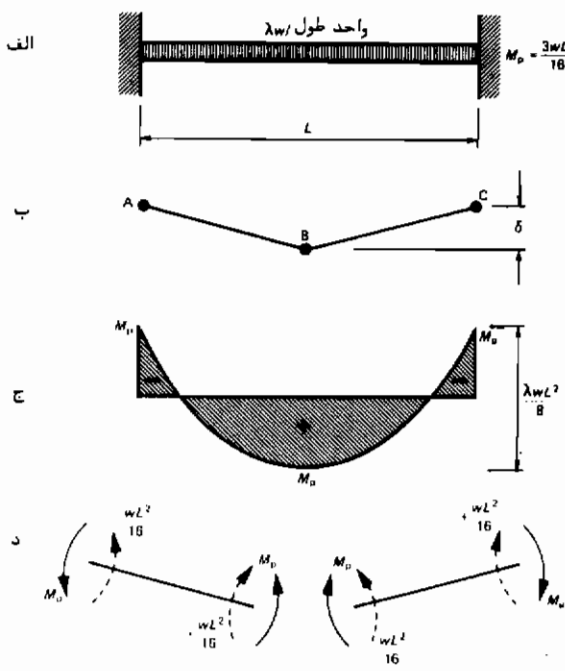
$$\theta_{BA} = \frac{\delta}{L} + \frac{L}{6EI} (-M_{AB} + 2M_{BA}) - \frac{L}{6EI} [-(FEM)_{AB} + 2(FEM)_{BA}]$$

از معادلات شب افت ۶-۲ می‌توان تغییر مکان نهایی را در موقع فروریختگی یعنی درست وقتی که آخرين مفصل خمیري شکل گرفته ولی دوران هنوز شروع نشده است به دست آورد. با ذکر مثال موضوع به سادگی روشن می‌شود.

۶-۴-۲ تیر دوسر گیردار با بار گسترده یکنواخت در شکل ۶-۴ تیر و مراحل مختلف تحلیل نشان داده شده است.

مرحله اول

مرحله اول تحلیل تعیین مکانیزم و بار فروریختگی است (یا ضرب بار).



شکل ۶-۴

در این مثال، شکل متقارن است و می‌توان روش لنگرخمشی واکنش و آزاد را به کار برد.
در اشکال ۴-۶ ب و ج مکانیزم و نمودار لنگر خمشی نشان داده است. با توجه به نمودار
لنگر خمشی داریم.

$$\frac{\lambda_c w L^2}{8} = 2M_p$$

$$M_p = 3wL^2/16$$

$$\lambda_c = 3$$

بنابراین وقتی

مرحله دوم

اکنون لازم است که سازه به اعضای (ارتیجاعی) مجزا تقسیم و برای هر عضو معادلات
شیب - افت نوشته شود.

تیر به دو عضو AB و BC ما بین مفصلهای خمیری تقسیم می‌شود.

لنگرهای انتهایی برای هر دو عضو با لنگر خمیری M_p مساوی است و تنها مشکل
تعیین جهت آنهاست. با توجه به اینکه لنگرهای انتهایی از دورانهای انتهایی معانع
می‌کنند تعیین جهت امکان پذیر می‌شود. از این‌رو لنگرها می‌باید در خلاف جهت دورانهای
خمیری عمل کنند. لنگرهای انتهایی گیردار در AB و BC مقادیر مشخصی در تیر دو سر
گیردار (با دهانه ۱/۲) برای بار یکنواخت گستردگی (با بار w در واحد طول) دارند.
لنگرهای مقاطع مختلف در شکل ۴-۶ دروده شده است.

معادلات شیب - افت اکنون برای هر عضو نوشته می‌شود

$$\theta_{AB} = \frac{2\delta}{L} + \frac{L}{12EI} (-2M_p + M_p) - \frac{L}{12EI} \left(-\frac{wL^2}{8} - \frac{wL^2}{16} \right)$$

$$\theta_{AB} = \frac{2\delta}{L} - \frac{M_p L}{12EI} + \frac{wL^3}{64EI}$$

$$\theta_{BA} = \frac{2\delta}{L} + \frac{L}{12EI} (M_p - 2M_p) - \frac{L}{12EI} \left(\frac{wL^2}{16} + \frac{wL^2}{8} \right)$$

$$\theta_{BA} = \frac{2\delta}{L} - \frac{M_p L}{12EI} - \frac{wL^3}{64EI}$$

$$\theta_{BC} = -\frac{2\delta}{L} + \frac{L}{12EI} (2M_p - M_p) - \frac{L}{12EI} \left(-\frac{wL^2}{8} - \frac{wL^2}{16} \right)$$

$$\theta_{BC} = -\frac{2\delta}{L} + \frac{M_p L}{12EI} + \frac{wL^3}{64EI}$$

و به طور مشابه

$$\theta_{CB} = -\frac{2\delta}{L} + \frac{M_p L}{12EI} + \frac{w L^3}{64EI}$$

به عبارت $L/2\delta$ خر توجه شود . جهت قراردادی شکل ۳-۳ تغییر مکان δ را موقعی که انتهای سمت راست (B) پایینتر از انتهای سمت چپ (A) قرار می‌گیرد مشتب در نظر می‌گیرد ، به طوری که باعث دوران تمام عضو در جهت عقربه‌های ساعت می‌شود . در مثال BC در خلاف جهت عقربه‌های ساعت دوران می‌کند ، و بنابراین علامت آن منفی است .

مرحله سوم

اگرnon تغییرمکان در حالی که آخرين مفصل خمیری شکل می‌گیرد بايستی محاسبه شود ، اما کدام یک آخرين مفصل است ؟ روشنی برای دانستن این موضوع وجود ندارد ، بنابراین بايستی به ترتیب فرض کرد که هر مفصل بعد از سایرین تشکیل می‌شود ، و محاسبات تغییرمکان را برای هر حالت انجام داد .

اگر A (یا بدليل تقارن C) آخرين مفصل باشد ، بدليل گيرداري بودن انتهای دوراني در نقطه A (یا C) به وجود نخواهد آمد . از اين‌رو :

$$\theta_{AB} = \frac{2\delta}{L} - \frac{M_p L}{12EI} + \frac{w L^3}{64EI} = 0$$

بنابراین

$$\frac{2\delta}{L} = \frac{M_p L}{12EI} - \frac{w L^3}{64EI} = \frac{w L^3}{EI} \left(\frac{3}{12.16} - \frac{1}{64} \right)$$

$$\delta = 0$$

اگر B آخرين مفصل باشد ، در موقع فروریختگی در نقطه B دوران خمیری به وجود نخواهد آمد . تمام تیر (AC) در نقطه B هنوز پیوسته خواهد بود . این موضوع وقتی پدید می‌آید که

$$\theta_{BA} = \theta_{BC}$$

$$\frac{2\delta}{L} - \frac{M_p L}{12EI} - \frac{w L^3}{64EI} = -\frac{2\delta}{12EI} + \frac{w L^3}{64EI} \quad \text{با جابجایی } \theta_{BA} \text{ و } \theta_{BC} \text{ داریم .}$$

$$\frac{4\delta}{L} = \frac{2M_p L}{12EI} + \frac{2w L^3}{64EI} = \frac{2w L^3}{EI} \left(\frac{3}{12.16} + \frac{1}{64} \right)$$

$$= \frac{4w L^3}{64EI}$$

$$\delta = \frac{wL^4}{64EI}$$

اکنون باید پرسید کدام یک از این مقادیر صحیح است؟

مرحله چهارم

یک راه برای پاسخ دادن، قراردادن مقادیر δ در معادلات شیب - افت و به دست آوردن دورانها است.

نتایج این کار در جدول ع-۱ آورده شده است، با ملاحظه جدول مشاهده می‌شود که شکل تغییر مکان اولی بی‌معنی است. لذا تنها پاسخ آن است که آخرین مفصل در B اتفاق می‌افتد و تغییر مکان در موقع فروریختگی برابر $wL^4/64EI$ می‌باشد. درسازه‌های پیچیده‌تر تهیه جدولی از نوع ع-۱ که بسیار مفصل‌تر خواهد بود خسته کننده است. بجای آن تغییر مکان را می‌توان بهوسیله نظریه تغییر مکان تعیین کرد. این نظریه می‌گوید:

* چند حالت در نظر می‌گیریم و برای هر حالت فرض می‌کنیم یکی از مفصلها بعد از سایرین خمیری گردد و با توجه به آن تغییر مکانها را در کلیه حالتها به دست می‌وریم. اگر چنانچه در هین بارگذاری در هر حالت هیچ مفصل خمیری ایجاد شده‌ای به حالت غیر مفصل در نماید. بیشترین تغییر مکان محاسبه شده جواب مسئله است.

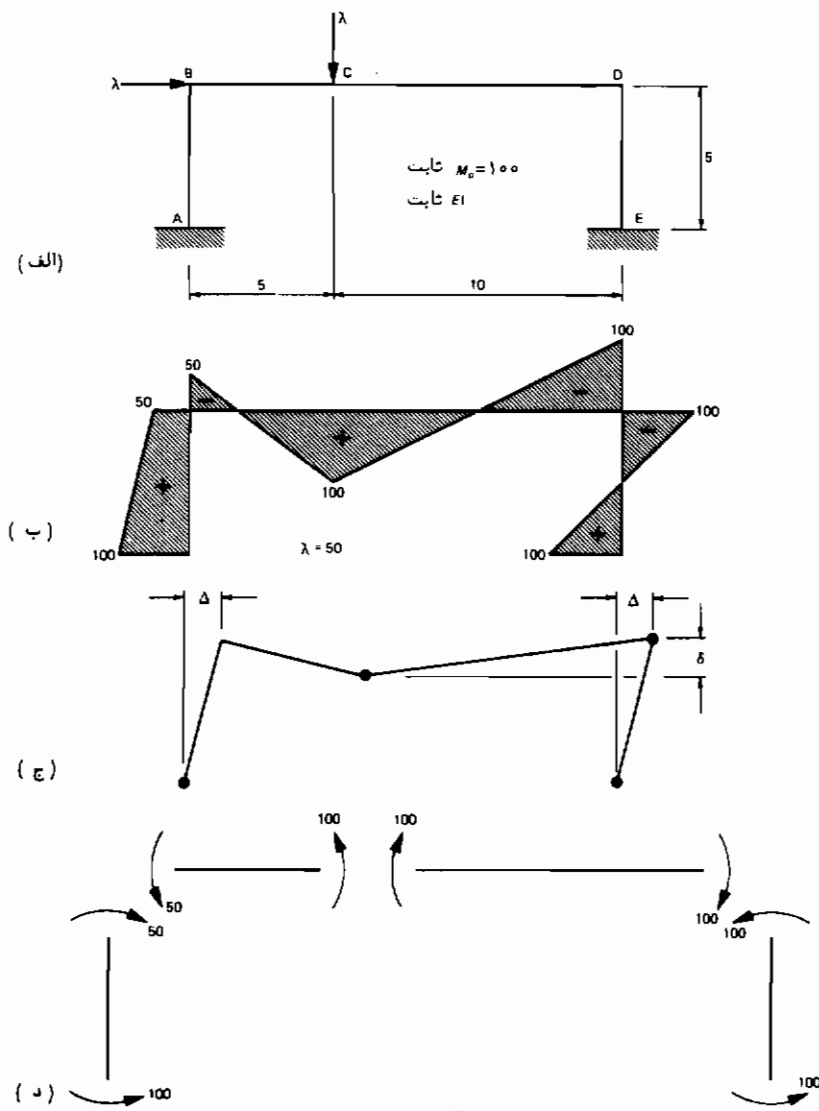
جدول ع-۱

| مفصل | آخرین | δ | θ_{AB} | θ_{BA} | θ_{BC} | θ_{CB} | تغییر شکل |
|--------|---------------------|---------------------|---------------|--|---------------|----------------------|--|
| A or C | 0 | 0 | 0 | $-\frac{wL^3}{32EI} + \frac{wL^3}{32EI}$ | 0 | 0 |  |
| B | $\frac{wL^4}{64EI}$ | $\frac{wL^3}{32EI}$ | 0 | 0 | 0 | $-\frac{wL^3}{32EI}$ |  |

از آنجا که محاسبات براساس شرایط فروریختگی می‌باشد نمی‌توان مفصلی را نشان داد که تشکیل شده و سپس از بین برود. به هر حال، این امکان بعید است و بیشترین تغییر مکان "معمول" صحیح می‌باشد.

۶-۲-۳ مثال برای قاب پرتال

در این مثال دو نکته مهمتر بیان می‌شود. تحلیل در شکل ع-۵ آورده شده است.



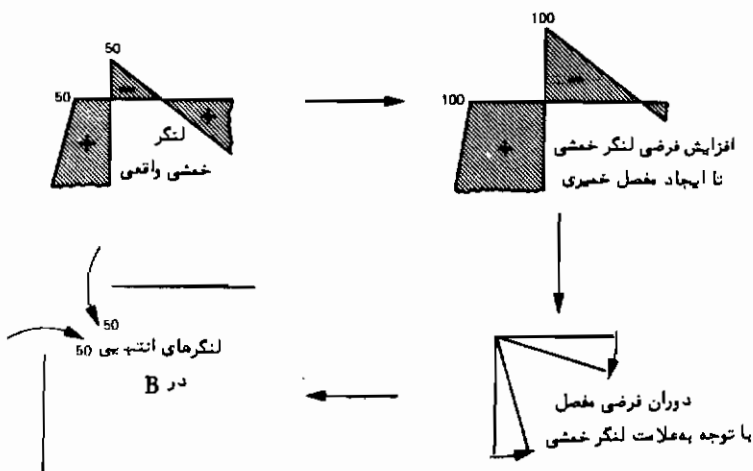
شکل ۶ - ۵

مرحله اول:

روش کار مجازی نشان می‌دهد که قاب به صورت یک مکانیزم مرکب با $\lambda_c = 50$ فسرو ریخته می‌شود. دیاگرام لنگرخمشی در فروریختگی و مکانیزم فروریختگی در شکل ۶-۵ ب و ج نشان داده شده است.

مرحله دوم :

همانگونه که شکل ۶-۵ د نشان می‌دهد در گسیختگی سازه به چهار قسم تقسیم می‌شود. در این حالت لنگرهای گیرداری انتهایی (FEM) وجود ندارد زیرا بارهای متغیر در انتهای اعضا، قرار دارند. بجز در نقطه B در تعیین جهت لنگرهای شکلی وجود ندارد. در این نقطه در مکانیزم مفصل خمیری وجود ندارد. برای تعیین جهت لنگرهای انتهایی فرض می‌شود که لنگر خمی در B تا تشکیل یک مفصل خمیری افزایش یابد. لنگرهای انتهایی برای جلوگیری از دوران آن مفصل فرضی وارد عمل می‌شوند. همان طور که در شکل ۶-۶ نشان داده شده است.



شکل ۶-۶

برای نوشتن معادلات شبیه - افت داشتن دو تغییر مکان لازم است. فرض می‌شود که تغییر مکان قائم در تیر، δ ، کوچک است بنابراین بالای هر دوستون به صورت افقی به اندازه یکسانی برابر با Δ حرکت می‌کند (در محاسبه بارهای فرو ریختگی نیز همین فرض مورد استفاده قرار گرفت). معادلات شبیه - افت عبارتند از:

$$\theta_{AB} = \frac{\Delta}{5} + \frac{5}{6EI} (-200 - 50) = \frac{\Delta}{5} - \frac{1250}{6EI}$$

$$\theta_{BA} = \frac{\Delta}{5} + \frac{5}{6EI} (+100 + 100) = \frac{\Delta}{5} + \frac{1000}{6EI}$$

$$\theta_{BC} = \frac{\delta}{5} + \frac{5}{6EI} (-100 + 100) = \frac{\delta}{5}$$

$$\theta_{CB} = \frac{\delta}{5} + \frac{5}{6EI} (50 - 200) = \frac{\delta}{5} - \frac{750}{6EI}$$

$$\theta_{CD} = -\frac{\delta}{10} + \frac{10}{6EI} (200 - 100) = -\frac{\delta}{10} + \frac{1000}{6EI}$$

$$\theta_{DC} = -\frac{\delta}{10} + \frac{10}{6EI} (-100 + 200) = -\frac{\delta}{10} + \frac{1000}{6EI}$$

$$\theta_{DE} = \frac{\Delta}{5} + \frac{5}{6EI} (-200 + 100) = \frac{\Delta}{5} - \frac{500}{6EI}$$

$$\theta_{ED} = \frac{\Delta}{5} + \frac{5}{6EI} (100 - 200) = \frac{\Delta}{5} - \frac{500}{6EI}$$

مرحله سوم

در نقطه B سازه هنوز ارتجاعی است. برای اینکه در نقطه B پیوستگی حفظ شود

$$\theta_{BA} = \theta_{BC}$$

با جابجاگی مقادیر θ_{BA} و θ_{BC}

$$\frac{\Delta}{5} + \frac{1000}{6EI} = \frac{\delta}{5}$$

که عبارت فوق رابطه بین دو تغییر مکان نامعلوم می‌باشد.

اکنون بهنوبت فرض می‌شود که هر مفصل، T خرین مفصل باشد.

A خرین مفصل است. در تکیه‌گاه گیردار A $\theta_{AB} = 0$ پس

$$\frac{1041.7}{EI} = \Delta \quad \delta = \frac{1875}{EI}$$

C خرین مفصل است. برای حفظ پیوستگی در C $\theta_{CB} = \theta_{CD}$ پس

$$\frac{\delta}{5} - \frac{750}{6EI} = -\frac{\delta}{10} + \frac{1000}{6EI}$$

$$\delta = \frac{972.2}{EI} \quad \Delta = \frac{138.9}{EI}$$

D خرین مفصل است. برای حفظ پیوستگی در D $\theta_{DC} = \theta_{DE}$ پس

$$-\frac{\delta}{10} + \frac{1000}{6EI} = \frac{\Delta}{5} - \frac{500}{6EI}$$

با جابجاگی مقدار δ خواهیم داشت.

$$-\frac{\Delta}{10} - \frac{500}{6EI} + \frac{1000}{6EI} = \frac{\Delta}{5} - \frac{500}{6EI}$$

$$\Delta = \frac{555.6}{EI} \quad \delta = \frac{1388.9}{EI}$$

E خرین مفصل است، در E تکیه‌گاه گیردار است $\theta_{ED} = 0$ پس

$$\Delta = \frac{416.7}{EI} \quad \delta = \frac{1250}{EI}$$

مرحله چهارم

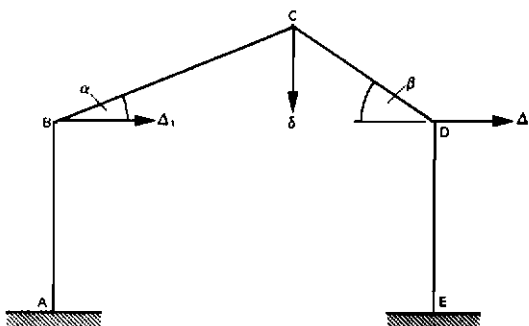
بیشترین تغییر مکان وقتی صورت می‌گیرد که A باشد از اینرو در موقع فرو ریختگی داریم:

$$\Delta = \frac{1041.7}{EI} \quad \delta = \frac{1875}{EI}$$

این قاب در فصل ۳ مورد استفاده قرار گرفت تا شکل گیری تدریجی مفصلهای خمیری نشان داده شود. نتایج تحلیل با استفاده از کامپیوتر به صورت قدم به قدم به روش تحلیل سختی به دست آمد. نتایج تحلیل (شکل ۶-۳) با مقادیر حاصله در مثال اخیر بکسان است.

۶-۲-۴ اعضای شیدار

بررسی سازه‌های با اعضای شیدار بدققت بیشتری نیاز دارد. شکل ۶-۷ یک قاب پرتابل شیدار را نشان می‌دهد. در اینجا نیز همچنان که در مکانیزم شیدار ملاحظه شد، مشکل، بکسان نبودن مقادیر تغییر مکان در بالای ستونها است ولذا رابطه دیگری بین



شکل ۶-۷

این تغییر مکانها باستی به دست آید . با توجه به شکل داریم :

$$\Delta_2 = \Delta_1 + \delta (\tan \alpha + \tan \beta) \quad (3-6)$$

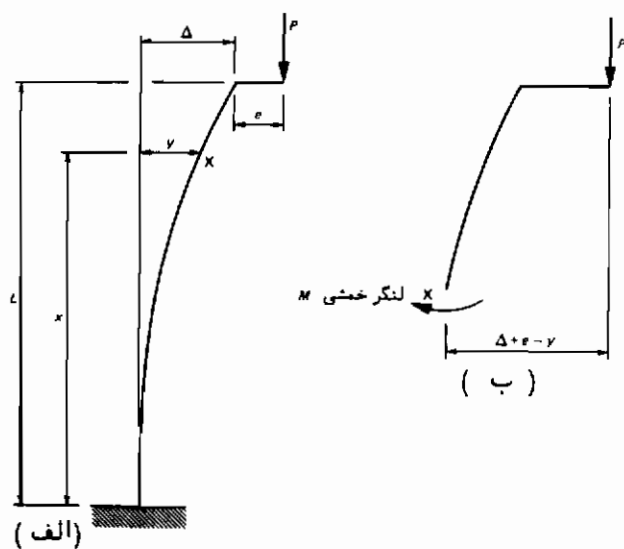
که δ تغییر مکان قائم در C می‌باشد . لازم به پادآوری است که در معادلات شب - افت تغییر مکانها عمود بر اعضای شیبدار (یعنی $\delta \sec \alpha$ و $\delta \sec \beta$) باستی مورد استفاده قرار گیرد .

۶ - ۳ اثر تغییر مکان روی بار فروریختگی

مثال‌های قسمت قبل نشان داد که قبل از شروع فروریختگی تغییر مکانها قابل ملاحظه‌ای می‌تواند به وجود بیاید . وبخصوص در مواردی که بهستونها نیروهای فشاری قابل توجهی وارد می‌شود ، تغییر مکانها ممکن است باعث ناپایداری شدیدی در قابها شوند . در این قسمت ابتدا اثراًین موضوع در بار فروریختگی به‌وسیله دو مثال بررسی می‌شود و سپس یک روش عملی مجاز در موارد ناپایداری ذکر می‌گردد .

۶ - ۳ - ۱ مثال هورن^۱ مربوط به یک سنون طره‌ای

هورن(۳) اثر تغییر مکانها را روی بار فروریختگی به‌خوبی نشان داده است مثال‌ویکی جامعتر در اینجا تکرار می‌گردد .



شکل ۶-۸ الف یک ستون طره‌ای را نشان می‌دهد، که در پایین گیردار و در باد آزاد می‌باشد یک نیروی قائم خارج از مرکزی در بالای ستون اعمال می‌شود، که باعث خمش و تغییر مکان جانبی می‌گردد. مشخصات ستون عبارتند از:

$$L = \text{طول} = 2 \text{ m}$$

$$e = \text{خارج از مرکزیت} = 0.1 \text{ m}$$

$$E = \text{ضریب ارجاعی (ضریب یانگ)} = 200 \text{ kN/mm}^2$$

$$\sigma_y = \text{تنش تسلیم} = 250 \text{ N/mm}^2$$

$$d = \text{پهنای مقطع، مقطع مربع شکل است} = 0.1 \text{ m}$$

بنابراین داریم:

$$I = \frac{d^4}{12} = 8.333 \times 10^{-6} \text{ m}^4$$

$$Z = \frac{d^3}{6} = 1.667 \times 10^{-4} \text{ m}^3$$

$$S = \frac{d^3}{4} = 2.5 \times 10^{-4} \text{ m}^3 \quad (\text{مدول خمیری})$$

$$A = \text{سطح مقطع} = d^2 = 0.01 \text{ m}^2$$

ابتدا رفتار ستون ارجاعی در نظر گرفته می‌شود. شکل ۶-۸ ب نمودار آزاد قسمتی از ستون (محل قطع نقطه X) را نشان می‌دهد. با تعادل لنگرها حول نقطه X داریم:

$$M = -P(\Delta + e - y)$$

با استفاده از رابطه لنگر - انتخا حاصله از نظریه خمش داریم:

$$EI \frac{d^2y}{dx^2} = -M = P(\Delta + e - y)$$

که به شکل زیر نوشته می‌شود

$$\frac{d^2y}{dx^2} + \alpha^2 y = \alpha^2(\Delta + e) \quad (4-6)$$

که $\alpha^2 = P/EI$. با این معادله دیفرانسیلی تغییر مکان‌های (y) ستون به دست می‌آید. با حل این معادله دیفرانسیلی (۱۵) خواهیم داشت:

$$y = (\Delta + e)(1 - \cos \alpha x) \quad (5-6)$$

با جابجاگری $L = x$ و $\Delta = \text{عدد معادله } 6 - 5$ تغییر مکان Δ در بالای ستون به دست می‌آید

$$\Delta = e(\sec \alpha L - 1)$$

با جایگزینی α و مشخصات ستون در معادله

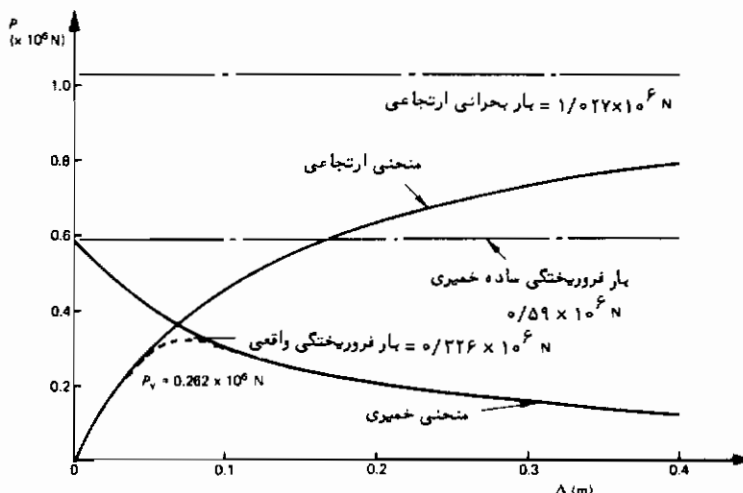
$$\Delta = 0.1 [\sec (1.55 \times 10^{-3} \sqrt{P}) - 1] \quad (6-6)$$

رابطه تغییر مکان - بار ($\Delta - P$) مربوط به معادله ۶ - ۶ در شکل ۶-۹ نشان داده شده است. اگرچه در تحلیل فرض شد که رفتار ارتجاعی است ولی بدلیل افزایش نایابی داری در ستون منحنی حاصله غیر خطی است. وقتی Δ به اندازه نامحدودی بزرگ شود.

$$\sec (1.55 \times 10^{-3} \sqrt{P_E}) = \infty$$

$$1.55 \times 10^{-3} \sqrt{P_E} = \frac{\pi}{2}$$

$$P_E = 1.027 \times 10^6 \text{ N}$$



شکل ۶ - ۹

می‌توان نشان داد که وقتی خروج از مرکزیت، e ، صفر است، عضو فشاری تا رسیدن به این بار مستقیم باقی می‌ماند، و پس از رسیدن به این بار کمانش جانبی خواهد کرد. P_e را "بار بحرانی ارتجاعی" با کمانشی ستون گویند. تنش حاصله در ستون ترکیبی از تنشهای محوری و خمشی است. بزرگترین تنش در

پایین ستون جایی که لنگرخمشی حداکثر است وجود دارد . وقتی این تنش به تنش تسلیم می‌رسد تحلیل ارجاعی صحت خود را از دست می‌دهد ، و این وقتی است که

$$\frac{P}{A} + \frac{P(\Delta + e)}{Z} = \sigma_y$$

با جابجایی مقادیر A و Z و Δ و e و σ_y داریم :

$$100P + 600P \sec(1.55 \times 10^{-3}\sqrt{P}) = 250 \times 10^6$$

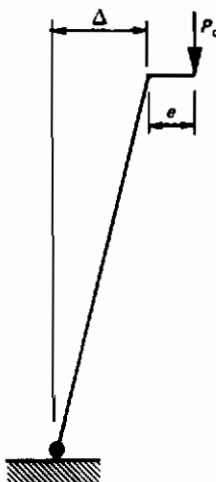
این معادله نسبتاً پیچیده بروش آزمون و خطا قابل حل است و توسط آن مقدار باوردر اولین لحظه جاری شدن به دست می‌آید .

$$P_y = 0.262 \times 10^6 \text{ N}$$

دبال کردن و ترسیم گسترش تنش ممکن ولی توام با پیچیدگی است لیکن اکنون بهتر است به فروریختگی ستون توجه شود . شکل ۱۰-۶ مکانیزم فروریختگی را نشان می‌دهد . ستون مانند میله‌ای می‌شود که حول مفصل خمیری در پایین آن دوران می‌کند . لنگر خمیری کاوش پافته ستون (با توجه به نیروی محوری) در مقابل دوران مقاومت می‌کند . با توجه به قسمت

۵ - ۲

$$\frac{M_p'}{M_p} = 1 - \left(\frac{P_c}{P_p} \right)^2$$



شکل ۱۰ - ۶

برای یک مقطع مستطیلی شکل با استفاده از

$$M_p = S\sigma_y = \frac{d^3\sigma_y}{4}$$

$$P_p = A\sigma_y = d^2\sigma_y$$

و با جایگزینی $P_c = nP_p$ داریم

$$M_p' = (1 - n^2) \cdot \frac{d^3\sigma_y}{4}$$

لنگر بار فروریختگی P_c حول پایه ستون باعث دزدان می‌شود ،

$$(Δ + e)P_c = (\Delta + e)nd^2\sigma_y$$

در موقع فروریختگی لنگر مخرب و لنگر مقاوم مساوی هستند زیرا ستون در حال تعادل است
بنابراین در موقع فروریختگی

$$(Δ + e)nd^2\sigma_y = (1 - n^2) \cdot \frac{d^3\sigma_y}{4}$$

که به شکل زیر نوشته می‌شود :

$$n^2 + \frac{4}{d}(\Delta + e)n - 1 = 0$$

با حل معادله درجه دوم فوق بار فروریختگی P_p بر حسب P_p بدست می‌آید . ولی حل مساله بستگی به تغییر مکان $Δ$ در بالای ستون دارد . بارهای فروریختگی بر حسب مقادیر متعدد $Δ$ در شکل ۹-۹ رسم شده است .

شکل ۹-۹ رفتار ستون را از بار صفر تا فروریختگی "مجموعاً" نشان می‌دهد . منحنی خط چین ، انتقال از حالت ارتجاعی را در حین گسترش جاری شدن در پایین ستون به طور تقریبی نشان می‌دهد . دو نکته قابل توجه وجود دارد .

۱ - قبل از ایجاد فروریختگی تغییر مکان قابل توجهی وجود دارد .

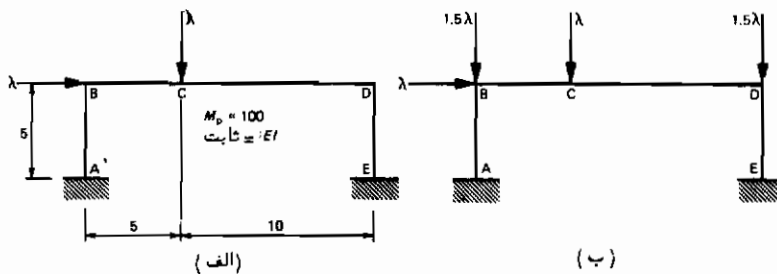
۲ - مکانیزم شکل ۹-۱۵-۱ جهت سهولت محاسبه بار فروریختگی خمیری به کار رفته است ولی با $Δ = 0$. بار ($N^{10} \times 10^{590} / 0$) به طور قابل توجهی بزرگتر از بار فروریختگی واقعی (تقریباً $N^{10} \times 10^{325} / 0$) می‌باشد .

این مثال نسبتاً خارج از محدوده عملی است ولی اثر تغییر شکل را قبل از فرو-

ریختگی نشان می‌دهد. در هر قابی که نیروهای محوری فشاری به ستونها وارد می‌شود، بار فروریختگی واقعی کمتر از بار فروریختگی حاصله از تحلیل ساده خمیری می‌باشد. این کاهش معمولاً "کمتر از آنچه در اینجا نشان داده شده است" می‌باشد (که در مثال بعد ملاحظه خواهد شد) ولی غیر قابل اعتماد است.

۶-۳-۲ مثال قاب پرتال

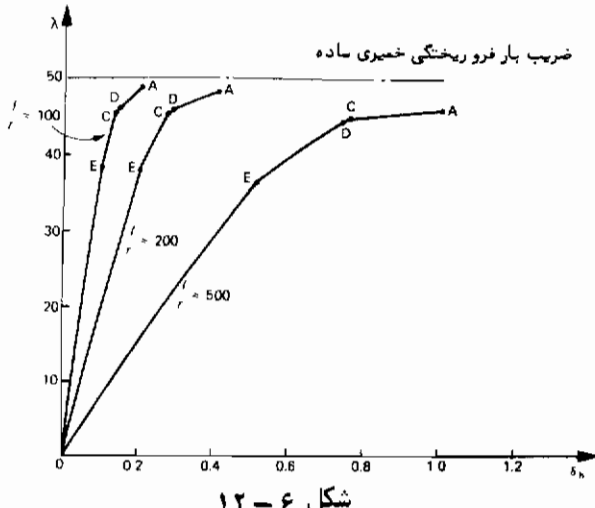
تحلیل فوق برای قاب پرتال پیچیده‌تر است. نحوه عمل مشابه مطالب قسمت ۳-۲ است که در آن از تحلیل سختی استفاده شده و با تشکیل هر مفصل خمیری سازه اصلاح شده است. به هر حال، برای ستونها بایستی با استفاده از توابع پایداری ماتریس سختی تشکیل داد (۱۴) تا اثر نیروی محوری روی سختی به حساب آورده شود. اکنون برای رسیدن به جواب بایستی بعازای هر ضرب بار، سازه را به طور متوالی تحلیل نمود، که هم مشکل و هم از نظر گرفتن وقت کامپیوتر غیر اقتصادی است.



شکل ۱۱-۶

CAB شکل ۱۱-۶ الف به روش فوق تحلیل شده که نتایج حاصله در شکل ۱۲-۶ آمده است. CAB، مشابه قابی است که در قسمتهای ۲-۳ و ۶-۲-۳ مورد استفاده قرار گرفت. در تحلیل اصلی (قسمت ۲-۳)، از اثرات بار محوری و تغییر مکان صرف نظر شد، و ضریب بار فروریختگی برابر با $h/55$ بود. فروریختگی CAB در اثر مکانیزم مرکب با مفصلهای تشکیل شده در نقاط A و D و C و E وجود نداشت. سه منحنی تغییر مکان - بار شکل ۱۲-۶ با استفاده از مقادیر مختلف EI اعضاء به دست آمده که این منحنیها بعازای لاغری $1/2$ ، ستونها برابر با مقادیر حدود ۲۰۰، ۱۰۰ و ۵۰۰ انتخاب شده‌اند. بارهای محوری در فاصله تشکیل هر مفصل خمیری باعث رفتار غیرخطی می‌شود. امامه‌تر از آن، ضریب بار فروریختگی را نیز کاهش می‌دهد. تغییر مکانهای بیشتر در سازه باعث کاهش بیشتر در ضریب بار می‌گردد در هر حالت مکانیزم تهایی، مکانیزم مرکب می‌باشد ولی در CAB با انعطاف‌پذیری زیاد

($I/r = 500$) تغییر مکانها در ترتیب تشکیل مفصلها تأثیر می‌گذارد . جدول ۶-۲ ضرایب بار فروریختگی را نشان می‌دهد .



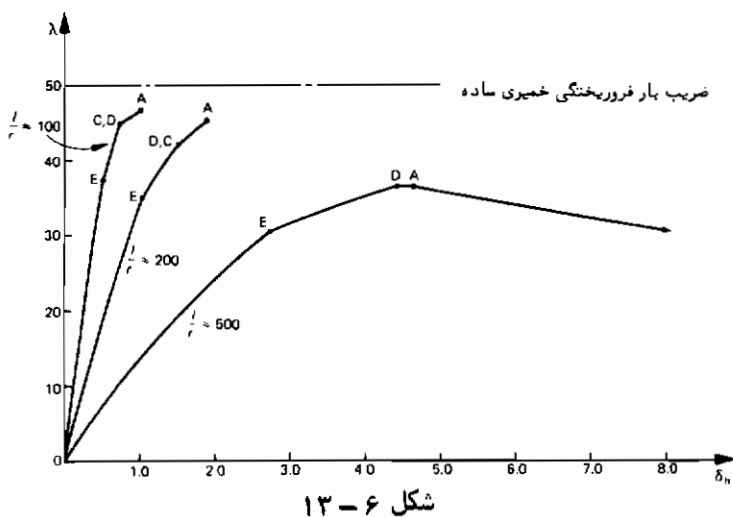
شکل ۶ - ۶

جدول ۶ - ۲

| نسبت لاغری (I/r) | 100 | 200 | 500 |
|----------------------------------|-------|-------|-------|
| ضریب بار فروریختگی کاهش پافته | 49.10 | 48.25 | 45.93 |

بیشترین کاهش حدود ۱۰ درصد است اگرچه نسبت I/r مربوطه یعنی ۵۰۰ بسیار زیادتر از مقادیر مربوط به قابهای واقعی است . نسبت I/r برابر با ۲۰۰ تقریباً "درحد عملی" است که به ازای آن کاهش ضریب بار حدود ۴ درصد می‌باشد .

کاهش ضریب بار فروریختگی در قابهای یک طبقه مشکل زیادی ایجاد نمی‌کند ولی در قابهای چند طبقه مسئله ساز است . در شکل ۶-۶ ب رفتار قاب چند طبقه به یک قاب پهتال با اضافه باری روی ستونها تشخیص شده است . بارهای اضافی نشان دهنده وزن سازه و بارگذاری در طبقات فوقانی است . همان طور که در شکل ۶-۳ ملاحظه می‌شود نتایج بدتر است . بارهای محوری زیادتر باعث تغییر مکانهای بیشتر و تغییر عمده در رفتار قاب می‌شوند . در جدول ۶-۳ بارهای فروریختگی و مکانیزمها آورده شده است .



(عمل) نتایج تحلیل سوال برانگیز است زیرا تفییر مکانها دیگر کوچک نیستند ولی حداقل نتایج حاصله موضوع را از نظر کیفی روشن می‌سازد).

جدول ۶

| نسبت لاغری | ضریب بار فروریختگی | مکانیزم فروریختگی |
|------------|--------------------|-------------------------------|
| 100 | 46.67 | فروریختگی خمیری، مکانیزم مرکب |
| 200 | 45.13 | فروریختگی خمیری مکانیزم مرکب |
| 500 | 36.60 | کمانش جانبی |

در قابهای با سختی بهتر ($l/r \leq 200$) هنوز فروریختگی به شکل مکانیزم مرکب رخ می‌دهد. در قاب با انعطاف پذیری زیاد قبل از ایجاد مکانیزم فروریختگی خمیری، سازه به حد اکثر بار خود می‌رسد. در این حالت وقتی سومین مفصل در A شکل می‌گیرد و سازه کمانش می‌کند، ناپایداری به وجود می‌آید، چنان که با افزایش بسیار سریع تفییر مکان می‌توان ملاحظه نمود.

وود^۱(۱۶) این رفتار را شرح داده است. درست وقتی که بار ستون مثال قسمت قبل به مقدار بحرانی ارتجاعی رسید، قاب نیز به وضعیت بحرانی می‌رسد(هرن آ و مرچنت^۲(۱۴) روشی برای تعیین مقدار آن پیشنهاد کردند). معمولاً "این بار بسیار بزرگتر از بار فروریختگی خمیری می‌باشد، چنان که در جدول ۶-۴ ملاحظه می‌شود. به‌هرحال، وقتی که مفصل خمیری شکل می‌گیرد، سختی قاب کاهش می‌یابد. اکنون بار بحرانی ارتجاعی قاب، باری برای قاب اصلاح شده با مفصل بدون اصطکاک واقع در محل مفصل خمیری می‌باشد.

| λ_R | λ_c (تحلیل) | λ_c (اصلی) | قاب اصلی | قاب اصلاح شده | ضریب بار فروریختگی | λ_c / λ_R |
|-------------|---------------------|--------------------|----------|---------------|--------------------|---------------------------|
| 48.9 | 50.0 | 2124 | 400 | 49.10 | 100 | |
| 47.8 | 50.0 | 1062 | 200 | 48.25 | 200 | |
| 44.7 | 50.0 | 424 | 80 | 45.93 | 500 | |
| 45.7 | 50.0 | 531 | 200 | 46.67 | 100* | |
| 42.1 | 50.0 | 265 | 100 | 45.13 | 200* | |
| 34.0 | 50.0 | 106 | 7.6 | 36.60 | 500* | |

جدول ۶-۴ * قاب مطابق شکل ۱۱-۶ بارگذاری شده است.

قاب و بار بحرانی ارتجاعی همچنان که هر مفصل تشکیل می‌شود بایستی متواالیاً اصلاح شود. جدول ۶-۴ همچنین بار بحرانی ارتجاعی منوط به قاب اصلاح شده را موقعي که سومین مفصل خمیری گرفته است، نشان می‌دهد، در قاب انعطاف‌پذیر($I/r = 500$) بار بحرانی ارتجاعی کمتر از بار اعمال شده است بنابراین کمانش بایستی به وجود آید.

۶-۳-۳ ضریب بار رانکین^۴-مرچنت

افرات نیروی محوری و تغییر مکان نسبتاً "مخرب هستند. احتمالاً" بجز برای قابهای

۱-Wood

۳-Merchant

۲-Horne

۴-RANKINE - MERCHANT

یک طبقه، محاسبه بار فروریختگی خمیری ساده کافی نیست. همچنین استفاده از تحلیل کامپیوتربی غیرخطی، سادگی و ظرفات کار را از بین می‌برد.

سازه‌های خیلی سخت در بار فروریختگی خمیری ساده گسیخته می‌شوند در حالی که سازه‌های با انعطاف‌پذیری زیاد در بار بحرانی ارجاعی کمانش خواهند کرد. عموماً، این بارها بدون تولید اشکال زیاد تعیین می‌شوند. مرچنت بر اساس ضریب افزایشی رانکین که در تحلیل عضو فشاری مورد استفاده قرار گرفت و به‌کمک فروریختگی خمیری ساده و بارهای بحرانی ارجاعی، یک مقدار تقریبی برای نزدیک شدن به ضریب بار فروریختگی واقعی پیشنهاد کرد.

(بار فروریختگی خمیری ساده به‌وسیله روش‌های بیان شده در فصلهای ۳ و ۴ به دست می‌آید، که در آن از تغییر مکان و بارهای محوری صرف نظر شده است) . این مقدار تقریبی، به ضریب بار رانکین - مرچنت، معروف است که با معادله زیر به دست می‌آید.

$$\frac{1}{\lambda_R} = \frac{1}{\lambda_c} + \frac{1}{\lambda_e} \quad (7-6)$$

که در آن

$$\text{ضریب بار فروریختگی خمیری ساده} = \lambda_c$$

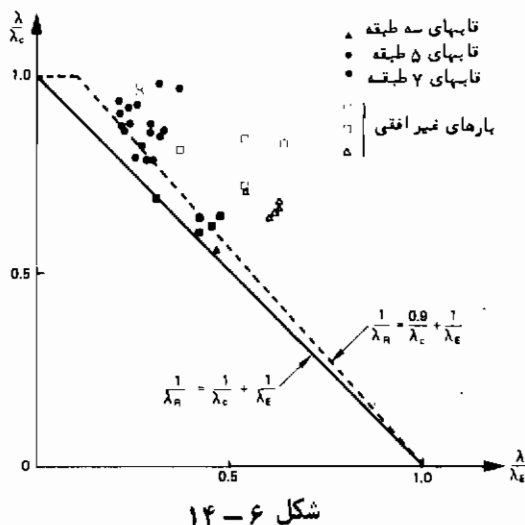
$$\text{ضریب بار بحرانی ارجاعی} = \lambda_e$$

بهمراه نتایج بارهای فروریختگی قابهای متعدد که توسط لو^۱ آزمایش شده‌اند رابطه فوق در شکل ۷-۱۴ رسم شده است.

ضریب بار رانکین مرچنت در هر حالت نسبت به ضریب بار فروریختگی آزمایش شده دارای تقریبی در جهت اطمینان است.

ضرایب بار رانکین مرچنت برای قابهای پرتال قسمت قبل در جدول ۷-۳ وردیده شدند. در هر حالت تقریب رانکین مرچنت نزدیک به ضریب بار فروریختگی نظری ولی کمتر از آن می‌باشد.

همان گونه که در شکل ۷-۱۴ نشان داده شده است مقدار λ_R محافظه کارانه است و این تا حدی ناشی از بروز کرنش سختی در طول آزمایش می‌باشد. وود برای به دست آوردن تقریب بهتری معادله ۷-۶ را به صورت زیر تصحیح کرده است.



شکل ۶ - ۱۴

$$\begin{aligned} \lambda_R &= \lambda_c \quad \text{وقتی که } \frac{\lambda_e}{\lambda_c} > 10 \\ \frac{1}{\lambda_R} &= \frac{0.9}{\lambda_c} + \frac{1}{\lambda_e} \quad > 10 \text{ وقتی که } \frac{\lambda_e}{\lambda_c} > 4 \end{aligned} \quad (A-6)$$

رابطه فوق به موسیله خط چین در شکل ۶ - ۱۴ نشان داده شده است. همان طور که ملاحظه می شود این رابطه نسبت به رابطه رانکین مرجنت تطابق بهشتی با نتایج آزمایشات دارد. وقتی $\lambda_e/\lambda_c < 4$ ، وود اظهار می دارد که تحلیل ساده کفايت نمی کند. احتمال می رود که معادله اصلاحی وود در آینه نامه جدید بریتانیا برای طراحی سازه های فولادی به کار رود.

۶ - ۴ جمع بندی

در این فصل دو موضوع عنوان شد: محاسبه تغییر مکان در موقع فروریختگی و اثر آن (و اثر نیروهای محوری) روی بار فروریختگی سازه. در ابتدا نشان داده شد که در بعضی حالات دانستن مقدار تغییر مکان قبل از فروریختگی مهم است، زیرا کنترل تغییر مکانها ممکن است نسبت به ظایم استحکام سازه مسئله تعیین کننده و بحرانی تری پاشد سهیں روش شبیب - افت برای محاسبه تغییر مکانها مورد نظر قرار گرفت. مراحل مختلف این روش عبارت است از:

۱ - تعیین مکانیزم فروریختگی، ضریب بار مربوطه، نمودار لنگر خمشی و لنگرهای

انتهایی (شامل لنگرهای گیرداری انتهایی) هر عضو سازه.

۲- نوشتن معادلات شبیه - افت برای هر عضو.

۳- به دست آوردن رابطه بین تغییر مکانهای نامعلوم مختلف با درنظر گرفتن پیوستگی در اتصال هر عضو به طوری که ارجاعی بودن آن به وسیله نمودار لنگر خمشی نشان داده می شود. محاسبه تغییر مکانها، با توجه به اینکه به نوبت فرض شود هر یک از مفصلها آخرین مفصل تشکیل شده باشد.

۴- انتخاب مفصلی که در آخر تشکیل می شود و تعیین تغییر مکانهای مربوطه به وسیله نظریه تغییر مکان.

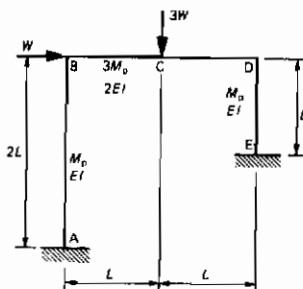
آخرین قسمت این فصل بررسی رفتار غیرخطی ناشی از نیروهای محوری اعضاء بود. نشان داده شد که اثر آن نیروها کاهش ضریب بار فروریختگی سازه است. این کاهش بستگی به سختی سازه دارد (که به وسیله نسبت لاغری محاسبه شد). سختی کمتر باعث تغییر مکان بیشتر و کاهش ضریب بار فروریختگی می شود. در قابهای یک طبقه کاهش فوق برای سازهای که سختی نسبی ستونهای آن معمولی می باشد معمولاً قابل ملاحظه نیست. در قابهای چند طبقه کاهش می تواند جدیتر باشد و قبل از آن که فروریختگی خمیری به وجود آید کماش زود رس اتفاق بیفتد. ضریب بار رانکین مرچنت ارائه شد تا تخمین خوبی از ضریب بار فرو ریختگی به دست آید، اگرچه در مقایسه با نتایج آزمایشات به نظر می رسد نسبتاً دست بالاست. اصلاحی که وود انجام داد ضریب بار را به نتایج آزمایشها نزدیکتر کرد.

۶-۵ مسائل

۶-۱ یک تیر با دو انتهای گیردار به دهانه L بار قائمی برابر با W را که به فاصله $3L/4$ از تکیه گاه سمت چپ قرار دارد تحمل می کند. با فرض این که M_p و EI برای تیر ثابت باشد، تغییر مکان قائم را در موقع فروریختگی زیر بار تعیین کنید.

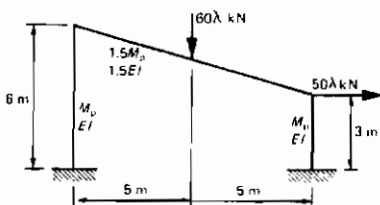
۶-۲ به یک تیر پیکسر گیردار پیکسر مفصل به دهانه L بار گسترده پکتواخت w در واحد طول اعمال می شود. تغییر مکان قائم را در موقع فروریختگی در مفصل خمیری نزدیک وسط دهانه تعیین کنید. فرض کنید M_p و EI ثابت هستند.

۶-۳ تغییر مکانهای قائم وافقی در وسط دهانه قاب پرتال شکل ۶-۱ را در موقع فرو ریختگی محاسبه کنید.



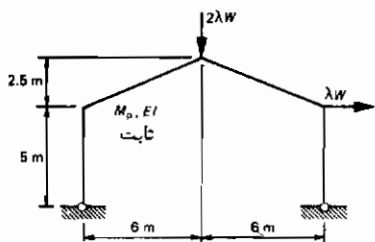
شکل ۶ - ۱۵

۶-۵-۴ تغییر مکان جانبی قاب نشان داده شده در شکل ۶-۶ در بالای هردو ستون در موقع فروریختگی یکسان است . مقدار آن را تعیین کنید ، داده‌های مسئله $EI = 10\,000 \text{ kN m}^2$ و $M_p = 100 \text{ kN m}$ می‌باشد .



شکل ۶ - ۱۶

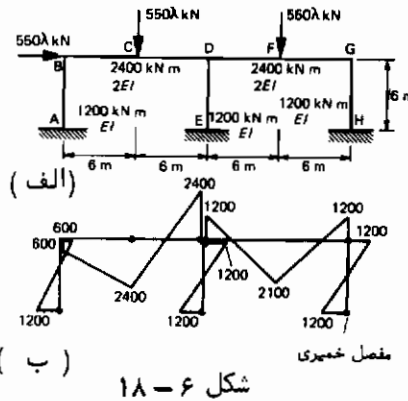
۶-۵-۵ قاب شیبدار نشان داده شده در شکل ۶-۷ به صورت مکانیزم مرکب به‌ازای $\lambda W = 5M_p/22$ فروریخته می‌شود . تغییر مکانیسات قائم و افقی راس قاب را در موقع فرو ریختگی محاسبه کنید .



شکل ۶ - ۱۷

۶-۵-۶ قاب دو دهانه شکل ۶-۸-الف دارای ضرب باره / ۲ در فروریختگی است . نمودار

لنگر خمشی در موقع فروریختگی و مفصلهای خمیری در شکل ۶-۱۸ ب نشان داده شده است. تغییر مکان افقی در B و تغییر مکان قائم در C و F را در موقع فروریختگی محاسبه کنید. (توجه: در B و F مفصلهای خمیری وجود ندارد).



شکل ۶-۱۸

۶-۵-۷ به یک تیر دو سرگیردار به طول L یک نیروی محوری P و یک بارگستردۀ یکنواخت برابر $P/2L$ در واحد طول وارد می‌شود. مقطع تیر مستطیلی به عرض b و ارتفاع d است بنابراین

$$M_p = \frac{bd^2}{4} \sigma_y \quad P_p = bd\sigma_y$$

ولنگر خمیری کاهش یافته ناشی از نیروی محوری، M_p' به صورت زیر است

$$M_p' = M_p(1 - n^2)$$

که $n = P/P_p$ است. فرض کنید که $d = L/24$ باشد.

(الف) بار فروریختگی خمیری ساده (بر حسب P) را محاسبه کنید، از روش نمودار لنگرخمشی واکنش و آزاد استفاده نمایید.

(ب) نشان دهید که وقتی یک تغییر مکان محدود Δ در مفصل وسط دهانه وجود دارد بار فروریختگی کاهش یافته با حل معادله زیر به دست می‌آید.

$$\frac{\Delta}{L} = \frac{1}{48} \left(\frac{1}{n} - 3 - n \right)$$

(ج) تغییر مکان ارجاعی در وسط دهانه به صورت زیر است.

$$\frac{\Delta}{L} = \frac{n}{32(3-n)}$$

تخمینی از بار فروریختگی واقعی تیر به دست آورید (برحسب P)

(د) بار رانکین مرچنت را (برحسب P) به دست آورید . بار بحرانی ارتجاعی از معادله بند (ج) به دست می آید .

استفاده از روش‌های خمیری در سازه‌های بتن آرمه

۱-۷ مقدمه

در برخورد اول به نظر می‌رسد سازه‌های بتنی شاهت کمی به سازه‌های فولادی دارند. اما با شگفتی غیرمنتظره‌ای تیرهای بتن آرمه (RC) به علت خصوصیات میله‌گردانی فولادی که تعیین کننده رفتار تیر است در موارد خاصی مشابه تیرهای فولادی عمل می‌کنند. حداکثر لنگرخمشی که هر مقطع می‌تواند تحمل کند، که معمولاً "لنگر مقاوم مقطع" نامیده می‌شود، مشابه لنگر خمیری تیر فولادی محاسبه می‌شود. آزمایش‌های زیاد روی تیرهای بتن آرم‌نشان داده است که لنگر مقاوم محاسبه شده بسیار به مقدار آزمایشی نزدیک است. این موضوع قابل استفاده بودن نظریه را تأیید می‌کند. در قسمت ۲-۷ جزئیاتی از تحلیل مقاطع بتن آرمه که فقط لنگرهای خمیری تحمل می‌کنند شرح داده می‌شود.

متاسفانه، مشکلاتی در به کارگیری روش‌های خمیری در مورد قابهای بتن آرمه وجود دارد. تحلیل لنگر مقاوم نشان می‌دهد که مقاطع بتن آرمه ظرفیت زیادی برای دوران خمیری ندارند. این همان ظرفیتی است که برای انجام باز توزیع لنگرهای لازمه روش‌های خمیری است ضروری می‌باشد. قسمت ۳-۷ روش می‌سازد که اگر ظرفیت دوران خمیری افزایش یابد چه می‌شود.

علی‌رغم این مشکلات، در روش جدید طراحی بتن آرم‌بریتانیا بی جهت استفاده از فواید نظریه خمیری در زمینه‌های خاصی تجاری حاصل شده و در قسمت ۴-۷ چگونگی دستیابی به آنها شرح داده شده است.

بایستی تأکید شود که در این فصل فقط به چگونگی استفاده از نظریه خمیری در مورد قابهای بتن آرمه پرداخته می‌شود. خواننده بایستی در مورد ابعاد دیگر طراحی بتن آرمه به منابع مناسب دیگر مراجعه نماید (۱۹ و ۲۰).

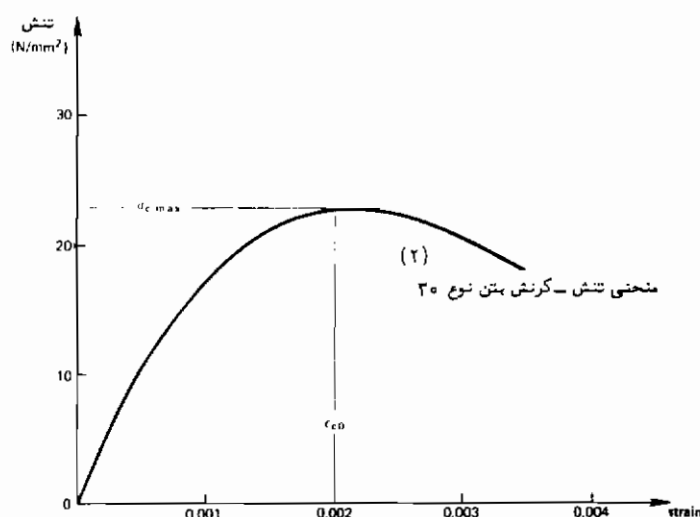
۲ - رفتار خمی می بتن آرمه

۲ - ۱ فرضیات

در فصل ۲ نشان داده شد که چگونه در اعضای فولادی، مفصلهای خمیری شکل می‌گیرد. تیرهای بتن آرمه را نیز می‌توان همان گونه در نظر گرفت، اگرچه تحلیل آنها پیچیده‌تر است. فرضیات زیر ضروری است.

- ۱ - صفحات پس از خمش مسطح باقی می‌مانند بنا بر این کرنش‌های طولی مستقیماً مناسب با فاصله از محور کرنش صفر می‌باشند. به کمک تحقیقات مختلف نشان داده شده است که تا مرحله شکست این فرض اساساً صحیح است. (۲۰ و ۲۱)
- ۲ - بتن مقاومتی در کشش ندارد.

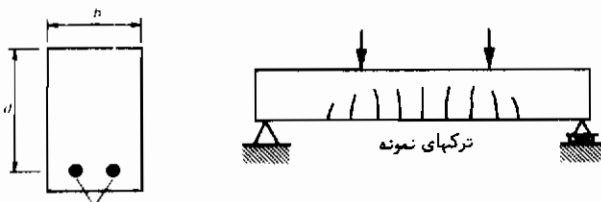
۳ - منحنی تنش-کرنش فشاری‌ناشی از خمش برای بتن، مشابه شکل مربوط به آزمایش فشار مستقیم است ولی حداکثر تنش مربوط به آن کوچکتر است زیرا در آن بتن تحت تأثیر قیدهای مختلف است. هوکنستاد منحنی شکل ۷-۱ را پیشنهاد کرده است. حداکثر کرنش و تنش در بتن بستگی به مقاومت فشاری آن دارد (۲۱). تنش به حداکثر مقدار خود می‌رسد و سپس قبل از آن که شکسته شود کاهش می‌یابد.



شکل ۲ - ۱

۴-۲-۲ تیرهای (RC) تنها با فولاد کششی

در شکل ۴-۷ مقطع و ارتفاع یک تیر بتنی مستطیلی نشان داده شده است که تحت بارگذاری قرار گرفته است. علاوه بر فولادهای کششی افقی نشان داده شده در مقطع، میله‌های قائمی نیز وجود دارد که مقاومت برخی را افزایش می‌دهد. ترکهای قائم در بتن تمایل دارند که در نزدیکی این میله‌های تشکیل شوند. لنگر خمشی در فاصله بین دو نیروی واردۀ قائم ثابت است بنابراین از نظر تئوری در آن فاصله پخش کرنش در مقاطع باید یکسان باشد. در بتن تحت فشار این موضوع به طور معقولی صحیح است ولی به دلیل وجود ترکها روشن است که در منطقه کششی چنین نخواهد بود. آزمایشها (۲۲) نشان داده است که کرنش در فولاد تغییر می‌کند و در محل ترکها حداقل مقدار را دارد. این تغییرات ناشی از پیوستگی فولاد و بتن واقع در حد فاضل بین ترکها می‌باشد. در محاسبات از این تغییرات صرف نظر می‌شود، ولی پیوستگی نباید فراموش شود. بدون وجود پیوستگی بتن مسلح وجود نداشته و بتن و فولاد به صورت یکپارچه وارد عمل نمی‌شوند.



سطح فولاد کششی

شکل ۴-۷

یک تیر بتنی که از بتنی با مقاومت مکعبی ۲۸ روزه برابر N/mm^2 ساخته شده است با درصد های مختلف مقدار فولاد نرم و یا فولاد مقاومت بالا ($1004_s/bd$) تحلیل شده است. در جدول های ۱-۷ و ۲-۷ اطلاعات مربوط به مصالح درج شده و منحنی تنش-کرنش بتن به صورت دو منحنی سهمی زیر در نظر گرفته شده است.

$$\sigma = 0.76 f_{cu} \frac{\epsilon}{\epsilon_{co}} \left(2 - \frac{\epsilon}{\epsilon_{co}} \right) \quad \epsilon < \epsilon_{co} \quad (1-7)$$

$$\sigma = 0.76 (f_{cu} - 2.85 \times 10^6 (\epsilon - \epsilon_{co})^2) \quad \epsilon > \epsilon_{co} \quad (2-7)$$

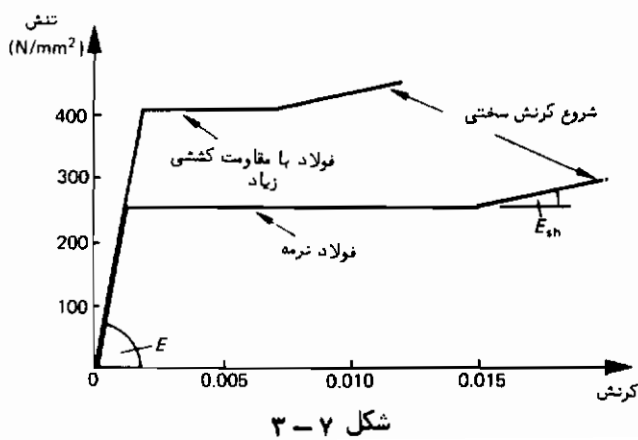
از آنجا که پخش کرنش معلوم است (با توجه به فرض اول) تنشهای فولاد و بتن با استفاده از منحنیهای تنش-کرنش منوطه به دست می‌آیند.

جدول ۲ - ۱ مشخصات بتن

| | |
|---|--------|
| مقاومت مکعبی (N/mm ²) | 30 |
| $\sigma_c \text{ max}$ (N/mm ²) | 22.8 |
| ϵ_c در شکست | 0.0035 |
| ϵ_{co} | 0.002 |

جدول ۲ - ۲ مشخصات فولاد

| | فولاد نرم | با مقاومت بالا |
|--------------------------------|-----------|----------------|
| تنش تسلیم (N/mm ²) | 250 | 410 |
| E (kN/mm ²) | 210 | 205 |
| کرنش تسلیم | 0.00119 | 0.002 |
| کرنش در شروع کرنش سختی | 0.015 | 0.007 |
| E_{sh} (kN/mm ²) | 8.4 | 8.2 |



(در شکل ۳-۷ منحنی نمونه برای فولاد نشان داده شده است). توزیع تنش در مراحل مختلف در شکل ۴-۷ نشان داده شده است. در هر مرحله مقطع را می‌توان بهمان روشی که در فصل ۲ برای مقطع فولادی بیان شد تحلیل کرد. اشکال در اینجاست که محور کرنش صفر را معمولاً "بهطور مستقیم نمی‌توان به دست آورد". مراحل تحلیل در زیر آمده است.

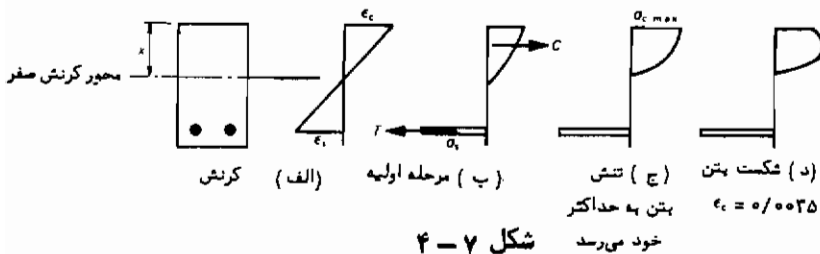
۱- کرنش بتن و مقدار اولیه‌ای برای x (که محل محور کرنش صفر را مشخص می‌کند، مطابق شکل ۴-۷) انتخاب کنید.

۲- نیپروی فشاری C در بتن و کششی T در فولاد را محاسبه کنید.

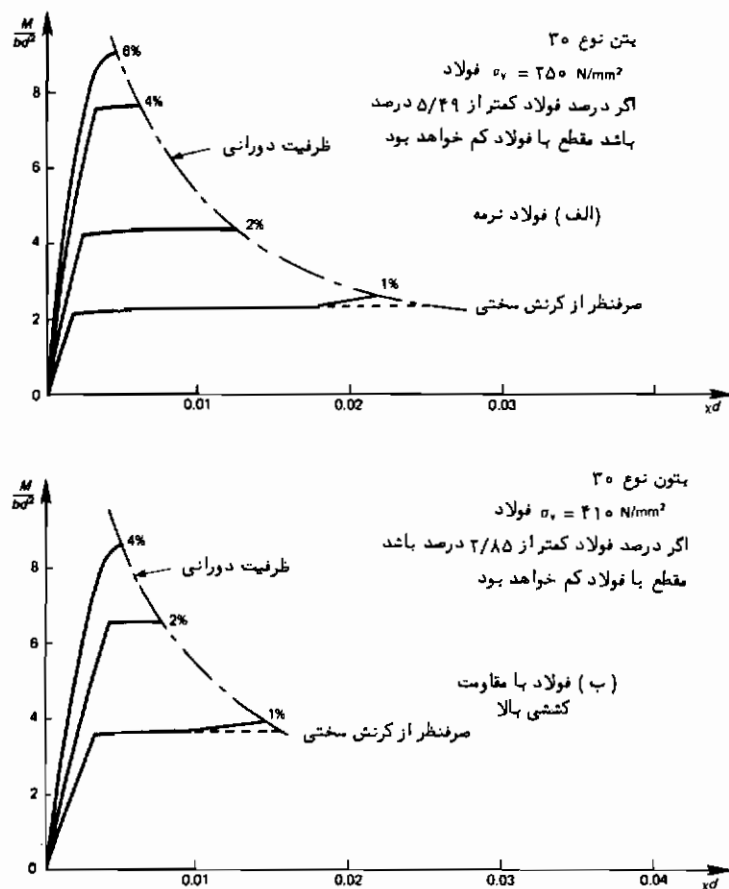
۳- برای تعادل افقی نیپروها، $C = T$. اگر اختلاف بین آنها بیشتر از $1/5$ درصد شد، x را تصحیح کرده و به بند (۲) مراجعه کنید.

۴- لنگر C و T را حول محور کرنش صفر محاسبه کنید، مجموع آنها لنگر خمی است که به کرنش انتخاب شده بتن مربوط می‌شود. مجموع کرنش‌های فولاد و حداکثر بتن تقسیم بر d ، انحنای مربوطه را به دست می‌دهد (به فصل ۲ مراجعه شود).

تقارب جواب تحلیل همیشه سریع نیست و البته کامپیوتر کوچکی لازم است.



نتایج مربوط به منحنیهای لنگر-انحنای در شکل ۴-۵ نشان داده شده است. به ازای درصد‌های کم فولاد منحنی‌ها بسیار شبیه به تیرهای فولادی است. یک خط تقریباً "مستقیم اولیه نشان دهنده رشد سریع لنگر در اثر افزایش انحنای کوچک می‌باشد (مربوط به منطقه ارتیگاری). این خط سپس خمیده می‌شود بهطوری که در آن بغاز افزایش بسیار کوچکی در لنگر، انحنای زیادی حاصل می‌گردد (مربوط به دوران خمیری). همچنان که درصد فولاد افزایش می‌باید حداکثر لنگر بهصورت متناسب زیادتر می‌شود، ولی همزمان با آن در حداکثر انحنای کاوهشی بوجود می‌آید.



شکل ۷ - ۵

افزایش سریع انحنای‌ها فولاد کم در اثر جاری شدن فولاد قبل از رسیدن بتن به حد اکثر تنش ایجاد می‌گردد. این حالت را حالت "با فولاد کم" گویند. انحنای زیاد باعث افزایش زیادی در تغییر مکان می‌شود بنابراین اطلاع قبلی از شکست وجود دارد، شکستی که نهایتاً در اثر انهدام بتن بوجود می‌آید.

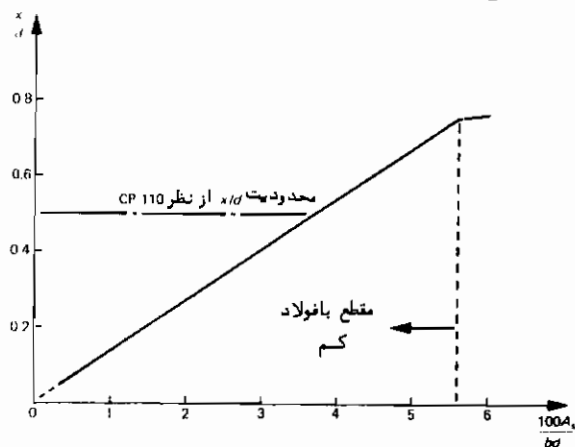
با زاء درصد های زیاد فولاد، شکست بسیار ناگهانی و غالباً انفجاری است و قبل از شکست افزایش زیادی در تغییر مکان وجود نخواهد داشت. بتن قبل از جاری شدن فولاد منهدم می‌شود. این حالت را حالت "با فولاد زیاد" گویند.

در مقاطع با فولاد کم به طور معمولی فولادها کنترل کننده هستند و این مقاطع شبیه به تیرهای فولادی رفتار می‌کنند. سرانجام در حالی که حد اکثر کرنش بتن به مقدار حدی آن

رسید (در این مثال ۵۰٪ در نظر گرفته شده است) که این مقدار بماندازه قابل توجهی کمتر از حد اکثر معکوس کرنش فولاد است، بتن شکسته می‌شود، بنابراین ظرفیت دوران خمیری در مقایسه با تیرهای فولادی بسیار محدود است. در مقاطعه با فولاد زیاد ترد شکنی بتن کنترل کننده است. در این حالت دوران خمیری بوجود نمی‌آید.

بهارای درصد فولاد خیلی کم علاوه بر آنها در لنگر نیز افزایش مشخصی درست قبل از شکست به وجود می‌آید که ناشی از اثر کرنش سختی در فولادهاست. تفاوت اساسی دیگری بین رفتار حالت با فولاد کم و حالت با فولاد زیاد وجود دارد. شکل ۷-۶ موقعیت محور کرنش صفر را در شکست برای درصدهای مختلف فولاد نشان می‌دهد. افزایش فولاد باعث پایین افتادن محور می‌شود.

محدود کردن موقعیت محور کرنش صفر وسیله مناسبی برای جلوگیری از مشکلات ناشی از حالت با فولاد زیاد می‌باشد.

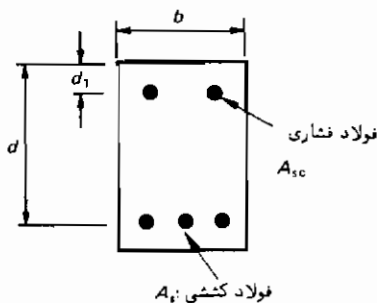


شکل ۷-۶

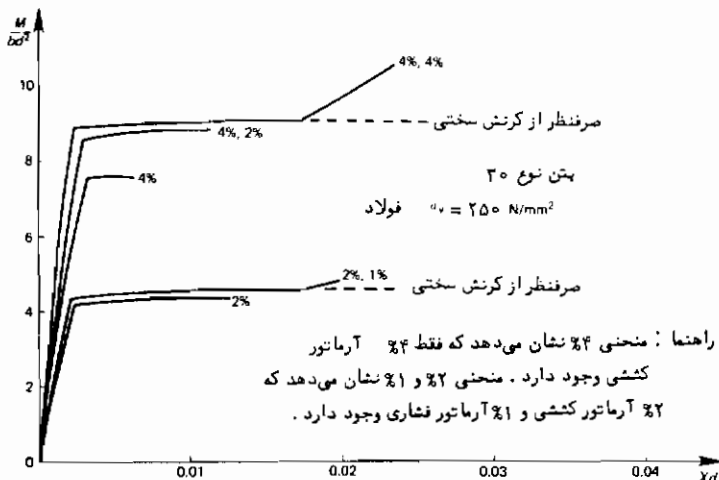
۷-۲-۳- تیرهای با فولاد کششی و فشاری

در تمام تیرهای بتن آرمه در عمل مقداری فولاد فشاری قرار داده می‌شود. مقدار این فولاد که غالباً "برای نگه داشتن میله‌های برشی در اجرا به کار می‌رود" اسمی است، اما ممکن است از آن برای بالابردن مقاومت فشاری در منطقه بتن فشاری استفاده گردد. در شکل ۷-۷ مقطع نمونه‌ای نشان داده شده است، از روی که قبلاً بیان شد می‌توان برای تحلیل استفاده کرد، با این تفاوت که در این حالت نیروی اضافی فولاد فشاری نیز اضافه می‌شود. در شکل ۷-۸ با فرض $d/d = 0.1$ نتایج تحلیل نشان داده شده است.

نتایج نشان می‌دهد که فولاد فشاری علاوه بر افزایش ظرفیت لنگر مقطع، ظرفیت دوران خمیری مقطع را نیز افزایش می‌دهد. این افزایش در بعضی حالات قابل ملاحظه می‌باشد.



شکل ۷-۲



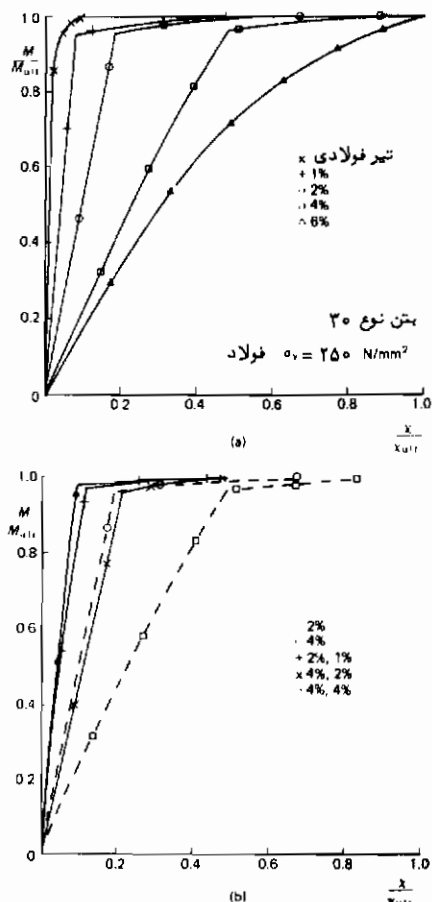
شکل ۷-۳

۷-۴ رابطه لنگر - انحنای

تحلیلهای مطرح شده در دو قسمت قبل در دو نمودار شکل ۹-۷ جمع‌بندی شده‌است. نمودارها بر حسب رابطه بین لنگر و انحنای رسم شده‌اند. در شکل ۹-۷ الف نتایج مربوط به تیرهای شامل درصد های مختلف فولاد کشی با تیرفولادی نمونه مقایسه شده است. شکل بطور روشن نشان می‌دهد که چگونه نسبت انحنای مربوط به دوران خمیری با افزایش فولاد کاهش می‌پابد. همچنین نشان می‌دهد که تیر فولادی ظرفیت دوران خمیری بسیاری زیادی دارد. شکل ۹-۷ ب اثر سودمند فولاد فشاری را در

افزایش دوران خمیری نشان می‌دهد.

نتایج بر حسب مقاومت‌های مختلف بتن تغییر می‌کند. اما همیشه شکست در حالات با فولاد کم و زیاد تعریف مشخصی دارد. جدول ۳-۷ درصد فولاد و موقعیت محور کرنش صفر را (بر حسب x/d) در لحظه تغییر وضعیت^{*} از حالت با فولاد کم به حالت با فولاد زیاد برای مقاومت‌های مختلف بتن و انواع مختلف فولاد نشان می‌دهد. نتایج استفاده شده در این فصل شکل نظری دارد ولی آزمایشها صحت نظریه را برای بیان رفتار مقاطع بتن آرمه اثبات می‌کنند. تحلیل به کار رفته برای هر شکل از تیر بتونی و حتی ستون‌های بی‌که تحت اثر لنگر و نیروی محوری هستند قابل استفاده است.



شکل ۹-۲

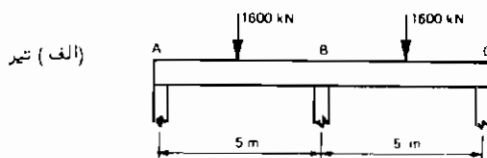
* حالت متعادل (متترجم)

شکل ۳-۷

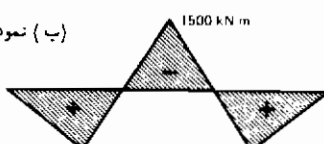
| نوع بتن | فولاد | | فولاد با مقاومت کششی بالا | |
|------------|-------|-------|---------------------------|-------|
| | % | x/d | % | x/d |
| 20 | 4.11 | 0.75 | 2.14 | 0.64 |
| 25 | 4.85 | 0.75 | 2.53 | 0.64 |
| 30 | 5.49 | 0.75 | 2.85 | 0.64 |
| 40 | 6.63 | 0.74 | 3.43 | 0.62 |
| 50 | 7.62 | 0.72 | 3.91 | 0.61 |

۷-۳ اگر ظرفیت دوران خمیری کافی نباشد چه می‌شود؟

تیر بتن آرمه یکسره شکل ۱۵-۷ را در نظر بگیرید. تحلیل ارجاعی (نمودار لنگر خمی) شکل ۱۵-۷ (ب) نشان می‌دهد که بزرگترین لنگر خمی در تکیه گاه میانی واقع است. فرض کنید که این لنگر بالنگرهایی مقطع بتن آرمه مساوی باشد، بر حسب مقدار فولاد در تیر دو حالت ممکن است اتفاق بیفتد. قسمتهای ج و د شکل ۱۵-۷ حالات مختلف را نشان می‌دهد.



(ب) نمودار لنگر خمی ارجاعی



(ج) مولاد کم (متلا "۲۲")

1250 kNm

1250 kNm

(د) مولاد زیاد (متلا "۲۴")

1500 kNm

منخل خمیری در B تشکیل می‌شود

توزیع مجدد لنگر به وجود می‌آید و بار تأمیندار

(1800 kN) از روی هر دهانه می‌تواند افزایش یابد

نمودار لنگر خمی در فوریه خنکی

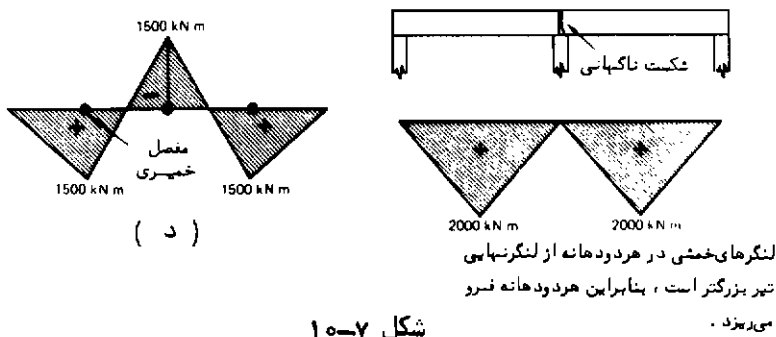
امکان دوران خمیری وجود ندارد.

در B تردشکی اتفاق می‌افتد.

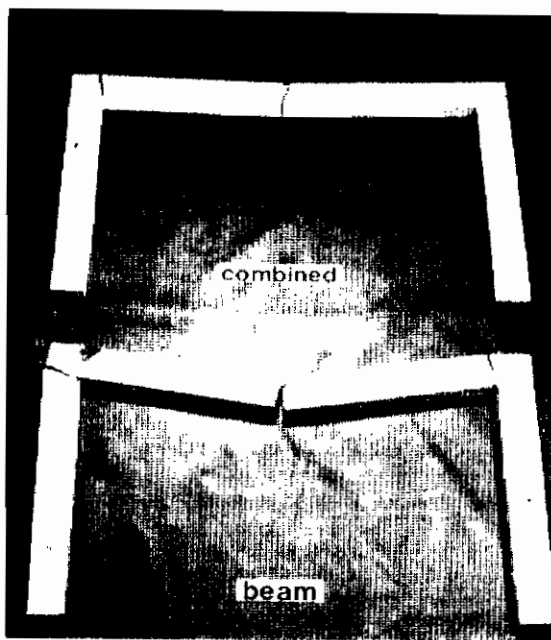
تیر بدودهانه مجزا با تکیه گاههای

ساده تقسیم می‌شود.

شکل ۱۵-۷



اگر تنها در صد کمی فولاد در تیغ وجود داشته باشد، مقطع بتن آرمه ظرفیت دورانی خمیری کافی جهت پخش مجدد کامل لنگرهای خمشی دارد و تیغ قبیل از فرو ریختگی قادر به تحمل بار بیشتر خواهد بود ولی، وقتی که در صد زیادی از فولاد وجود دارد در نقطه با بیشترین لنگرخمشی ترد شکنی اتفاق می‌افتد و تیغ پکسره به دوقطعه تیغ ساده تقسیم می‌شود. لنگرهای خمشی حاصله در هر دهانه به طور قابل ملاحظه‌ای بزرگتر از لنگر مقاوم تیغ می‌شوند و بلاغاً اصطد در هر یک از دهانه‌ها فرو ریختگی ایجاد می‌شود. تفاوت در رفتارهای فوق بسیار محسوس است و هر یک از آنها نشانگر یک دامنه می‌باشد. عموماً دوران خمیری تا حدی ممکن است و بنابراین پخش مجدد لنگرهای خمشی مقداری بوجود می‌آید. همین که ظرفیت دوران به آخر رسید شکست ناکهانی ایجاد می‌شود. این موضوع اشکال طراحی سازه‌های بتن آرمه را به روش‌های خمیری بیان می‌کند. کنترل کردن مقاومت فرو ریختگی سازه تنها کافی نیست (که به وسیله محاسبات خمیری ساده کنترل می‌شود) و لازم است کنترل شود که آیا مقدار دوران خمیری در هر مفصل در محدوده ظرفیت خمیری مقطع قرار دارد و آیا مکانیزم گسترش می‌پابد؟ در روش‌های خمیری ساده، مثلاً کار مجازی، مقدار دوران را نمی‌توان محاسبه کرد. همان طور که قابهای پرتال نمونه شکل ۱۱-۷ نشان می‌دهند، قابهای بتن آرمه را می‌توان با فرض گسترش کامل مکانیزم‌های فرو ریختگی طراحی کرد. در واقع، بیکرا (۲۴ و ۲۵) یک روش طراحی مناسبی برای سازه‌های بتن آرمه ارائه کرده است که مقادیر دورانها را کنترل می‌کند. بدینهی است که این روش مشکلتر از روش‌های ساده است. روش‌های پیچیده‌تر نیز وجود دارد (۲۶). به‌حال، مشکل محدودیت ظرفیت دورانی، علیرغم اثر ناشکار فولاد فشاری، مانع از پذیرش روش‌های واقعی طراحی خمیری در مورد قابهای بتن آرمه شده است.

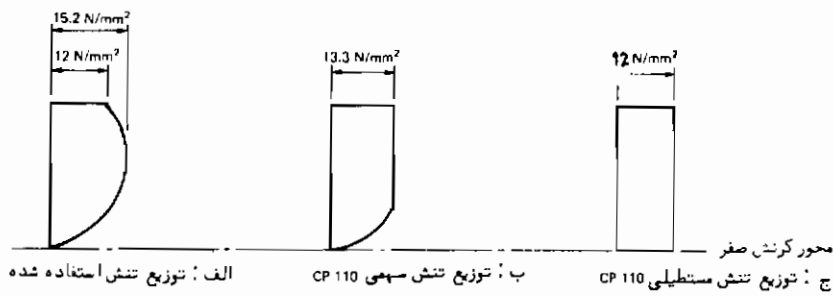


شکل ۲ - ۱۱: مکانیزم‌های فروریختگی برای قابهای بتن آرمه

۲ - ۴ توافق پذیرفته شده در آیین نامه

در انگلستان روش جاری برای طراحی قطعات بتن آرمه در آیین نامه CP 110 (5) مده است. آیین نامه CP 110 فلسفه کامل حالات حدی را نیز در بر دارد. وقتی لنگرهای مقاوم محاسبه شدند، ضرایب اطمینان برای مقاومت‌های بتن و فولاد در نظر گرفته می‌شود. توزیع تنش بتن در شکل ۲-۱ براساس نتایج تحقیقاتی بدست آمده است. این توزیع برای مقاصد طراحی بسیار نامناسب و پیچیده است. CP 110 برای تعیین لنگر مقاوم دو شکل توزیع تنش دیگری را مجاز دانسته است. در شکل ۲-۷ توزیع تنش‌های ساده شده با توزیع تنش فوق الذکر (مجاز برای ضرایب اطمینان جزئی) مقایسه شده است. همان طور که جدول ۲-۴ می‌بینیم برخلاف انتظار در هر سه حالت لنگرهای مقاوم مشابهند.

یکی از نتایج مهم قسمت‌های ۲-۲ و ۲-۳ این بود که مقاطع با فولاد زیاد خطرناک بوده و هرگز نباید مورد استفاده قرار گیرد. آیین نامه CP 110 به دو روش از فولاد گذاری زیاد جلوگیری کرده است. اولاً، نسبت ارتفاع محور کرنش صفر را به ارتفاع مؤثر به نصف ($x/d \leq 0.5$) و ثانیاً مقدار فولاد را به حد اکثر چهار درصد محدود کرده است. همان طور که در جدول ۲-۳ و شکل ۲-۵ نشان داده شد. این محدودیتها حالت با فولاد کم را ایجاب می‌کند.



شکل ۱۲-۷

بدین ترتیب آیین نامه تمام ضوابط نظریه خمیری را در نظر گرفته و در آن قابلیت قدری دوران خمیری برای مقاطع با فولاد کم تضمین شده است اگرچه برای بعضی از مقاطع ظرفیت مذکور خیلی محدود خواهد بود. همان طور که در قسمت ۳-۷ بیان شد طراحی خمیری واقعی را نمی‌توان برای تعیین مقدار لنگرهای مقاوم مجاز دانست. به جای آن CP 110 برای تعیین لنگرهای مقاوم، موارد زیر را مقرر کرده است:

جدول ۴-۷ مقایسه توزیع تنش بتن در حالات مختلف

| بتن نوع ۲۰ | | فولاد نرمه | | |
|----------------|-------------------------------------|---------------------------|-----------------------------|--|
| | | M/bd^2 | | |
| ۱۰۰ As/bd | توزیع تنش استفاده شده در این بخش | توزیع تنش سه‌می CP 110 | توزیع تنش مستطیلی CP 110 | |
| 1% | 2.00 | 1.99 | 1.97 | |
| 2% | 3.64 | 3.63 | 3.56 | |
| x/d = 0.5 وقتی | (2.8%) فولاد | (2.8%) فولاد | (2.8%) فولاد | |

۱- با استفاده از تحلیل ارجاعی پخش لنگرهای خمشی را انجام دهید. از بارهای فروریختگی با ضریب استفاده شود. با تحلیل ارجاعی یک سری لنگرهای خمشی واکشن در انتهای هر یک از اعضاء بدست می‌آید. لنگرهای میانی با ترکیب لنگرهای خمشی آزاد و

لنگرهای واکنش به دست می‌آیند.

۲- این لنگرها را اکنون با استفاده از قوانین زیر می‌توان توزیع مجدد نمود.

الف - وقتی لنگرهای مقاوم در اثر توزیع مجدد افزایش می‌یابند محدودیتی وجود ندارد.

ب - اگر توزیع مجدد باعث کاهش گردد، مقدار کاهش به وسیله یک ضریب کاهش محدود می‌شود.

$$\beta_{red} = \frac{\text{کاهش در } M_r}{\text{بزرگترین لنگر ارجاعی در عرض}} \quad (3-7)$$

$$\beta_{red} \geq 0.3 \text{ or } 0.6 - \frac{x}{d}$$

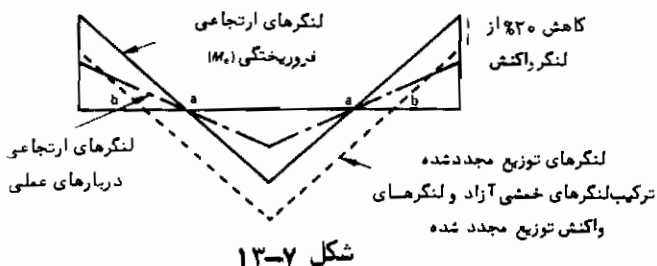
ضریب محور خنثی برای مقطعی که در مقابل لنگر کاهش یافته مقاومت می‌کند x/d (از رابطه فوق نتیجه می‌شود که اگر مقطع حاصله با فولاد بسیار کم باشد (به جدول ۳-۲ مراجعه شود) حد اکثر کاهش ممکن ۳۵ درصد خواهد بود. هرچه درصد فولاد افزایش می‌ابد ضریب محور خنثی یعنی d/x زیاد می‌شود و ظرفیت دوران خمیری و مقدار توزیع مجدد لنگر کاهش می‌یابد).

در تیرها x/d_{max} برابر با ۵/۰ است بنابراین حداقل کاهش ۱۰ درصد می‌باشد. چون به ستونها علاوه بر لنگر، بار محوری نیز اعمال می‌شود، تیپ نامه CP 110 هر مقداری برای x/d را مجاز می‌داند، بجز حالتی که نیروی محوری کوچک است احتمالاً "کاهش دادن قابل ملاحظه در لنگر ستونها مجاز به نظر نمی‌رسد".

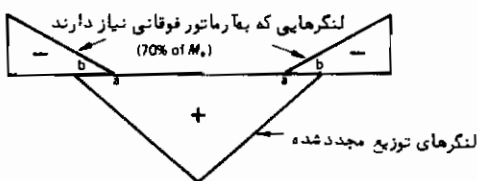
۳- لنگر مقاوم در هر مقطع نباید کمتر از ۲۰ درصد حد اکثر لنگر ارجاعی در مقطع شود.

یک مثال ساده اهمیت این قانون را مشخص می‌کند. شکل ۱۳-۷ نمودار لنگر خمشی برای یک تیر دو سرگیردار را نشان می‌دهد. با استفاده از قانون اول، لنگرهای خمشی در اثر بارهای فرو ریختگی به وسیله تحلیل ارجاعی تعیین می‌شوند. مطابق شکل در بارهای عملی نیز لنگرهای خمشی ارجاعی بوده و نسبتی از لنگرهای ارجاعی فرو ریختگی می‌باشد. توزیع مجدد لنگرها در اثر کاهش لنگرهای انتهایی حاصل می‌گردد. لنگرهای توزیع شده، لنگرهای مقاوم لازمی هستند که در عین حال موقعیت و محل فولادها را مشخص می‌کنند. به خاطر داریم که فولادها نیروی کششی حاصل از خمش را تحمل می‌کنند، این فولادها بایستی مطابق شکل ۱۴-۷ جایگذاری شوند. مشکل آنست که محل قطع فولادهای بالایی و پایینی در نقطه

b می‌باشد، یعنی نقطه عطف مربوط به نمودار لنگرخمشی حاصله از پخش مجدد لنگر، تحت بارهای عملی نیز فولاد لازم است و در بالای تیر باقیستی تا نقطه a ادامه داده شود، همان طور که با خط نقطه در شکل ۱۳-۷ مشخص شده است. ترکهای حاصله نشان دهنده وضعیت مطلوبی در تیر نیست. قانون سوم به طور موئزی مانع از بروز این مشکل است، این قانون الگوی لنگرهای مقاوم مطابق شکل ۷-۱۵ را نتیجه می‌دهد.



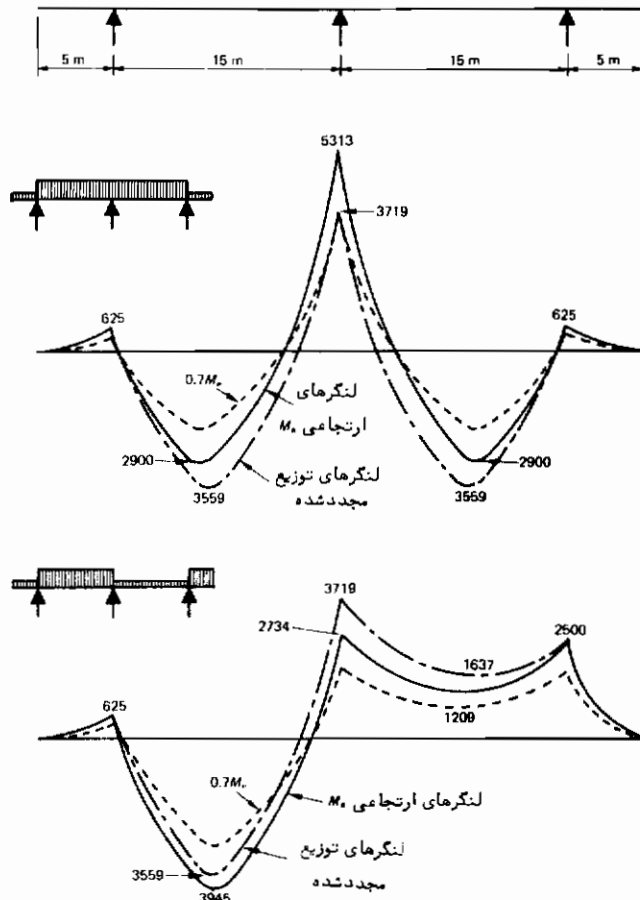
شکل ۱۴-۷



در CP 110 بیان شده است که در طراحی، توزیع مجدد کامل لنگرهای همیشه لازم نیست. اگر توزیع مجدد لنگر در همه‌جا کمتر از ۱۵ درصد باشد فرمولهای ساده شدهای برای محاسبه لنگرهای مقاوم داده شده است.

در توزیع مجدد لنگرهای دو خط مشی اصلی وجود دارد. اگر مقطع عضو، مستطیلی شکل باشد، باقیستی حتی الامکان سعی کرد که لنگرهای مثبت و منفی مساوی شوندو بنا بر این مشکل تعیین محل فولادها از بین می‌رود، اگر مقطع تیر T یا L شکل باشد لنگر منفی باقیستی حتی الامکان کوچک اختیار شود چرا که لنگر منفی مقاوم به دلیل کمتر بودن سطح هشت فشاری کوچک‌تر از لنگر مثبت مقاوم می‌باشد. ذکر یک مثال توزیع مجدد لنگر را بهترین وجه تعیین می‌کند.

شکل ۱۶-۷ مثال کاملی را نشان می‌دهد. فرض شده است که مقطع تیر یکسره T شکل است و حداقل بارهای با ضریب واردہ 200 kN/m و 50 kN m می‌باشد. بدترین ترکیبات بارگذاری در شکل مشخص شده‌اند. حالت اولی بیشترین لنگر منفی را در تکیه‌گاه میانی و حالت دوم بیشترین لنگر مثبت را ایجاد می‌کند. لنگرهای ارجاعی با استفاده از پخش لنگر به دست آمده‌اند.



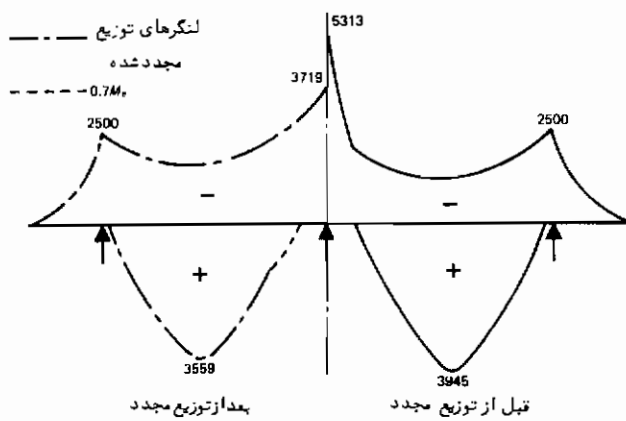
شکل ۱۶-۷

منظور از توزیع مجدد لنگر حتی الامکان کاهش دادن لنگرهای منفی است. لنگر منفی میانی در حالت بارگذاری اول به اندازه ۳۵ درصد تا مقدار 3719 kNm کاهش داده می‌شود. لنگرهای انتهایی اعضای طرهای را نمی‌توان تغییرداد زیرا این لنگرها با بارهای روی قسمتهای طریقی در حال تعادلنند. پس لنگرهای خمشی آزاد به لنگرهای واکنشی جدید ملحق می‌گردند.

این لنگرهای توزیع شده و مقادیر مربوط به ۲۵ درصد از لنگرهای اصلی در شکل رسم شدند. در بارگذاری حالت ۲ لنگر منفی میانی را نا مقدار 3719 kN m می‌توان افزایش داد زیرا این لنگر مقاوم برای حالت ۱ در نظر گرفته شده است، لنگر مثبت حاصله در دهانه طرف چهار برابر با 3559 kN m (کاهش یافته از مقدار 3945 kN m) می‌باشد. با کاهش لنگر مقدار 386 kN m ، β_{red} برابر با $(386/5313) = 0.072$ می‌شود.

بحرانی ترین لنگرهای خمی را می‌توان از ترکیب دو حالت بارگذاری به دست آورد و پوش لنگر خمی طراحی را به دست آورد. باید توجه داشت که در قسمت‌هایی از تیر مقدار $\frac{M}{2}$ به حرمانی تر از لنگرهای توزیع مجدد شده است. در شکل ۱۷-۲ منحنی‌های پوش برای قبل و بعد از پخش مجدد نشان داده شده است.

ارزش توزیع مجدد لنگر معلوم است. حداقل لنگر منفی به اندازه قابل ملاحظه‌ای کاهش یافته و در این حالت تقریباً به طور اتفاقی، حداقل لنگر مثبت نیز اضافه شده است نقاط قطع (جایی که لنگرهای مثبت و منفی صفر هستند) به وسیله توابع ریاضی مربوط به نمودارهای لنگر خمی (به قسمت ۳-۴-۳ مراجعه شود) یا به وسیله رسم دقیق و اندازه‌گیری دیاگرامهای لنگر خمی به دست می‌آیند.



شکل ۱۷-۲

کنترل دیگری نیز بایستی انجام شود. در تکیه‌گاه میانی $\beta_{red} = 0.3$ است. این بدان معنی است که مقدار حداقل ضریب محور خنثی x/d در آن نقطه $\frac{1}{2}$ است (به معادله ۱-۷ مراجعه شود) در نقطه حداقل لنگر خمی $\beta_{red} = 0.072$ است، اما x/d تنها می‌تواند $5/5$ باشد و نه عدد دو مورد انتظار $5/28$ زیرا CP ۱۱۰ حداقل مقدار را به مقدار $5/5$ محدود می‌کند تا حالت با فولاد کم تأمین شود.

۷-۵ جمع‌بندی

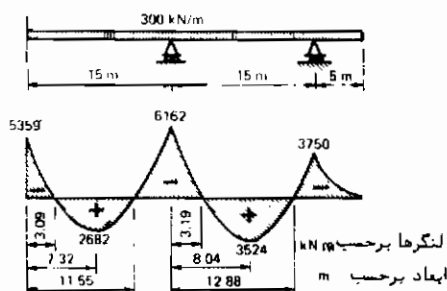
در این فصل مشکلات به‌کارگیری روشهای خمیری در مورد سازه‌های بتن آرمه بیان گردید. اعضای با فولاد کم قادر به دوران خمیری هستند، اما ظرفیت در مقایسه با تیرهای فلزی محدود است. این موضوع به‌کارگیری نظریه خمیری را غیر ممکن می‌سازد. در CP 110 با محدود کردن مقدار فولاد و محل محور خنشی، مقاطع با فولاد کم ایمن شده‌اند. پخش مجدد لنگر و سیلهای برای استفاده از فواید روشهای خمیری است ولی در موقع استفاده از آن بایستی اثر کاهش ظرفیت دورانی ناشی از افزایش مقدار فولاد را در نظر داشت.

نوعی از سازه‌های بتنی وجود دارد که معمولاً "با فولاد بسیار کم است، دالهای بتنی عوماً" تنها در صدهای کمی فولاد دارند و به روشهای خمیری طراحی می‌شوند. این روشهای در فصل بعدی ذکر خواهند شد.

۷-۶ مسایل

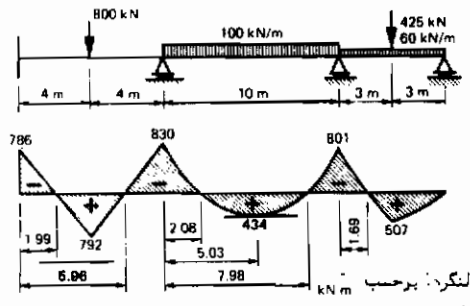
۷-۶-۱ تیر دو سرگیردار بتن آرمه به‌دهانه L بارگذاری یک‌واخت در واحد طول را در موقع فروپیختگی تحمل می‌کند. لنگرهای خمشی را طوری پخش مجدد کنید که در وسط دهانه و تکیه‌گاهها لنگرهای مقاوم مساوی شوند. مقدار لنگر مقاوم چقدر است؟ نقاط قطع را برای فولادهای فوقانی و تحتانی تعیین کنید.

۷-۶-۲ شکل ۱۸-۷ یک تیر T شکل بتن آرمه را نشان می‌دهد. بار تحمل شده در فروپیختگی برابر 300 kNm (شامل وزن تیر) است و نمودار لنگر خمشی براساس تحلیل ارجاعی می‌باشد. لنگرها را به منظور دستیابی به توزیع لنگر خمشی مطلوبتر توزیع مجدد کنید. مقادیر را روی یک نمودار که مهترین مقادیر لنگرها و ابعاد را می‌دهد رسم کنید.



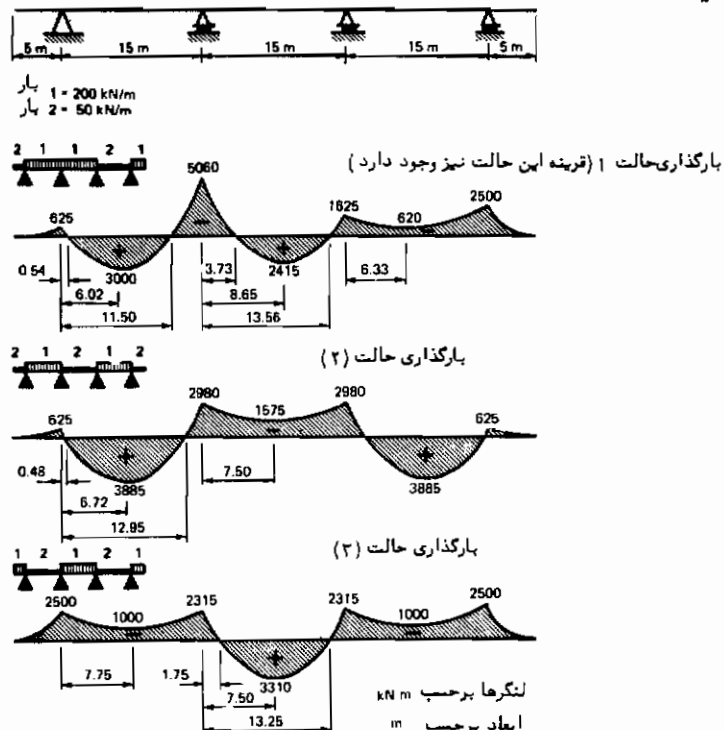
شکل ۱۸-۷

۶-۳-۲- مسأله ۲-۷ برای تیر و نمودار لنگرخمشی شکل ۱۹-۷ را تکرار کنید.



شکل ۱۹-۷

۶-۴- تیر پکسرهای همراه با نمودارهای لنگرخمشی برای بحرانی ترین حالات بارگذاری (سه حالت) در شکل ۲۰-۷ نشان داده شده است. با استفاده از پخش مجدد لنگر حد اکثر لنگرهای مثبت و منفی را همسان کنید. به ارم پوش لنگرهای توزیع مجدد شده نتایج را خلاصه کنید.



شکل ۲۰-۷

تحلیل خط سیلان و روش نواری هیلربورگ^۱ برای دالهای بتن آرمه

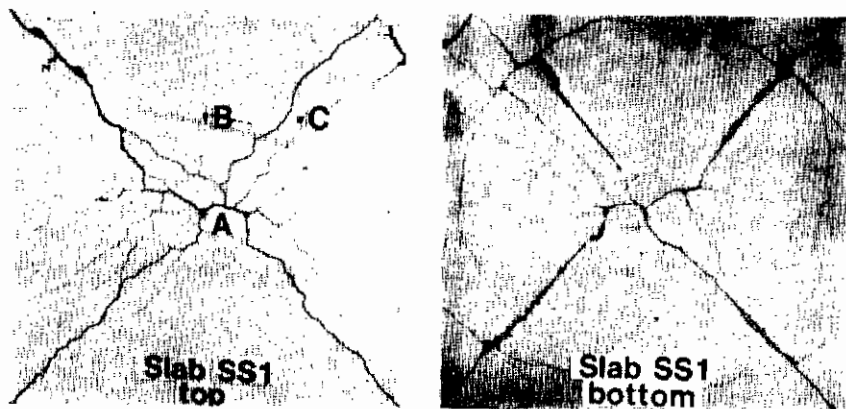
۱ - مقدمه

در فصل قبل نشان داده شد که کاربرد نظریه خمیری در مورد سازه‌های بتن آرمه معمولاً "با مشکلاتی مواجه است . زیرا ظرفیت دورانی خمیری مقاطع بتنتی تحت خمش محدود است . لیکن دالهای بتن آرمه تقریباً همیشه با فولاد بسیار کم هستند و داشتن مقاطعی با بیش از یک درصد فولاد غیر معمول است . در نتیجه دالها ظرفیت دورانی خمیری قابل ملاحظه‌ای دارند و می‌توان آنها را به خوبی به روشهای خمیری تحلیل و پا طراحی نمود . در این بخش دو روش که در حال حاضر کاربرد وسیعی دارند مورد بررسی قرار می‌گیرند . روش نظریه خط سیلان مشهورترین آنهاست . این روش با روشهای تحلیل سازه‌های فولادی که در آنها بارهای فرو ریختگی محاسبه می‌شوند مشابه‌هایی دارد که در اینجا ملاحظه خواهند شد . روش نواری هیلربورگ یک روش تشریحی برای طراحی دال است ، که استفاده از آن ساده و راحت است .

۲ - نظریه خط سیلان^۲

۳ - ۱ یک مبنای تجربی در مورد تحلیل خط سیلان

نظریه خط سیلان اول بار توسط ژوهانسن^۳ ابداع گردید که تز دکترای خود را در این مورد در سال ۱۹۴۳ منتشر کرد (۲۶) . تحقیقات زیادی نظر ژوهانسن را حتی شاید بیش از آنچه او فکر می‌کرد و یا در نظر می‌گرفت گسترش داد و هدف آنها ارتباط دادن نظریه خط سیلان با نظریه خمیری سنتی (به گونه‌ای دقیقتر) بود .



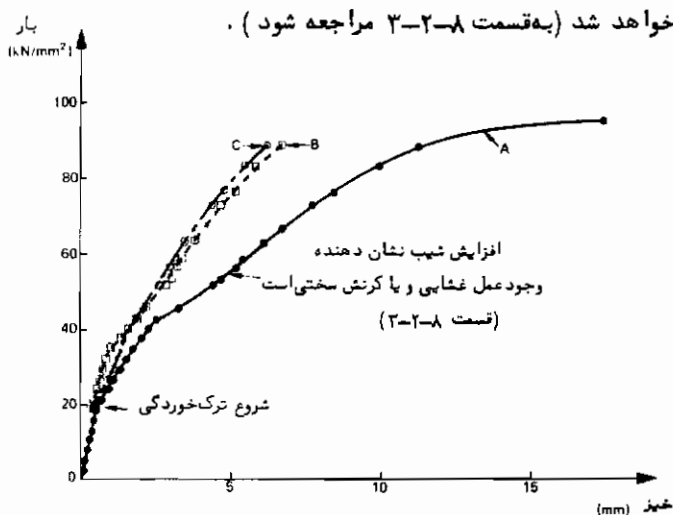
شکل ۱-۸ آزمایش روی دال مریع با تکیه‌گاههای ساده

برای شروع ، ساده‌ترین کار تبیین نظریه توسط آزمایش روی دال‌های بتنی می‌باشد . تصاویر ۱-۸ و ۵-۸ دو سمت بالا و پایین سه نوع دال را که تحت بار یکنواخت گسترده قرار داشته و شرایط تکیه‌گاهی مختلفی دارند نشان می‌دهد .

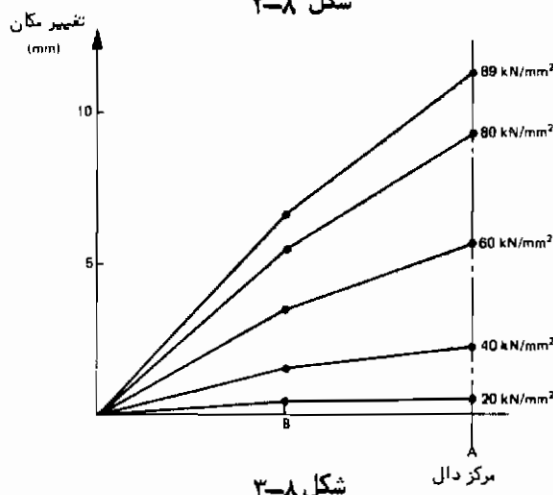
شکل ۱-۸ دال مریعی را نشان می‌دهد که به موازات اضلاع فولاد بندی شده است . لبه‌ها روی تکیه‌گاهایی قرار دارند که از حرکت قاعم جلوگیری می‌کنند ولی مقاومت کمی در مقابل دوران دارند (تکیه‌گاههای ساده) . در طرف کششی (طرف تحتانی دال که در شکل طرف بالا نامگذاری شده زیرا در آزمایش نیرو به سمت بالا اعمال می‌گردد) بخصوص نزدیک مرکز دال ترکهای متعددی وجود دارد . این ترکها نسبتاً در بار کمی شکل می‌گیرد ، اما با افزایش بارها تنها تعداد کمی از آنها بزرگ می‌شوند . در این حالت خاص ترکها به تندی روی قطرها توسعه داده می‌شوند . در طرف دیگر (فشاری) دال بجز قسمتها فشاری بتنی که در امتداد ترکهای عریض طرف کششی قرار دارد وضعیت نسبتاً نامشخص است . این مجموعه از ترکهای بزرگ و خردشگی بتن درست حالتی را که یک تیر با فولاد کم پس از دوران خمیری به ظرفیت لنگر مقاوم خود می‌رسد نشان می‌دهد . یک خط سیلان شکل ایده‌آلی از این وضعیت است . تصور خط سیلان به صورت یک سری از مقاطع تیر مجاور هم بهطوری که هر مقطع تحت دوران خمیری قرار گرفته و به ظرفیت لنگر مقاوم خود می‌رسد شاید ساده‌ترین روش برای درک موضوع باشد .

در طول آزمایش اندازه‌گیرها در نقاط A و B و C (شکل ۱-۸) قرار داده شدند تا تغییر مکان قاعم دال اندازه‌گیری شود . منحنیهای بار - تغییر مکان برای هرسه اندازه‌گیر در شکل ۲-۸ نشان داده شده‌اند . برای تغییر مکان وسط تاوه ، منحنی ، تغییری در شبی را در بار

کم نشان می‌دهد (وقتی ترکخوردگی شروع می‌شود) و سپس با گسترش خطوط سیلان در دال یک کاهش تدریجی در شیب ایجاد می‌گردد. ولی آن طور که انتظار می‌رفت شیب به طور پیوسته کاهش نمی‌باید و به صفر (نشان دهنده فرو ریختگی) نمی‌رسد. این نکته‌ای است که "بعداً" بیان خواهد شد (به قسمت ۳-۲-۸ مراجعه شود).



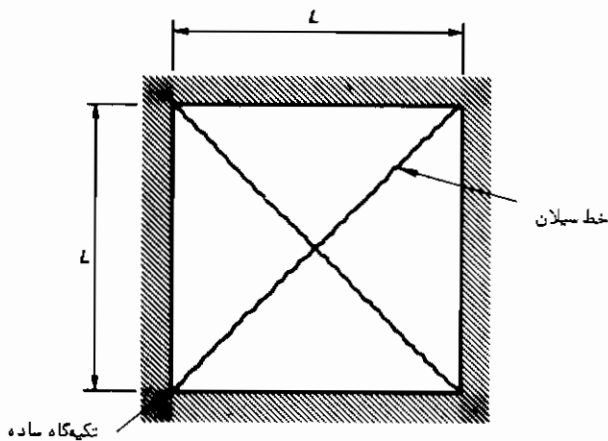
شکل ۲-۸



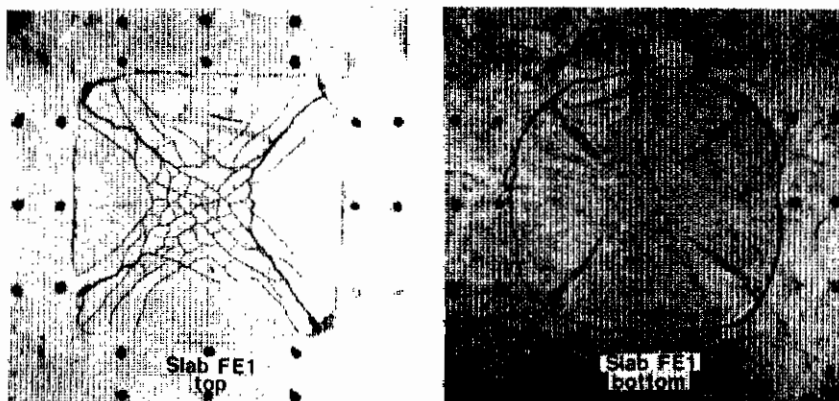
شکل ۲-۸

منحنی‌های مربوط به نقاط B و C ابتدا از هم جدا شده ولی سپس به‌ازای بارهای بیشتر تقریباً بهم می‌رسند. اگر در شکل ۳-۸ بـازای بارهای مختلف تغییر مکان مقطع روی محور میانی که از نقاط A و B می‌گذرد رسم شود، ملاحظه می‌شود که در بـارهای زیاد مقطع تقریباً یک خط مستقیم است. این موضوع و پکسان بـودن تغییر مکان در نقاط B و C نشان می‌دهد که

بهارهای بارهای نزدیک به بار فروریختگی منطقه بین خطوط گسیختگی از نظر عملی مسطح است.



شکل ۴-۸



شکل ۴-۵: آزمایش روی دال (تاوه) مستطیلی با لبه‌های گیردار

آزمایش و رفتار تجربی ما را به تعیین یک مدل ساده از فروریختگی تاوه هدایت می‌کند. مکانیزم فروریختگی شامل ۲ خط گسیختگی است که در تمام طول قطرها ادامه‌می‌یابند و قطعات مثلثی صلبی از تاوه بین خطوط سیلان به وجود می‌ورند (شکل ۴-۸).

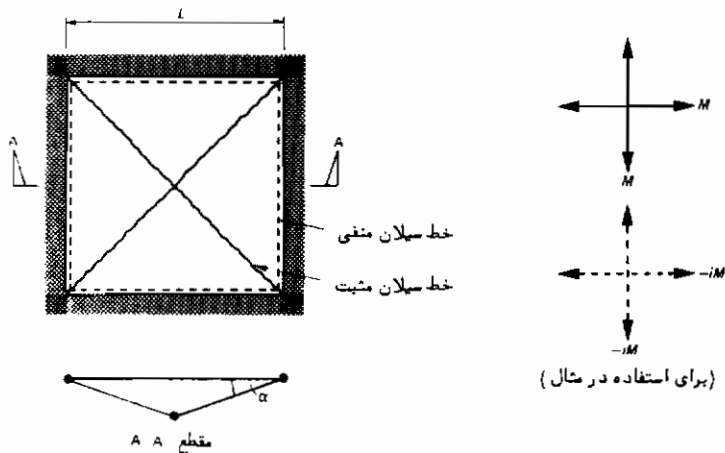
لبه‌های تاوه و خطوط سیلان محورهای دوران برای قسمتهای صلب تاوه می‌باشند. این بدان معناست که دوران خمیری خطوط سیلان تنها تغییر شکل مربوط به تاوه می‌باشد. فصلهای ۳ و ۴ و ۵ اساساً مربوط به تحلیل مکانیزم‌های فروریختگی بود ولی پذیرش آنها به عنوان

روشی محاسباتی در مبحث فعلی اشکالی ایجاد نخواهد کرد.

نتایج آزمایش روی یک مدل تاوه با لبه‌های گیردار (در مقابل تغییرشکل لبه‌ها کاملاً گیردار) و تحت بارگسترهای پکواخت در شکل ۵-۸ نشان داده شده است. این دال معادل با یک تیزدو سر گیردار است و با مشابهت سازی با یک چنین تیزی، انتظار می‌رود علامت لگرها در سطح و لبه‌های تاوه مخالف یکدیگر باشد. این موضوع به سیله شکل ۵-۸ مشخص شده است. ترکهایی در قسمت فوقانی تاوه وجود دارد که شکل آنها بسیار شبیه به حالت تاوه با تکیه‌گاههای ساده در شکل ۱-۸ است و شامل ترکهای بسیار بزرگ قطری است. در اطراف لبه‌های فوقانی تاوه شواهدی از خردشدن بتن وجود دارد و در پایین تاوه خردشدن بتن در طول قطرها و ترکهای بزرگ اطراف لبه‌ها نمایان است. مکانیزم فرو ریختگی ایده‌آل در شکل ۵-۶ نشان داده شده است. توجه شود که خطوط سیلان مثبت قطری بطور متفاوتی از خطوط سیلان منفی اطراف لبه‌ها نمایش داده شده است.

۲-۲-۸ علائمی برای تحلیل خط سیلان

شکل‌های مربوط به حل مسائل تاوه‌ها به عنوان تعدد اطلاعات لازم معمولاً پیچیده‌می‌شود.



شکل ۵-۸

برای سادگی کار علائم مفیدی تعریف شده است. ناکنون تعدادی از آنها به کار رفته است و در اینجا با جزئیات بیشتری مطرح می‌شوند.

| | |
|--------------------------|---------------|
| تکیه‌گاه ساده | خط سیلان منفی |
| تکیه‌گاه پیوسته (گیردار) | محور دوران |
| لبه آزاد | بار |
| تبر لبه | |

۸-۲-۳ جنبه‌های نظری تحلیل خط سیلان

مشکل اصلی تحلیل خط سیلان تصمیم‌گیری درمورد مکانیزم فروریختگی است. خوشبختانه حالات استاندارد شده زیادی مشخص شده است (۲۷). عموماً "هر الگوی خط سیلان بایستی به وسیله تجربه و مجموعه قوانین قابل استفاده‌ای تأیید شود". (به بند ۴-۲-۸ مراجعه شود) تضمینی وجودنداز که الگوی انتخاب شده صحیح باشد. این الگو شرایط تعادل و مکانیزم را برآورده ساخته ولی لزوماً "شرط تسلیم را برآورده نمی‌سازد. بدینختانه، کنترل این موضوع اگر غیر ممکن نباشد مشکل است بنابراین عموماً" جواب منوط به هر خط سیلان گرانه‌الایی می‌باشد. از جنبه نظری نتیجه تحلیل خط سیلان دست پایین و سازه نامطمئن است زیرا در کرانه بالایی مقاومتی پیش از مقاومت واقعی تاوه به دست می‌آید. از نظر فیزیکی نتیجه مورد قبول و سازه مطمئن است زیرا در تحلیل از دو عامل مهم صرف نظر شده است.

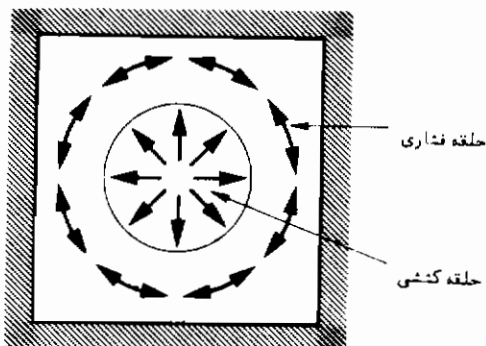
۱- در محاسبه لنگرهای مقاوم تاوه از کرنش سختی در فولادها صرف نظر شده است.

شکل ۷-۵ نشان می‌دهد که به‌ازای درصد‌های کم فولاد در تاوه، کرنش سختی، لنگرهای بعطور موئزی افزایش می‌دهد و بنابراین مقاومت تاوه زیاد می‌شود.

۲- نظریه خط سیلان حالت ایده‌آلی از رفتار واقعی تاوه است و در آن فرض شده است که بارهای قائم تنها توسط خمش تحمل می‌شوند. تماشها نشان می‌دهد که این گونه نیست. اگر تنها خمش وجود داشت شب منحنی بار تغییر مکان تا مرحله شکست به طور پیوسته کاهش می‌یافتد در حالی که منحنی بار-تغییر مکان وسط در شکل ۲-۸ ابتدا کاهش را نشان می‌دهد ولی دوباره افزایش می‌یابد و سپس مجدداً "کاهش می‌یابد و بعد مقطع گسیخته می‌شود. افزایش شب، ناشی از "عمل غشاوی" است. در واقع قسمتی از بار توسط خمش و قسمتی توسط نیروهای ایجاد شده در داخل صفحه تاوه (عمل غشاوی) تحمل می‌شود. تغییر مکان بیشتر تاوه باعث تأثیر بیشتر عمل غشاوی می‌گردد.

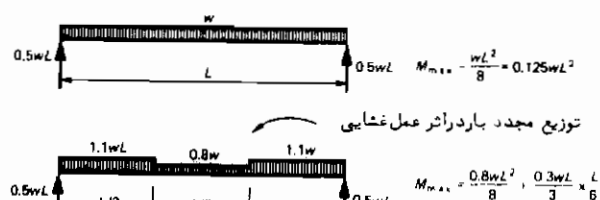
دو نوع مختلف از عمل غشاوی وجود دارد. موقعی که لبه‌های تاوه در مقابل حرکت جانبی مقاومتی نداشته و یا کم دارند (که این حالت غالباً مربوط به لبه‌های تکیه‌گاه ساده است). "عمل غشاوی گشته" به وجود می‌آید. سیستم نیروهای داخل سطحی در شکل ۷-۸

مشخص شده است.



شکل ۷ - ۸

برای تعادل افقی نیروهای کشی و فشاری لازمند. عمل غشاوی باعث کاهش بارها در منطقه کشی و افزایش بارها در منطقه فشاری می‌شود. این عمل تعادل نیروهای قائم را باقی نگهداشت و لذاتر لنتگرخشمی را کاهش می‌دهد. شکل ۷-۸ تأثیر عمل غشاوی را روی تیرهای ساده نشان می‌دهد. این نوع از عمل غشاوی بار فروریختگی را تا ۳۵ درصد بیشتر از بار خط سیلان افزایش می‌دهد.

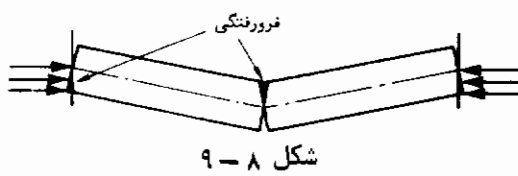
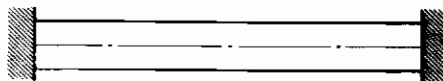


شکل ۸ - ۸

عمل "غشاوی فشاری" در تاوههای که لبه‌های گیردار افقی دارند به وجود می‌آید. با بازشدن ترکهای تاوه داخل لبه‌ها فرو می‌رود و این عمل نیروهای فشاری بسیار زیاد بر تراوه ایجاد می‌کند بنابراین تاوه مشابه یک قوس کم عمق یا پوسته عمل می‌کند. نتیجه حاصل شده افزایش در ظرفیت باربری تا ۲۵۰ درصد بالای بار خط سیلان می‌باشد.

اوکلستون^۱ (۲۸) مشاهده کرد که تحت بارگذاری قائم فروریختگی تاوهای که باتاوهای اطرافش

پکارچه باشد (گیرداری افقی) در عمل امکان پذیر نیست، لیکن به دلیل به وجود آمدن خیزهای زیاد استفاده از خواص عمل غشایی ممکن و مقدور نمی‌باشد.



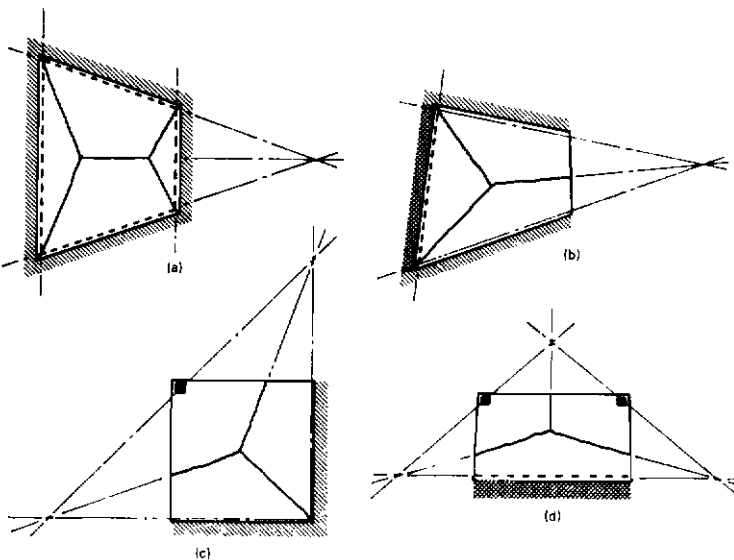
شکل ۹-۸

نحوه تشکیل خطوط سیلان به وسیله ضوابط متعارف تسلیم قابل پیش‌بینی است که می‌گوید، خط سیلان عمود بر لنگر خمی که با لنگر مقاوم تاوه مساوی شده است به وجود می‌آید. لنگر فوق را می‌توان به صورت لنگری که باعث بازشدن ترکها می‌شود تصور کرد. به طوری که ترکها بر خط سیلان منطبق شوند. لنگرهای هر نقطه تاوه را به وسیله دایره مور می‌توان به دست آورد و خط سیلان عمود بر یکی از لنگرهای اصلی تشکیل می‌شود. (۲۹) معیار فوق تشکیل یک خط سیلان دیگر را نیز در هر نقطه تاوه و عمود بر خط سیلان اولی مجاز می‌داند. این معیار در هر نقطه تنها دو خط سیلان را اجازه می‌دهد.

۸-۲-۴ قوانینی برای تعیین مکانیزم فروریختگی

از پنج قانون زیر برای تعیین مکانیزم فروریختگی استفاده می‌شود. برای تأیید مکانیزم‌های شکل ۹-۵ از آنها استفاده کنید.

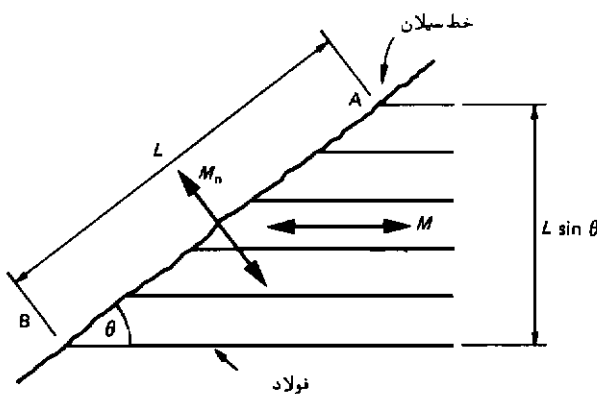
- ۱- خطوط سیلان معمولاً مستقیم بوده و محورهای دوران هستند.
- ۲- خطوط سیلان به لبه‌های تاوه منتهی می‌شوند.
- ۳- محورهای دوران در طول لبه‌های تکیه‌گاه قرار گرفته، لبه‌های آزاد را قطع کرده و از روی ستونها می‌گذرند.
- ۴- محورهای دوران مربوط به صفحات صلب مجاور هم، یک نقطه تلاقی دارند (که ممکن است در فاصله نامحدودی قرار گیرد).
- ۵- غالباً خطوط سیلان منفی در طول حداقل قسمتی از لبه گیردار به وجود می‌آیند.



شکل ۱۰-۸

۲-۵- لنگر در طول خط سیلان

برای انجام محاسبات تحلیل خط سیلان لازم است لنگر در طول خط سیلان معلوم باشد
در ابتدا دالی را با فولادگذاری تنها در یک جهت در نظر بگیرید. عموماً خط سیلان نسبت به
جهت فولادگذاری مورب است. مانند شکل ۱۱-۸



شکل ۱۱-۸

فرض شده است که فولادها جاری شده ولی مستقیم باقی می‌مانند. برای این فولادها

لنگر مقاومی برابر با M در واحد عرض درجهٔ فولادگذاری در نظر گرفته شده. در طول AB لنگر مجموع در جهت فولادگذاری برابر $ML \sin \theta$ می‌باشد. بنابراین در جهت عمود بر خط سیلان لنگر برابر است با:

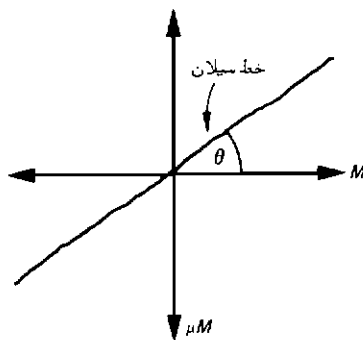
$$\begin{aligned} M_n L &= ML \sin \theta \times \sin \theta \\ M_n &= M \sin^2 \theta \end{aligned} \quad (1-8)$$

که M_n لنگر در عرض واحد در امتداد خط سیلان است.

البته، معمولاً "فولادگذاری در دو جهت است و برای محاسبه لنگر از معادله ۱-۸ استفاده می‌شود. شکل ۱۲-۸ حالت عمومی فولادگذاری عمود بر هم را نشان می‌دهد. (توجه شود که برای مشخص کردن لنگر مقاوم هر سری از فولادها بردارها نشان دهنده جهت فولادها می‌باشد). با استفاده از معادله ۱-۸ ضریب μ مشخص کننده لنگرهای مقاوم متفاوت در درجهٔ جهت فولادگذاری است.

$$\begin{aligned} M_n &= M \sin^2 \theta + \mu M \sin^2 (90 + \theta) \\ M_n &= M \sin^2 \theta + \mu M \cos^2 \theta \end{aligned} \quad (2-8)$$

اگر $\mu \neq 1$ نباشد فولادگذاری را اورتوتروپیک^۱ (مقدار مختلف در درجهٔ جهت عمود بر هم) گویند در حالت خاصی که $\mu = 1$ است فولادگذاری هم مقدار است (ایزوتروپیک^۲). وقتی $\mu = 1$ باشد

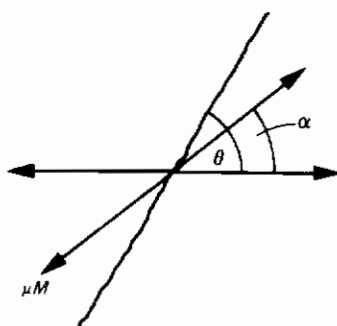


شکل ۱۲-۸

$$\begin{aligned} M_n &= M (\sin^2 \theta + \cos^2 \theta) \\ M_n &= M \end{aligned} \quad (3-8)$$

بنابراین در طول خط سیلان مقدار لنگر مستقل از زاویه امتداد خط خواهد شد .
شایان ذکر است که آرماتورگذاری مورب یعنی حالتی که فولادها برهم عمود نباشد
کمتر معمول است . در شکل ۱۳-۸ نمونه‌ای از این فولادگذاری نشان داده شده است . با
استفاده مجدد از معادله ۱-۸ داریم .

$$M_n = M \sin^2 \theta + \mu M \sin^2 (\theta - \alpha) \quad (4-8)$$



شکل ۱۳-۸

دو نکته مورد توجه دیگر در مورد معادلات ۱-۸ الی ۴-۸ وجود دارد .

- ۱ - بیاخداریم که M_n و M و μM همگی لنگرهای واحد عرض هستند . لنگر مجموع در طول خط سیلان حاصل ضرب M_n در طول خط مذکور است .
- ۲ - M و μM بهستگی به مقادیر فولاد در تاوه دارند و با تحلیل مقطع تیری به عرض واحد محاسبه می‌شوند . این موضوع در فصل ۷ تشریح شد . البته هریک از روش‌های داده شده در CP 110 (شامل فرمولها) در موقع طراحی قابل استفاده است . در آغاز طراحی تاوه M و μM از تحلیل خط سیلان محاسبه می‌شوند و سپس فولادهای کافی برای هاربری لنگرهای مقاوم گذارده می‌شوند .

۸-۲-۶ محاسبات

وقتی مکانیزم فروریختگی تعیین شد ، تاوه را می‌توان تحلیل به کمک چند مثال تشریح می‌شود که مطابق معمول برای تشخیص نکات یا اشکالات مختلف طبقه‌بندی شده‌اند . محاسبات بر اساس روش کار مجازی است .

۱۴-۸-۶-۱ تاوه مربع شکل با تکیه گاههای ساده تحت بار گستردہ یکنواخت (q بر واحد سطح)

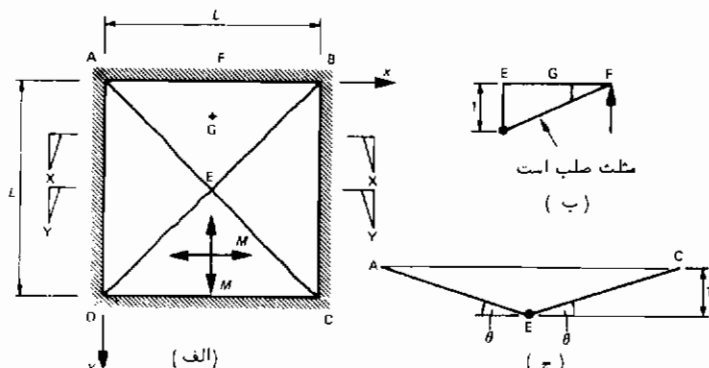
پخش خطوط سیلان برای هر تاوه در قسمت ۱۴-۸-۱ مورد بحث قرار گرفت و مجدداً در شکل ۱۴-۸ الف نشان داده شده است. شکل همچنین مشخص کننده آن است که تاوه به صورت هم مقدار با ظرفیت M در واحد عرض فولادبندی شده است.

تفییر مکان مکانیزم به وسیله تغییر مکان واحد (مجازی) قائم در مرکز تاوه بیان گردیده، به طوری که توجه شده است که صفحات مثلثی یعنی خطوط سیلان مستطح باقی می‌مانند. برای محاسبه کار خارجی:

$$\text{ABE} = q \times \left(\frac{1}{2} \times L \times \frac{L}{2} \right) = \frac{qL^2}{4}$$

مساحت سطح ABE بار گستردہ یکنواخت =

مرکز ثقل این بارها در G است به طوری که با استفاده از خواص هندسی مثلث $FG : FE = 1:3$
اگر E به اندازه واحد تغییر مکان یابد، G به اندازه $\frac{1}{3}$ حرکت می‌کند با استفاده از تشابه
مثلثها در شکل ۱۴-۸ ب



۱۴-۸. شکل

$$\text{ABE} = \frac{1}{3} \times q \times \frac{L^2}{4} = \frac{qL^2}{12}$$

بار روی ABG \times تغییر مکان مرکز ثقل =

از آنجا که چهار مثلث یکسانند .

$$4 \times \frac{qL^2}{12} = \frac{qL^2}{3} \quad (5-8)$$

محاسبات مربوط به کار خارجی تقریباً مشابه محاسبات مورد استفاده برای قابهای فلزی است . کار خارجی در حالت کلی به صورت زیر نوشته می شود .

$$\text{کار خارجی} = \Sigma \left[\int_A q \Delta dA \right] \quad (6-8)$$

انتگرال حاصل ضرب بار روی جزء سطح در
تمام قسمتهای
صلب
فاصله‌ای که جزء سطح طی می‌کند

انتگرال‌گیری لازم است زیرا الزاماً "بار روی قسمت صلب یکنواخت نیست . کار داخلی کاری است که توسط دوران خطوط سیلان جذب می‌گردد . شکل ۱۴-۸ ج مقطعی از تاوه را در طول قطر AC نشان می‌دهد . با توجه به این که قسمتهای صلب مسطح باقی می‌مانند ، دوران خط سیلان BED در تمام طول خود ثابت است و مطابق شکل مساوی با ۲θ می‌باشد .

$$\text{کار داخلی خط سیلان BED} = M_n \times \sqrt{(2)L \times 2\theta}$$

از آنجا که تاوه به صورت هم مقدار فولادبندی شده $M_n = M$ با توجه به شکل ۱۴-۸ ج

$$\theta = \frac{1}{EC} = \frac{1}{\left(\frac{\sqrt{(2)L}}{2} \right)} = \frac{\sqrt{2}}{L}$$

$$\text{کار داخلی برای BED} = M \times \sqrt{(2)L \times 2 \times \frac{\sqrt{2}}{L}} = 4M$$

به دلیل تقارن تاوه ، کار داخلی برای AEC مشابه مقدار فوق است و بنابراین

$$2 \times 4M = 8M \quad (7-8)$$

توجه شود که ابعاد تاوه از عبارت کار داخلی حذف شده است . کار داخلی در حالت کلی به صورت زیر می‌باشد

$$\Sigma = \text{کار داخلی} \left[\theta \int_s M_n ds \right] \quad (8-8)$$

هر خط سیلان مجموع لنگر در طول خط سیلان

انتگرال‌گیری لازم است زیرا لنگر در طول خط سیلان ممکن است در اثر تغییر در رضامن
تاؤه یا فاصله فولادها تغییر کد .
با مساوی قرار دادن کار داخلی و کار خارجی در حالت تعادل داریم .

$$\frac{qL^2}{3} = 8M$$

بنابراین

$$q = \frac{24M}{L^2} \text{ یا } M = \frac{qL^2}{24} \quad (9-8)$$

بر حسب آن که مسئله مربوط به تحلیل (M و L داده شوند) یا طراحی (q و L داده شوند) باشد دو شیوه برای حل مسئله وجود دارد . عبارت عمومی برای معادله کار عبارت است از :

$$\Sigma \left[\int_A q \Delta dA \right] = \Sigma \left[\theta \int_s M_n ds \right] \quad (10-8)$$

هر خط سیلان تمام قسمتهای صلب

در این مثال موقعیت واقعی خطوط سیلان معلوم و فولادگذاری هم مقدار در دو جهت عمود بر هم بود . در نتیجه مشکلی در تعیین لنگر در طول خط سیلان وجود نداشت . در بیشتر مسایل کار بین سادگی نیست . به هریک از الگوهای شکل ۸-۱۵ نگاه کنید ، در هر یک از حالات الگوها پیچیده بوده و به درستی مشخص نشده‌اند و در حالت فولادگذاری متفاوت در جهت عمود بر هم عمل " تعیین لنگر در طول هر خط سیلان غیر ممکن می‌شود . خوشبختانه کار داخلی به وسیله روش دیگری قابل محاسبه است .

خط سیلان AE را در نظر بگیرید . فولادهای جهت x جاری شده و لنگر مقاوم برابر σ در واحد عرض است .

$$\frac{ML}{2} = \text{مجموع لنگر در جهت } x \text{ در امتداد } AE$$

مقاطع X-X و Y-Y شکل ۱۴-۸ در شکل ۱۵-۸ نشان داده شده است در مقاطع شکل ملاحظه می شود بهدلیل وجود قسمتهای صلب دوران خمیری این لنگرها در تمام طول AE برابر θ_x است . با استفاده از ابعاد شکل

$$\theta_x = 1 \left/ \frac{L}{2} \right. = \frac{2}{L}$$

کار داخلی انجام شده توسط لنگر در جهت x برابر است با

$$\text{کار داخلی} = \frac{ML}{2} \times \frac{2}{L} = M$$

در جهت y ، مجموع لنگر در طول $AE = ML/2$ است . مقاطع مشابه با X-X و Y-Y را می توان رسم کرد و نشان داد که :

$$\theta_y = \frac{2}{L}$$

بنابراین کار داخلی مجدداً " برابر M می شود .

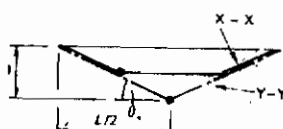
$M = M + M = 2M$ = مجموع کار داخلی برای AE

سه قسمت دیگر الگوی خط سیلان مشابه با AE می باشد ، یعنی

$$(11-8) \quad (\text{مانند قبل}) \quad 4 \times 2M = 8M = \text{مجموع کار داخلی می شود .}$$

در این روش لنگر در طول خط سیلان و دوران خمیری خط سیلان به مؤلفه های برداری تقسیم شدند .

$$\begin{aligned} \int_S M_x \, ds &= \int M_x \, dy + \int M_y \, dx \\ \vec{\theta} &= \vec{\theta}_x + \vec{\theta}_y \\ \theta \cdot M_n &= (\theta_x + \theta_y) \cdot \left(\int M_x \, dy + \int M_y \, dx \right) \\ &= \theta_x \cdot \int M_x \, dy + \theta_y \cdot \int M_y \, dx \end{aligned} \quad (12-8)$$



شکل ۱۵-۸

اگر رابطه فوق برای هر خط سیلان نوشته شده و با یکدیگر جمع شوند عبارت عمومی برای کار داخلی را به دو شکل می‌توان نوشت

$$\Sigma \left[\theta \int_s M_x ds \right] = \Sigma \left[\theta_x \int M_x dy + \theta_y \int M_y dx \right] \quad (13-8)$$

برای مثال فوق استفاده از این روش سودی ندارد، ولی همان طور که ملاحظه خواهد شد در مثالهای بعد غالباً "تنها روش ممکن است".

۲-۸-۶ تاوه مربع شکل با لبه‌های گیردار و تحت بار گستردہ یکنواخت

این تاوه در شکل ۸-۶ نشان داده شده است. دوسری لنگر مقاوم وجود دارد. آنها می‌که به وسیله بردارهای پر مشخص شده‌اند توسط فولادهای پایین تاوه (مقاوم در مقابل لنگرهای مثبت) تأمین می‌شوند. بردارهای خط چین، لنگرهای مقاوم تأمین شده به وسیله فولادهای فوقانی را نشان می‌دهند. در هر دو حالت فولادگذاری هم مقدار درد و جهت عمود برهم است.

از نظر محاسبات تنها مورد اختلاف با مثال قبل مربوط به کار خارجی خطوط سیلان منفی اطراف لبه دال می‌باشد. اگر به مرکز تاوه یک تغییر مکان قائم واحد داده شود کار خارجی مشابه مثال قبل است.

$$\text{کار داخلی خطوط سیلان مثبت} = \frac{qL^2}{3}$$

کار داخلی خطوط سیلان منفی مثبت همانند مثال قبل است.

$$= 8M$$

کار داخلی در خطوط سیلان منفی

$$= 4 \times iML \times \frac{1}{L/2}$$

$$= 8iM \quad \text{در طول خط سیلان}$$

توجه شود که می‌توان از علامت لنگر و دوران صرف نظر کرد و کار داخلی همیشه مثبت می‌شود. دوران خط سیلان منفی عبارت از زاویه α در مقطع شکل ۸-۵ است.

$$= 8(1+i)M$$

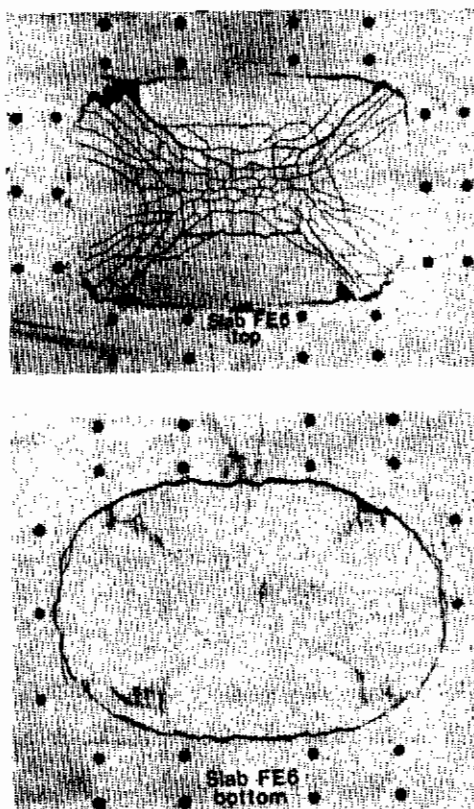
مجموع کار داخلی

برای تعادل

$$\frac{qL^2}{3} = 8(1+i)M$$

در گوشها مکانیزم ایجاد می‌کند که یک خط سیلان مثبت و دو خط سیلان منفی که از یک نقطه می‌گذرند بوجود آیند. همان گونه که قبلاً شرح داده شد لنگر در هر نقطه‌ای روی خط سیلان باید یکی از لنگرهای اصلی در آن نقطه باشد. در معیار تسلیم رسیدن هردو لنگر اصلی به مقدار مقاومت مربوطه به آنها امکان پذیر است بنابراین در هر نقطه می‌توان دو خط سیلان در نظر گرفت که بر یکدیگر عمودند. واضح است در گوشها سه خط سیلان وجود دارد که پذیرفتی نیست. برای مکانیزم فوق محاسبات کاملاً معتبر بوده ولی روشن است که جواب یک کرانه بالایی است.

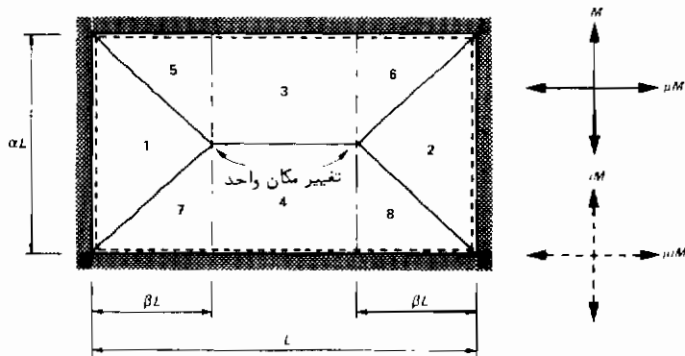
۸-۲-۶-۳ تاوه مستطیلی اورتروپیک با لمبهای گیردار در این مثال از مدل شکست تاوه مستطیلی شکل ۸-۱۶ استفاده شده است.



شکل ۸-۱۶ آزمایش برای تاوه مستطیلی با لمبهای گیردار

الگوی سیلان شکل ۱۷-۸ با توجه به چگونگی ترکهای بزرگ و بتن خرد شده به دست آمده است. آزمایشها نشان می‌دهد که نقطه تلاقی خطوط سیلان مشتبه توسط طسول βL مشخص می‌شود که بستگی به نسبت طولهای اضلاع و پارامتر β که معرف فولادگذاری متفاوت در دو جهت است، دارد. در نتیجه موقعیت واقعی خطوط سیلان مورب نامعلوم است. این بدان معنی است که برای تعیین لنگر و دوران این خطوط سیلان عبارتهای پیچیده‌ای لازم است. به کمک روش برداری، کار داخلی را بدون زحمت زیادی می‌توان به دست آورد.

وقتی معادله کار به دست آورده شد، لازم است مقدار بحرانی β را تعیین کرد. فرض می‌شود که بارهای وارد بر تاوه، بارگسترهای یکنواخت q بر واحد سطح و با رخنه Q بر واحد طول در امتداد خط مرکزی بلندتر باشد. تغییر شکل مکانیزم توسط تغییر مکان واحد تعریف می‌شود که در شکل ۱۷-۸ نشان داده شده است.



شکل ۱۷-۸

$$\begin{aligned}
 \text{کار خارجی} &= q \frac{\alpha L \times \beta L}{2} \times \frac{1}{3} \times 2 + q \frac{\alpha L \times (1 - 2\beta)L}{2} \times \frac{1}{2} \times 2 \\
 &\quad 1, 2 \qquad\qquad\qquad 3, 4 \\
 &+ q \frac{\alpha L}{2} \times \frac{\beta L}{2} \times \frac{1}{3} \times 4 + Q \beta L \times \frac{1}{2} \times 2 + Q \times (1 - 2\beta)L \times 1 \\
 &\quad 5, 6, 7, 8 \qquad\qquad\qquad 1, 2 \qquad\qquad\qquad 3, 4
 \end{aligned}$$

برای سادگی محاسبات قسمتهای صلب به مثلاً ها و مستطیلهای تقسیم شده است. هریک از قسمتهای شماره‌گذاری شده‌ها محاسبات مربوط به آن مشخص باشد. اعداد زیر هر عبارت مربوط به اعداد شکل ۱۷-۸ می‌باشند.

$$\begin{aligned}
 q \frac{\alpha\beta L^2}{3} + q \left(\frac{\alpha}{2} - \alpha\beta \right) L^2 + q \frac{\alpha\beta L^2}{3} \\
 + Q\beta L + Q(1 - 2\beta)L \\
 = q \left(\frac{\alpha}{2} - \frac{\alpha\beta}{3} \right) L^2 + Q(1 - \beta)L
 \end{aligned}$$

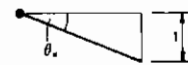
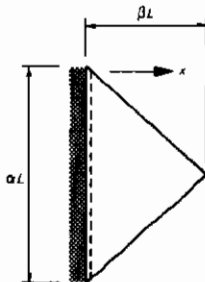
برای محاسبه کار داخلی قدری باید تأمیل کرد . خطوط سیلان شکل ۱۸-۸ را در نظر بگیرید . تنها با استفاده از مؤلفه‌های برداری در جهت x خواهیم داشت .

$$= \text{کار داخلی} = \mu M \times \alpha L \times \theta_x + \mu i M \times \alpha L \times \theta_x$$

خطوط سیلان منفی خطوط سیلان مثبت

$$= \mu M(1 + i) \times \alpha L \times \frac{1}{\beta L}$$

$$= \mu M(1 + i) \frac{\alpha}{\beta}$$



شکل ۱۸-۸

برای طرف دیگر تاوه نیزمی توان از عبارت فوق استفاده کرد . سایر خطوط سیلان موازی محور x بوده و مؤلفه‌ای برای θ در آن جهت ندارند . این بدان معنی است که مجموع کار داخلی برای مؤلفه جهت x عبارت است از

$$= 2\mu M(1 + i) \frac{\alpha}{\beta}$$

اکنون قسمتی از تاوه را که در شکل ۱۹-۸ نشان داده شده است در نظر بگیرید . قسمت

صلب ذوزنقه‌ای شکل مسطح است بنابراین زاویه θ_y ، دوران خمیری برای مولفه‌های y هر خط سیلان در شکل ۱۹-۸ می‌باشد.

$$\text{کار داخلی} = ML\theta_y + iML\theta_y$$

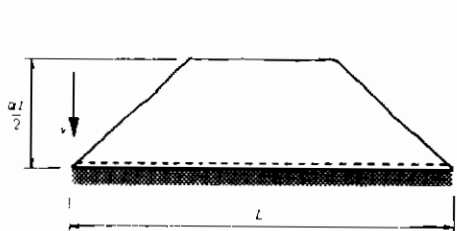
خطوط سیلان منفی خطوط سیلان مثبت

$$= M(1+i)L \times \frac{1}{\alpha L/2}$$

$$= 2M(1+i) \frac{1}{\alpha}$$

بنابراین

$$\begin{aligned} \text{مجموع کار داخلی} &= 2\mu M(1+i) \frac{\alpha}{\beta} + 4M(1+i) \frac{1}{\alpha} \\ &= 2M(1+i) \left(\frac{2}{\alpha} + \frac{\mu\alpha}{\beta} \right) \end{aligned}$$



شکل ۱۹-۸

و معادله کار عبارت است از:

$$2M(1+i) \left(\frac{2}{\alpha} + \frac{\mu\alpha}{\beta} \right) = q \left(\frac{\alpha}{2} - \frac{\alpha\beta}{3} \right) L^2 + Q(1-\beta)L \quad (14-8)$$

معادله ۱۴-۸ لذکر مقاوم M را به مباره‌های q و Q مریوط می‌سازد. مقدار بحرانی متغیر β مقداری است که به ازای داده‌های q و Q بزرگترین مقدار M به دست می‌آید (با بر عکس). با تعیین β که از معادلات زیر به دست می‌آید مقدار حد اکثر M حاصل می‌شود.

$$\frac{dM}{d\beta} = 0 \quad \text{با} \quad \frac{dq}{d\beta} = 0 \quad (15-8)$$

(از معادله دوم برمی‌آید که رابطه‌ای بین q و Q وجود دارد) . برای نشان دادن چگونگی موضوع و برای سادگی محاسبات فرض می‌شود که $Q = 0$ است : بنابراین

$$2M(1+i) = q \left(\frac{\alpha}{2} - \frac{\alpha\beta}{3} \right) L^2 \Bigg/ \left(\frac{2}{\alpha} + \frac{\mu\alpha}{\beta} \right) \quad (16-8)$$

با استفاده از قاعده دیفرانسیل

$$\frac{2(1+i)}{qL^2} \frac{dM}{d\beta} = \frac{\left(\frac{2}{\alpha} + \frac{\mu\alpha}{\beta} \right) \left(-\frac{\alpha}{3} \right) - \left(-\frac{\mu\alpha}{\beta^2} \right) \left(\frac{\alpha}{2} - \frac{\alpha\beta}{3} \right)}{\left(\frac{2}{\alpha} + \frac{\mu\alpha}{\beta} \right)^2} = 0$$

که به صورت زیر خلاصه می‌شود .

$$\begin{aligned} \left(\frac{2}{\alpha} + \frac{\mu\alpha}{\beta} \right) \left(-\frac{\alpha}{3} \right) + \left(\frac{\mu\alpha}{\beta^2} \right) \left(\frac{\alpha}{2} - \frac{\alpha\beta}{3} \right) &= 0 \\ -\frac{2}{3} - \frac{\mu\alpha^2}{3\beta} + \frac{\mu\alpha^2}{2\beta^2} - \frac{\mu\alpha^2}{3\beta} &= 0 \\ \frac{2}{3} + \frac{2\mu\alpha^2}{3\beta} - \frac{\mu\alpha^2}{2\beta^2} &= 0 \end{aligned}$$

با ضرب طرفین معادله در $6\beta^2$ داریم :

$$4\beta^2 + 4\mu\alpha^2\beta - 3\mu\alpha^2 = 0$$

که با حل آن

$$\begin{aligned} \beta &= \frac{-4\mu\alpha^2 \pm \sqrt{(16\mu^2\alpha^4 + 48\mu\alpha^2)}}{8} \\ &= \frac{-\mu\alpha^2}{2} \pm \frac{1}{2}\sqrt{(\mu^2\alpha^4 + 3\mu\alpha^2)} \end{aligned}$$

مقدار ممکنه β وقتی حاصل می‌شود که زیر رادیکال مثبت باشد (مقدار منفی نشان می‌دهد که خطوط سیلان خارج از تاوه قرار می‌گیرند) بنابراین

$$\beta_{\text{crit}} = \frac{-\mu\alpha^2}{2} + \frac{1}{2}\sqrt{(\mu^2\alpha^4 + 3\mu\alpha^2)} \quad (17-8)$$

با جایگزینی این مقدار در معادله ۱۶-۸ جواب بحرانی از معادله کار به دست می‌آید . معادله

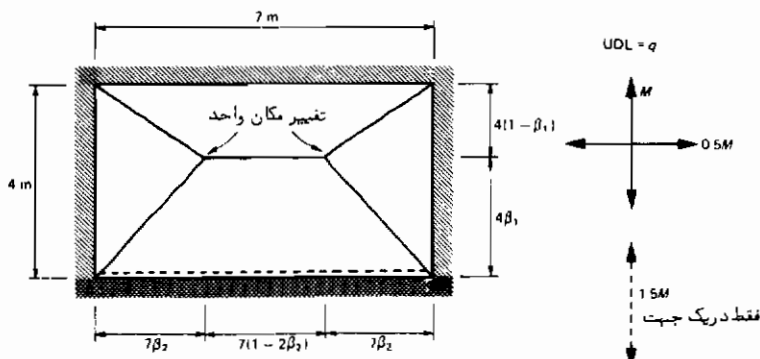
۱۷-۸ نشان می‌دهد که β_{crit} بستگی به ضرایب μ و α دارد که به ترتیب مشخص کننده وضعیت فولادگذاری عمود برهم و نسبت اضلاع تاوه هستند. خواننده می‌تواند تحقیق کند که وقتی $Q = kqL$ است معادله درجه دوم برای β_{crit} عبارت است از:

$$4\beta^2 + 4(\mu\alpha^2 + 3\mu\alpha k) - 3(\mu\alpha^2 + 2\mu\alpha k) = 0$$

۱۸-۶-۴ تاوه مستطیلی ارتروپیک با تکیه‌گاههای مختلط

تعیین حالت بحرانی وقتی که متغیرهای متعددی در مکانیسم وجود دارد بسیار پیچیده می‌شود. تاوه شکل ۲۵-۸ را در نظر بگیرید. بدليل شرایط مرزی مختلف روی لبه‌های طویل، دو متغیر β_1 و β_2 وجود دارد. بدست آوردن معادله کار بسیار شبیه به مثال قبل است. این معادله عبارت است از

$$\frac{7M}{4} \left[\frac{1.5\beta_2(1-\beta_1) + \beta_2 + 0.3265\beta_1(1-\beta_1)}{\beta_1\beta_2(1-\beta_1)} \right] = \frac{14q}{3}(3-2\beta_2)$$



شکل ۲۵-۸

$$\frac{\partial M}{\partial \beta_1} = 0 \quad \frac{\partial M}{\partial \beta_2} = 0$$

با حل توابع معادلات زیر

مقادیر بحرانی β_1 و β_2 به دست می‌آید، ولی دیفرانسیل‌گیری بسیار دشوار است. روش دیگر استفاده از شیوه زمون و خطاست. به اسانی محدوده مناسبی برای β_1 و β_2 انتخاب کنید و سپس برای ترکیبات متعددی از β_1 و β_2 معادله کار را محاسبه نمایید. به نظر خسته کننده می‌آید ولی در واقع با داشتن یک ماشین حساب، بسیار سریع محاسبه می‌شود. و پس از کنی آزمایش به مقادیر بحرانی نزدیک می‌شود.

در این حالت β_1 نزدیک $5/0$ است، بنابراین با محدوده بین $3/0$ تا $7/0$ شروع می‌کنیم. β_2 کمتر از $5/0$ است بنابراین محدوده‌ای بین $15/0$ تا $35/0$ پیرایان در نظر می‌گیریم. محاسبات در جدول ۱-۸ داده شده است.

| β_2 | مقادیر M/q | | | | | | | | جدول ۱-۸ |
|-----------|--------------|-------|-------|-------|-------|-------|-------|-------|----------|
| 1 | 0.3 | 0.35 | 0.4 | 0.45 | 0.5 | 0.55 | 0.6 | 0.65 | 0.7 |
| 0.15 | 0.603 | 0.663 | 0.713 | 0.754 | 0.785 | 0.805 | 0.814 | 0.811 | 0.793 |
| 0.2 | | | 0.726 | 0.770 | 0.803 | 0.825 | 0.835 | 0.832 | 0.812 |
| 0.25 | | | | | 0.803 | 0.826 | 0.836 | 0.832 | 0.812 |
| 0.3 | | | | | | 0.815 | 0.825 | 0.821 | |
| 0.35 | | | | | | 0.796 | 0.807 | 0.803 | |

نتایج جدول را با مقادیر واقعی که در داخل پرانتزها نشان داده شده‌اند مقایسه کنید.

$$\beta_{1\text{crit}} = 0.6 \quad (0.613)$$

$$\beta_{2\text{crit}} = 0.25 \quad (0.227)$$

$$M = 0.836q \quad (0.838q)$$

ملاحظه می‌شود که اختلاف قابل توجه نیست.

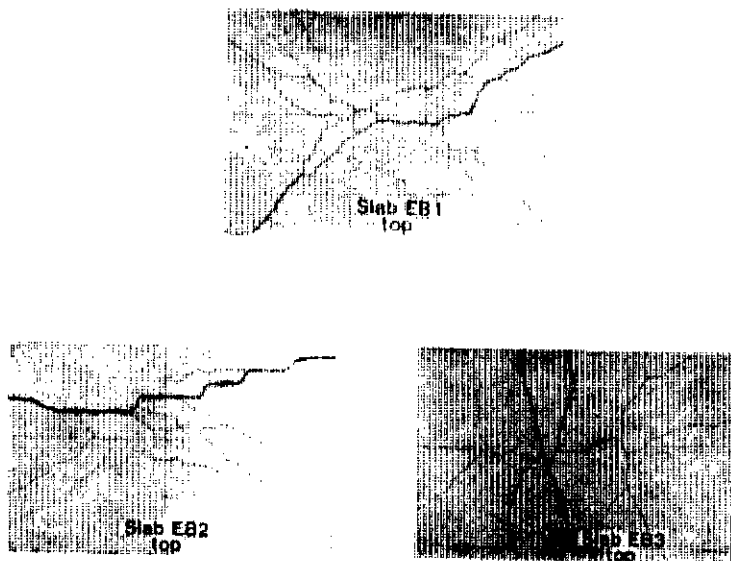
۸-۲-۷ تاوه‌های با تیرهای لبه محیطی

تاوه‌های بتن‌آرمای که پیرامون آنها روی تیرهای لبه تکیه دارد و فاصله ستونهای واقع در گوشش‌های تاوه دهانه این تیرها هستند بسیار معمول می‌باشد. تحت بارهای اعمال شده تاوه و تیرها همگی تغییر مکان می‌دهند. اکنون شرایط مرزی با آنچه تا کنون در نظر گرفته شده است تفاوت می‌کند ولذا بررسی بیشتری ایجاب می‌کند.

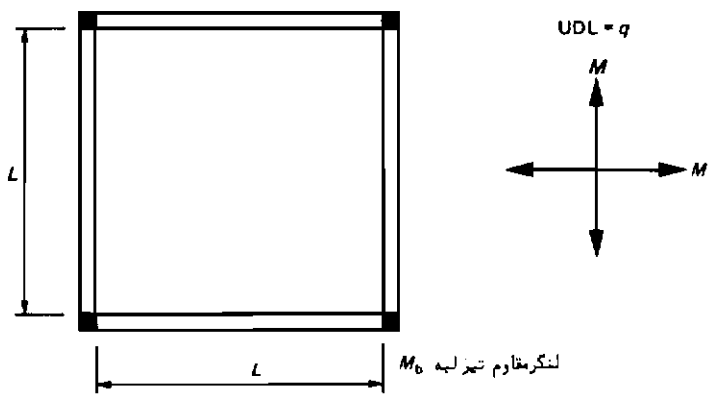
آزمایش‌های روی ترکیبات تاوه و تیر نتایج جالبی به دنبال داشته است. بسته به نسبت لنگرهای مقاوم تیرها و تاوه شکل‌های مختلف شکست به وجود می‌آید. شکل ۲۱-۸ مکانیزم‌های مختلفی را نشان می‌دهد که از آزمایش‌های روی تاوه حاصل شده‌اند. اشکال آنست که مشخص نیست در هر مسئله کدام مکانیزم به وجود می‌آید.

به نظر می‌رسد محاسب بایستی هر مکانیزم را آزمایش کند تا معلوم شود که کدام یک

بهزادی کمترین بار به وجود می‌آید . تاوه مربع شکل ۲۲-۸ را در نظر بگیرید . معادلات کار برای مکانیزم‌های مختلف به شرح زیر است .



شکل ۸-۲۱ آزمایشها برای تاوهای با تیرهای لبه

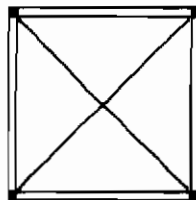


شکل ۲۲-۸

(الف) تیرهای محیطی بقدرتی قوی هستند که در تاوه مکانیزم قطری به وجود می‌آید تنها خطوط سیلان مثبت لازم می‌شود زیرا در گوشها ، تیرها پس از شکست پیچشی ، قابلیت چرخش دارند . (در شکل ۲۱-۸ به گوش سمت چپ تاوه EB1 نگاه کنید) معادله کار برای این

مکانیزم قبل " تعیین شد ما است (به قسمت ۸-۲-۶-۱ مراجعه شود) .

$$q = \frac{24M}{L^2} \quad (18-8)$$

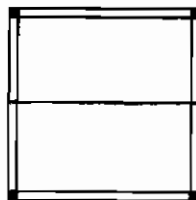


(ب) معادله کار با فرض تغییر مکان واحد در طول خط سیلان به دست می آید .

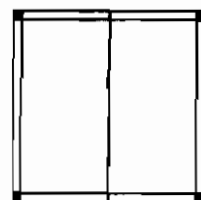
$$\begin{aligned} \text{کار داخلی} &= ML \left(2 \times \frac{1}{L/2} \right) + 2M_b \left(2 \times \frac{1}{L/2} \right) \\ &= 4M + \frac{8M_b}{L} \end{aligned}$$

$$\text{کار خارجی} = qL \times \frac{L}{2} \times \frac{1}{2} \times 2$$

$$= \frac{qL^2}{2}$$



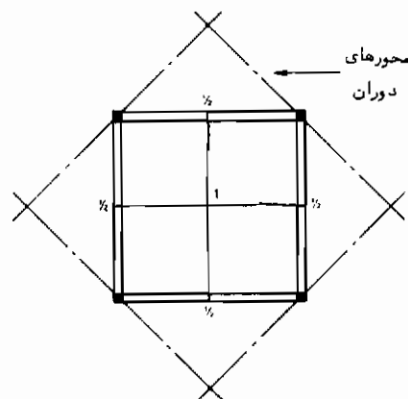
یا



برای فروریختگی داریم :

$$q = \frac{8M}{L^2} \left(1 + \frac{2M_b}{ML} \right) \quad (19-8)$$

(ج) با مراجعه به قوانین محورهای دوران تعیین تغییر مکانهای نسبی در مکانیزم ممکن می شود .



$$\begin{aligned} \text{کار داخلی} &= \left[ML \left(2 \times \frac{1/2}{L/2} \right) + 2M_b \left(2 \times \frac{1/2}{L/2} \right) \right] \times 2 \\ &\approx 4M + \frac{8M_b}{L} \end{aligned}$$

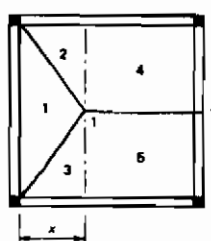
$$\begin{aligned} \text{کار خارجی} &= q \times \frac{L}{2} \times \frac{L}{2} \times \frac{1}{2} \times 4 \\ &= \frac{qL^2}{2} \end{aligned}$$

بنابراین با استفاده از معادله کار

$$q = \frac{8M}{L^2} \left(1 + \frac{2M_b}{ML} \right) \quad (20-8)$$

که مشابه با مکانیزم قبل است.

(د) این مکانیزم نهایی وقتی که یکی از لبه تیرها ضعیفتر از سایر لبه‌ها است بوجود می‌آید.



$$\text{کار داخلی} = ML \left(2 \times \frac{1}{L/2} \right) + M_b \left(2 \times \frac{1}{L/2} \right) + ML \frac{1}{x}$$

موله‌های برداری

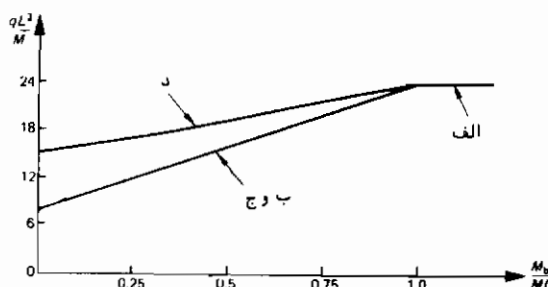
$$\begin{aligned}
 &= 4M + \frac{4M_b}{L} + \frac{ML}{x} \\
 &= 4M \left(1 + \frac{M_b}{ML} + \frac{L}{4x} \right) \\
 &= q \frac{Lx}{2} \times \frac{1}{3} + q \frac{L}{2} \times \frac{x}{2} \times \frac{1}{3} \times 2 + q(L-x) \times \frac{L}{2} \times \frac{1}{2} \times 2 \\
 &\quad 1 \quad 2,3 \quad 4,5 \\
 &= q \frac{Lx}{6} + q \frac{Lx}{6} + q \frac{L^2}{2} - q \frac{Lx}{2} \\
 &= \frac{qL}{2} \left(L - \frac{x}{3} \right)
 \end{aligned}$$

بنابراین

$$q = \frac{8M}{L} \left(1 + \frac{M_b}{ML} + \frac{L}{4x} \right) / \left(L - \frac{x}{3} \right) \quad (21-8)$$

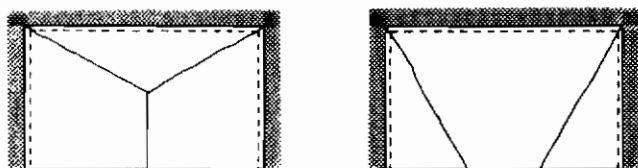
از رابطه فوق نسبت به x مشتق گرفته و نتیجه‌را مساوی صفر قرار می‌دهیم در این حال مقدار بحرانی x بدست می‌آید.

در نظر گفتن بارهای فروریختگی در معادلات ۱۸-۸ تا ۲۱-۸ جالب توجه خواهد بود. در معادلات ۱۹-۸ تا ۲۱-۸ بار فروریختگی بستگی به M_b/ML که نسبت مقادیر لنگرهای مقاوم تیرهای محیطی و تاوه است، دارد. شکل ۲۳-۸ نمودار مربوط به مقادیر بار فروریختگی بر حسب M_b/ML است. نمودار نشان می‌دهد که وقتی $M_b/ML > 1$ است مکانیزم (الف) بحرانی است زیرا تیرها در مقابل فروریختگی به اندازه کافی قوی هستند. وقتی $M_b/ML = 1$ است بار فروریختگی مکانیزمها یکسان است.



شکل ۲۳-۸

مطالعه اثر متقابل تیرها و تاوه همان طور که (۲۱ و ۲۰) وود نشان داده است موضوع جالب توجهی است و بدین جهت در این بخش به عنوان نکته‌ای مورد بررسی قرار گرفته است. در بعضی از تاوه‌ها، بویژه آنها بیکاری که دارای تیرهای محیطی یا لبه‌های آزاد هستند، مکانیزم‌های ممکن متعددی وجود دارد که برای هریک، الگوهای خطوط سیلان مختلفی می‌توان رسم کرد و برای پیدا کردن بار فروریختگی تاوه لازم است هریک را تحلیل کرد. شکل ۸-۸ مثال نمونه‌ای را نشان می‌دهد.

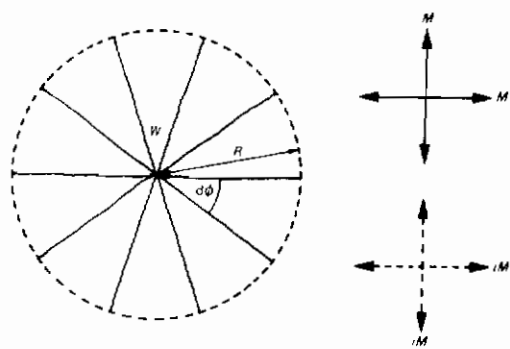


شکل ۸-۸

۸-۲-۸ خط سیلان پروانه‌ای

۸-۲-۱ تاوه‌های با بارهای مرکزی

وقتی یک تاوه با بارگذاری مرکزی آزمایش می‌شود، ترکها از نقطه زیر بار به صورت شعاعی شکل می‌گیرند. شکست خمش وقتی به وجود می‌آید که ترکهای شعاعی کاملاً "توسعه یافته" و یک ترک دایری‌ای شکل در طرف دیگر تاوه تشکیل گردد این مکانیزم فروریختگی در شکل ۸-۸ مشخص شده است. (اطراف بار مرکزی برش می‌تواند مطرح باشد، اما در این کتاب مورد نظر نمی‌باشد) به مکانیزم فوق با توجه به شکل ۸-۸ "خط سیلان پروانه‌ای" می‌گویند مقدار W که باعث فروریختگی می‌شود با تغییر مکان واحد آن به‌طور قائم به روش معمول محاسبه می‌شود.

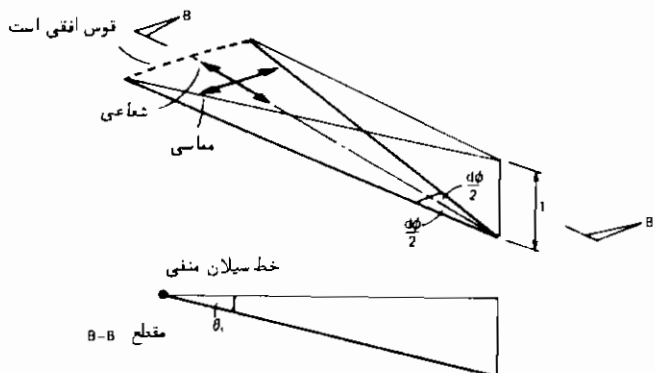


شکل ۸-۹

$$W \times 1 = \text{کار خارجی}$$

$$W$$

محاسبه کار داخلی به سادگی کار خارجی نیست و لازم است چگونگی مکانیزم مورد بررسی قرار گیرد. منطقه صلب خارج از خط سیلان منفی، مسطح وافقی باقی می‌ماند. هر قسمت از پروانه مطابق شکل ۲۶-۸ تغییر شکل می‌دهد. تمام تغییرشکلها با دوران خمیری در لبه‌های آن قسمت بوجود می‌آیند. در نظر گرفتن مؤلفه‌های برداری لازم است. اندو این حالت مؤلفه‌های شعاعی و مماسی نشان داده شده‌اند. وقتی که فولادگذاری هم مقدار در جهت عمود برهم است لنگرهای دو جهت M و iM به ترتیب برای خطوط سیلان مثبت و منفی در نظر گرفته می‌شوند.



شکل ۲۶-۸

از آنجا که منطقه خارج از مکانیزم مسطح وافقی است. منحنی خط سیلان منفی نیز افقی است. این بدان معنی است که در امتداد جهت شعاعی هر قسمت نسبت به قسمت دیگر دورانی نخواهد کرد، یعنی برای مؤلفه‌های شعاعی دوران

$$0 = \text{کار داخلی است}$$

برای مؤلفه مماسی دوران

$$\begin{aligned} \text{کار داخلی} &= MR d\phi \times \theta_t + iMR d\phi \times \theta_t \\ &= M(1 + i)R d\phi \times \frac{1}{R} \\ &= M(1 + i)d\phi \end{aligned}$$

مجموع کار داخلی عبارت است از حاصل جمع کار داخلی کلیه قسمتها . برای یک پروانه با زاویه مرکزی ϕ

$$\text{مجموع کار داخلی} = M(1 + i)\phi$$

و برای یک پروانه کامل

$$\text{مجموع کار داخلی} = M(1 + i)2\pi$$

نکته جالب توجه آنست که کار داخلی مستقل از شعاع پروانه می‌باشد این بدان معنی است که در یک تاوه با لبه‌های گیردار با هر شکلی که باشد در همه جا فولادگذاری فوقانی وجود خواهد داشت . بار فروریختگی به صورت زیر است .

$$W_c = 2\pi M(1 + i) = 6.28M(1 + i)$$

چون شرطی برای شعاع پروانه وجود ندارد ، پروانه کامل می‌تواند در داخل تاوه به وجود آید . ضریب ϕ " صرفاً " وسیله‌ای برای بیان لنگر در طول خطوط سیلان منفی بر حسب لنگر مثبت است . البته ، هر مقداری می‌تواند داشته باشد . بنابراین وقتی $i = 0$ ، نتیجه مربوط به تاوهای با تنها فولاد تحتانی است . پس یک تاوه با تکیه‌گاههای ساده و بار متتمرکز وقتی فروریخته خواهد شد که

$$W_c = 6.28M$$

یک طراح که اطلاعی از خط سیلان پروانهای ندارد ، برای یک تاوه با فولادگذاری هم مقدار با لبه‌های گیردار "احتمالاً" الگوی خطوط سیلان قطری مطابق بخش ۲ - ۶ - ۸ را انتخاب خواهد کرد . از الگوی قطری رابطه زیر به دست می‌آید :

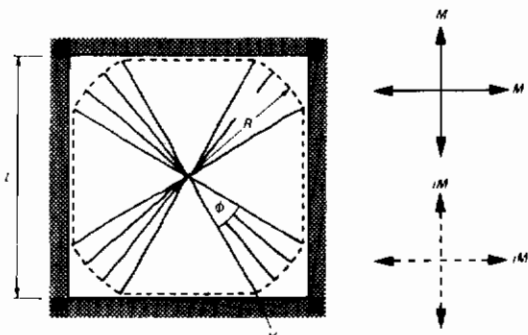
$$W_c = 8M(1 + i)$$

این مقدار ۲۷ درصد بیشتر از بار فروریختگی پروانهای است :

۲ - ۸ - ۲ موارد دیگر از خطوط سیلان پروانهای

مثال بخش ۲ - ۸ - ۶ - ۲ به عنوان یک کرانه بالایی مطرح شد چرا که در گوشه‌ها خطوط سیلان زیادی ایجاد می‌شوند که از آنها صرف نظر شده بود . در عکس مربوط به تاوه مربع - شکل گیردار (شکل ۵ - ۸) ملاحظه می‌شود که خطوط سیلان منفی با انحنایی از کنار گوشه‌ها می‌گذرند . همچنین ترکهای زیادی نزدیک قطرها به وجود می‌آید . این ترکهای را می‌توان خطوط

سیلان مثبت دانست. در نتیجه الگوی خط سیلان در شکل ۲۷-۸ می‌تواند شکل مطلوب تری از مکانیزم فروریختگی باشد.



شکل ۲۷-۸

این مکانیزم شامل چهار پروانه است که به اندازه زاویه ϕ گسترش یافته‌اند. بیادداریم که مرکز سطح یک قطعه دایروی در فاصله دو سوم شعاع دایره از مرکزان است. می‌توان نشان داد که معادله کار برای این مکانیزم عبارت است از:

$$q = \frac{24M(1+i)}{L^2} \left[\frac{\frac{\phi}{2} + \tan\left(\frac{\pi}{4} - \frac{\phi}{2}\right)}{\frac{\phi}{2} \sec^2\left(\frac{\pi}{4} - \frac{\phi}{2}\right) + \tan\left(\frac{\pi}{4} - \frac{\phi}{2}\right)} \right]$$

قسمت اول معادله فوق (که داخل کادر است) مساوی با جواب مربوط به حالت خط سیلان قطری است. زاویه ϕ متغیر است، و مقدار بحرانی آن با محاسبات تقریباً "برابر با 45° " می‌باشد.

$$q = \frac{21.75M(1+i)}{L^2}$$

این جواب هنوز تها یک کرانه بالایی است. در نقطه ۲، اگر چه اکنون خط سیلان منفی پیوسته است لیکن زاویه تلاقی خطوط سیلان منفی و مثبت 90° نمی‌باشد. فاکس ۱ (۳۲) جواب واقعی را به ازای $i=1$ بدست آورده است. محاسبات انجام شده توسط وی نشان داد که مکانیزم فروریختگی شرایط تعادل، تسلیم و مکانیزم را برآورده می‌سازد، حل مسئله با استفاده از عملیات ریاضی و کامپیوتر انجام گردید. مقدار واقعی بار فروریختگی

عبارت است از:

$$q = \frac{42.851M}{L^2}$$

مقدار اضافه‌بار فروریختگی حاصله نسبت به حالت مکانیزم قطری ۱۲ درصد و نسبت به حالت مکانیزم پروانه‌ای ۱/۵ درصد می‌باشد. زحمت اضافه ناشی از بهکارگیری مکانیزم اخیر باستی در مقابل اعمال افزایشی در ضریب اطمینان مورد سنجش قرار گیرد. بهیاد بیاوریم که بتن مصالحی متغیر بوده و نظریه خطوط سیلان براساس فرضیات ساده کننده‌ای می‌باشد.

۲-۹ جزئیات طراحی

به کمک روش خطوط سیلان، لنگرهای مقاوم لازم جهت مقاومت در مقابل فروریختگی به دست می‌آید. در بارهای عملی تاوه هنوز در حد ارتقایی است، با گسترش مکانیزم فروریختگی به مقدار قابل ملاحظه‌ای لنگرها توزیع مجدد می‌شوند و ترک خوردنی بتن بهانجام آن کمک می‌کند. برای تأمین آنکه در بارهای عملی ترکها کوچک باشند بایستی فولادگذاری را با نسبت‌های عملی در نظر گرفت، تا درنتیجه تحت بارهای عملی توزیع لنگر ارتقایی متناسب گردد. در تمام مثالهای تاوه با لبه‌های گیردار لنگر مقاوم اطراف لبه‌ها به کمک ضریب γ طوری انتخاب شده‌اند تا با لنگرهای مقاوم وسط تاوه متفاوت باشند. ضریب فوق بایستی چنان درنظر گرفته شود که لنگرهای مقاوم تقریباً "به همان نسبت لنگرهای ارتقایی در بارهای عملی باشد" $CP110$ پیشنهاد می‌کند که ضریب γ بایستی بین $1/5$ تا $1/10$ باشد، اگر چه نتایج نظریه ارتقایی (۲۹) نشان می‌دهد که این محدوده بایستی بین $1/5$ تا $2/5$ باشد.

۲-۱۰ روش تعادل

روش کار مجازی ممکن است به محاسبات ریاضی پیچیده‌ای بیان‌جامد. روش دیگری ارائه شده است که تعادل هریک از قسمت‌های صلب را در نظر می‌گیرد. روش تعادل در این کتاب تشریح نخواهد شد، زیرا نویسنده تصور می‌کند که برای شروع کار روش کار مجازی ساده‌تر است. روش تعادل بسیار نیرومند بوده و در کتابهای درسی متعدد کاملاً تشریح شده است.

۳-۸ روش نواری هیلربروگ

۳-۸-۱ تاریخچه

این روش در سال ۱۹۵۶ میلادی توسط هیلربروگ ابداع گردید (۳۴). در روش هیلر

بورگ کرانه پایینی برای مقاومت تاوه به دست می‌آید و بنابراین "ذاتاً" در جهت اطمینان است. قبل از مراجعه به این روش لازم است خمش در تیر و تاوه مقایسه شوند. در شکل ۸-۲۸ با بررسی تعادل اجزاء کوچکی از تیر و تاوه این کار انجام شده است. در جزء تیر تعادل در جهت قائم به وسیله نیروهای برشی در هریک از دو انتهای و در جزء تاوه به وسیله نیروهای برشی روی تمام چهار وجه تأمین شده است. برای حفظ تعادل لنگر، لنگرها می‌باید در دو انتهای جزء تیر و اطراف جزء تاوه اترکند. اختلاف در آنست که در تاوه هم لنگرهای خمشی و هم لنگرهای پیچشی وجود دارد (با توجه به طبیعت دو بعدی تاوه). از معادلات حاصله ضوابطی برای تعادل خمشی به دست می‌آید و از آنجا که در این معادلات صحبتی از طبیعت مصالح نشده است فروریختگی مطرح نمی‌شود. در تیر لنگرهای خمشی در مقابل بارهای اعمال شد مقاومت می‌کنند، در تاوه این بارها توسط لنگرهای خمشی حول محورهای x و y و همچنین لنگرهای پیچشی تحمل می‌شوند. معادله تعادل زیر نقطه شروعی برای روش هیلر بورگ است. در صورتی

$$\frac{\partial^2 M_x}{\partial x^2} + \frac{\partial^2 M_y}{\partial y^2} - \frac{\partial^2 M_{xy}}{\partial x \partial y} + \frac{\partial^2 M_{yx}}{\partial y \partial x} = -q$$

که فرض شود لنگرهای پیچشی M_{xy} و M_{yx} همیشه صفر باشند، از مقاومت پیچشی تاوه صرف نظر شده است (با صرف نظر از مقاومت پیچشی، مقاومت کلی می‌بایستی دست بالا باشد). با توجه به این موضع معادله تعادل به صورت زیر در می‌آید.

$$\frac{\partial^2 M_x}{\partial x^2} + \frac{\partial^2 M_y}{\partial y^2} = -q$$

اکنون فرض کنید که قسمتی از بار توسط خمش حول محور x و قسمتی توسط خمش حول محور y تحمل شود، بنابراین:

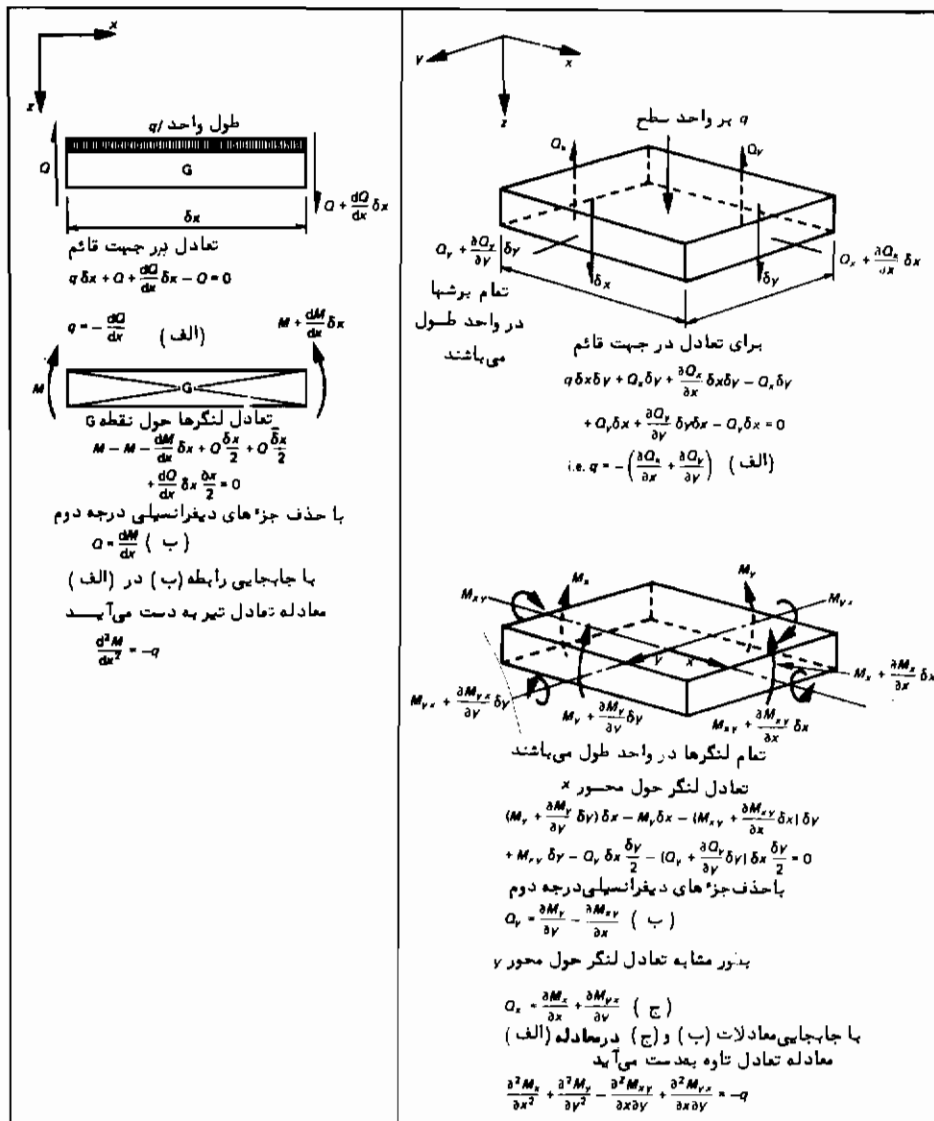
$$\frac{\partial^2 M_x}{\partial x^2} = -\alpha q$$

$$\frac{\partial^2 M_y}{\partial y^2} = -(1 - \alpha)q \quad \text{می‌شود}$$

این معادلات مشابه معادله مربوط به خمش تیر می‌باشد. مسئله تاوه به مسئله خمش یک تیر تبدیل شده است. احتمالاً بسیار مناسب و نه ضروریست که α برابر با یک یا صفر فرض شود، بنابراین:

$$\frac{\partial^2 M_x}{\partial x^2} = -q \quad \frac{\partial^2 M_y}{\partial y^2} = 0 \quad \alpha = 1 \quad \text{برای}$$

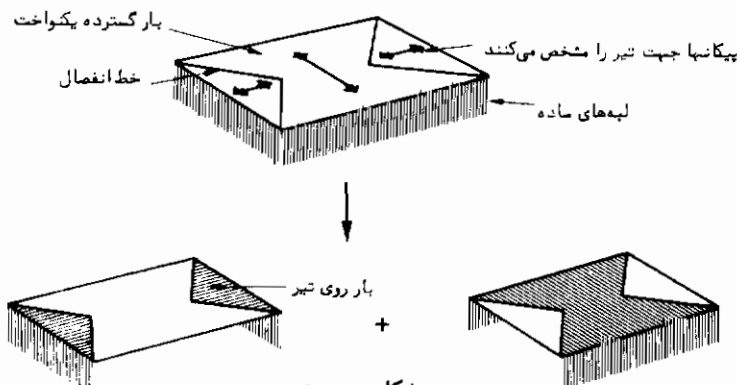
$$\frac{\partial^2 M_x}{\partial n^2} = 0 \quad \frac{\partial^2 M_y}{\partial y^2} = -q \quad \text{برای } \alpha = 0$$



شکل ۲۸-۸

بنابراین فرض شده است که در فروریختگی با توسط تیرهایی بین لبه‌های دو طرف مقابله تاوه تحمل شده است. این موضوع در شکل ۲۹-۸ نشان داده شده است.

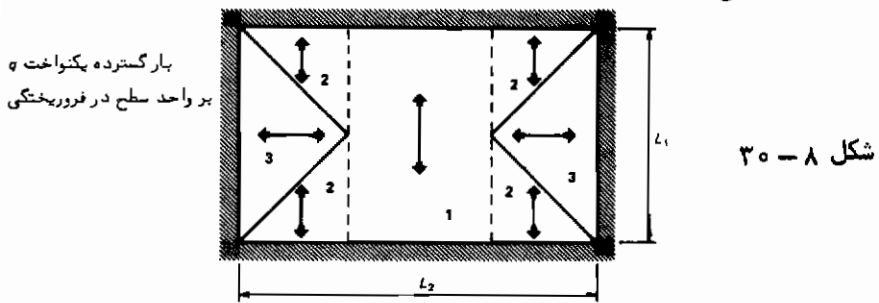
"خطوط انفصال صرفاً" بار روی تاوه را تقسیم می‌کند. برای هر خط وضعیت بحرانی وجود ندارد، بنابراین نیازی به محاسبات پیچیده ریاضی نیست. این موضوع کمی از فواید این روش است مسئله طراحی تاوه اکنون به طراحی تیر تبدیل شده است. بهتر است این موضوع توسط چند مثال روشن شود.



شکل ۲۹-۸

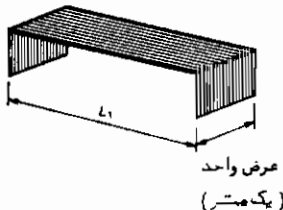
۲-۳-۲ تاوه مستطیلی با تکیه‌گاهها ساده تحت بار گسترده پکواخت

تاوه شکل ۳۰-۸ را در نظر بگیرید. بدیهی است که در گوشه‌های تاوه بار بایستی توسط هر دو لبه که پکدیگر را در گوش تاوه قطع می‌کنند تحمل شود. از اینرو مطابق شکل منطقی است که خط انفصال از گوش تاوه بگذرد. بردارها جهتی را که بار در امتداد آن پخش می‌گردد و بهله‌های تاوه توسط خمن برد می‌شود نشان می‌دهند. در میانه اضلاع بلندتر بار تنها روی تیری بهدهانه فاصله بین دو ضلع بلند وارد می‌شود. کل بارگذاری روی دو تیر به آنچه که در شکل ۲۹-۸ نشان داده شده است بسیار شبیه است، ولی نیازی به فولادگذاری پکسان در هر دو تیر نیست. تیرها به وسیله خطوط خط چین به نوارهای جزئی تری تقسیم شده‌اند. (مطابق شکل). (نامگذاری روش فوق بهدلیل وجود همین نوارها است) تحلیل نوارهای مجزا به شرح زیر است:



روش‌های خمیری برای سازه‌های فولادی و بتنی

نوار ۱ – نواری به عرض واحد را در نظر بگیرید. این نوار تیری به دهانه L_1 است. که تحت بار پکتواخت می‌باشد.

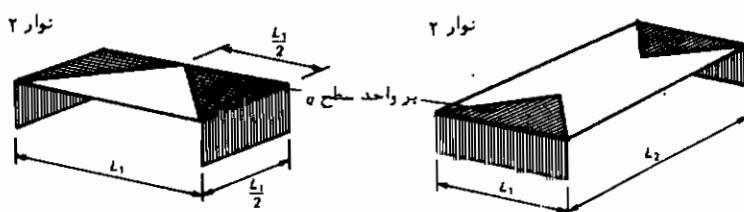


$$\text{بار روی نوار} = q \times 1$$

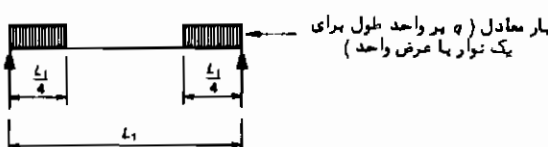
$$\text{در واحد طول} = q$$

$$\text{در واحد عرض} = \frac{qL_1^2}{8} = \text{حداکثر لنگر}$$

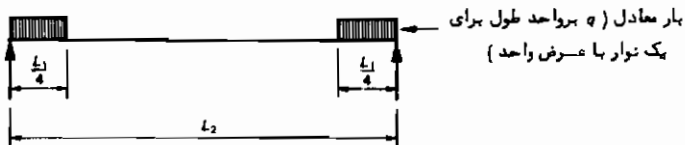
این لنگر، لنگر طراحی نوار است. تحلیل نوارهای ۲ و ۳ پیچیده است برای سادگی کار مجموع بار را به طور پکتواخت در عرض نوار پخش کرده و سپس از یک ضریب تصحیح استفاده می‌کنیم به طوری که لنگر واقعی بددست آید.



نوار ۲ – اکتون می‌توان از عرض واحدی از تاوه که مطابق شکل زیر بارگذاری شده است استفاده نمود.



نوار ۳

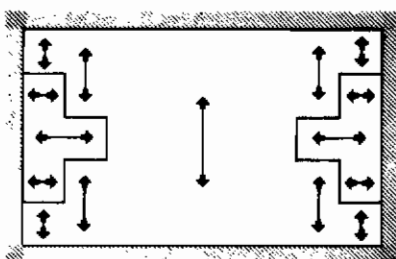


$$\text{در واحد عرض } \frac{qL^2}{32} = \text{حداکثر لنگر}$$

$$\text{در واحد عرض } \frac{KqL^2}{32} = \text{حداکثر لنگر واقعی}$$

ضریب تصحیح K در بخش بعدی مورد بررسی قرار می‌گیرد.

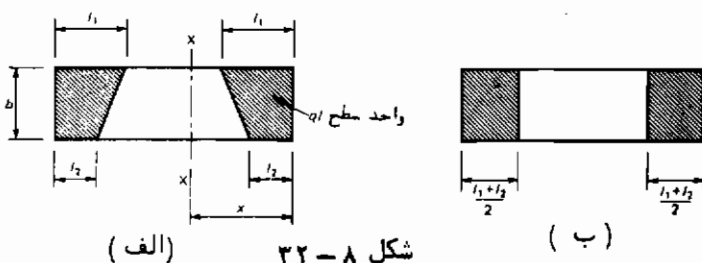
استفاده از خط انفعال مورب ضروری نیست و نحوه تقسیم بار مطابق شکل ۳۱-۸ به همان اندازه رضایت بخش است و تنها عامل تعیین کننده در انتخاب نوارها، عملی بودن آنها است. برای هر نوار، لنگر طراحی و فولاد گذاری جداگانهای وجود دارد. بطور کلی داشتن نوارهای متعدد غیر عملی است زیرا جزئیات فولادگذاری بسیار دشوار می‌شود.



شکل ۳۱-۸

۳-۳-۳ ضریب تصحیح K

شکل ۳۲-۸ الف) هلان نوار نمونه‌ای را با بارگذاری متغیر نشان می‌دهد.



شکل ۳۲-۸

$$qb \frac{(l_1 + l_2)}{2} = (\text{عكس العمل تکیه‌گاهی}) \text{ مجموع بار در هریک از دو انتهای نوار.}$$

برای پیدا کردن فاصله مرکز نقل بار از انتهای تیر این گونه عمل می‌شود.

$$\begin{aligned}
 qb \frac{(l_1 + l_2)}{2} \times \bar{x} &= qb \times l_2 \times \frac{l_2}{2} + qb \frac{(l_1 - l_2)}{2} \times \left(l_2 + \frac{l_1 - l_2}{3} \right) \\
 &= qb \left[\frac{l_2^2}{2} + \frac{(l_1 - l_2)}{2} \frac{(2l_2 + l_1)}{3} \right] \\
 &= \frac{qb}{6} (3l_2^2 + 2l_1l_2 + l_1^2 - 2l_2^2 - l_1l_2) \\
 &= \frac{qb}{6} (l_1^2 + l_1l_2 + l_2^2) \\
 \bar{x} &= (l_1^2 + l_1l_2 + l_2^2)/3(l_1 + l_2)
 \end{aligned}$$

بنابراین لنگر در مقطع X-X عبارت است از

$$\begin{aligned}
 M &= qb \frac{(l_1 + l_2)}{2} x - qb \frac{(l_1 + l_2)}{2} (x - \bar{x}) \\
 &= qb \frac{(l_1 + l_2)}{2} \bar{x}
 \end{aligned}$$

(لنگر در هر مقطعی که $\bar{x} > x$ باشد ثابت است)

$$M = \frac{qb}{6} (l_1^2 + l_1l_2 + l_2^2)$$

شکل ۳۲-۸ ب نوار مشابهی را با بار گستردۀ یکنواخت در عرض نوار نشان می‌دهد. در مقطع

$$M = \frac{qb(l_1 + l_2)^2}{8}$$

بنابراین

$$K qb \frac{(l_1 + l_2)^2}{8} = \frac{qb(l_1^2 + l_1l_2 + l_2^2)}{6}$$

$$\begin{aligned}
 K &= \frac{4}{3} \frac{(l_1^2 + l_1l_2 + l_2^2)}{(l_1 + l_2)^2} \\
 &= \frac{4}{3} \left[\frac{(l_1 + l_2)^2 - l_1l_2}{(l_1 + l_2)^2} \right] \\
 &= \frac{4}{3} \left(1 - \frac{l_1l_2}{l_1^2 + 2l_1l_2 + l_2^2} \right)
 \end{aligned}$$

$$K = 1.333 - \frac{1.333}{\frac{l_1}{l_2} + 2 + \frac{l_2}{l_1}}$$

با مراجعه به مثال بخش قبل، در نوارهای ۲ و ۳ $I_1/2 = I_1 = 0$

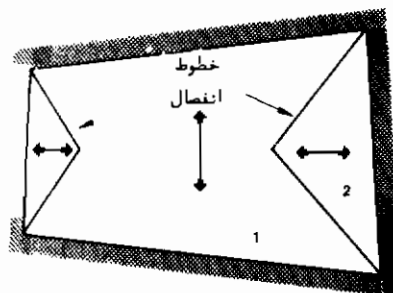
$$K = 1.333 - \frac{1.333}{\frac{L_1/2}{0} + 2 + \frac{0}{L_1/2}} = 1.333$$

$$1.333 \frac{qL_1^2}{32} = \text{لنگر طراحی برای هر دو نوار}$$

و

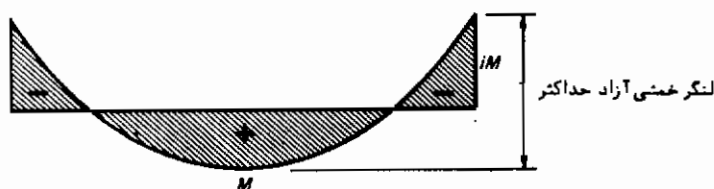
۴-۳-۸ تاوهای لبه‌های گیردار

در شکل ۴-۳-۸ تاوهای با سه لبه گیردار و یک لبه ساده نشان داده شده است بدون هیچ اشکالی روش فوق را می‌توان برای تاوهای غیر مستطیلی به کار برد. یک لبه گیردار اصلب‌تر از لبه ساده است و بنابراین لبه گیردار در گوش، قسمت بیشتری از بار را نسبت به لبه ساده جذب می‌کند. در تاوه این موضوع در نظر گرفته شده و خط انفصال به سمت تکیه‌گاه ساده تمایل بیشتری پیدا کرده است.



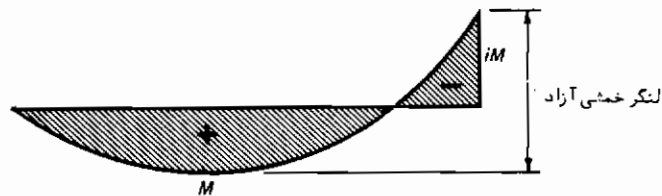
شکل ۴-۳-۸

روش لنگرخمثی واکنش و آزاد برای تعیین لنگرهای طراحی از همه مناسبتر است.
نوار ۱



$$\text{لنگر خمثی آزاد حداقل} = (1 + i) M$$

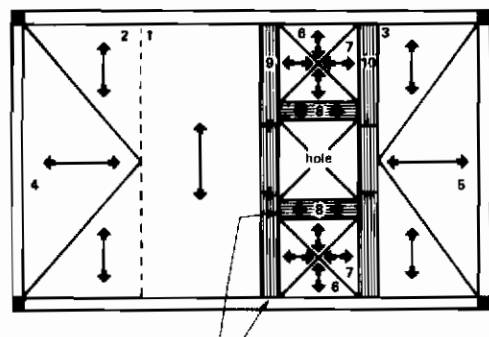
نوار ۲



نوارهای فوق حالات استانداردی هستند که در بخش سوم در نظر گرفته شدند. نسبت مقادیر لنگرهای لبه و وسط دهانه (ضریب α) را همانند روش خط‌سیلان به‌طور عملی باید تعیین کرد. (قسمت ۹-۲-۸).

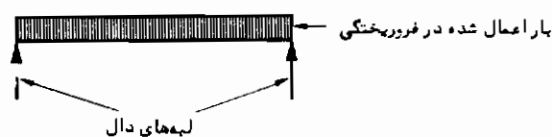
۳-۵ تاوه توخالی

وجود یک حفره به‌طور موئشی پیوستگی تاوه را از بین می‌برد و ایجاد دهانه بین دو طرف مقابل تاوه را غیر ممکن می‌سازد. با استفاده از نوارهای قوی، اطراف حفره، این ضعف برطرف می‌گردد، همان‌گونه که در شکل ۳۴-۸ مشخص شده است. این نوارها تکیه گاهی برای سایر نوارها محسوب شده و اطراف حفره را نیز تقویت می‌کنند. با ملاحظه بارگذاری روی هریک از دهانه‌ها این موضوع قابل تشخیص است.



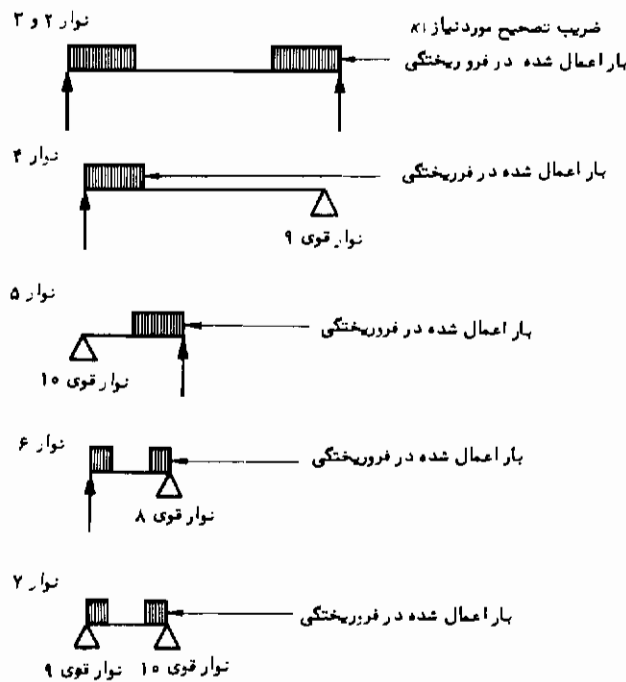
شکل ۳۴-۸

نوار ۱

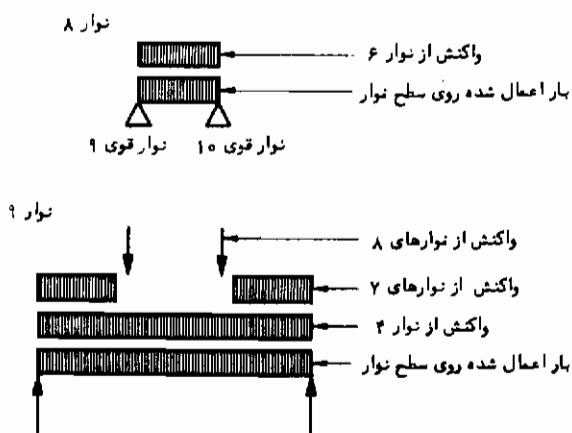


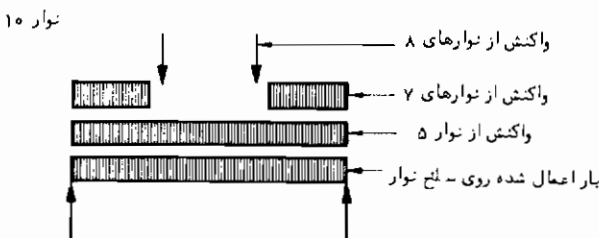
تحلیل خط سیلان و روش نواری

۲۱۲



تا کنون، روش محاسبات مطابق مثال قابل بوده است. در مورد نوارهای قوی تعیین بارگذاری دشوارتر است. در ابتدا لازم است که پهنهایی از تاوه به عنوان عرض نوارهای قوی اختیار شود (50 mm برای حدس اول مناسب است).

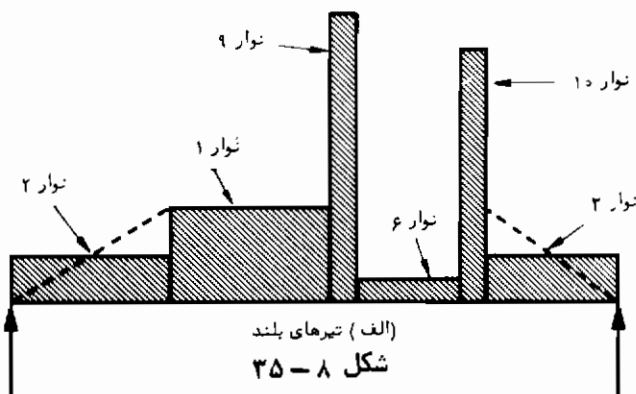




توجه به چند نکته در مثال شایان ذکر است.

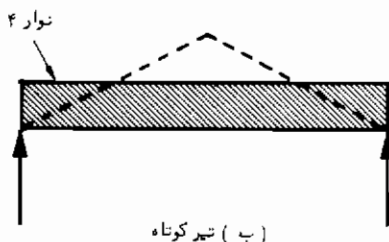
- ۱- تمامی بارهای واردہ روی تاوه توسط لبه‌های تاوه تحمل می‌گردد . حتی اگر بعضی از نوارها تکیه‌گاه سایر نوارها باشند .
- ۲- فرض می‌شود که عکس العملها در انتهای یک نوار و در امتداد عرض نوار بدون توجه به توزیع بارگذاری در صفحه تاوه روی نوار یکنواخت باشد .
- ۳- در موقع در نظر گرفتن نوارهای قوی باید دقت کرد . در نوارهای معمولی استفاده از یک متر پهنای نوار مناسب می‌باشد ، ولی پهنای نوارهای قوی معمولاً "کمتر از یک متر است .
- ۴- بارگذاری روی تیرهای محیطی

معمولًا" تعیین کردن توزیع بارگذاری روی تیرهای محیطی یک تاوه مشکل است روش نواری هیلربرگ راه حل مختصر و مفیدی برای این مسئله است . عکس العمل ادارنهای نوارها که توسط تیرهای لبه تحمل می‌شوند بارهای روی تیرها محسوب می‌شوند . شکل ۲۵-۸ توزیع بار حاصله در مثال قسمت قبل را روی تیرها نشان می‌دهد . در توزیع بارها فرض شده است که در امتداد عرض نوارها عکس العمل ثابت است . بدینهی است این فرض برای نوارها صحیح نبوده و بهمنظر می‌رسد فرض توزیع نشان داده شده به صورت خط چین خردمندانه‌تر است .



(الف) تیرهای بلند

۲۵-۸



شکل - ۸ - ۳۵

بهتر است کنترل شود که مجموع بار روی تمام تیرهای لبه مساوی با بار وارد شده به تاوه باشد. این تنها کنترل مستقل از محاسبات نوار منفرد است که می‌توان انجام داد.

۴ - جمع‌بندی

در آخرین فصل این کتاب روش‌های خط سیلان و نواری هیلبرگ در مورد تاوه‌های بتن آرم به کار برده شده است. هر دو روش بر اساس نظریه خمیری هستند، ولی به دلیل طبیعت پیچیده رفتار تاوهاین روشها راه حل‌های دقیقی نیستند. از نظریه خط سیلان با توجه به محدودیت‌های فرضیات اولیه، کرانه بالایی حاصل شده و روش نواری به کرانه پایینی منجر می‌شود. رفتار غشاًی و پدیده کرنش سختی فولاد باعث تأثیر این این اسازه در هنگام استفاده از روش‌های فوق می‌شوند.

در روش خط سیلان یک مکانیزم فروریختگی فرضی در نظر گرفته و به سیله کار مجازی (یا روش تعادل) تحلیل می‌شود. تعیین حالت بحرانی خطوط سیلان در یک مکانیزم مفروض و همچنین در نظر گرفتن سایر مکانیزم‌ها لازم است. از نظریه خط سیلان می‌توان برای تاوهای با بار متمرکز علاوه بر بارهای گسترده استفاده نمود.

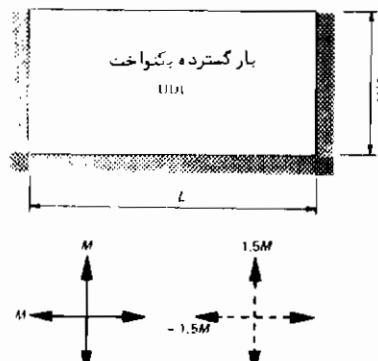
در روش نواری، بارگذاری روی تاوه روی نوارهای تیرمانندی که دهانه آنها لبه‌های متقابل تاوه می‌باشد پخش می‌شود. این روش در مواردی که بارگذاری روی تاوه گسترده است بسیار قابلیت انعطاف دارد ولی در بارگذاری متمرکز بسادگی قابل استفاده نیست در مرچع (۳۵) اطلاعاتی در مورد فولادهای اضافی اطراف قسمت‌های باز در تاوه و بارگذاری روی تیرهای لبه وجود دارد.

۵ - مسایل

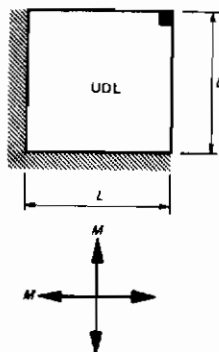
- ۱- بار فروریختگی (بارگسترده یکنواخت) یک تاوه مستطیلی بتن آرم‌ها ($5\text{ m} \times 3\text{ m}$) که در اطراف روی تکیه‌گاه‌های ساده قرار دارد تعیین کنید در حالی که فولادگذاری هم مقدار

بوده و $M = 10 \text{ kN m/m}$ باشد. با فرض لبه‌های گیردار، دال را برای تحمل دو برابر بار فوق طراحی کنید.

۳۶-۸ مکانیزم و بار فروریختگی تاوهای شکل ۳۶-۸ و ۳۷-۸ را تعیین کنید.



شکل ۳۶-۸

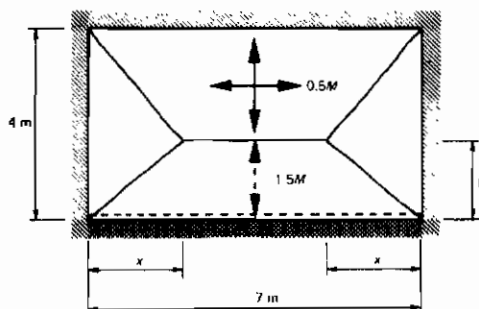


شکل ۳۷-۸

۳۸-۸ یک تاوه مستطیلی شکل ($7 \text{ m} \times 4 \text{ m}$) دارای سه تکیه‌گاه ساده و یک تکیه‌گاه گیردار است و تحت بار پکنواخت q قراردارد. جزئیات فولادبندی والگوی خط سیلان در شکل نشان داده شده است. با استفاده از معادله کار مشخص کنید که:

$$q_c = \frac{3M}{(42 - 4x)} \left(\frac{17.5}{y} + \frac{7}{4-y} + \frac{4}{x} \right)$$

بازای $q = 9 \text{ kN/m}^2$ لنگر مقاوم را محاسبه کنید. مقادیر بحرانی x و y کدامند؟

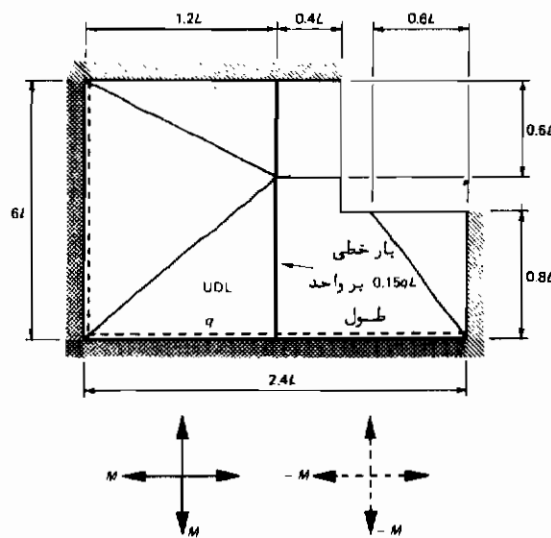


شکل ۳۸-۸

۴-۵-۸ برای سیستم خط سیلان شکل ۳۹-۸ رابطه‌ای بین q و M و L به دست آورید .
۵-۵-۸ در شکل ۴۰-۸ یک مکانیزم خط سیلان پیشنهادی برای یک تاوه مریع شکل گیردار که تحت بار گسترده یکواخت q قرار دارد نشان داده است .

(الف) مشخص کنید که با استفاده از معادله کارخواهیم داشت .

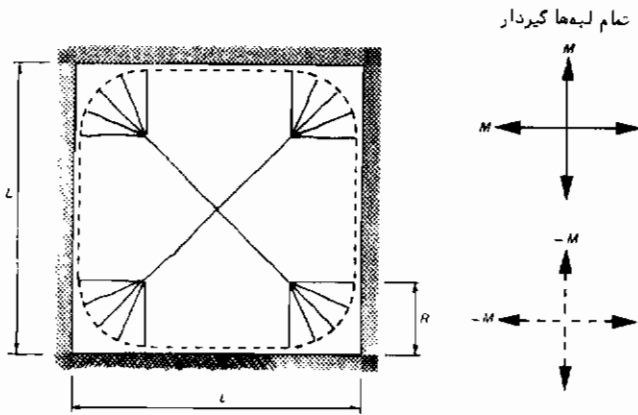
$$q [(L - 2R)(L^2 + 2LR + 4R^2) + 2\pi R^3] = 48M \left(L - 2R + \frac{\pi R}{2} \right)$$



شکل ۳۹-۸

(ب) بهروش ترسیمی یا دیگر روشها نشان دهید که مقدار بحرانی R برابر $0.3L$ است .

(ج) بار فروریختگی q_c را بر حسب M و L تعیین کنید.
 (توجه: مرکز شغل پک قسمت از دایره برابر است با شعاع از مرکز دایره $\times \frac{2}{3}$).



شکل ۴۰-۸

۴-۵-۶ یک تاوه مستطیلی ($3L \times 2L$) روی تیرهای لبه تکیه کرده است در پایین تاوه فولاد بندی هم مقدار در دو جهت عمود برهم با لنگر مقاوم M در واحد طول قرار دارد. تمام تیرهای لبه‌داری لنگر مقاوم $4ML$ هستند. وقتی به تاوه بارگسترده یکنواخت q وارد می‌شود مکانیزم و بار فروریختگی را تعیین کنید. لنگر مقاوم یکی از تیرهای بلند تا مقدار $2ML$ کاهش می‌پسندد، این تغییر چه اثری روی بار فروریختگی دارد.

۴-۵-۷ به کمک روش نواری هیلبرگ تاوه با تکیه‌گاه ساده‌ای به ابعاد ($10\text{ m} \times 6\text{ m}$) را برای تحمل بار فروریختگی 12 kN/m^2 طرح کنید.

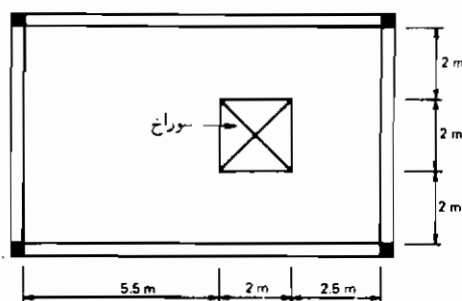
۴-۵-۸ تاوه مثال قبل را مجدداً برای تحمل بار 30 kN/m^2 و داشتن لبه‌های گیردار طرح کنید.

۴-۵-۹ مجدداً تاوه فوق را طراحی کنید به‌گونه‌ای که یکی از لبه‌های بلند، گیردار، یکی دیگر از لبه‌های بلند بدون تکیه‌گاه (آزاد) و هردو لبه کوتاه دارای تکیه‌گاه ساده بوده و باری برابر 12 kN/m^2 بمتاوه وارد شود.

۴-۵-۱۰ به روش هیلبرگ سیستم نواری مناسبی برای طرح تاوه شکل ۳۹-۸ رسم کنید.

۴-۵-۱۱ به روش نواری لنگرهای طراحی را برای تاوه شکل (۴۱-۸) تعیین کنید.

لنگرهای طراحی در تیرهای لبه کدامند؟ بار طراحی (شامل ضریب بار) برابر است با 8 kN/m^2 . نوارهای قوی اطراف قسمت باز به عرض 0.5 m در نظر گرفته شوند.



شكل ٤١ - ٨



ضمیمه الف

معیارهای تسلیم

در آزمایش کشش، وقتی که تنش وارد به مقدار بحرانی می‌رسد ماده انجعاف پذیر جاری می‌شود، در مورد فولاد این مقدار بحرانی همان تنش تسلیم است. (سایر مواد ممکن است نقطه تسلیم مشخصی نداشته باشند و بنابراین در این حالت وضعیت مشخص نیست) در عمل تنشهای مختلفی در یک ماده ممکن است وجود داشته باشد، مثلاً "تنش عمودی ناشی از خمش و تنش برشی، ولذا پیش‌بینی نقطه شروع رفتار خمیری بسیار دشوار است، در عین حال معیارهای تسلیم مختلفی برای آن ابداع شده‌اند.

دانش جدید در مورد مصالح نشان داده است که جریان خمیری در یک ماده بلوسوی انجعاف پذیر، همانند فولاد، به صورت برشی در داخل شبکه انتها سازنده بلور می‌باشد. این عمل ناشی از جا به جایی داخل شبکه است. (۳۶) همچنان که انتظار می‌رود، دو معیار تسلیم به نامهای فن‌مایزز^۱ و ترسکا^۲ که در آنها فرض می‌شود که برش کنترل کننده تسلیم است، مطمئن‌ترین وسیله پیش‌بینی برای تعیین نقطه شروع تسلیم در فلزات انجعاف پذیر می‌باشند. این معیارها با جزئیات بیشتری بررسی خواهند شد.

معیار ترسکا

این معیار بیان می‌دارد که وقتی حد اکثر تنش برشی ناشی از ترکیب تنشهای مختلف مساوی با حد اکثر تنش برشی آزمایش کشش ساده در همان ماده می‌شود تسلیم به وجود می‌آید. هر دستگاه دو بعدی از تنشهای موجود در یک نقطه ماده را می‌توان روی دایره تنش مور رسم کرد، همان گونه که در شکل الف ۱-الف و ب نشان داده شده است (۳۷).

با جابجاگی معادله الف – ۶ در معادله الف – ۵ خواهیم داشت.

$$\begin{aligned} U &= \frac{1}{2E} [\sigma_1(-v\sigma_2) + \sigma_2(-v\sigma_1 + \sigma_2)] \\ &= \frac{1}{2E} (\sigma_1^2 + \sigma_2^2 - 2v\sigma_1\sigma_2) \\ &= \frac{(1-2v)}{6E} (\sigma_1 + \sigma_2)^2 + \frac{(1+v)}{6E} (2\sigma_1^2 + 2\sigma_2^2 - 2\sigma_1\sigma_2) \end{aligned}$$

با توجه به ضریب ارتجاجی برشی : $G = E/2(1+v)$

$$U = \frac{(1-2v)}{6E} (\sigma_1 + \sigma_2)^2 + \frac{1}{6G} (\sigma_1^2 + \sigma_2^2 - \sigma_1\sigma_2) \quad (\text{الف - ۷})$$

انرژی کرنشی برشو در
 واحد حجم ، USSE

می‌توان نشان داد (۳۷) که قسمت اول معادله الف – ۷ انرژی کرنشی ناشی از تغییر حجم در اثر تنשهاست و قسمت دوم که معروف است به انرژی کرنش برشی در واحد حجم، انرژی کرنشی ناشی از تغییر شکل در اثر عمل برشی تنشهاست.

معیار فن مایزز^۱ بیان می‌دارد که وقتی انرژی کرنشی برشی در واحد حجم در اثر تنشها وارد مساوی با انرژی کرنشی برشی در واحد حجم در موقع جاری شدن در آزمایش کشش می‌شود ماده تسلیم می‌گردد.

در آزمایش کشش

$$\sigma_1 = \sigma_y$$

$$\sigma_2 = 0$$

$$U_{sse} = \frac{\sigma_y^2}{6G}$$

بنابراین تسلیم به وجود می‌آید اگر:

$$\sigma_1^2 + \sigma_2^2 - \sigma_1\sigma_2 = \sigma_y^2 \quad (\text{الف - ۸})$$

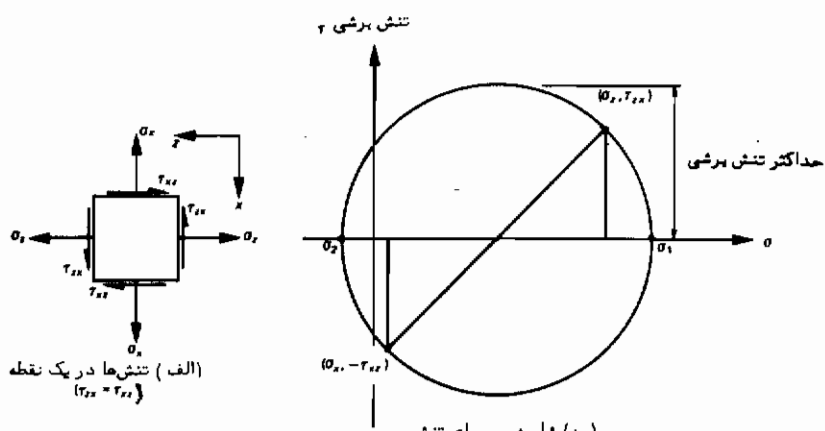
در حالت برش خالص، وقتی که تنش برشی مساوی با تنش برش تسلیم τ_y می‌گردد، ماده جاری می‌شود. دایره مور برای برش خالص در شکل الف – ۳ نشان داده شده است. با توجه به ابعاد هندسی دایره:

$$\sigma_1 = \tau_y$$

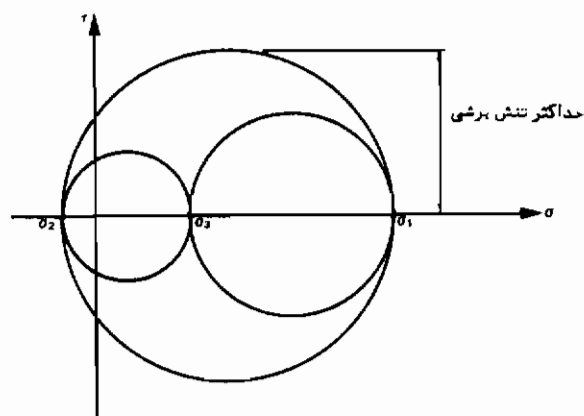
$$\sigma_2 = -\tau_y$$

تنشهای عمودی جداکتر و جداقل σ_1 و σ_2 (معروف به تنشهای اصلی)، و تنش مرشی جداکتر τ_{xx} با توجه به اندازه های شکل به دست می آیند. تنشهای شکل الف - ۱ در صفحه $\sigma_x - \sigma_z$ قرار دارند، اگر آنها قسمتی از یک دستگاه سه بعدی تنش باشند می توان تمام تنشها را به وسیله سه دایره مور که هریک مربوط به یک صفحه مختصات می باشد مشخص کرد. اگر هر سه دایره مور باهم رسم شوند مشخص می شود که از یکدیگر مستقل نیستند، این موضوع در شکل الف - ۲ نشان داده شده است. این بدان علت است که تنشها توسط ضوابط تعادل به یکدیگر مرتبط هستند. سه دایره مور بهروشی تنشها را در هرجهت مشخص می سازند.

جداکثر تنش برushi شعاع بزرگترین دایره مور است.



شكل الف - ۱



شكل الف - ۲

در یک دستگاه تنش دو بعدی مانند پکتیرتحت خم، سومین تنش اصلی صفر است با استفاده از دایره‌های مور در شکل الف - ۲ می‌توان تنش برشی حداکثر حاصله را تعیین کرد . وقتی $\sigma_2 > \sigma_1$ ولی هردو هم علامت هستند .

$$\tau_{\max} = \frac{\sigma_1 - 0}{2} = \frac{\sigma_1}{2} \quad (\text{الف - ۱})$$

وقتی $\sigma_2 < \sigma_1$ ولی با علامت مخالفند

$$\tau_{\max} = \frac{\sigma_1 - \sigma_2}{2} \quad (\text{الف - ۲})$$

در آزمایش کشش یک سیستم تنش یک بعدی وجود دارد ، بنابراین $\sigma_2 = \sigma_3 = 0$

در موقع تسلیم تنش اصلی دیگر ، تنش جاری شدن σ_y می‌باشد . بنابراین تنش برشی تسلیم τ_y برابر است با :

$$\tau_y = \frac{\sigma_y - 0}{2} = \frac{\sigma_y}{2} \quad (\text{الف - ۳})$$

با مساوی قراردادن معادلات الف - ۱ و الف - ۲ با معادله الف - ۳ شروط برای تسلیم به دست می‌آید .

$$\begin{array}{ll} \sigma_1 = \sigma_y \text{ یا } 2\tau_y & \text{هم علامت} \\ \sigma_1 > \sigma_2 & \\ \sigma_1 - \sigma_2 = \sigma_y \text{ یا } 2\tau_y & \text{با علامت مخالف} ; \sigma_2 > \sigma_1 \end{array} \quad (\text{الف - ۴})$$

معیار فن مایوز

در یک ماده ارتقائی با یک دستگاه تنش دو بعدی انرژی کرنشی در واحد حجم (۳۷) بر حسب تنشهای اصلی عمارت از :

$$U = \frac{1}{2} (\sigma_1 \epsilon_1 + \sigma_2 \epsilon_2) \quad (\text{الف - ۵})$$

با استفاده از قانون هوک

$$\begin{aligned} \epsilon_1 &= \frac{1}{E} (\sigma_1 - v\sigma_2) \\ \epsilon_2 &= \frac{1}{E} (-v\sigma_1 + \sigma_2) \end{aligned} \quad (\text{الف - ۶})$$

با توجه به معیار فوق، تسلیم وقتی بوجود می‌آید که:

$$\begin{aligned} (\tau_y)^2 + (-\tau_y)^2 - (\tau_y)(-\tau_y) &= \sigma_y^2 \\ 3\tau_y^2 &= \sigma_y^2 \end{aligned} \quad (\text{الف - ۹})$$

هر دو معیار در معادلات الف - ۴ و الف - ۸ خلاصه شده است. عموماً "مشخص شده" است که معیار فن مایزز در موقعی که تسلیم در یک ماده انعطاف پذیر بوجود می‌آید، از دقت بیشتری برخوردار است. در فصل ۲ هردو معیار برای تعیین جاری شدن در یک تیر تحت تنشی‌های عمودی ۵ ناشی از خم و تنشی‌های برشی ۲ به کاربرده شد. تنشی‌های عمودی موازی با محور تیر هستند، بنابراین تنشی‌ها مطابق شکل الف - ۱ الف هستند. که در آن

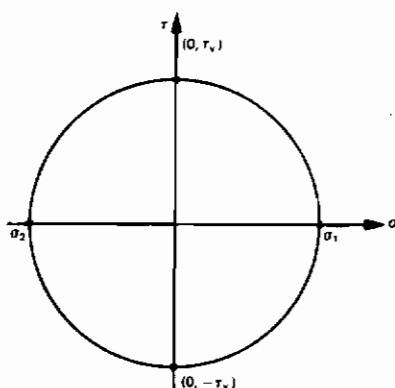
$$\sigma_x = \sigma$$

تنشی‌ای عمود بر محور تیر وجود ندارد

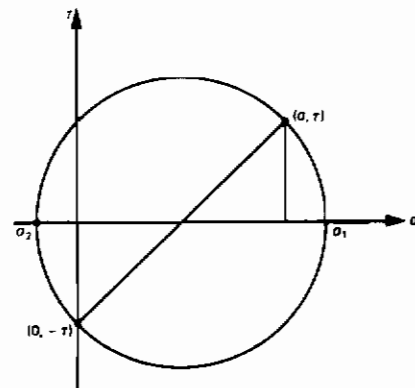
$$\tau_{xz} = \tau$$

دایره مور برای این تنشی‌ها در شکل الف - ۴ نشان داده شده است با توجه به ابعاد هندسی دایره.

$$\begin{aligned} \sigma_1 &= \frac{\sigma}{2} + \sqrt{\left(\frac{\sigma}{4}\right)^2 + \tau^2} \\ \sigma_2 &= \frac{\sigma}{2} - \sqrt{\left(\frac{\sigma}{4}\right)^2 + \tau^2} \end{aligned} \quad (\text{الف - ۱۰})$$



شکل الف - ۳



شکل الف - ۴

می‌توان معادله الف - ۱۵ را در معادلات الف - ۴ و الف - ۸ جایگزین نمود تا دو معیار را از نظر پیش‌بینی تسلیم مقایسه نمود. همان‌طور که جدول الف - ۱ مشخص می‌کند، در هر دو معیار شرط جاری شدن در تیر وقتی است که:

$$\left(\frac{\sigma}{\sigma_y}\right)^2 + \left(\frac{\tau}{\tau_y}\right)^2 = 1 \quad (\text{الف - ۱۱})$$

تنها اختلاف بین آنها مقدار γ یعنی مقدار تنفس برشی تسلیم است.

جدول الف - ۱

| ترسکا | فون مایزر |
|--|---|
| از معادله الف - ۱۵ $\sigma_1 > \sigma_2$ ، | با جابجایی معادله الف - ۱۵ |
| با علامت مخالف، تسلیم وقتی به وجود می‌آید که: | در معادله متن زیر الف - ۸ |
| $2\sqrt{\left(\frac{\sigma^2}{4} + \tau^2\right)} = \sigma_y$ | $\left[\frac{\sigma}{2} + \sqrt{\left(\frac{\sigma^2}{4} + \tau^2\right)}\right]^2 + \left[\frac{\sigma}{2} - \sqrt{\left(\frac{\sigma^2}{4} + \tau^2\right)}\right]^2$ |
| $\sigma^2 + 4\tau^2 = \sigma_y^2$ | $- \left[\frac{\sigma}{2} + \sqrt{\left(\frac{\sigma^2}{4} + \tau^2\right)}\right] \left[\frac{\sigma}{2} - \sqrt{\left(\frac{\sigma^2}{4} + \tau^2\right)}\right]$ |
| یا | $= \sigma_y^2$ |
| $\left(\frac{\sigma}{\sigma_y}\right)^2 + \left(\frac{2\tau}{\sigma_y}\right)^2 = 1$ | $\frac{\sigma^2}{2} + 2\left(\frac{\sigma^2}{4} + \tau^2\right) - \frac{\sigma^2}{4}$ |
| از معادله الف - ۴ $\sigma_y = 2\tau_y$ | $+ \left(\frac{\sigma^2}{4} + \tau^2\right) = \sigma_y^2$ |
| بنابراین وقتی تسلیم به وجود می‌آید که: | $\sigma^2 + 3\tau^2 = \sigma_y^2$ |
| $\left(\frac{\sigma}{\sigma_y}\right)^2 + \left(\frac{\tau}{\tau_y}\right)^2 = 1$ | یا |
| $\tau_y = 0.5\sigma_y$ | $\left(\frac{\sigma}{\sigma_y}\right)^2 + 3\left(\frac{\tau}{\sigma_y}\right)^2 = 1$ |
| | از معادله الف - ۹ |
| | $3\tau_y^2 = \sigma_y^2$ |
| | بنابراین تسلیم وقتی به وجود می‌آید که: |
| | $\left(\frac{\sigma}{\sigma_y}\right)^2 + \left(\frac{\tau}{\sigma_y}\right)^2 = 1$ |
| | $\tau_y = 0.577\sigma_y$ |

ضمیمه ب

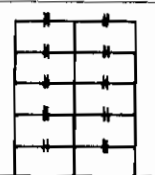
درجه نامعینی

در بیشتر کتابهای درسی تحلیل سازه‌ها مطالب مختلفی راجع به نامعینی گفته شده است. در این کتاب تعیین درجه نامعینی تنها برای قابهای سطحی لازم بوده است و می‌توان مطالب منوط به این حالت خاص را به طور اختصار بیان کرد.

همان گونه که در اوائل کتاب گفته شد برای تعیین نامعینی راههای مختلفی وجود دارد یک روش تعریف درجه نامعینی بر حسب تعداد برشها (درجه‌های آزادی) است که بایستی ایجاد کرد تا سازه از نظر استاتیکی معین شود. در قابهای سطحی با اتصالات و تکیه‌گاههای صلب با ایجاد برش در وسط هر دهانه، ستونها به صورت طراهای از نظر تعادل معین می‌شوند همان‌گونه که در شکل ب - ۱ ملاحظه می‌شود. هر برش معادل با سه درجه آزادی است، زیرا در آن نقطه به سازه اجازه تغییر مکان افقی و قائم و دوران داده می‌شود.

یک مفصل بدون اصطکاک (تکیه‌گاه یا داخل قاب) یا یک غلتک در تکیه‌گاه، مطابق شکل ب - ۲، نامعینی را یک درجه کاهش می‌دهد. بنابراین فرمول زیر برای نامعینی به دست می‌آید.

$$r = 3n - k$$

| | | | |
|---|---|---|---|
| |  | | |
| " | 10 | 2 | 2 |
| 1 | 30 | 6 | 6 |

شکل ب - ۱

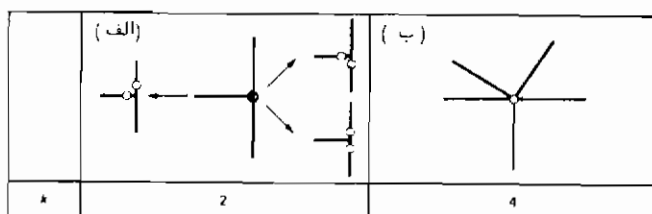
که درجه نامعینی = r و تعداد دهانه‌ها = n می‌باشد.

تعداد مفصلهای بدون اصطکاک یا غلتک = k

| | | |
|-----|---|---|
| | | |
| n | 3 | 1 |
| k | 3 | 2 |
| r | 6 | 1 |

شکل ب - ۲

بهنگتها در مورد درجه نامعینی باستی توجه کرد: می‌دانیم که در انتهای هر عضو منتهی به یک اتصال صلب، لنگرهای خمی وجود دارد ولی تنها دو نای آنها مستقل هستند و لنگر سوم از تعادل لنگرها در اتصال بهدست می‌آید. در نتیجه، اتصال مفصلی نشان داده شده در شکل ب-۳ الف معادل با وجود مفصل بدون اصطکاک در انتهای دو عضو از سه عضو است همان‌طور که در شکل ب-۳ ب ملاحظه می‌شود این موضوع برای اتصالاتی با بیش از سه عضو قابل تعمیم است.



شکل ب - ۳

ضمیمه ج

نمودارهای لنگر خمیز

ج - ۱ مقدمه

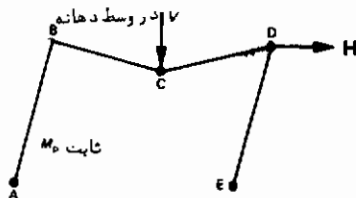
"غالباً" لازم است که نمودار لنگر خمیز مربوط به مکانیزم فروریختگی تعیین شود . "معمولًا" برای کنترل شرط تسلیم در مکانیزم و در نتیجه کنترل درستی مکانیزم واقعی سازه ، نمودار لنگر خمیز لازم می شود . در این ضمیمه به خواننده کمک می شود تا بتواند نمودار لنگر خمیز را به دست آورد ، حتی وقتی که سازه کاملاً پیچیده است . در قسمتهای ج - ۲ ، ج - ۵ نکات مفیدی در این باره بیان شده است و در قسمت ج - ۶ چگونگی استفاده آنها در یک مسأله بیان می شود .

ج - ۲ مطلبی راجع به مکانیزم

در موقع فروریختگی ، سازه بطور ایستایی معین است . چنین امری در اثر تشکیل مفصلهای خمیری به وجود می آید . در هر مفصل خمیری مقدار لنگر خمیز معلوم و مساوی بال لنگر خمیری ضعیفترین عضو منتهی به آن مفصل می باشد . جهت لنگر نیز معلوم است . مکانیزم شکل ج - ۱ را در نظر بگیرید . در مفصلهای A ، C و E لنگر برابر با M_p است . اکنون نقاط A و E را با جزئیات بیشتری مورد نظر قرار می دهیم . اعضا قاب مطابق آنچه در شکل ج - ۱ نشان داده است در واقع از چند خط تشکیل نمی شود ، بلکه این اعضاء دارای ارتفاع و پهنایی می باشند . در یک مفصل خمیری ماده به صورت کششی و فشاری در حال جاری شدن است . سطوح تحت کشش و فشار در A و E با پستی مطابق شکل ج - ۲ باشند به طوری که دوران خمیری لازم در مکانیزم امکان پذیر باشد .

همچنان که در شکل ج - ۳ الف و ب نشان داده شده در نقاط C و D نیز عبارت فوق صادق است . مقدار و جهت لنگر خمیز را در هر مفصل اکنون می توان نوشت . (نویسنده ترجیح می دهد که مقدار لنگر در طرفی از عضو نوشته شود که تحت کشش است . این قرارداد

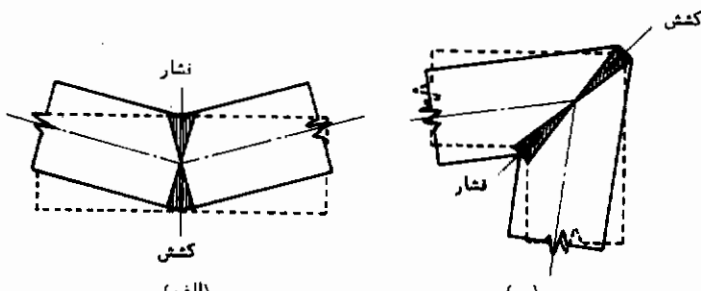
در تمام نمودارهای لنگرخمشی در نظر گرفته شده است.



شکل ج - ۱



شکل ج - ۲



شکل ج - ۳

ج-۳ لنگرهای خمشی واکنش و آزاد

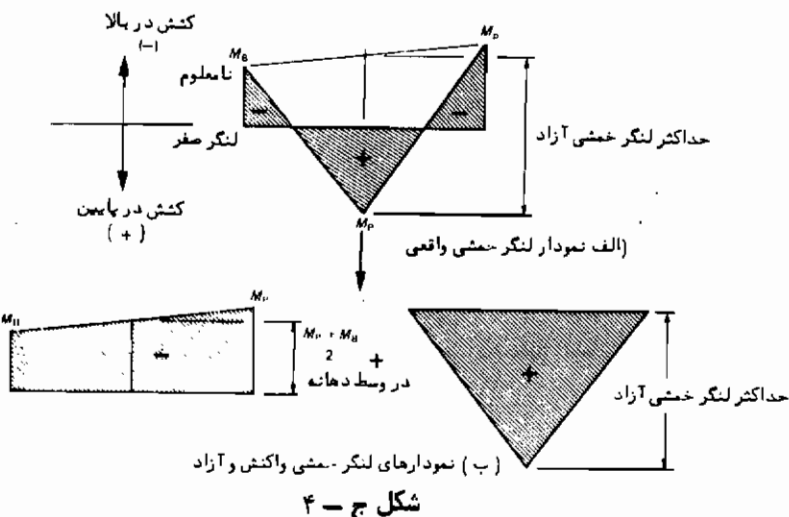
تقسیم نمودار لنگر خمشی به دو قسمت به راحتی کار کمک می‌کند. این قسمتها، نمودارهای لنگر خمشی آزاد و واکنش می‌باشند: لنگرهای خمشی آزاد در یک عضو، لنگرهای خمشی هستند که در اثر اعمال بار روی عضو در حالی که دو انتهای آن در مقابل چرخ خمشی آزاد هستند به وجود می‌آیند، به عبارت دیگر لنگرهای خمشی یک تیر ساده با همان طول خواهند بود.

لنگرهای واکنش لنگرهای خمشی دو انتهای عضو هستند که با توجه به گیردار بودن دو

انتها در مقابل دوران نسبت به مقیمه سازه به دست می‌آید. (آنچه در بسیاری از تحلیلهای ارجاعی مورد نظر است پیدا کردن لنگرهای واکنش می‌باشد). با اتصال لنگرهای انتهایی توسط یک خط راست دیاگرام لنگر خمشی واکنش به دست می‌آید.

روابط ساده‌ای بین ابعاد هندسی نمودارهای لنگر خمشی واکنش و آزاد و نمودار لنگر خمشی واقعی وجود دارد، که در محاسبات تحلیل خمیری بسیار مفیدند. (روش نمودار لنگر خمشی واکنش و آزاد که در فصل ۳ تشریح گردید کاملاً "براساس موضوع فوق است"). به تیر BD در شکل ج-۱ نگاه کنید. نمودار لنگر خمشی تیر مطابق شکل ج-۴ الف می‌باشد، که در آن لنگر واکنش در نقطه B نامعلوم است. با تقسیم نمودار لنگر خمشی به قسمتهای واکنش و آزاد مطابق شکل ج-۴ ب که تحت بار متتمرکز در وسط دهانه قرار دارد و با توجه به ابعاد هندسی نمودار خواهیم داشت:

$$\frac{M_p + M_B}{2} = M_p \quad \text{حداکثر لنگر خمشی آزاد}$$



شکل ج - ۴

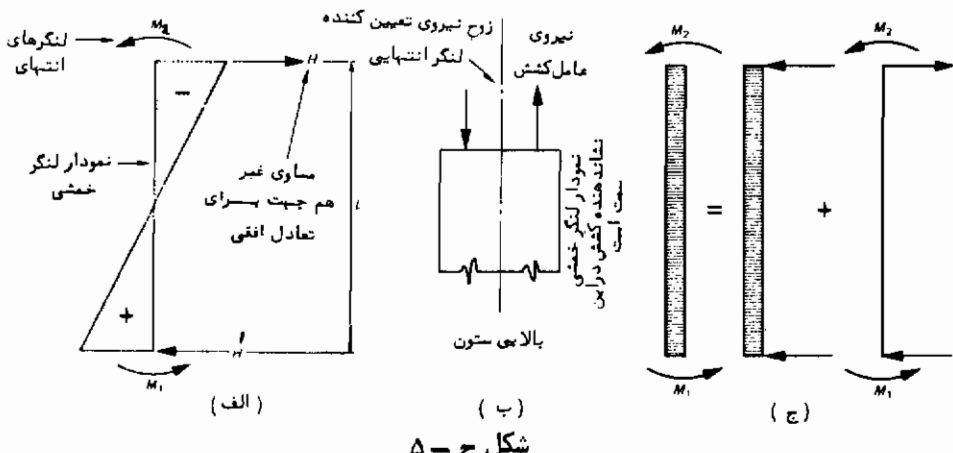
برای یک تیر ساده به دهانه L و با بار متتمرکز V در وسط دهانه، حداکثر لنگر خمشی آزاد برابر با $\frac{VL}{4L} = \frac{V}{4}$ است، بنابراین.

$$\frac{VL}{4} - \frac{M_p + M_B}{2} = M_p$$

$$M_B = \frac{VL}{2} - 3M_p$$

اگر M_B مثبت شود فرض کشش در بالای تیر در نقطه B صحیح است، همان طور که در شکل

ج - ۵ نشان داده شده است، و اگر منفی شد فرض غلط بوده و کشش در زیر تیر وجود خواهد داشت.



شکل ج - ۵

نکته دیگری وجود دارد که در موقع ترکیب لنگرهای خمشی واکنش و آزاد بایستی به آن توجه نمود. در محاسبات تنها از مقادیر لنگرها استفاده می‌شود بنابراین در محاسباتی که بر مبنای شکل ج - ۴ انجام می‌شود، تنها فواصل فاصل مقادیر موردنظر را نشان می‌دهد. برای این که در موقع ترکیب نمودارهای لنگر خمشی واکنش و آزاد این فواصل قائم محفوظ باشند، شب خطوط نمودار لنگر خمشی بایستی تغییر یابند. لذا این خطوط مستقیم باقی مانده ولی طول آنها تغییر می‌کند. موضوع فوق اگر چه باعث تعجب است لیکن "کاملاً" منطقی است.

ج - ۴ نیروهای انتهایی روی اعضاء

نمودار لنگر خمشی ستون شکل ج - ۵ الف را در نظر بگیرید. نمودار لنگر خمشی واقعی مانند نمودار لنگر خمشی واکنش نشان دهنده آنست که در طول ستون باری اعمال نشده است. لنگرهای انتهایی حاصل از بقیه سازه که باعث ایجاد لنگرهای خمشی واکنش می‌شوند نیز نشان داده شده است. (شکل ج - ۵ ب) نشان می‌دهد که چگونه براحتی جهت لنگر انتهایی معین می‌شود).

ستون بایستی در حال تعادل باشد. برای تأمین تعادل لنگرها حول بالای (یا یامین) ستون، بایستی نیروهای افقی با علامت مخالف مطابق شکل اثر کند. با گرفتن لنگر حول نقطه بالای ستون

$$HL = M_1 + M_2$$

این نیروهای افقی را می‌توان نیروهای واردہ ناشی از بقیه سازه فرض کرد . اگر پایین ستون به تکینگاه متصل باشد ، نیروی افقی همان واکنش افقی در پی است ، همان‌طور که لنگرانتهایی لنگر واکنش در پی می‌باشد .

وقتی که در طول ستون بارهایی اعمال می‌شود ، نیروهای افقی مجموع نیروهای ناشی از لنگرهای انتهایی و واکنش‌های انتهایی با فرض آنکه ستون را تیر ساده فرض کنیم ، می‌باشد این موضوع در شکل ج-۵-ج مشخص شده است .

غالباً "در نظر گرفتن تعادل افقی قسمتهایی از سازه برای تعیین بخش‌هایی از نمودار لنگرخمشی مفید است . این مسأله در مثال قسمت ج - ۶ تشریح شده است .

ج - ۵ تعادل مفصل

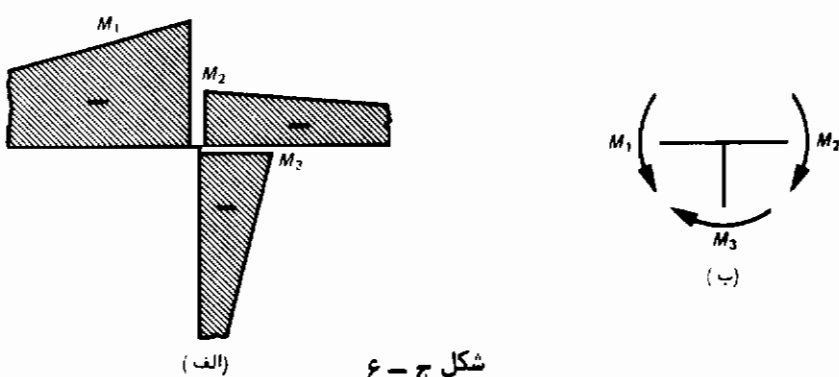
برای هر سازه در حال تعادل بایستی در هر مفصل ، لنگرها در حال تعادل باشند . این خاطره در تعیین نمودارهای لنگرخمشی بسیار مفید است .

یک مفصل نمونه‌هایی از نمودارهای لنگرخمشی اعضاًی که به مفصل متصلند ، در شکل ج - ۶ الف نشان داده شده است . اگر اعضاء درست نزدیک مفصل قطع شوند ، لنگرهای خمشی در انتهای اعضاء را مطابق شکل ج - ۶ ب می‌توان رسم کرد . جهت‌های لنگرها مطابق روش شکل ج - ۵ ب معین می‌شوند . تعادل لنگر ایجاد می‌کند که برآیند این لنگرها صفر باشد ، بنابراین در این حالت .

$$M_1 - M_2 - M_3 = 0$$

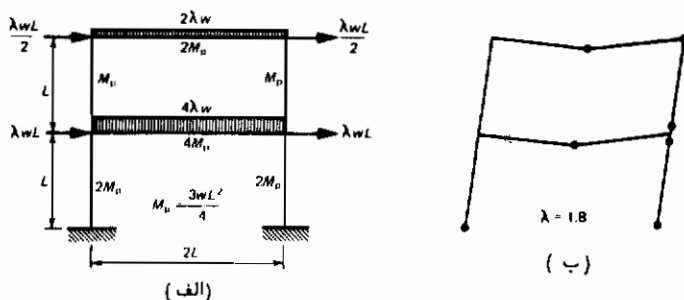
ج - ۶ مثالی برای تعیین نمودار لنگر خمشی

روش تحلیل حدی که در قسمت ۴-۳-۴ مطرح شد ، برای تعیین بار فرو ریختگی قاب



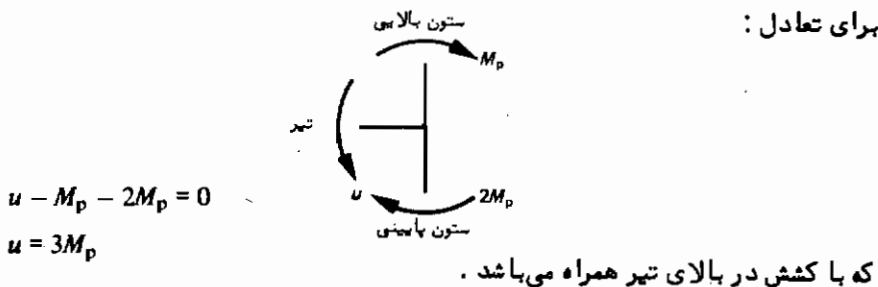
شکل ج - ۶

دو طبقه شکل ج - ۷-الف استفاده می‌شود. مکانیزم با کمترین ضریب بار در شکل ج - ۷-ب نشان داده شده است. لازم است با تعیین نمودار لنگرخمشی مربوطه مکانیزم کنترل شود. مراحل مختلف در زیرآمده و در شکل ج - ۸-جمع‌بندی شده است.

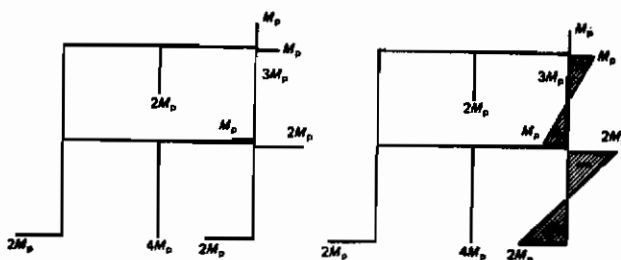


شکل ج - ۷

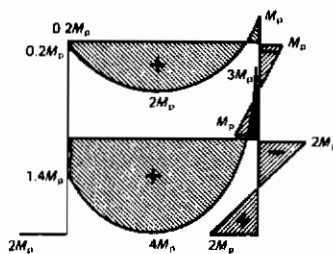
مرحله اول نوشتن تمام لنگرهای معلوم در مفصلهای خمیری است. نمودار لنگرخمشی برای هر دو ستون سمت راست، اگون با اتصال لنگرهای انتهایی توسط یک خط راست کامل می‌شود. لنگر واکنش در انتهای سمت راست تیر پایه‌نی از تعادل مفصل بسه دست می‌آید برای تعادل:



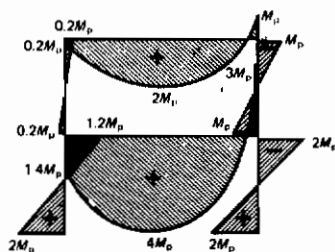
که با کشش در بالای تیر همراه می‌باشد.



۱- تمام لنگرهای معلوم را در مفصلهای خمیری نوشته و نمودار لنگرخمشی برای ستونهای سمت راست را کامل کنید.



۲- نمودارهای لنگرخمشی را با در نظر گرفتن مقادیر نمودارهای لنگرخمشی واکنش و آزاد کامل کنید.



۳- نمودار لنگرخمشی را با در نظر گرفتن تعادل افقی طبقات بالایی و پایینی کامل کنید. با در نظر گرفتن تعادل مفصل، محاسبات را کنترل کنید.

شکل ج - ۸

سیع لنگرهای نامعلوم در انتهای سمت چپ هر دو تیر با در نظر گرفتن مقادیر نمودارهای لنگرخمشی واکنش و آزاد به دست می‌آیند.

$$(الف) \text{ تیر بالایی} \\ \text{لنگر خمشی آزاد در وسط دهانه} = \frac{2\lambda w(2L)^2}{8} = \lambda w L^2 = 2.4M_p \\ (\text{تیر ساده پا بارگشته بکواخت})$$



از آنجا که $\lambda = 1.8$ و $M_p = 3wL^2/4$. بنابراین با توجه به ابعاد و نمودار لنگرخمشی

$$\frac{M_p + V}{2} + 2M_p = 2.4M_p$$

$$V = -0.2M_p$$

اکنون لنگر $0.2M_p$ را در حالی که باعث کشش در طرف داخلی عضو می‌شود می‌توان رسم کرد و بنابراین نمودار لنگرخمشی کامل می‌شود . بهیاد بیناوردید که این نمودار با توجه به مبارگسترده یکنواخت یک سهمی خواهد بود .

(ب) تیر پایه‌بینی



$$\begin{aligned} \frac{4\lambda w(2L)^2}{8} &= \text{لنگرخمشی اضافی در وسط دهانه} \\ &= 2\lambda wL^2 \\ &= 4.8M_p \end{aligned}$$

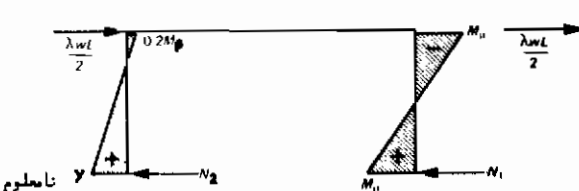
و با توجه به ابعاد نمودارهای لنگرخمشی :

$$\frac{3M_p + x}{2} + 4M_p = 4.8M_p$$

$$x = -1.4M_p$$

این مقدار برای تکمیل نمودار لنگرخمشی تیر پایه‌بینی قابل استفاده است . مرحله بعدی در نظر گرفتن تعادل افقی هردو طبقه بالائی و پایه‌بینی است .

(ج) تعادل افقی طبقه‌بالائی . باقطع و جدا کردن طبقه‌بالائی از انتهای پایه‌بینی ستون‌های بالائی می‌توان معادله تعادل افقی را نوشت . شکل زیر بارهای افقی وارد به طبقه بالائی را نشان می‌دهد ، نیروهای برشی در پایه‌بین ستونها و لنگرهای خمشی ستونها نیز در شکل مشخص می‌باشد .



برای تعادل افقی خواهیم داشت :

$$N_1 + N_2 = \lambda w L = 1.8 \times \frac{4M_p}{3L} = \frac{2.4M_p}{L}$$

با استفاده از مطالب قسمت ج - ۴

$$N_1 = \frac{2M_p}{L} \quad N_2 = \frac{0.2M_p + y}{L}$$

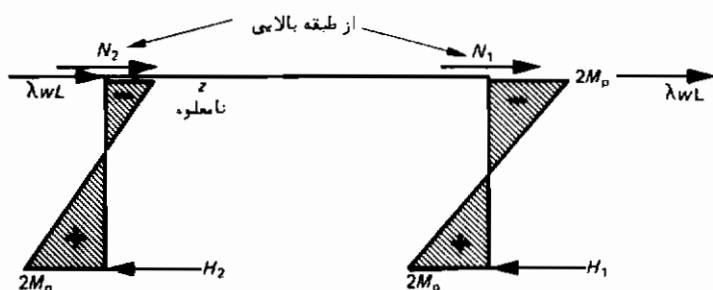
بنابراین

$$\frac{0.2M_p + y}{L} + \frac{2M_p}{L} = \frac{2.4M_p}{L}$$

$$y = 0.2M_p$$

بنابراین نمودار لنگر خمی ستون سمت چپ بالایی کامل می‌گردد.

(و) تعادل افقی طبقه پایینی



برای تعادل افقی

$$H_1 + H_2 = N_1 + N_2 + 2\lambda w L$$

$$= \frac{7.2M_p}{L}$$

$$H_1 = \frac{4M_p}{L} \quad H_2 = \frac{2M_p + z}{L}$$

بنابراین

$$\frac{4M_p}{L} + \frac{2M_p + z}{L} = \frac{7.2M_p}{L}$$

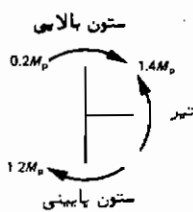
$$z = 1.2M_p$$

بنابراین نمودار لنگر خمی برای ستون سمت چپ پایینی و برای تعادل سازه کامل می‌شود.

در هر حال کنترل محاسبات به وسیله نوشتن معادله تعادل در اتصال سمت چپ یا ینی امکان پذیر و مفید است.

$$1.2M_p + 0.2M_p - 1.4M_p = 0$$

$$0 = 0$$



جواب مسائل

فصل ۲

صفحات مقطع مركب $M_p = Dbt\sigma_y$; $M_p = 660 \text{ kN m}$ ۱ - ۲

$M_p = 19.73 \text{ kN m}$ ۳ - ۲

(a) $M_p = D^3\sigma_y/6$; (b) $M_p = 1.5d^2t\sigma_y$; (c) $M_p = \sqrt{(2)d^2t\sigma_y}$; (d) $M_p = (7\sqrt{3}/16)a^2t\sigma_y$ ۴ - ۲

$S' = S - \frac{A^2}{4d}n^2$ $n \leq \frac{dt_w}{A}$ ۵ - ۲

$$S' = \frac{A^2}{8t_f}(1-n)\left(\frac{4bt_f}{A} - 1 + n\right)$$

محور y : 697.6 kN m , 422.7 kN m ; محور z : 122.7 kN m , 109.4 kN m

فصل ۳:

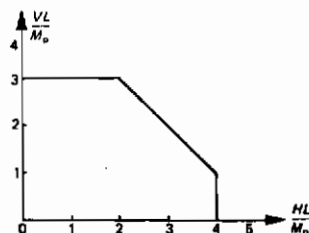
۱ - ۲

$w_c = 11.66M_p/L^2$ ۱ - ۲

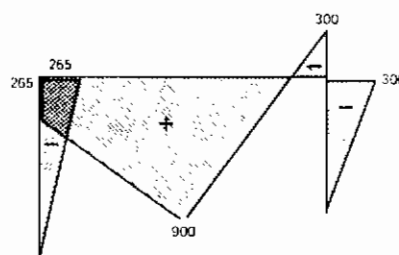
۲ - ۲

$w_c = 0.833M_p/L^2$ ۲ - ۲

۳ - ۲

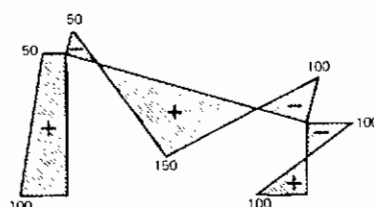


$$\lambda_c = 1.70$$



۴ - ۳

$$\lambda_c = 1.50$$



۵ - ۳

$$V = H: \text{ مکانیزم مرکب}$$

$$V = 4.09M_p/L$$

$$k = 0.609$$

$$V = 2.2M_p/L; V = 5H: \text{ قاب شیدار}$$

۶ - ۳

۷ - ۳

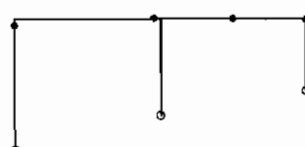
فصل ۴

$$(الـ) \lambda_c = 1.375$$

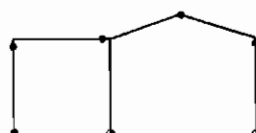


۱ - ۴

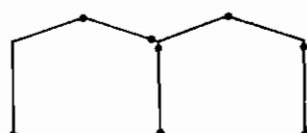
$$(بـ) \lambda_c = 1.448$$



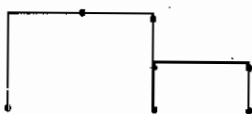
$$(جـ) \lambda_c = 1.80$$



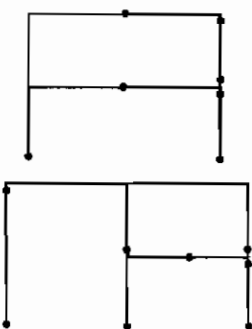
$$(دـ) \lambda_c = 2.00$$



$$(ه) \lambda_c = 2.235$$



$$(الف) \lambda = 1.407, 1.287 < \lambda_c < 1.407 \quad (ب) \lambda = 1.191, 1.169 < \lambda_c < 1.191$$



$$(الف) M_p = 657.7 \text{ kN m}; (ب) M_p = 267 \text{ kN m}, BC \text{ در } CD \text{ در } M_p = 106 \text{ kN m} \quad M_p = 426 \text{ kN m}, 1 - \Delta$$

$$(الف) M_p = 2wL^2 \quad G = 14.0wL^3; (ب) M_p = 1.13wL^2, \quad 2 - \Delta$$

$$M_p = 1.13wL^2, \quad CD, AB \text{ در } M_p = 1.31wL^2,$$

$$G = 12.3wL^3, \quad \text{طول} = 1.11L; (c) CD, AB \text{ در } M_p = 1.11wL^2, \quad \text{حداصل وزن}$$

$$M_p = 2.44wL^2, BC \quad M_p = 1.13wL^2, G = 13.1wL^2$$

$$\text{ستونها و تیرها} \quad M_p = 1.167wL \quad 3 - \Delta$$

$$M_p = 0.43wL \quad 4 - \Delta$$

$$M_p = 580 \text{ kN m} \quad 5 - \Delta$$

$$\text{ستونها} \quad M_p = 133.3 \text{ kN m}, \quad \text{تیرها} \quad M_p = 311.2 \text{ kN m} \quad 6 - \Delta$$

فصل ۶

$$\delta = 2WL^3/243EI \quad 1 - 6$$

$$\delta = 0.0077wL^4/EI \quad 2 - 6$$

$$\text{مفصل A خرین مفصل است} \quad \delta_h = 0.611wL^3/EI, \delta_v = 0.410wL^3/EI \quad 3 - 6$$

$$\text{مفصل A خرین مفصل است} \quad \delta_h = 150 \text{ mm} \quad 4 - 6$$

$$\text{محل طلاقی منحنی های ارجاعی و خمیری} \quad (c) P = 0.303bd\sigma_y \quad (الف) \delta_h = 20.8M_p/EI, \delta_v = 10.2M_p/EI \quad 5 - 6$$

$$\text{at B} \quad \delta_h = 22500/EI, \text{at C} \quad \delta_v = 11700/EI, \text{at F} \quad \delta_v = 9000/EI \quad 6 - 6$$

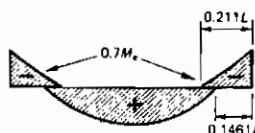
$$\text{محل طلاقی منحنی های ارجاعی و خمیری} \quad (c) P = 0.303bd\sigma_y \quad (الف) \delta_h = 22500/EI, \text{at C} \quad \delta_v = 11700/EI, \text{at F} \quad \delta_v = 9000/EI \quad 7 - 6$$

$$P_c \approx 0.289bd\sigma_y; (d) P_{RM} = 0.275bd\sigma_y$$

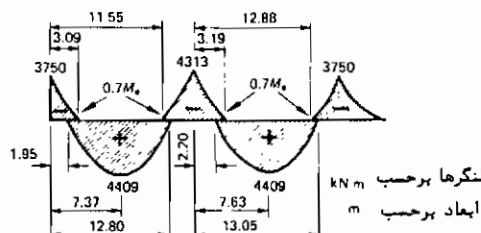
فصل ۷

۱ - ۲

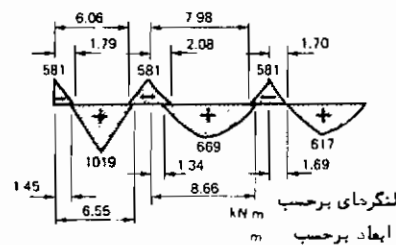
$$M_r = wL^2/16$$



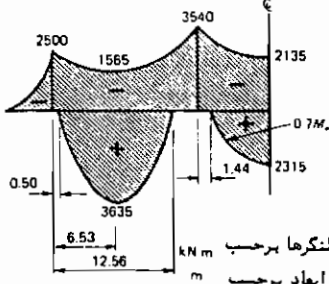
۲ - ۲



۳ - ۲



۴ - ۲



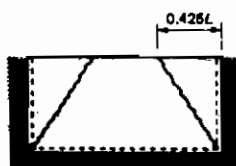
فصل ۸ :

۱ - ۸

$$q = 17.54 \text{ kN/m}^2, \text{ در مرکز دال} \quad M_r = 8 \text{ kN m/m, در لبه‌ها} \quad M_r = 12 \text{ kN m/m}$$

$$(الـ) q = 59.06M/L^2 \quad (الـ) q = 10.7M/L^2$$

۲ - ۸



$$M = 7.54 \text{ kN m/m}, x_{\text{crit}} = 1.586 \text{ m}, y_{\text{crit}} = 2.45 \text{ m}$$

۳ - ۸

$$M = 0.116qL^2$$

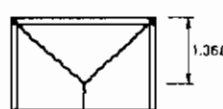
۴ - ۸

$$q_c = 43.85M/L^2$$

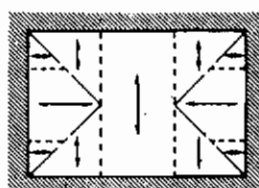
۵ - ۸

$$q_c = 4.24M/L^2; q_c = 3.25M/L^2$$

۶ - ۸

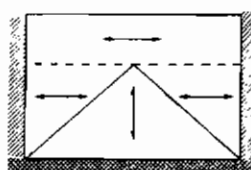


۷ - ۸ توزیع نواری پیشنهادی



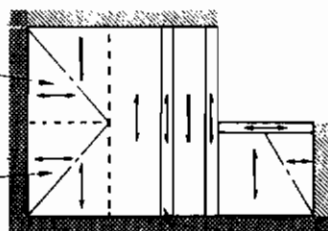
۸ - ۸ توزیع نوار مشابه مسئله ۷-۸ ولی لبه‌ها گیردار هستند

۹ - ۸ توزیع نوار پیشنهادی



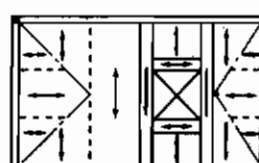
۱۰ - ۸

این نوار در طول لبه‌آزاد
روی نوار قری دهانه نی خورد



نوار قری تحت بار خطی

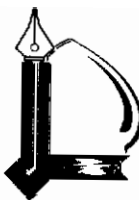
۱۱ - ۸



مراجع و متأخرات

1. A. Ghali and A. M. Neville, *Structural Analysis*, 2nd ed (Chapman & Hall, London, 1978)
2. *Structural Steelwork Handbook*, new edition (BCSA/Constrado, 1978)
3. M. R. Horne, *Plastic Theory of Structures*, (Nelson, London, 1971)
4. B. G. Neal, *The Plastic Methods of Structural Analysis*, 3rd (SI) ed (Chapman & Hall, London, 1977)
5. CP 110: Part 1: 1972 The Structural Use of Concrete
6. B/20 Draft: Draft Standard Specification for the Structural Use of Steelwork in Building (British Standards Institution, 1978, Draft for Public Comment)
7. BS 449: Part 2: 1969 The Use of Structural Steel in Building
8. *The Collapse Method of Design*, Publication No. 5 (British Constructional Steelwork Association, London, 1952)
9. A. Battersby, *Mathematics in Management* (Penguin, Harmondsworth, 1970)
10. K. I. Majid, *Non-linear structures* (Butterworth, London, 1972)
11. *Genesys Applications Software* (Genesys Limited, Loughborough, Leics., 1978)
12. Engineering Design Programs – Software Archives
13. A. R. Toakley, Optimum design using available sections, *J. Struct. Div., Am. Soc. civ. Engrs*, 94 (1968) 1219–41
14. M. R. Horne and W. Merchant, *The Stability of Frames* (Pergamon, Oxford, 1965)
15. A. C. Walker, *The Buckling of Struts* (Chatto & Windus, London, 1975)
16. R. H. Wood, The stability of tall buildings *Proc. Instn civ. Engrs*, 11 (1958) 69–102
17. R. H. Wood, Effective lengths of columns in multistorey buildings, *BRE Current Paper 85/74* (September 1974)
18. F. K. Kong and R. H. Evans, *Reinforced and Prestressed Concrete* (Nelson, London, 1975)
19. B. P. Hughes, *Limit State Theory for Reinforced Concrete Design*, (Pitman, London, 1976)
20. R. G. Smith, The determination of the compressive stress-strain properties of concrete in flexure, *Mag. Concr. Res.*, 12 (1960) 165–70

21. E. Hognestad, N. R. Hanson and D. McHenry, Concrete stress distribution in ultimate strength design, *J. Am. Concr. Inst.*, **27** (1955) 455–79
22. A. A. Mufti, M. S. Mirza, J. O. McCutcheon and J. Honde, A study of the behaviour of reinforced concrete elements using finite elements, Civil Engineering Report No. 70–5 (Department of Civil Engineering and Applied Mechanics, McGill University, 1970)
23. A. L. L. Baker, *The Ultimate-Load Theory Applied to the Design of Reinforced and Prestressed Concrete Frames* (Concrete Publications Ltd, London, 1956)
24. A. L. L. Baker, Ultimate load design of reinforced and prestressed concrete frames, *Proceedings of a Symposium on the Strength of Concrete Structures* (Cement and Concrete Association, London 1956) 277–304
25. C. E. Massonnet and M. A. Save, *Plastic Analysis and Design*, Vol. 1, Beams and Frames (Blaisdell, London, 1965)
26. K. W. Johansen, *Yield Line Theory* (English translation, Cement and Concrete Association, London, 1962)
27. K. W. Johansen, *Yield Line Formulae for Slabs* (English translation, Cement and Concrete Association, London, 1972)
28. A. J. Ockleston, *Tests on the Old Dental Hospital, Johannesburg* (Concrete Association London, 1956)
29. S. P. Timoshenko and S. Woinowsky-Krieger, *Theory of Plates and Shells*, 2nd edn. (McGraw-Hill Kogakusha Ltd, New York, 1959)
30. R. H. Wood, *Plastic and Elastic Design of Slabs and Plates* (Thames & Hudson, London, 1961)
31. R. H. Wood, *Studies in Composite Construction, Part 2: The interaction of floors and beams in multi-storey buildings* (HMSO, 1961)
32. E. N. Fox, Limit analysis for plates: the exact solution for a clamped square plate of isotropic homogeneous material obeying the square yield criterion and loaded by uniform pressure, *Phil. Trans. R. Soc. A*, **277**, (1974) 121–55
33. L. L. Jones and R. H. Wood, *Yield Line Analysis of Slabs* (Thames & Hudson, London, 1967)
34. A. Hillerborg, *Strip Method of Design* (Viewpoint Publications, Cement and Concrete Association, London, 1975)
35. R. H. Wood and G. S. T. Armer, The theory of the strip method for design of slabs, *Proc. Instn civ. Engrs*, **41**, (1968) 285–311
36. J. E. Gordon, *The New Science of Strong Materials*, 2nd edn, (Penguin, Harmondsworth, 1977)
37. W. A. Nash, *Strength of Materials*, 2nd edn, (Schaum's Outline Series, McGraw-Hill, New York, 1972)
38. *Specification for the Design, Fabrication and Erection of Structural Steel for Buildings* (American Institute of Steel Construction, New York, 1969)



FERDOWSI UNIVERSITY OF MASHHAD

Publication, No 119

Plastic Methods for Steel

Stuart S. J. Moy

Translated by
M. Reza Esfahani

FERDOWSI UNIVERSITY PRESS

1997